

دانشگاه صنعتی شهرود
دانشکده مهندسی معدن و شرکت‌های

گروه ژئوفیزیک

پایان نامه کارشناسی ارشد

عنوان:

مطالعات ژئوالکتریکی بمنظور مشخص نمودن وضعیت زمین شناسی
زیرسطحی و تراز آب زیرزمینی در بخشی از شهر مشهد

اساتید راهنما:

دکتر ایرج پیروز

دکتر ناصر حافظی مقدس

دانشجو:

سید معین مقتدر

بِسْمِ اللّٰهِ الرَّحْمٰنِ الرَّحِيْمِ

تقدیم با ژرفترین سپاسها

به همسرم، پدرم و مادرم

برای همه محبتها و تشویقها یشان

تشکر و قدردانی

به نام او که زینت زبانها و یادگار جانها نام اوست

هستی را به وسعت بیکران عظمتش شکرگزارم که خالق افتخار آن را به من ارزانی داشت تا
بذر وجودم در سرزمین لاله ها و شقایق ها ،در خاک گهربار ایران زمین مهد علم و ادب ، رستن آغاز
کند .

در اینجا وظیفه خود می دانم از رهنماوهای علمی و ارشادات ارزشمند اساتید گرامی جناب آقای
دکتر ایرج پیروز و جناب آقای دکتر ناصر حافظی مقدس که نقش اساسی در به ثمر رسیدن این
پروردگاری را داشتند صمیمانه تشکر و سپاسگزاری نمایم.

از جناب آقای مهندس افتخارنیا نیز که از طرف شرکت گمانه کاو در فراهم کردن امکانات و نیروی
انسانی لازم برای برداشت داده ها اینجانب را یاری نمودند کمال تشکر را دارم.

در پایان نیز از اساتید محترم جناب آقای دکتر مرادزاده و دکتر کامکار روحانی نیز که در طول
تحصیل از هیچ کمک و کوششی به اینجانب فروگذار نکرده اند، تشکر می نمایم.

چکیده

پدیده زمین لرزه یکی از حوادث طبیعی به شمار می آید که هرساله در نقاط مختلف دنیا موجب مرگ و میرهای فراوان شده و تخریب کامل برخی سازه‌ها که مقاومت کافی در برابر چنین پدیده‌ای نداشته باشند را درپی خواهد داشت. از آنجا که گسل‌ها از مهمترین عوامل پدید آورنده این حوادث می باشند، شناخت گسل‌های فعال و پنهان یک منطقه می‌تواند در پیش‌بینی خطر زمین لرزه و چگونگی کاهش خسارات و تلفات احتمالی آن بسیار موثر باشد.

اخیراً درکشور ما مطالعات بسیاری بر روی گسلهای نزدیک مناطق شهری و بررسی خطر زمین لرزه در کلان شهرها در حال انجام است و شهرستان مشهد نیز به عنوان دومین کلان شهر از این امر مستثنی نمی‌باشد.

در گزارش شماره ۷۲ سازمان زمین‌شناسی (بربریان و همکاران ۱۳۷۸) ادامه گسل توسعه به سمت جنوب شرق را که از شمال شهر مشهد می‌گذرد بصورت گسل احتمالی نشان داده‌اند. بمنظور اکتشاف واثبات وجود یا عدم وجود این گسل مطالعات ژئوکتریک با روش‌های سوندایزنسی و پروفیل زنی در سطح شهر مشهد انجام گرفت. ابتدا داده‌ها مورد تفسیر کیفی قرار گرفته و سپس بمنظور تعیین دقیق ضخامت و مقاومت ویژه لایه‌ها، نرم افزارهای Resix و Res2DInv مورد استفاده قرار گرفت. با استفاده از نتایج اطلاعات بدست آمده از سوندایزها و پیزومترهای اطراف شهر، سطح آب زیرزمینی در شهر مشهد با دقت بیشتری تعیین گردید.

فهرست مطالعه

صفحه

عنوان

| | |
|----------|--|
| الف..... | تقدیم |
| ب..... | تقدیرو تشرک |
| ج..... | چکیده |
| د..... | فهرست مطالعه |
| ز..... | فهرست اشکال |
| ط..... | فهرست جداول |
| ی..... | فهرست علائم و اختصارات |
| ۱ | فصل اول : مقدمه و کلیات |
| ۱ | ۱-۱ مقدمه |
| ۳ | ۲-۱ موقعیت جغرافیایی منطقه |
| ۳ | ۳-۱ سوابق مطالعات انجام شده و ضرورت انجام تحقیق |
| ۳ | ۴-۱ اهداف پایان نامه |
| ۵ | ۵-۱ روش انجام تحقیق |
| ۵ | ۶-۱ ساختار پایان نامه |
| ۷ | فصل دوم: اطلاعات زمین شناسی منطقه مورد مطالعه |
| ۷ | ۱-۲ مشخصات محدوده مورد مطالعه |
| ۷ | ۱-۱-۲ زمین شناسی عمومی و ساختمنی گستره مورد مطالعه |
| ۱۱ | ۲-۱-۲ سنگهای نفوذی و ماگماتیسم منطقه مورد مطالعه |
| ۱۱ | ۳-۱-۲ نهشته های آبرفتی دشت مشهد |
| ۱۷ | ۲-۲ گسل های اصلی گستره مورد مطالعه |
| ۲۰ | ۳-۲ سوابق زمین لرزه های منطقه و معرفی گسل شمال مشهد |
| ۲۳ | ۴-۲ اطلاعات پیزومترهای دشت مشهد |
| ۲۵ | فصل سوم: روش مقاومت ویژه الکتریکی و کاربرد منحنی های تئوری در اکتشاف گسلها |
| ۲۵ | ۳-۱-۱ روش مقاومت ویژه الکتریکی |
| ۲۶ | ۳-۱-۲ اساس تئوری مقاومت ویژه |
| ۲۹ | ۳-۱-۳ روشهای برداشت داده های مقاومت ویژه |
| ۲۹ | ۳-۲-۱ آرایش های الکتروودی |
| ۳۰ | ۳-۲-۲ آرایش ونر |
| ۳۰ | ۳-۲-۳ آرایش شلومبرگ (آرایش گرادیان) |
| ۳۱ | ۳-۳-۱ آرایش دایپل - دایپل |

فهرست مطالب

صفحه

عنوان

| | |
|----|--|
| ۳۱ | ۴-۱-۳ خواص الکتریکی مواد |
| ۳۴ | ۵-۱-۳ توضیح اصل اختفاء |
| ۳۴ | ۶-۱-۳ تصحیح کلاج |
| ۳۵ | ۲-۳ کاربرد منحنی های تئوری در اکتشاف گسلها |
| ۳۶ | ۱-۲-۳ تاثیر فاصله بین ایستگاههای برداشت داده ها در تغییر شکل منحنی صحرایی |
| ۳۷ | ۲-۲-۳ کاربرد نظریه تصاویر الکتریکی در حل مسائل مربوط به گسلها |
| ۳۸ | ۳-۲-۳ محاسبه منحنی های تئوری برای گسلهای قائم |
| ۴۲ | ۴-۲-۳ شکل منحنی تئوری پروفیل زنی برای گسل قائم |
| ۴۵ | ۵-۲-۳ شکل منحنی تئوری پروفیل زنی برای گسل شیدار |
| ۴۷ | ۶-۲-۳ شکل منحنی پروفیل زنی با آرایش لی برای یک گسل با شیب $\varphi_1 = 45^\circ$ |
| ۴۹ | ۷-۲-۳ کاربرد منحنی های تئوری در اکتشاف دایکها |
| ۵۲ | فصل چهارم : اندازه گیری و تفسیر کیفی داده ها |
| ۵۲ | ۱-۴ تفسیر کیفی داده های صحرایی |
| ۵۲ | ۲-۴ اندازه گیری داده ها |
| ۵۴ | ۳-۴ منطقه خواجه ربیع |
| ۵۸ | ۱-۳-۴ تفسیر پروفیل 'AA' |
| ۶۰ | ۲-۳-۴ تفسیر پروفیل 'BB' |
| ۶۲ | ۳-۳-۴ سطح آب زیرزمینی در منطقه خواجه ربیع |
| ۶۳ | ۴-۴ منطقه گلشهر |
| ۶۵ | ۱-۴-۴ پروفیل 'CC' |
| ۶۶ | ۲-۴-۴ سطح آب زیرزمینی در منطقه گلشهر |
| ۶۷ | ۴-۴ محدوده اطراف پارک رضوی |
| ۶۸ | ۱-۵-۴ سطح آب زیرزمینی در محدوده پارک رضوی |
| ۶۸ | ۴-۴ پروفیل 'DD' (منطقه کنه بیست) |
| ۷۰ | ۴-۴ محدوده اطراف میدان سپاد |
| ۷۰ | ۱-۷-۴ سطح آب زیرزمینی در محدوده میدان سپاد |
| ۷۰ | ۴-۴ منطقه فدک |
| ۷۲ | ۹-۴ شهرک چمران |
| ۷۲ | ۱۰-۴ شهرک حجت |

فهرست مطالع

صفحه

عنوان

| | |
|-----|---|
| ۷۴ | ۱۱-۴ بلوار دانشجو |
| ۷۵ | ۱۲-۴ باغ امام رضا. |
| ۷۵ | ۱۳-۴ بلوار خیام. |
| ۷۷ | ۱۴-۴ بلوار پیروزی |
| ۷۷ | ۱۵-۴ بلوار فضل ابن شاذان |
| ۸۱ | فصل پنجم : مدلسازی و تفسیر کمی داده ها |
| ۸۱ | ۱-۵ نتایج مدلسازی معکوس یک بعدی داده ها |
| ۸۳ | ۱-۱-۵ استفاده از نتایج مدلسازی معکوس یک بعدی سوندازها در اکتشاف گسل شمال مشهد |
| ۸۷ | ۲-۱-۵ استفاده از نتایج مدلسازی یک بعدی سوندازها بمنظور تعیین سطح آب زیر زمینی در شهر مشهد |
| ۹۲ | ۲-۵ مدلسازی معکوس دو بعدی داده ها |
| ۹۶ | فصل ششم : نتیجه گیری و پیشنهادات |
| ۹۶ | ۱-۶ نتیجه گیری |
| ۱۰۰ | ۲-۶ پیشنهادات |
| ۱۰۱ | منابع |
| ۱۰۲ | پیوستها |
| ۱۰۲ | پیوست الف : داده های اندازه گیری شده برای سونداز های الکتریکی با آرایش شلومبرگر |
| ۱۱۳ | پیوست ب : داده های اندازه گیری شده برای پروفیلهای مقاومت ویژه با آرایشهای ونر و لی |
| ۱۱۶ | پیوست ج : اشکال مربوط به نتایج مدلسازی یک بعدی سوندازها با استفاده از نرم افزار RESIX |
| ۱۷۸ | پیوست د : مختصراً در مورد مدلسازی و نرم افزارهای بکار گرفته شده |
| ۱۸۴ | پیوست ه : نقشه توپوگرافی ۱:۵۰۰۰ مشهد |
| ۱۸۵ | (Abstract چکیده به زبان انگلیسی) |

فهرست شکلها

صفحه

عنوان

| | |
|----------|--|
| ۴ | شکل ۱-۱ - موقعیت مناطق برداشت داده ها و پیزومترهای اطراف شهر مشهد |
| ۸ | شکل ۱-۲ - قسمتی از نقشه زمین شناسی ۰:۱۰۰۰۰ مشهد که محدوده مورد مطالعه در آن قرار گرفته است |
| ۱۶ | شکل ۲-۲- جنس نهشته های آبرفتی در نقاط مختلف شهر مشهد |
| ۲۱ | شکل ۲-۳- عمیق شدگی و افزایش عرض دره ها و تغییر ارتفاع ناگهانی زمین در شمال شهر مشهد |
| ۲۲ | شکل ۲-۴ - مسیر تقریبی گسل شمال مشهد بر روی عکس هوایی با توجه به انحراف رودخانه های اصلی |
| ۲۴ | شکل ۲-۵- نمایش عمق سطح آب در هر یک از پیزومترهای اطراف مشهد |
| ۲۴ | شکل ۲-۶- نمایش ارتفاع سطح آب در هر یک از پیزومترهای اطراف مشهد |
| ۲۸ | شکل ۱-۳ - فرم کلی یک آرایش |
| ۳۲ | شکل ۲-۳ - نحوه قرار گیری الکترودها در آرایش‌های ونر(الف) ، شلومبرگ(ب) و دایپل - دایپل(ج) |
| ۳۵ | شکل ۳-۳ - نحوه انجام تصحیح کلاچ بروی داده های آرایش شلومبرگ در روش سونداز الکتریکی |
| ۳۷ | شکل ۴-۳ - مقایسه میان یک منحنی صحرایی و منحنی تئوری آن برای یک گسل قائم در روش پروفیل زنی |
| ۳۸ | شکل ۵-۳ - مقایسه مسائل نوری با مسائل الکتریکی |
| ۴۱ | شکل ۳-۶- نمایش الکترود ها در عبور از روی مرز گسل قائم در پروفیل زنی افقی |
| ۴۳ | شکل ۷-۳- منحنی های تئوری هدایت ویژه و مقاومت مخصوص در روش پروفیل زنی برای یک گسل قائم |
| ۴۶ | شکل ۸-۳ - شکل منحنی های تئوری مقاومت ویژه الکتریکی به روش پروفیل زنی برای گسل مایل |
| ۴۸ | شکل ۹-۳ - منحنی های تئوری مقاومت ویژه به روش پروفیل زنی با آرایش لی |
| ۵۰ | شکل ۱۰-۳ - منحنی های پروفیل زنی افقی مقاومت ویژه با آرایش لی بر روی یک دایک به ضخامت ۲a |
| ۵۱ | شکل ۱۱-۳ - منحنی های پروفیل زنی افقی مقاومت ویژه با آرایش ونر بر روی یک دایک به ضخامت ۲a |
| ۵۵ | شکل ۱-۴ - موقعیت محل برداشت سوندازها و پروفیلها در منطقه خواجه ربیع |
| ۵۵ | شکل ۲-۴ - منحنی تغییرات مقاومت ویژه ظاهری سوندازهای S_{10}, S_9, S_8, S_7 |
| ۵۷ | شکل ۳-۴ - منحنی تغییرات مقاومت ویژه ظاهری سوندازهای $S_{9N}, S_{8N}, S_{6N}, S_{9E}, S_{8E}, S_{6E}$ |
| ۵۷ | شکل ۴-۴ - منحنی تغییرات مقاومت ویژه ظاهری سوندازهای S_7, S_5, S_4 |
| ۵۹ | شکل ۵-۴ - منحنی تغییرات مقاومت ویژه ظاهری سوندازهای S_{11} تا S_{16} |
| ۵۹ | شکل ۶-۴ - شبیه مقطع سوندازهای S_{11} تا S_{16} در منطقه خواجه ربیع |
| ۶۰ | شکل ۷-۴ - منحنی تغییرات مقاومت ویژه ظاهری پروفیل 'AA' در خواجه ربیع |
| ۶۱ | شکل ۸-۴ - منحنی تغییرات مقاومت ویژه ظاهری پروفیل 'BB' در خواجه ربیع (آرایش ونر) |
| ۶۲ | شکل ۹-۴ - منحنی تغییرات مقاومت ویژه ظاهری پروفیل 'BB' در خواجه ربیع (آرایش لی) |

فهرست شکلها

صفحه

عنوان

| | |
|----------|--|
| ۶۴ | شکل ۱۰-۴ - موقعیت محل برداشت سوندازها و پروفیلها در مناطق گلشهر ، پارک رضوی و کنه بیست. |
| ۶۴ | شکل ۱۱-۴ - منحنی تغییرات مقاومت ویژه ظاهری سوندازهای S_{17} تا S_{21} . |
| ۶۵ | شکل ۱۲-۴ - شبہ مقطع زمین مابین سوندازهای S_{17}, S_{21} در منطقه گلشهر. |
| ۶۶ | شکل ۱۳-۴ - منحنی تغییرات مقاومت ویژه ظاهری پروفیل' CC' در گلشهر (آرایش ونر). |
| ۶۷ | شکل ۱۴-۴ - منحنی تغییرات مقاومت ویژه ظاهری پروفیل' CC در گلشهر (آرایش لی). |
| ۶۸ | شکل ۱۵-۴ - منحنی تغییرات مقاومت ویژه ظاهری سوندازهای S_{22} تا S_{25} . |
| ۶۹ | شکل ۱۶-۴ - منحنی تغییرات مقاومت ویژه ظاهری پروفیل' DD در محله کنه بیست (آرایش ونر). |
| ۶۹ | شکل ۱۷-۴ - منحنی تغییرات مقاومت ویژه ظاهری پروفیل' DD در محله کنه بیست (آرایش لی). |
| ۷۱ | شکل ۱۸-۴ - موقعیت محل برداشت سوندازها در مناطق سپاد ، فدک ، شهرک چمران شهرک حجت. |
| ۷۱ | شکل ۱۹-۴ - منحنی تغییرات مقاومت ویژه ظاهری سوندازهای S_{26} تا S_{30} . |
| ۷۳ | شکل ۲۰-۴ - منحنی تغییرات مقاومت ویژه ظاهری سوندازهای S_{31} تا S_{33} . |
| ۷۳ | شکل ۲۱-۴ - منحنی تغییرات مقاومت ویژه ظاهری سوندازهای S_{34} تا S_{36} . |
| ۷۴ | شکل ۲۲-۴ - منحنی تغییرات مقاومت ویژه ظاهری سوندازهای S_{37} تا S_{41} . |
| ۷۶ | شکل ۲۳-۴ - موقعیت محل برداشت سوندازها در مناطق بلوار دانشجو ، باع امام رضا ، بلوار خیام ، بلوار پیروزی و بلوارفضل این شاذان. |
| ۷۶ | شکل ۲۴-۴ - منحنی تغییرات مقاومت ویژه ظاهری سوندازهای S_{42} و S_{43} . |
| ۷۸ | شکل ۲۵-۴ - منحنی تغییرات مقاومت ویژه ظاهری سوندازهای S_{44} تا S_{47} . |
| ۷۸ | شکل ۲۶-۴ - منحنی تغییرات مقاومت ویژه ظاهری سوندازهای S_{48} تا S_{56} . |
| ۷۹ | شکل ۲۷-۴ - منحنی تغییرات مقاومت ویژه ظاهری سوندازهای S_{57} تا S_{60} . |
| ۷۹ | شکل ۲۸-۴ - منحنی تغییرات مقاومت ویژه ظاهری سوندازهای S_{61} تا S_{63} . |
| ۸۲ | شکل ۱-۵ - نمونه ای از مدلسازی سوندازها با نرم افزار RESIX (سونداز S_{37}). |
| ۸۲ | شکل ۲-۵ - نمایش مدل زمین در محل سونداز S_{37} به کمک نرم افزار RESIX. |
| ۸۶ | شکل ۳-۵ - تصویری از شبہ مقطع گسل در مناطق خواجه ربیع و گلشهر. |
| ۹۰ | شکل ۴-۵ - نقشه هم ارتفاع تراز آب زیر زمینی در سطح شهر مشهد. |
| ۹۰ | شکل ۵-۵ - نقشه سه بعدی تراز آب زیر زمینی در شهر مشهد. |
| ۹۱ | شکل ۵-۶ - نقشه هم عمق سطح آب زیر زمینی در شهر مشهد. |
| ۹۲ | شکل ۵-۷ - تغییرات ناگهانی در تراز آب زیر زمینی در شمال شهر مشهد. |

فهرست شکلها

صفحه

عنوان

شکل ۵-۸- تصویری از مقطع زمین محل سوندازها در مناطق خواجه ربيع و گلشهر بوسیله نرم افزار RES2DINV

۹۵ شکل ۱-۶ - نقشه هم مقاومت ویژه مربوط به شهر مشهد با $AB=80$ m

۹۷ شکل ۲-۶ - نقشه هم مقاومت ویژه مربوط به شهر مشهد با $AB=200$ m

۹۸ شکل ۳-۶ - نقشه هم مقاومت ویژه مربوط به دشت مشهد با $AB=320$ m

۹۹ شکل ۴-۶ - ترسیم مسیر عبور گسل شمال مشهد بر روی عکس هوایی ۱:۵۰۰۰۰

۱۱۶-۱۷۷ شکل ج-۱- تا ج-۶۲ - مدلسازی یک بعدی سوندازها با نرم افزار RESIX

فهرست جداول

صفحه

عنوان

| | |
|---|-----|
| جدول ۱-۲ - موقعیت جغرافیایی پیزومترهای شهر مشهد و عمق و سطح آب زیرزمینی در هریک از آنها ۲۳ | ۲۳ |
| جدول ۱-۳ مقاومت ویژه بعضی از سنگها و مواد معدنی ۳۳ | ۳۳ |
| جدول ۱-۴ -موقعیت جغرافیایی محل سوندazها در شهر مشهد ۵۳ | ۵۳ |
| جدول ۲-۴ - مشخصات جغرافیایی نقاط ابتدا و انتهای پروفیلها ۵۴ | ۵۴ |
| جدول ۱-۵ - مقادیر پارامترهای مدل بدست آمده و جنس لایه ها در نقطه سونداز S ₃₇ ۸۳ | ۸۳ |
| جدول ۱-۵ - ۲ - مقادیر پارامترهای مدل بدست آمده و جنس لایه ها در نقطه سونداز S ₁₁ ۸۳ | ۸۳ |
| جدول ۱-۵ - ۳ - مقادیر پارامترهای مدل بدست آمده و جنس لایه ها در نقطه سونداز S ₁₂ ۸۴ | ۸۴ |
| جدول ۱-۵ - ۴ - مقادیر پارامترهای مدل بدست آمده و جنس لایه ها در نقطه سونداز S ₁₆ ۸۴ | ۸۴ |
| جدول ۱-۵ - ۵ - مقادیر پارامترهای مدل بدست آمده و جنس لایه ها در نقطه سونداز S _{6N} ۸۴ | ۸۴ |
| جدول ۱-۵ - ۶ - مقادیر پارامترهای مدل بدست آمده و جنس لایه ها در نقطه سونداز S ₁₉ ۸۵ | ۸۵ |
| جدول ۱-۵ - ۷ - مقادیر پارامترهای مدل بدست آمده و جنس لایه ها در نقطه سونداز S ₂₀ ۸۵ | ۸۵ |
| جدول ۱-۵ - ۸ - مقادیر پارامترهای مدل بدست آمده و جنس لایه ها در نقطه سونداز S ₂₁ ۸۶ | ۸۶ |
| جدول ۱-۹ - موقعیت، عمق و سطح آب زیرزمینی در هر نقطه از سوندazها ۸۸ | ۸۸ |
| جدول الف - ۱ - داده های اندازه گیری شده برای سوندazها (S ₁ تا S ₆₃) ۱۰۲ | ۱۰۲ |
| جدول ب - ۱ - داده های اندازه گیری شده برای پروفیل AA (منطقه خواجه ریبع) ۱۱۳ | ۱۱۳ |
| جدول ب - ۲ - داده های اندازه گیری شده برای پروفیل BB (منطقه خواجه ریبع) ۱۱۴ | ۱۱۴ |
| جدول ب - ۳ - داده های اندازه گیری شده برای پروفیل CC (منطقه گلشهر) ۱۱۵ | ۱۱۵ |
| جدول ب - ۴ - داده های اندازه گیری شده برای پروفیل DD (منطقه کنه بیست). ۱۱۵ | ۱۱۵ |

نمادها:

فاصله الکترودی در آرایش ونر : a

الکترود های جریان : C_1, C_2

تصاویر الکترودهای جریان : C', C''

شدت جریان الکتریکی : I

شدت میدان الکتریکی : E

چگالی جریان : ρ

ضریب انعکاس فصل مشترک دو محیط : k

الکترودهای پتانسیل : P_1, P_2

مقاومت بین دو سطح هم پتانسیل : R

فاصله شعاعی در مختصات استوانه ای : r

فاصله الکترود جریان از مبدأ مختصات (محل گسل) : r_0

فاصله الکترود پتانسیل از مبدأ مختصات (محل گسل) : r_1

پتانسیل الکتریکی : U

پتانسیل در محیط اول در نتیجه الکترود جریان در محیط اول : U_{1A}

پتانسیل در محیط دوم در نتیجه الکترود جریان در محیط اول : U_{2A}

اختلاف پتانسیل الکتریکی : ΔV

مقاومت ویژه الکتریکی : ρ

مقاومت ویژه محیط های مختلف : ρ_1, ρ_2, ρ'

مقاومت ویژه ظاهری : ρ_w

زاویه آزمودنی در مختصات استوانه ای : φ

زاویه شبیه گسل : φ_1

فاکتور هندسی : K

فاصله بین الکترودهای پتانسیل : MN

فاصله بین الکترودهای جریان : AB

فصل اول : مقدمه و کلیات

۱- مقدمه

زمین لرزه^۱ یکی از پدیده های طبیعی کره زمین است که می تواند اثرات زیانبار و ویرانگری بر ساختار اقتصادی و اجتماعی جامعه انسانی بگذارد.

جایگیری کشور ایران در نوار لرزه خیز آلپ- هیمالیا، آنرا در ردیف کشورهای لرزه خیز جهان قرار داده است و هر ساله رویداد یک یا چند زمین لرزه باعث تلفات جانی فراوان و زیانهای اقتصادی و اجتماعی کلان می گردد. علیرغم پیشرفت‌های زیادی که در زمینه علوم زمین شناسی و لرزه شناسی صورت گرفته است، تاکنون این علوم نتوانسته اند راه حل های مطمئنی برای پیش بینی زمان رویداد زمین لرزه ارائه دهند. لیکن با بررسی و مطالعه ساختار پوسته زمین^۲ و میزان دگرشکلی آن و شناسائی و مطالعه دقیق و همه جانبی گسلهای اطراف مناطق لرزه خیز، تا حدودی پیش بینی مکان رویداد گسلش و زمین لرزه آتی و توان لرزه زائی آنها امکان پذیر گشته است که با بکارگیری نتیجه این مطالعات و برآوردها در هنگام طراحی سازه ها توسط مهندسین طراح ، می توان از میزان خسارات واردہ بر سازه و آثار زیانبار اقتصادی-اجتماعی زمین لرزه کاست و یا آنرا به کمینه رساند.

در احداث سازه های مهمی چون نیروگاهها، سدها ، کارخانجات مهم صنعتی و همچنین خطوط انتقال گازونفت بایستی به گسلهای نزدیک، توجه خاص داشت.

از مهمترین زلزله هایی که در سه دهه اخیر در کشور روی داده اند می توان به موارد ذیل اشاره کرد:

الف-زلزله طبس: در ساعت ۷:۳۶ بعدازظهر ۲۵ شهریور ۱۳۵۷ استان خراسان بوسیله یکی از بزرگترین زلزله های قرن اخیر ایران به لرزه در آمد و شهر زیبا و تاریخی طبس با سابقه بیش از

^۱-Earthquake
^۲-Earth crust

این اطلاعات با اطلاعات پیزومترها، سطح آب زیرزمینی در کل شهر مشهد با دقت بیشتری تعیین شود.

۱- موقعیت جغرافیایی منطقه

محدوده مورد مطالعه در بین طولهای ۷۴۳۰۰۰ شرقی و عرضهای ۴۰۱۷۰۰۰ تا ۴۰۳۳۰۰۰ شمالی دشت مشهد واقع می باشد . نقشه توپوگرافی منطقه در پیوست ۵ و تصویر ماهواره ای آن در شکل ۱-۱ ارائه شده است . در تصویر ماهواره ای ، موقعیت مکانهایی که در آنجا برداشت داده ها صورت گرفته و همچین پیزومترهای اطراف شهر مشهد، مشخص شده است .

۲- سوابق مطالعات انجام شده و ضرورت انجام تحقیق

در دنیا مقالات مختلفی در مورد اکتشاف گسلها با روش ژئوکتریک ارائه شده است. در ایران نیز انجام این مطالعات با گذشت زمان بدلیل اهمیت موضوع زمین لرزه ها روبه افزایش است. در شهر مشهد مطالعات ژئوکتریکی بمنظور گسلها، فقط برای نواحی اطراف کشف رود انجام پذیرفته است.

۳- اهداف پایان نامه

در مطالعات ریزپهنه بندی لرزه ای شهر مشهد اکتشاف واثبات وجود یا عدم وجود گسل شمال مشهد از اجزای اصلی پروژه می باشد که در تصمیم گیری ها ونتیجه نهایی پروژه نقش مهمی ایفا می کند.

تعیین سطح آب زیرزمینی در دشت نیز می تواند شهرداری، سازمان آب و ارگانهای مربوطه دیگر را در مطالعات زیست محیطی و آلودگی آبهای زیرزمینی و همچنین حفاری چاههای جدید یاری دهد.



شکل ۱-۱- موقعیت مناطق برداشت داده ها (فلشهای زرد رنگ) و پیغامبرت های اطراف شهر مشهد(ستاره های قرمز).

۱-۵ روش انجام تحقیق

برای انجام مطالعات ژئوالکتریکی گسل شمال مشهد درابتدا اطلاعات زمین شناسی عمومی، ساختمانی، چینه شناسی، ژئومورفولوژی^۱، نقشه های توپوگرافی و عکس های هوایی و تصاویر ماهواره ای مربوط به منطقه جمع آوری گردید و سپس برداشت داده های ژئوالکتریکی در نقاط مناسب با استفاده از سوندazerی با آرایش شلومبرگر^۲ و بروفیل زنی با آرایشهای لی و ونر^۳ انجام شد . در این پروژه ابتدا برای بدست آوردن اطلاعات کلی وکیفی از وضعیت زیرسطح، تفسیرکیفی داده ها انجام شده است و در نقاطی که سوندazerها تغییرات محسوسی نشان داده اند، شبه مقطع قائم مقاومت ویژه زمین محل با استفاده از نرم افزار Surfer تهیه شده است. بمنظور بدست آوردن ضخامت و مقاومت ویژه دقیق لایه ها ، داده های سوندazerها پس از اصلاحات لازم وارد نرم افزار Resix شدند تا بوسیله معکوس سازی یک بعدی مورد پردازش قرار گیرند. بدینوسیله مدل یک بعدی از ساختارهای زیرسطحی تهیه گردید.

بمنظور بدست آوردن مدل دو بعدی از ساختارهای واقع در زیر سطح زمین، داده های سوندazerهای واقع در آن نقاط بوسیله نرم افزار Res2DINV مورد پردازش قرار گرفتند تا معکوس سازی دو بعدی بر روی آنها انجام گیرد. در پایان با استفاده از کلیه اطلاعات، نتایج مدلسازی مورد ارزیابی قرار گرفته و محل عبور گسل در محدوده مورد مطالعه با دقت مناسبی مشخص گردید و همچنین بوسیله اطلاعات بدست آمده از سوندazerها و پیزومترهای اطراف، سطح آب زیرزمینی در شهر مشهد با دقت بیشتری تعیین گردید .

۱-۶ ساختار پایان نامه

این پایان نامه مشتمل برشش فصل می باشد. در فصل اول ابتداء توضیحاتی در مورد پدیده زمین لرزه و موقعیت جغرافیایی منطقه مورد مطالعه ، سوابق، مطالعات انجام شده در منطقه و ضرورت

^۱- Geomorphology

^۲- Schlumberger

^۳- Lee and Wenner arrays

فصل اول : مقدمه و کلیات

انجام تحقیق و همچنین روش انجام پژوهه مورد بحث قرار گرفته است. در فصل دوم ابتدا تعریف گسل، انواع آنها، نشانه‌های تشخیص آنها و سپس اطلاعات زمین‌شناسی منطقه ارائه شده است.

در فصل سوم مختصری در مورد روش مقاومت ویژه، انواع آرایشهای مهم الکترودی و سپس کاربرد منحنی‌های تئوری در اکتشاف گسلها ذکر شده است. در فصل چهارم تفسیر کیفی داده‌ها و در فصل پنجم پس از توضیح مختصری در مورد روشهای مدل‌سازی، نتایج مدل‌سازی یک بعدی و دو بعدی داده‌ها و تفسیر آنها ارائه شده است. در فصل ششم نتایج نهایی این مطالعات آورده شده است.

فصل دوم:

اطلاعات زمین‌شناسی منطقه مورد مطالعه

۱-۲ مشخصات محدوده مورد مطالعه

شهر مشهد مرکز استان خراسان رضوی و دومین کانون تراکم جمعیتی کشور می‌باشد که در حدفاصل کوههای هزار مسجد و بینالود با امتداد شمال غربی – جنوب شرقی قرار گرفته است. ارتفاع آن از سطح دریا برابر ۹۹۹ مترمی باشد. رودخانه‌های اصلی حوضه آبریز دشت مشهد، کشف رود، اردکان، عارفی و طرق بوده و میزان متوسط بارندگی سالانه آن برابر ۲۵۷,۵ میلیمتر می‌باشد.^[۴]

۱-۱ زمین‌شناسی عمومی و ساختمانی گستره مورد مطالعه

گستره پیرامون شهر مشهد به شعاع تقریباً ۱۵۰ کیلومتر در واحدهای زمین‌شناسی ایران مرکزی و کمربند چین خورده کپه داغ قرار می‌گیرد. قسمتی از نقشه زمین‌شناسی ۱:۱۰۰۰۰۰ مشهد که محدوده مورد مطالعه در آن قرار می‌گیرد، در شکل ۱-۲ آورده شده است. شهر مشهد در منتهی‌الیه جنوبی دشت مشهد، در کنار مجموعه افیولیتی مشهد قرار گرفته است. این مجموعه نشانگر محل خط درز اقیانوس قدیمی پالئوتیس^۱ است که در دوران پالئوزوئیک تا تریاس جدا کننده دو بزرگ قاره گندوانا در جنوب و لورازیا در شمال بوده است. به عبارت دیگر شهر مشهد در حد بین دو زون ساختاری بسیار مهم قرار گرفته است. در شمال، ارتفاعات کپه‌داغ بر روی پی سنگ ورق توران نهشته شده است که نشانگر بخش جنوبی لورازیا است. در جنوب، کوههای بینالود نشانگر خط برخورد قاره‌ای و لبه برآمده خرد قاره شرق مرکز ایران است.^[۱]

در طی دوران پالئوزوئیک اقیانوس پالئوتیس جدا کننده این دو ورق بوده است. از دوره کربونیفر فرورانش پوسته اقیانوسی به زیر ورق توران در شمال آغاز می‌شود. همگرایی بین دو قاره از این زمان ادامه می‌یابد تا اینکه در پایان تریاس ورقهای ایران در جنوب و توران در شمال همزمان با کوهزائی سیمیرین با هم برخورد کرده و مجموعه افیولیتی مشهد بر روی لبه ایران رانده و جایگزین می‌شود.

^۱ - Paleotetis

فصل دوم: اطلاعات زمین شناسی منطقه مورد مطالعه



KOPEH DAGH ZONE

| | CRET | Kbh | Reddish conglomerate and red to yellowish sandstone with marl intercalation (SHIRINDEH F.) |
|----------|--------|------|---|
| | MAM | Jmz2 | Pale grey well bedded argillaceous limestone with thick intercalations of marl, in some parts of upper mud layers with sandstone beds |
| | MAM | Jmz1 | Buff massive to thick bedded calcitarenous dolomite |
| JURASSIC | DOGGER | Jch | Pale grey ammonite bearing marl and limestone (A HAMANBH F.) |
| Jash | | Jsh | Jsh: Macroconglomerate, sandstone and marl |
| Jsh | | Jsh | Jsh: Sandstone with shale intercalations |
| Jsh | | Jsh | Jsh: Shale with sandstone intercalations |
| Jsh | | Jsh | Jsh: Basal conglomerate, microconglomerate and sandstone (KASHAFUD F.) |
| Jsh | | Jsh | Jsh: Alternation of dark green sandstone and pencil shale with plant remains (equivalent to mankuh F.) |

SUTURE ZONE

- p^{tr}: Metamorphosed turbidite sequence including phyllite, crystalline limestone, calc-schist, felsic, lepidolite, chlorite schists
- p^m: Marble
- p^s: Silitic rocks locally with pillow structures
- p^q: Quartzite
- p^{ub}: Ultrabasic rocks in general including metamorphosed harzburgite, serpentinite, lherzolite
- p^{ms}: Association of sedimentary sequence with ultramafic rocks and silitic

شکل ۱-۲ قسمتی از نقشه زمین شناسی ۱:۱۰۰۰۰۰ مشهد که محدوده مورد مطالعه در آن قرار گرفته است [۴].

همزمان با این برخورد، مآگمای گرانیتی در لبه برخورد تشکیل شده و به داخل منشور فزاینده و سنگهای مجاور آن نفوذ می‌کند که امروزه این گرانیتها را هم در جنوب مشهد و هم در منطقه شمال غرب تربت جام می‌توان دید. پس از برخورد با شروع فرسایش مجموعه کوهزاپی، رسوبات بصورت کنگلومرا بر روی این مجموعه نهشته می‌شود که سپس جای خود را به رسوبات آواری ریزدانه‌تر و نهایتاً رسوبات شیلی سازند کشف رود می‌دهد بطور کلی گستره ورقه مشهد به سه محدوده متفاوت از یکدیگر تقسیم می‌شود که بترتیب از شمال به جنوب شامل زون کپه داغ، زون مفصلی و زون بینالود است. [۱].

الف - زون کپه داغ

این زون مرز شمالی شهر مشهد را تشکیل می‌دهد و از سازند های گوناگونی تشکیل شده که خاص حوضه رسوی زون ساختاری کپه داغ می‌باشد که می‌توان به سازند های کشف رود، چمن بید، مزدوران وشوریچه اشاره کرد. راستای ساختمانهای موجود در این محدوده شمال غرب-جنوب شرق است و در همین راستا راندگی های مهمی وجود دارد که بازتابی از تکتونیک حاکم بر منطقه است.

واحدهای اصلی تشکیل دهنده این زون بترتیب از جدید به قدیم به قرار زیر است :

- واحد k_{sh} : شامل کنگلومرای قرمز رنگ و ماسه سنگ های قرمز تا زردرنگ می‌باشد که لایه های نازک مارن نیز گاهی اوقات در آن دیده می‌شود. سن آن کرتاسه پایینی می‌باشد.
- واحد $Jmz2$: این واحد از آهک ها آرژیلیتی لایه لایه ولایه های ضخیم مارن تشکیل یافته که در برخی قسمتهای بالایی آن لایه های ماسه سنگ نیز بچشم می‌خورد. سن آن ژوراسیک ژوراسیک مالم می‌باشد.
- واحد $Imz1$: شامل آآینترامیکرودیت ضخیم لایه و تووده ای به سن ژوراسیک مالم می‌باشد.

- واحد J : این واحد از آهک ها و مارنهای آمونیت دار طوسی رنگ تشکیل یافته که سن آن ژوراسیک دوگر می‌باشد.
- واحد J_k^{sh} : ماسه سنگ به همراه لایه های نازک شیل از اجزاء اصلی این واحد می‌باشد و سن آن ژوراسیک دوگر است.

- واحد $J_k^{\text{sh.s}}$: شیل جزء اصلی این واحد می باشد که لایه های نازک ماسه سنگ نیز ممکن است در آن مشاهده شود سن این واحد نیز ژوراسیک دوگر است.

- واحد J_k^c : شامل کنگلومرا، میکروکنگلومرا و ماسه سنگ می باشد و سن آن نیز ژوراسیک دوگر است.

- واحد $T^{\text{sh.s}}$: این واحد شامل ماسه سنگ های سبزتیره و شیل به همراه بقایای فسیلهای گیاهی می باشد و سن آن تریاس است.

ب - زون مفصلی^۱

این زون بین محدوده بینالود و کپه داغ واقع شده و شامل سنگهای دگرگونی ومجموعه افیولیتی است. مجموعه افیولیتی و سنگهای دگرگونی مرتبط با آن نوارهایی بطول دهها کیلومتر با روند شمال غرب - جنوب شرق را در دامنه شمالي ارتفاعات بینالود تشکیل می دهد . فسیلهای بدست آمده از سنگهای آهکی نازک لایه رسوبات توربیدیاتی مربوط به کمپلکس افیولیتی، سن پرمین بالا را برای این مجموعه نشان می دهد[۴] . این محدوده بترتیب از جدید به قدیم از واحدهای زیر تشکیل یافته است:

- واحد p^{t} : شامل فیلیت، آهک کریستالین، کالک شیست، توف و لاپیلی توف می باشد که در میان آن کوارتزیت و گاهی مرمر نیز به چشم می خورد.

- واحد p^s : شامل سنگهای اسپیلیتی عموماً با ساختارهای بالشی می باشد.

- واحد p^{ub} : شامل سنگهای اولترا بازیک و بطور کلی هارزبورگیت ، سرپانتینیت ولرزولیت دگرگون شده می باشد.

- واحد $p^{\text{m.u.s}}$: شامل مجموعه ای از توالی سنگهای رسوبی واولترامافیک و اسپلیت می باشد.

ج - زون بینالود

ارتفاعات بینالود سلسله جبالی خمیده با راستای تقریباً شرقی- غربی و تحدبی به سمت شمال است که دربرگیرنده سنگها و رسوبات پالئوزوئیک، مزوузوئیک، و سنووزوئیک می باشد و از دید ژئوتکنیکی در لبه شمال شرقی قطعه لیتوسفری ایران قرار گرفته است. این سلسله جبال یک نوار چین خورده

^۱- Suture Zone

و گسلیده از نوع نازک پوسته ای است که بدبال تصادم میان قطعات لیتوسفری ایران و توران در حاشیه شمال شرقی ایران تشکیل شده است [۴].

بدلیل اینکه واحدهای تشکیل دهنده این زون در محدوده مورد مطالعه قرار نمی گیرند از توضیح راجع به واحدهای این محدوده صرفنظر می کنیم.

۲-۱-۲ سنگهای نفوذی و مagma تیسم منطقه مورد مطالعه

تنها برون زدگی اصلی سنگهای نفوذی در محدوده مورد مطالعه، در جنوب غربی شهر مشهد مشاهده می شود که مربوط به توشه^{rz} به جنس لوکوگرانیت و گرانیت تورمالین- موسکویت دار می باشد [۴].

۳-۱-۲ نهشته های آبرفتی دشت مشهد

شهر مشهد بر روی نهشته های آبرفتی جوان دشت مشهد بنا شده است. مهمترین عارضه فیزیوگرافی دشت مشهد رودخانه کشف رود است که از کوههای هزارمسجد و بینالود سرچشمه گرفته و پس از عبور از دشت مشهد و رشته کوههای مزدوران با پیوستن به رودخانه مرزی هریرود، رودخانه تجن را تشکیل داده که سرانجام در نزدیکی سرخس وارد صحرا قره قوم در ترکمنستان می شود [۱].

نهشته های آبرفتی این دشت حاصل فعالیت رودخانه کشف رود و سیلابهای فصلی رودخانه هایی نظیر رادکان، کارده و ... از کوههای هزارمسجد، و رودخانه های فریزی، شاندیز، طرقبه، طرق و ... از کوههای بینالود می باشند. بیشترین ضخامت رسوبات دشت مشهد در بخش غربی دشت واقع شده و حدود ۲۵۰ متر است. بطور کلی نهشته های دشت مشهد از قدیم به جدید عبارتند از [۱]:

الف- سازند آبرفتی هزاردره

ب- آبرفت های جوان دشت مشهد

ج- آبرفت های عهد حاضر یا هولوسن

الف - رخساره آبرفتی هزار دره

قدیمی ترین نهشته های آبرفتی گستره مشهد، سازند هزاردره است که در دامنه های جنوبی رشته کوه هزارمسجد و دامنه های شمالی کوههای بینالود، بلندترین پادگانه های آبرفتی دشت را

تشکیل می دهد. برای مثال می توان به بروزد این واحد در مسیر جاده مشهد به طرقه و شاندیز و جاده کارخانه سیمان مشهد اشاره نمود که با دگرشیبی بروی سنگهای قدیمی تر جای دارد. در جنوب شاندیز در جاده نقدندر، دگرشیبی این سازند با کنگلومراهای ژوراسیک قابل مشاهده است.

سازند هزار دره در این منطقه کنگلومرای کم و بیش سخت شامل قطعاتی در حد قله سنگ و شن است که فضای خالی قطعات با ماسه و سیلت و رس پر شده است . از آنجا که خاستگاه سازند هزاردره در بخش جنوبی دشت بیشتر فیلیتهای مشهد می باشد قطعات کشیده و بدون گردشگی اند. در حالیکه قطعات سازند هزاردره در قسمت شمالی منطقه با توجه به خاستگاه آنها که از فرسایش واحدهای کربناته و تخریبی کوههای هزارمسجد حاصل شده اند، گردشگی نشان می دهند.

سازند هزاردره در این منطقه طی فاز اصلی رویداد پاسادنین شکل گرفته و پادگانه های بلندی با میانگین بلندی ۳۰ تا ۴۰ متر را تشکیل داده است، سپس آبراهه ها در آن توسعه یافته و ژرفای آنها افزایش یافته است. این سازند به نسبت استحکام خوبی دارد. برای نمونه می توان به دیواره های با شبی شاقولی در محل گودبرداریهای انجام شده در این سازند در دره نقدندر اشاره نمود که با توجه به شبی زیاد دامنه و بلندی چندین متری به خوبی پایدار است. سازند هزار دره در برخی مناطق دشت از خود چینه بندی نشان می دهد و در بیشتر مناطق کم و بیش افقی است. افقهای هوازده نهشته های ریزدانه که مربوط به دوره بین یخچالی است در سازند هزار دره قابل مشاهده است که گاهی در حدود ۱ تا ۲ متر ضخامت دارند [۱].

ب - آبرفتهای جوان دشت مشهد

این آبرفتها رسوبات دامنه ای ، پادگانه های آبرفتی کم ارتفاع (بخش بالایی بادبزنهاي آبرفتی) و پادگانه بلند رودخانه کشف رود را تشکیل می دهند. پادگانه های آبرفتی کم ارتفاع (کوتاهتر از سازند هزاردره) در حاشیه ارتفاعات و بیشتر در پای پادگانه های بلند هزاردره گسترش دارد . از دیدگاه لیتوژوژی شامل کنگلومرای سست با ضخامت کم می باشند که در مقایسه با سازند هزاردره ریز دانه کمتری داشته، تمیزتر بوده و فضای خالی آنها با چشم به راحتی دیده می شود. افقهای هوازده در این نهشته ها به ندرت دیده می شود و در صورت وجود دارای ضخامت کمی است . قطعه های موجود در این واحد در بخش جنوبی دشت قطعه های فرسایش یافته و گرد نشده فیلیتهای مشهد و

در بخش شمالی، قطعه های حاصل از کوههای هزارمسجد هستند که گردشده اند (مانند سازند هزاردره) [1].

فرسایش در این پادگانه ها کمتر از پادگانه های سازند هزاردره بوده و آبراهه ها چندان ژرف نیستند. نمونه هایی از آن را می توان در دره های شاندیز و طرق به مشاهده نمود. نهشته های اخیر به سوی دشت دانه ریزتر شده و به وسیله آبرفتها عهد حاضر (بخش پایینی بادبزنها بزرگ و اصلی دشت) پوشیده می شوند.

در انتهای محدوده رسوبگذاری بادبزنها آبرفتی ، پادگانه های بلند و قدیمی رودخانه کشف رود شامل نهشته های ریزدانه می گردد که بخش های بالای آن توسط بادبزنها آبرفتی در حال دفن شدن است. این پادگانه ها به میزان قابل توجهی از زمین های بالادست و پایین دست خود بلندتر است و در بیشتر مناطق به صورت متقارن (از نظر وسعت و بلندی) در هر دو کرانه کشف رود وجود دارد و به وسیله زمینهای کشاورزی (به ویژه در جنوب رودخانه) پوشیده شده است [1].

ج - آبرفتها عهد حاضر

جوانترین واحدهای آبرفتی موجود در دشت مشهد شامل نهشته های بخش پایینی بادبزنها آبرفتی ، رسوبات بستر رودخانه کشف رود و دیگر رودخانه های منطقه و پادگانه پست و جدیدتر رودخانه کشف رود و نهشته های بادرفتی می باشد. در این میان نهشته های پست کشف رود از مواد ریزدانه تشکیل و مانند پادگانه بلند ، بیشتر آن به وسیله زمینهای کشاورزی پوشیده می شود. این پادگانه نیز به صورت متقارن در هر دو کرانه رودخانه کشف رود دیده می شود . دیگر نهشته ها به صورت ترکیبی از مواد ریزدانه و درشت دانه دیده می شوند [1].

رسوبات در شهر مشهد متأثر از رسوبگذاری رودخانه کشف رود و مسیلهای فرعی جنوبی و جنوب غربی و همچنین رسوبگذاری بادی می باشد. بافت خاک در سطح شهر نیز تابعی از فاصله تا ارتفاعات و همچنین فاصله تا مسیلهای اصلی است. بررسی های انجام شده نشان می دهد که بطور کلی بافت خاک در سطح شهر مشهد از غرب به سمت شرق و همچنین از جنوب به سمت شمال ریز دانه تر می گردد [1].

از نظر منشاء رسوبگذاری نهشته های زیر شهر مشهد را می توان به سه بخش جدا گانه زیر تقسیم نمود:

- **نهشته های حاشیه جنوبی شهر:** نهشته های پای ارتفاعات جنوبی شهر از نوع دامنه ای و مخروط افکنه ای می باشد. مسیل هایی که از ارتفاعات بینالود سرچشمه می گیرند در ابتدای ورود به دشت مشهد مخروط افکنه های کوچکی تشکیل داده اند. از بهم پیوستن این مخروط افکنه رسوبات درشت دانه شنی به عرض حدود یک کیلومتر در حاشیه ارتفاعات جنوبی تشکیل شده است. با دور شدن از ارتفاعات شکست مشخصی در شب زمین بوجود آمده است و اندازه دانه ها در حد ماسه تقلیل یافته است. ضخامت رسوبات در حاشیه ارتفاعات کمتر از یک متر است در حالی که در داخل مسیلهای به بیش از ۱۰ متر میرسد. با دور شدن از ارتفاعات ضخامت رسوبات نیز افزایش می یابد. در محدوده رضا شهر بطور استثناء ضخامت قابل توجهی رسوبات ریز دانه گچ دار وجود دارد. نهشته های گچ حتی در داخل درز و شکاف توده سنگهای الترا بازیک نیز مشاهده می گردد. بنظر می رسد در گذشته در این محدوده حوضه رسوبی کم عمقی وجود داشته است که نهشته های تبخیری و خاک ریز دانه بجا گذاشته شده است [۱].

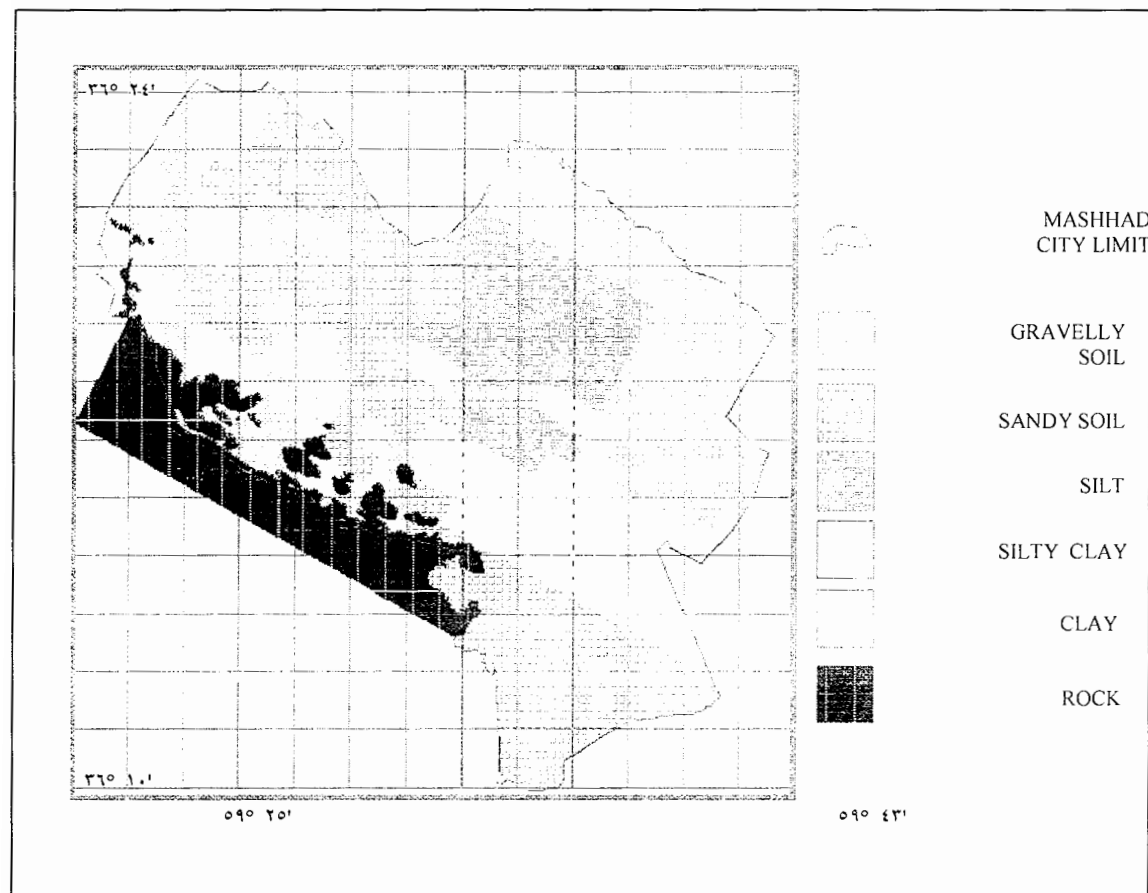
در حال حاضر نوع افق دیگری از خاک در حاشیه ارتفاعات جنوبی شهر مشهد بخصوص در حاشیه مسیلهای وجود دارد که نخاله ساختمانی و خاک دستی می باشد. ضخامت این افق خاک در برخی قسمتها به بیش از ۱۰ متر نیز می رسد.

- **نهشته های رسوبی غرب مشهد:** زمینهای غرب مشهد شامل اراضی الهیه، امامیه، قاسم آباد، آزاد شهر و بخشی از سجاد، متاثر از رسوبگذاری مسیلهایی می باشد که از ارتفاعات دگرگونی جنوب غرب مشهد سرچشمه می گیرد. مهمترین مسیلهای این قسمت کال شاندیز، چهل بازه و منزل آباد می باشد. مسیلهای فوق سرشاخه های کشف رود می باشند که به تبعیت از شب عمومی توپوگرافی با روند شمال شرقی به کشف رود می ریزند. با توجه به نزدیک بودن به ارتفاعات، نهشته های این قسمت عموماً شنی می باشد. در اطراف مسیل چهل بازه پهنه های ماسه ای وجود دارد که مربوط به زمان طغیان آن می باشد [۱].

- **نهشته های رسویی مرکز مشهد:** رسوبات مرکز شهر مشهد نیز مربوط به مسیل هایی می باشد که از ارتفاعات جنوبی و جنوب غربی سرچشممه می گیرند و نهایتاً به کشف رود می ریزند. از جمله این مسیلها کال خیام، چایش و اقبال را می توان نام برد. با توجه به فاصله از ارتفاعات جنوبی و همچنین جنوب غربی، رسوبات در مرکز شهر مشهد ریز دانه تر می باشد. در بخش مرکزی تناب سیلت، رس و ماسه را داریم. در حاشیه مسیلها درصد ماسه بیشتر است و با دور شدن از مسیلها درصد سیلت و رس افزایش می یابد. با توجه به جابجایی رودخانه ها بر روی دشت سیلابی در گذشته، در مقطع عمقی ناهمگنی دریافت خاک وجود دارد[۱].

- **نهشته های شرق مشهد:** مهمترین مسیل در شرق مشهد رودخانه طرق و کال اقبال می باشد. مسیر رودخانه طرق در حال حاضر به سمت شرق منحرف شده و در خارج از شهر مشهد قرار دارد ولی در گذشته می توانسته است مسیرهای دیگری را داشته باشد. بافت خاک در شرق مشهد نیز با توجه به فاصله زیاد از ارتفاعات بجز در حاشیه مسیل ها سیلتی-رسی می باشد[۱].

- **نهشته های شمال و شمال شرق مشهد:** بخش شمالی دشت مشهد نزدیک به رودخانه کشف رود است و نسبت به سایر بخشها نزدیک تر به حوضه سیلابی این رودخانه بزرگ قرار داشته است. در حال حاضر رودخانه کشف رود حالت آرامی دارد و رسوبات کف و کناره آن ریز دانه است. اما در گذشته این رودخانه دارای سیلابهای بزرگ بوده است که می توانسته بخشهای زیادی از شهر کنونی مشهد را در بر بگیرد. در بخش شمال شرقی شهر رسوبات سطحی ریز دانه می باشد. ولی احتمالاً در عمق به نهشته های درشت دانه کف کanal کشف رود برخورد می گردد[۱]. شکل ۲-۲ جنس نهشته های آبرفتی در نقاط مختلف شهر مشهد را نشان می دهد.



شکل ۲-۲- جنس نهشته های آبرفتی در نقاط مختلف شهر مشهد [۱].

۲-۲ گسل های اصلی گستره مورد مطالعه

گسلها عبارت از شکستگی های هستند که در آنها، سنگ های طرفین صفحه شکستگی، بموازات این صفحه لغزش^۱ پیدا می کنند و بكمک همین مشخصه، می توان آنها را از درزه ها تشخیص داد. لغزش گسلها در انواع مختلف متفاوت است و از چند میلیمترتا چندین کیلومتر تغییر می کند.

در بعضی از موارد، یک گسل به صورت مجزا دیده می شود ولی در پاره ای حالات، چندین گسل موازی و نزدیک به هم دیده می شوند که به نام منطقه گسلی^۲ نامیده می شوند. گاهی نیز بدون این که یک شکستگی مشخص در سنگها دیده شود، سنگها نسبت به هم تغییر مکان می یابند که منطقه بین آنها، به نام منطقه برشی^۳ موسوم است [۲].

مطالعه گسلهای فعال می تواند پایه ای برای بررسی های لرزه زمین ساختی در محدوده های مورد بررسی باشد. در فلات ایران به دلیل تراکم بالای گسل های فعال^۴ از یک طرف و دقت پایین داده های لرزه ای از طرف دیگر، چشمی برخی از زمین لرزه ها به بیش از یک گسل ارتباط داده شده است. علاوه بر این حرکت تدریجی در راستای بسیاری از گسل های فعال، در دوره های زمانی طولانی، گاه به صورت خزش^۵ بوده و یک زمین لرزه بزرگ را پدید نمی آورند. متاسفانه، چینه شناسی کواترنری و روش های زمین ریخت شناسی^۶ و بررسی های دیرینه لرزه شناسی در مطالعه گسلش فعلی به جز چند مورد در ایران به کار گرفته نشده است. بنابراین در بسیاری از گزارش های چاپ شده و نقشه ها، واژه گسل توانمند^۷ و گسل کواترنری به صورت متادلف مورد استفاده قرار گرفته اند [۱].

برخی از گسل های کواترنری ایران مستقیماً با زمین لرزه های شناخته شده بزرگ ایران در ارتباط بوده و در نتیجه پتانسیل ایجاد زمین لرزه های آینده را دارند. گسل های کواترنری دیگر که به طور مستقیم با زمین لرزه های تاریخی و دستگاهی مرتبط نیستند نیز با یک دیدگاه محافظه کارانه باید به عنوان چشممه های توانمند برای زمین لرزه های آینده در نظر گرفته شوند. نکته قابل توجه دیگر این است که بسیاری از گسل های شناخته شده اگر چه در زمان های گذشته حرکت کرده اند

^۱ - Slide

^۲ - Fault Zone

^۳ - Shear Zone

^۴ - Active Faults

^۵ - Creep

^۶ - Geomorphology

^۷ - Capable fault

اما ممکن است امروزه فعال نباشند. و یا بر عکس، برای گسلهای قدیمی امکان فعالیت در حال حاضر وجود دارد^[۱].

بطور کلی گسلهای فعال به دو دسته گسلهای توانمند و گسلهای خزشی تقسیم می‌شوند. گسلهای توانمند به گسلهایی گفته می‌شود که دارای توان ایجاد زمین لرزه قابل حس می‌باشند. گسلهایی که دارای توان حرکت خزشی، بدون ایجاد زمین لرزه قابل حس می‌باشند، گسلهای خزشی نامیده می‌شوند. بنابراین:

- ۱) فعالیت در گسل‌ها یا بصورت لرزه‌ای^۱ و یا بصورت بی لرزه^۲ است.
- ۲) گسلهای کواترنری، گسلهای فعالی هستند که ممکن است فعالیت در آنها از نوع خزشی و یا لرزه‌ای بوده باشد.

گسلهایی که دارای یک یا چند ویژگی زیر باشند، گسل توانمند به حساب می‌آیند:

- ۱- داشتن یک جنبش در سطح و یا نزدیکی سطح زمین طی ۳۵۰۰ سال گذشته و یا جنبش مکرر طی ۵۰۰۰۰ سال گذشته.

۲- وجود ارتباط ساختاری منطقی بین گسل موردنظر و یک گسل توانمند شناخته شده، بطوریکه جنبش یک گسل سبب جنبش گسل دیگر در سطح و یا نزدیکی سطح زمین شود.

- ۳- رویداد خرد زمین لرزه به تعداد زیاد همبسته با سطح گسل مذبور که بوسیله شبکه لرزه نگاری محلی برداشت شده باشد.

- ۴- مشاهده آینه و دیواره گسل در روی زمین که بوسیله فرسایش از بین نرفته باشد^[۱].

انتظار می‌رود که چنین گسلهایی در آینده نیز دچار جنبش دوباره شده و در هرگونه سازه‌ای که بر روی آنها قرار گیرند، برش ایجاد نمایند. در نتیجه شناخت دقیق و کامل این گسل‌ها گام نخست در راه مطالعات لرزه زمین ساخت، خطر گسلش و برآورد خطر زمین لرزه می‌باشد.

گسلهای اصلی محدوده اطراف دشت مشهد عبارتند از:

^۱-Seismic
^۲-Aseismic

الف - گسل احمدآباد: یک گسل معکوس با روند شمال غرب - جنوب شرق می باشد . جوان ترین واحدهایی که این گسل را قطع می کند واحد مارنی - کنگلومراپی میوسن می باشد.

ب - گسل خیرآباد (کشف رود) : این گسل جوانترین گسل موجود در زون کپه داغ (در محدوده مشهد) است زیرا بر روی رسوبات کواترنر نیز تاثیر گذاشته وامتداد آن حتی بر روی عکسهای ماهواره ای ۱۰۰۰۰۰۰ ۱: نیز بخوبی دیده می شود. این گسل یگ گسل معکوس با روند شمال غربی- جنوب شرقی است .

ج - گسل مانسار : این گسل معکوس شاخه ای فرعی از گسل اصلی خیرآباد است.

د - گسل شاندیز- سنگ بست: این گسل یکی از عمدۀ ترین گسلهای موجود در قسمت شمالی ارتفاعات بینالود می باشد. این گسل معکوس بوده وامتداد آن شمال غربی- جنوب شرقی وجهت راندگی در آن از شمال شرق به سمت جنوب غرب می باشد.

ه - گسل توس: گسل توس ، گسلی با راستای شمال غربی- جنوب شرقی و درازای ۲۴ کیلومتر می باشد. این گسل از میان دشت توس و تپه های شمالی آن (آهک های خاکستری سازند مزدوران) و شمال شهر توس عبور می کند. ادامه این گسل در بخش جنوب شرقی، در رسوبات آبرفتی کواترنر، زیاد روشن نیست و چون برಶی از گسل در روی سطح زمین دیده نمی شود، بشکل خط چین در نقشه های زمین شناسی نشان داده شده است. بر روی نگاره های هوایی در شمال شهر طوس روند گسل به صورت توپوگرافی تپه ساز قابل تشخیص می باشد. کنترل صحرایی روند مذکور نیز موید وجود چنین گسلی در این امتداد است.

تپه مذکور اساساً متتشکل از آهکهای مزدوران با لایه بندی NE₃₀W, W₂₅N است. در جنوب این تپه، دشت کواترنری واقع شده است. به نظر می رسد که عملکرد گسل طوس سبب برخاستگی این لایه ها در مجاورت دشت شده است. این توپوگرافی به سمت خاور به صورت یک دیواره کوتاه در کنگلومراها و مارن های نئوژن مشاهده می گردد و این احتمال در ذهن تقویت می شود که گسل طوس به سمت خاور در لایه های نئوژن نیز عمل کرده است که خود نشان دهنده فعل بودن گسل مذکور بعد از نئوژن است [۱] .

۳-۲ سوابق زمین لرزه های منطقه و معروفی گسل شمال مشهد

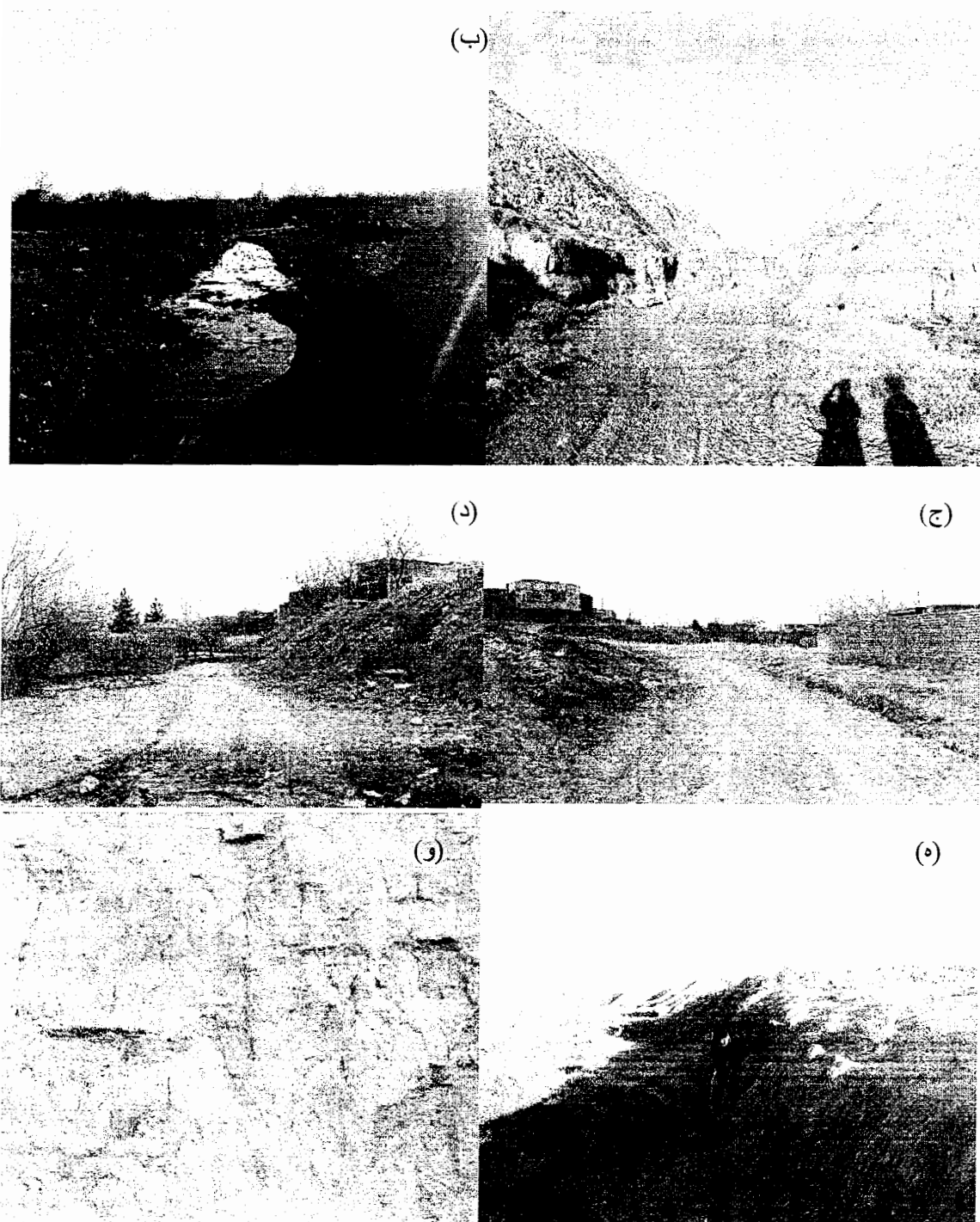
در گزارش شماره ۷۲ سازمان زمین شناسی (بربریان و همکاران ۱۳۷۸) شاخه ای از گسل کشف رود با امتداد شمالغرب - جنوب شرق که از شمال شهر توپ می گذرد، تحت عنوان گسل توپ نامیده شده است. در گزارش مذبور ادامه گسل به سمت شمال شرق را به صورت گسله احتمالی نشان داده که از شمال شهر مشهد می گذرد. نامبردگان کانون سطحی زلزله مورخ ۱۹۷۳/۰۷/۰۳ با بزرگی ۶/۶ و همچنین زلزله های تاریخی ۱۵۹۸، ۱۶۸۷/۰۴/۱، ۱۸۸۳/۰۲/۲۶ و ۱۸۸۳/۰۲/۲۶ را در مجاورت گسل احتمالی توپ مشخص نموده اند [۱].

در بررسی عکس‌های هوایی ۱:۲۵۰۰۰ شهر مشهد به روشنی روند خطی با امتداد شمال غرب - جنوب شرق مشاهده می گردد.

روند خطی فوق در محدوده هایی نظیر خواجه ربیع منجر به بالا آمدگی زمین شده و در بخش‌هایی توسط آبرفت جدید پوشیده شده است. تمامی آبراهه های اصلی و فرعی که از کوهپایه های جنوب و جنوب غرب مشهد سرچشمه می گیرند، بعد از رسیدن به روند خطی مذبور جابجایی نشان می دهند.

شکل ۳-۲ تصاویری از مناطق خواجه ربیع و نواحی شمال غرب آنرا نشان می دهد. در این شکل می توان تغییر ارتفاع ناگهانی زمین را که احتمالا در نتیجه عملکرد گسل مربوطه بوجود آمده، مشاهده نمود.

در عکس هوایی ۱:۵۰۰۰۰ (شکل ۴-۲)، روند تقریبی گسل مذبور با توجه به انحراف رودخانه ها ترسیم شده است.



شکل ۲-۳- عمیق شدگی و افزایش عرض دره ها (اشکال الف و ب) و تغییر ارتفاع ناگهانی زمین در شمال شهر مشهد (اشکال ج، د، ه، و) .



شکل ۲-۴- مسیر تقریبی گسل شمال مشهد بر روی عکس هوایی که با توجه به انحراف رودخانه های اصلی ترسیم شده است [۱].

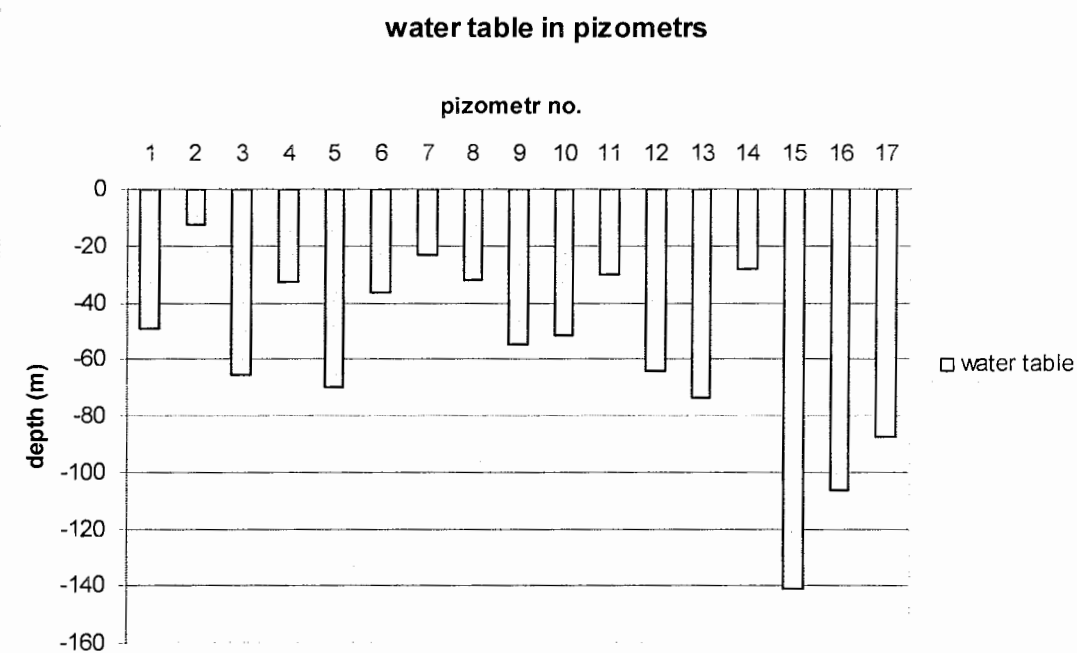
۴-۲ اطلاعات پیزومترهای دشت مشهد

بمنظور بررسی وضعیت تغییرات سطح آب زیرزمینی در شهر مشهد تعداد ۱۷ پیزومتر در سطح شهر و حومه آن قرار دارد که در این پایان نامه ما از اطلاعات آنها در تعیین سطح آب زیرزمینی در محل سوندazهای هر منطقه استفاده کرده ایم. موقعیت جغرافیایی وسایر مشخصات این پیزومترها در جدول ۱-۲ ارائه شده است.

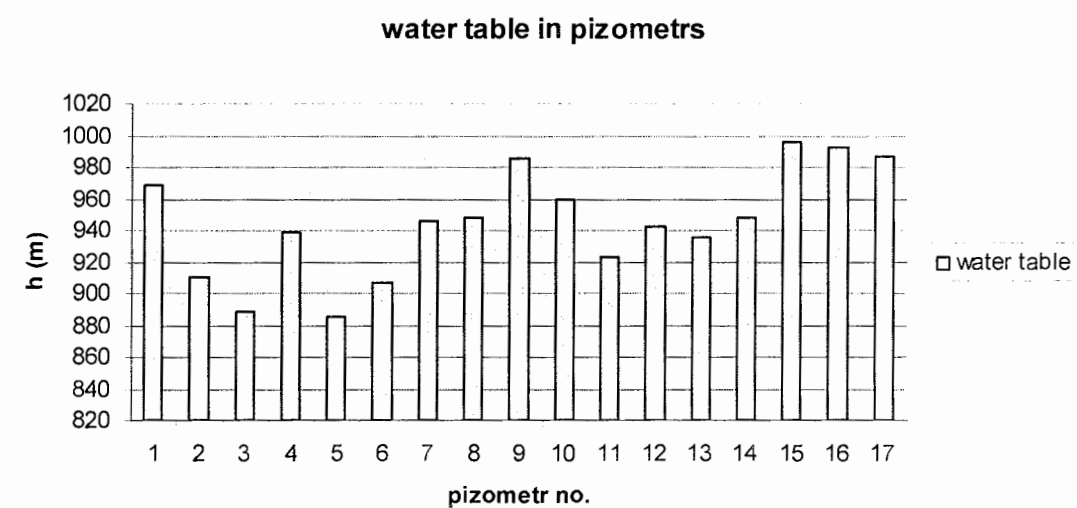
در اشکال ۲-۵ و ۶-۲ نیز عمق و سطح آب زیرزمینی در این پیزومترها بصورت نمودار نمایش داده شده است. با توجه به این شکل می‌توان گفت که عمق سطح آب در پیزومتر P_2 از همه کمتر (۱۲ متر) و در پیزومتر P_{15} از همه بیشتر است (۱۴۰ متر).

جدول ۱-۲ - موقعیت جغرافیایی پیزومترهای شهرمشهد و عمق و سطح آب زیرزمینی در هریک از آنها.

| شماره پیزومتر | محل | EASTING | NORTHING | عمق سطح آب از سطح زمین (متر) | ارتفاع سطح آب از سطح دریا (متر) |
|---------------|-----------------|---------|----------|------------------------------|---------------------------------|
| p_1 | بلوار تلویزیون | 729762 | 4019183 | -48.85 | 968.78 |
| p_2 | التیمور | 742998 | 4022196 | -12.39 | 910.84 |
| p_3 | کنوگرد | 741497 | 4027982 | -65.75 | 888.91 |
| p_4 | گراب | 738241 | 4030995 | -33 | 939.38 |
| p_5 | شایع | 736649 | 4029939 | -70 | 885.21 |
| p_6 | انبارسیس اباد | 737921 | 4025889 | -36.44 | 906.33 |
| p_7 | خواجه ریبع | 736060 | 4024928 | -23.48 | 945.26 |
| p_8 | بلوار راه آهن | 734735 | 4021641 | -32.08 | 947.52 |
| p_9 | دانشگاه | 727074 | 4022183 | -54.81 | 985.28 |
| p_{10} | بلوار فردوسی | 730024 | 4023054 | -51.71 | 959 |
| p_{11} | خین عرب | 733651 | 4029093 | -30.2 | 923.27 |
| p_{12} | بحرآباد | 729747 | 4026916 | -63.95 | 942.33 |
| p_{13} | تغّم مرز | 727238 | 4031447 | -73.52 | 935.77 |
| p_{14} | قهقهه | 728419 | 4033256 | -28.4 | 947.43 |
| p_{15} | حسن آبادویرانی | 715869 | 4033747 | -140.9 | 996.33 |
| p_{16} | قاسم اباد | 722497 | 4026449 | -106.17 | 992.92 |
| p_{17} | اراضی قاسم اباد | 726015 | 4027410 | -87.35 | 986.56 |



شکل ۲-۵- نمایش عمق سطح آب در هر یک از پیزومترهای اطراف مشهد.



شکل ۲-۶- نمایش ارتفاع سطح آب در هر یک از پیزومترهای اطراف مشهد.

فصل سوم:

روش مقاومت ویژه الکتریکی و کاربرد منحنی های تئوری در اکتشاف گسلها

۱-۳- روش مقاومت ویژه الکتریکی

اکتشافات ژئالکتریکی دارای روشهای متعدد می باشد. بعضی از این روشهای از میدانهای الکتریکی طبیعی زمین استفاده می کنند مانند روش پتانسیل خودزا^۱ و روش تلوریک^۲. در مقابل این روشهای روشهای دیگری وجود دارند که بکارگیری آنها مستلزم آنست که جریان به طور مصنوعی در داخل زمین فرستاده شود. مانندروش مقاومت مخصوص روش IP^۳.

آن دسته از روشهای الکتریکی که در آن جریان از طریق رساندن توسط الکترودهایی به زمین داده می شود بر اساس این واقعیت کار می کند که تغییرات رسانندگی زیر سطح زمین، شکل شارش جریان را در داخل زمین تغییر می دهد و این بر توزیع پتانسیل الکتریکی اثر می گذارد. درجه این اثر گذاری به اندازه، شکل، محل و مقاومت ویژه الکتریکی لایه ها یا اجسام زیر سطح بستگی دارد. بنابراین این امکان وجود دارد که از اندازه گیری پتانسیل بر روی سطح، اطلاعاتی از زیر زمین بدست آید.

پس هدف کاوشهای الکتریکی، تعیین توزیع مقاومت ویژه زیر سطحی با اندازه گیری ها در سطح زمین است و با استفاده از این اندازه گیری ها، می توان مقاومت ویژه حقیقی زیر سطحی را تخمین زد.

روشهای الکتریکی غالباً جهت اکتشاف مواد معدنی فلزی، آب و اکتشافات زمین شناسی مهندسی (مانند اکتشاف گسلها) مورد استفاده قرار می گیرند. در سالهای اخیر این روش را برای بررسی مسائل زیست محیطی بکار گرفته اند. در روش ژئالکتریک می توان با استفاده از اطلاعات بدست آمده از مقاومت ویژه سنگها، خصوصیات آنها را مشخص نمود.

^۱-Self Potential method

^۲-Telluric method

^۳- Induced polarization

ابزارهای اساسی برای اندازه گیری های مقاومت ویژه عبارتند از: منبع جریان DC یا AC با فرکانس پایین ، وسایل اندازه گیری جریان و ولتاژ، الکترودها، کابل و قرقه ها .

جریان را می توان بوسیله یک میلی آمپر متر و ولتاژ را بوسیله یک ولت متر با دقت یک میلی ولت اندازه گیری کرد.[10].

روش مقاومت ویژه در مقایسه با سایر روش‌های ژئوفیزیکی(مانند لرزه شناسی، گرانی سنگی و...) ویا روش‌های اکتشافی مستقیم(مانند حفاری و ...) خصوصیات زیر را دارد[12]:

- ا نعطاف پذیری(استفاده از آن در هر مرحله از اکتشافات مثل شناسایی اولیه، تعیین جزئیات).

- روشی نسبتاً سریع و آسان برای برداشت داده ها.

- هزینه های صحرایی پایین و کم بودن افراد مورد نیاز برای برداشت.

- سبک و قابل حمل بودن دستگاه ها.

- تفسیر کیفی داده ها بطور مستقیم صورت می گیرد.

البته علیرغم این مزیت ها، دارای محدودیت هایی نیز می باشد[12]:

- در برخی موارد، مدل‌های ژئوفیزیکی حاصل، با مدل زمین شناسی مربوط بسیار تفاوت دارد.

- ابهام در تفسیر داده های مقاومت ویژه باعث می شود که چندین مدل زمین شناسی وجود داشته باشد.

- دقت تعیین عمق در مقایسه با روش هایی مثل لرزه نگاری یا حفاری کمتر است.

۱-۱-۳ اساس تئوری مقاومت ویژه

اگر رسانایی حامل جریانی با خطوط شارش عمود بر سطح A باشد و R مقاومت ویژه اندازه گیری

شده بین دو سطح هم پتانسیل با فاصله L باشد، مقاومت ویژه آن چنین تعریف می شود:

$$\rho = R \frac{A}{L} \quad (1-3)$$

قانون فیزیکی مورد استفاده در روش مقاومت ویژه، قانون اهم، قانون حاکم بر شارش جریان الکتریکی در زمین است[13]. معادله قانون اهم بصورت برداری برای شارش جریان در محیط پیوسته و همسانگرد بصورت زیر است[15]:

$$\vec{J} = \sigma \vec{E} \quad (2-3)$$

که در این رابطه، σ رسانندگی محیط ($\sigma = 1/\rho$)، J چگالی جریان و E شدت میدان الکتریکی است. در عمل، پتانسیل میدان الکتریکی اندازه گیری می شود. رابطه میان پتانسیل الکتریکی و شدت میدان بصورت زیر است:

$$\vec{E} = -\vec{\nabla}V \quad (3-3)$$

با ترکیب معادلات (2-3) و (3-3) بدست می آوریم:

$$\vec{J} = -\sigma \vec{\nabla}V \quad (4-3)$$

رابطه بین چگالی جریان و جریان برای چشمۀ جریان نقطه ای عبارت است از:

$$\vec{\nabla} \cdot \vec{J} = \left[\frac{I}{\Delta v} \right] \delta(x - x_s) \delta(y - y_s) \delta(z - z_s) \quad (5-3)$$

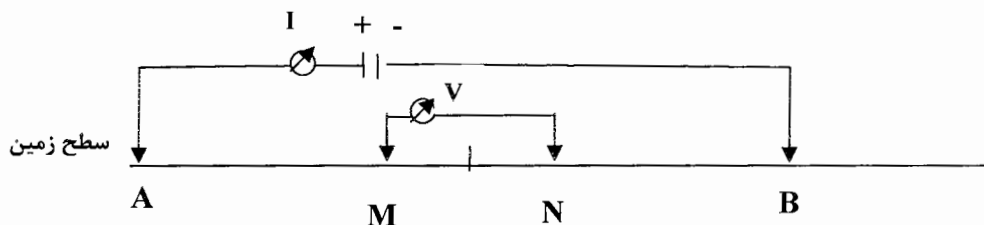
که (x_s, y_s, z_s) محل چشمۀ نقطه ای، Δv عنصر حجم اطراف منبع جریان I و δ تابع دلتای دیراک است. از قرار دادن رابطه (4-3) در رابطه (5-3) داریم:

$$-\vec{\nabla} \left[\sigma(x, y, z) \vec{\nabla} V(x, y, z) \right] = \left(\frac{I}{\Delta v} \right) \delta(x - x_s) \delta(y - y_s) \delta(z - z_s) \quad (6-3)$$

این رابطه، معادله اساسی است که از حل آن، توزیع پتانسیل در زمین بخاطر منبع جریان نقطه ای بدست می آید. تکنیک های زیادی برای حل این معادله وجود دارد. از حل این معادله، پتانسیل در فاصله r از چشمۀ جریان نقطه ای که در روی یک زمین همگن و همسانگرد است بدست می آید:

$$V = \frac{\rho I}{2\pi r} \quad (7-3)$$

در برداشت های مقاومت ویژه الکتریکی معمولا از چهار الکترود استفاده می شود که با توجه به وضعیت قرار گیری و موقعیت آنها نسبت به یکدیگر، آرایش‌های الکترودی گوناگون نامگذاری شده و مورد استفاده قرار می گیرند. شکل ۱-۳- فرم عمومی یک آرایش الکترودی نمونه و موقعیت الکترود ها را در این آرایش خاص نشان می دهد.



شکل ۱-۳ - فرم کلی یک آرایش

دو الکترود A و B، جریان را به زمین تزریق می کنند، این الکترود ها به دو قطب مخالف یک مولد جریان مستقیم (یا با فرکانس پایین) متصل شده، پس دارای جریانهای مساوی با جهت مخالف هستند. دو الکترود M و N پتانسیل الکتریکی ایجاد شده در اثر شارش جریان به درون زمین را اندازه گیری می کنند. برای محاسبه اختلاف پتانسیل، مقدار پتانسیل ناشی از الکترود های جریان را در محل هر الکترود پتانسیل محاسبه می کنیم. پتانسیل محاسبه شده برای الکترود M و الکترود N بصورت زیر خواهد بود [۷] :

$$V_M = V_A + V_B = \frac{I\rho}{2\pi} \left(\frac{1}{AM} - \frac{1}{MB} \right) \quad (8-3)$$

$$V_N = V_A + V_B = \frac{I\rho}{2\pi} \left(\frac{1}{AN} - \frac{1}{NB} \right) \quad (9-3)$$

با توجه به دو رابطه فوق، اختلاف پتانسیل بین دو الکترود M و N بصورت زیر بدست می آید:

$$\Delta V = V_M - V_N = \frac{I\rho}{2\pi} \left\{ \left(\frac{1}{AM} - \frac{1}{MB} \right) - \left(\frac{1}{AN} - \frac{1}{NB} \right) \right\} \quad (10-3)$$

این رابطه، اختلاف پتانسیل اندازه گیری شده در یک آرایش چهار الکترودی، که در سطح یک زمین همگن گسترش یافته را نشان می دهد.

مقاومت ویژه الکتریکی، با ارسال جریان به داخل زمین توسط الکترود های جریان و اندازه گیری اختلاف ولتاژ توسط الکترود های پتانسیل انجام می شود. از مقادیر جریان I و اختلاف پتانسیل ΔV

مقدار مقاومت ویژه ظاهری ρ_a محاسبه می شود:

$$\rho_a = K \frac{\Delta V}{I} \quad (11-3)$$

که K ، فاکتور هندسی است و به وضعیت قرارگرفتن چهار الکترود نسبت به یکدیگر بستگی دارد و برابر است با:

$$K = \frac{2\pi}{\left(\frac{1}{AM} - \frac{1}{MB} - \frac{1}{AN} + \frac{1}{NB} \right)} \quad (12-3)$$

بایستی توجه داشت که در یک زمین غیر همگن، مقدار مقاومت ویژه محاسبه شده، مقاومت ویژه واقعی نیست، بلکه یک مقاومت ویژه ظاهری است [۷].

۲-۱-۳ روش‌های برداشت داده‌های مقاومت ویژه

در برداشت داده‌های مقاومت ویژه بسته به اینکه هدف مورد نظر اندازه گیری تغییرات عمقی یا تغییرات جانبی لایه‌ها در زیر سطح زمین باشد، از دو روش سونداز الکتریکی و پروفیل زنی استفاده می‌گردد.

در روش سونداز الکتریکی موقعیت مرکز آرایش ثابت مانده و در هر مرحله، بسته به نوع آرایش، الکتروها نسبت به محل مرکز آرایش جابجا شده و در فاصله مشخص دورتری قرار می‌گیرند. با انجام این عمل، جریان به اعمق پایین تر نفوذ کرده و می‌توان به اطلاعات لایه‌ها در اعمق پایین تر دست یافت.

در روش پروفیل زنی فاصله میان الکترودهای جریان و پتانسیل ثابت باقی مانده ولی موقعیت مرکز آرایش با جابجایی کل الکترودها در هر مرحله تغییر می‌کند. و به این ترتیب می‌توان تغییرات جانبی لایه‌ها را در یک عمق معین بررسی کرد.

از کاربردهای مهم این روش می‌توان به اکتشاف گسل‌ها و دایکها، حفرات، رودخانه‌های مدفون و دیگر ساختارهای قائم یا با شبیه زیاد اشاره کرد.

۳-۱-۳ آرایش‌های الکترودی

در برداشت داده‌های مقاومت ویژه آرایش‌های الکترودی مختلفی بسته به موقعیت قرارگیری الکترودهای جریان و پتانسیل نسبت به یکدیگر وجود دارد. از آن جمله می‌توان به آرایش‌های ونر،

شلومبرگر، دایپل- دایپل(دو قطبی- دوقطبی)، پل دایپل(قطبی- دو قطبی)، نیم ونر، نیم شلومبرگر، مربعی و دوالکترودی اشاره کرد. پرکاربردترین این آرایشها، آرایش ونر، شلومبرگر و دایپل دایپل می باشند. آرایش ونر در پروفیل زنی، آرایش شلومبرگر در سونداز زنی و آرایش دایپل- دایپل تهیه شبه مقاطع محبوبیت زیادی پیدا کرده است. درادامه به توضیح در مورد هریک از این سه نوع آرایش می پردازیم.

۱-۳-۱ آرایش ونر

در آرایش ونر الکترودها با فاصله یکنواخت و مساوی a از یکدیگر دریک خط قرار می گیرند. (شکل ۲-۳-الف). مقاومت ویژه ظاهری در این آرایش با اندازه گیری مقادیر ΔV و I از رابطه زیر محاسبه می شود.

$$\rho_a = 2\pi a \frac{\Delta V}{I} \quad (13-3)$$

کاربرد عمده این آرایش همانگونه که قبلاً نیز ذکر شد، در روش پروفیل زنی می باشد ولی علیرغم هندسه ساده ای که دارد در اکتشافات عمقی بدليل افزایش مقدار a در هر مرحله ایجاد مشکل می کند که این از معایب آرایش ونر در انجام سوندازهای الکتریکی بحساب می آید.[۱۰].

۲-۳-۱ آرایش شلومبرگر

در آرایش شلومبرگر الکترودهای جریان در فاصله دورتری از الکترودهای پتانسیل نسبت به آرایش ونر قرار می گیرند. (شکل ۲-۳-ب) .

مقدار مقاومت ویژه ظاهری در این آرایش با دقت مناسبی از رابطه زیر محاسبه می شود[۱۷] :

$$\rho_a \approx \frac{\pi L^2}{2l} \left(\frac{\Delta V}{I} \right) \quad (14-3)$$

در انجام روش سونداز الکتریکی با این آرایش، الکترودهای پتانسیل ثابت باقی مانده والکترودهای جریان به شکل متقارن در دو طرف مرکز آرایش جابجا می شوند. پس از چند بار جابجایی الکترودهای جریان، برای مقادیر بزرگ L لازم می شود که به منظور بدست آوردن یک ولتاژ قابل اندازه گیری، 1 نیز افزایش یابد. این نکته از محسن آرایش شلومبرگر نسبت به ونر در سونداز زنی می باشد. زیرا در هر

مرحله نیاز به جابجایی کل الکترودها نیست. به علاوه اثر تغییرات مقاومت ویژه سطحی بر روی داده های آرایش شلومبرگر بدلیل جابجایی کمتر الکترودهای پتانسیل، نسبت به آرایش ونر کم تر است [۱۰].

۳-۱-۳ آرایش دایپل - دایپل^۱

در این آرایش جفت الکترودهای پتانسیل نزدیک یکدیگر و جفت الکترودهای جریان نیز نزدیک یکدیگر قرار گرفته ولی فاصله بین جفت الکترودهای جریان و پتانسیل از یکدیگر زیاد می باشد. این آرایش انواع مختلفی دارد. در روش معمول الکترودها روی یک خط قرار می گیرند که به آن آرایش دوقطبی دوقطبی محوری^۲ گویند. فاصله بین الکترودهای پتانسیل از یکدیگر برابر با فاصله الکترودهای جریان و برابر a می باشد. (شکل ۲-۳-ج)

فاصله میان دو الکترود جریان و پتانسیل نزدیک به یکدیگر معمولاً ضریب صحیحی از a می باشد. مقاومت ویژه ظاهری در این آرایش به نقطه مرکز آرایش (نقطه ۰) نسبت داده شده و از رابطه زیر محاسبه می شود [۱۰].

$$\rho_a = \pi a n(n+1)(n+2) \left(\frac{\Delta V}{I} \right) \quad (15-3)$$

۴-۱ خواص الکتریکی مواد

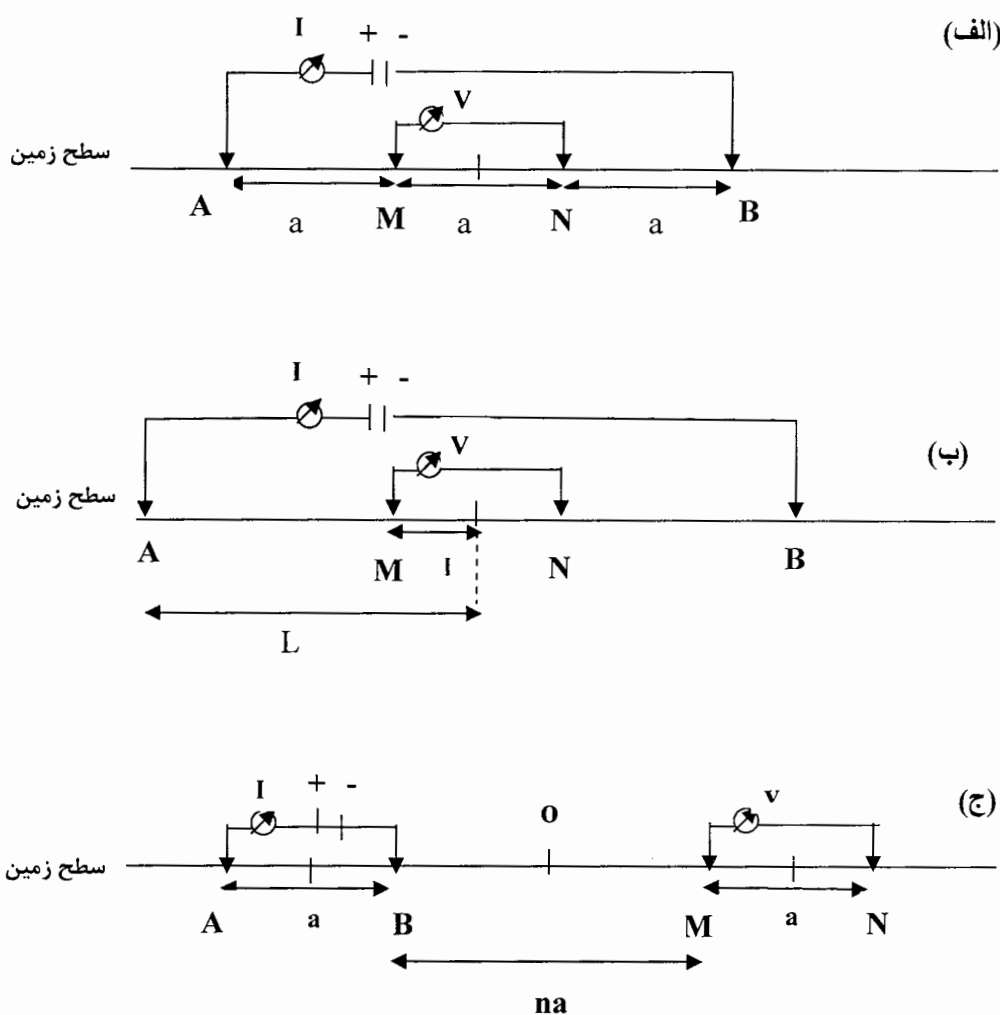
جریان الکتریکی در مواد زمین در اعماق کم به دو روش هدایت الکترونی و هدایت الکتروولیتی جریان می یابد. در هدایت الکترونی، شارش جریان توسط الکترونهای آزاد صورت می گیرد. هدایت الکترونی، هنگامی که کانیهای رسانا مانند سولفید های فلزی و گرافیت موجود باشند دارای اهمیت می باشند. در هدایت الکتروولیتی، شارش جریان به خاطر جابجایی یونها در آب زیر زمینی انجام می شود.

مقاومت ویژه بعضی از سنگها و مواد معدنی در جدول ۳-۱ نشان داده شده است. سنگهای آذرین و دگرگونی دارای مقادیر بالای مقاومت ویژه می باشند. مقاومت ویژه این گونه از سنگها به میزان خرد

^۱-Dipole- Dipole

^۲-Axial Dipole- Dipole

شدگی و در صد شکستگی های پر شده از آب وابسته است. بنابراین نوع مشخصی از سنگ می تواند محدوده وسیعی از مقاومت ویژه، از حدود ۱۰۰۰ میلیون اهم متر، با توجه به خشک یا مرطوب بودن آن، داشته باشد. این ویژگی در تعیین زونهای خردشده و ساختارهای هوازده دیگر، در کاوشهای مهندسی و آب زیرزمینی مفید است [۷]. سنگهای رسوبی، که معمولاً متخلخل بوده و دارای محتوای آب زیادتری می باشند، بطور معمول مقاومت ویژه کمتری در مقایسه با سنگهای آذرین و دگرگونی کمتر نسبت به سنگهای رسوبی و گستره مقادیر مقاومت ویژه Ω_m - ۱۰۰۰۰ Ω_m ، ولی اکثرا زیر $1000 \Omega_m$ ، می باشد. رسوبات نامتراکم عموماً مقادیر مقاومت ویژه Ω_m - ۱۰۰۰ Ω_m دارند.



شکل ۳-۲- نحوه قرار گیری الکترودها در آرایشهای ونر(الف)، شلومبرگر(ب) و دایپل - دایپل(ج).

جدول ۱-۳ مقاومت ویژه بعضی از سنگها و مواد معدنی [۷].

| سنگها و مواد معدنی | مقادیر مقاومت ویژه (اهم متر) |
|--------------------------------|------------------------------|
| آب زیر زمینی | ۱۰ - ۱۰۰ |
| آب باران | ۳۰ - ۱۰۰۰ |
| آب دریا | ۰,۲ |
| سنگ آهک | ۵۰ - ۵۰۰۰ |
| شیل | ۲۰ - ۲۰۰۰ |
| رس | ۱ - ۱۰۰ |
| آبرفت های دانه درشت و کنگلومرا | ۳۰۰ - ۱۰۰۰۰ |
| آبرفت های دانه متوسط | ۱۰۰ - ۳۰۰ |
| آبرفت های دانه ریز | ۵۰ - ۱۰۰ |
| شن و ماسه خشک | ۱۰۰۰ - ۱۰۰۰۰ |
| شن و ماسه اشباع از آب شیرین | ۵۰ - ۵۰۰ |
| شن و ماسه اشباع از آب شور | ۰,۵ - ۵ |
| آهک های آسماری | ۵۰۰۰ - > ۱۰۰۰ |
| آهک های کرتاسه | ۲۰۰ - ۵۰۰ |
| سنگهای توف | ۲۰ - ۱۰۰ |
| ماسه سنگ آرژیل دار | ۵۰ - ۳۰۰ |
| ماسه سنگ کوارتزیت | ۳۰۰ - ۱۰۰۰۰ |
| خاکستر (برش) آتشفسانی | ۲۰ - ۱۰۰ |
| آندریت | ۱۷۰ (مرطوب) - ۴۵۰۰۰ (خشک) |
| داسیت | ۲۰۰۰ |
| سینیت | ۴۰ تا ۶۰۰ میلیون |

خاکهای مرطوب و زمین های آبدار مقدار مقاومت ویژه کمتری دارند. خاکهای رسی معمولا مقاومت ویژه پایین تری نسبت به خاکهای ماسه ای دارند. اما نکته اینکه، انواع سنگها و خاک ها، مقدار مقاومت ویژه همدیگر را پوشش می دهند. این بدین دلیل است که مقاومت ویژه سنگ یا خاک به عوامل دیگر تخلخل، اشباع آب و غلظت نمکهای نامحلول وابسته است. مقاومت ویژه آب زیر زمینی با توجه به میزان نمکهای نامحلول Ω_m^{100} - Ω_m^2 تغییر می کند. مقاومت ویژه پایین آب دریا (در حدود Ω_m^2) بعلت میزان نمک فراوان موجود در آب دریا می باشد [۷].

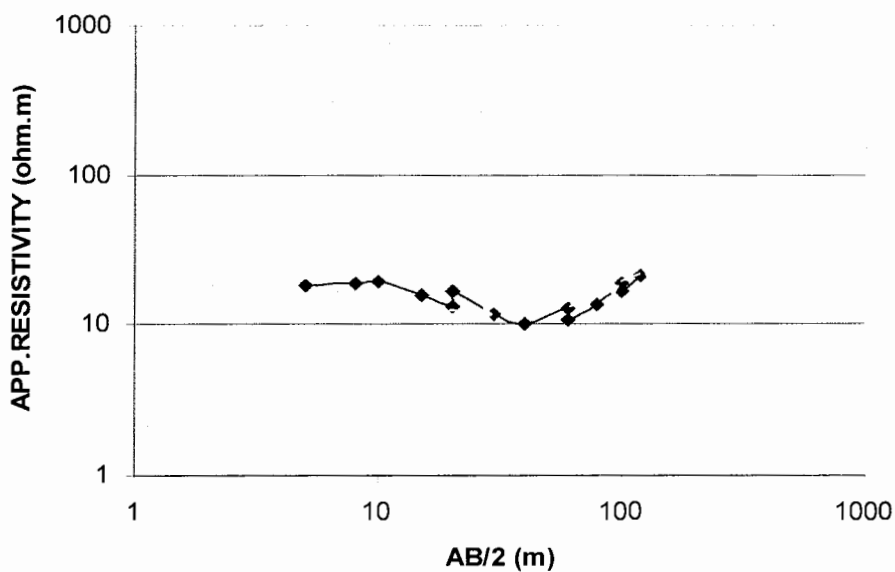
۱-۳-۵ توضیح اصل اختفاء^۱

در صورتی که مقاومت ویژه لایه ای بین مقاومت ویژه طبقات واقع در بالا و پایین آن باشد تا زمانی که این طبقه ضخامت کافی نداشته باشد روی منحنی سونداز الکتریکی اثری نخواهد گذاشت. در حقیقت مانند اینست که این لایه اثر خود را مخفی کرده باشد. از اینرو این اصل را بنام اصل اختفاء نامیده اند. حال اگر ضخامت این لایه افزایش یابد، تدریجا اثر خود را روی منحنی سونداز نشان خواهد داد [۸].

۱-۳-۶ تصحیح کلاچ^۲

در سونداز با آرایش شلومبرگر، با افزایش فاصله الکترود های جریان، اختلاف پتانسیلی که قرائت می شود کوچکتر می شود. هر چند بار که الکترود های جریان را جابجا می کنیم؛ باید الکترود های ولتاژ را نیز جابجا کنیم و برای یک فاصله الکترود جریان با دو N_m متفاوت، اختلاف پتانسیل قرائت می شود، یعنی برای یک عمق دو داده برای m بدست می آید. برای تفسیر صحیح بایستی با هموارسازی منحنی را اصلاح کرد. اساس کار برای این منظور وصل کردن قطعات مختلف منحنی با توجه به قاعدة سمت راست است. در این روش آخرین نقطه قطعات سمت چپ را در نظر گرفته اما اولین نقطه قطعه سمت راست در نظر نمی گیرند. شکل ۳-۳ نحوه انجام این کار را نشان می دهد. در این شکل طریقه صحیح وصل کردن نقاط منحنی بیکدیگر با فلش سفید رنگ نشان داده شده است.

^۱-Principle of Suppression
^۲-Cluch



شکل ۳-۳- نحوه انجام تصحیح کلاچ بروی داده های آرایش شلومبرگر در روش سونداز الکتریکی .

۲-۳ کاربرد منحنی های تئوری در اکتشاف گسلها

در این بخش کاربرد منحنی های تئوری را در اکتشاف گسلها بوسیله روش پروفیل زنی ذکر خواهیم کرد .

در روش پروفیل زنی با عبور هر یک از الکترودهای پتانسیل یا جریان از روی مرز گسل در روی سطح زمین، یک ناپیوستگی بر روی منحنی پروفیل مقاومت ویژه ظاهری آشکار می شود که با مقایسه منحنی بدست آمده با منحنی تئوری مربوطه و با استفاده از محل هر یک از پیکها می توان محل گسل و شیب آنرا مشخص نمود.

بمنظور محاسبه تابع پتانسیل در مورد گسلهای قائم از نظریه تصاویر الکتریکی استفاده شده است. از آنجا که استفاده از این نظریه درمورد گسلها ولایه های شیبدار با محدودیت رو برو می شود، تابع پتانسیل مربوط به این نوع ساختارها از طریق حل مستقیم معادله لاپلاس محاسبه شده است [۶].

۳-۲-۱ تاثیر فاصله بین ایستگاههای برداشت داده ها در تغییر شکل منحنی

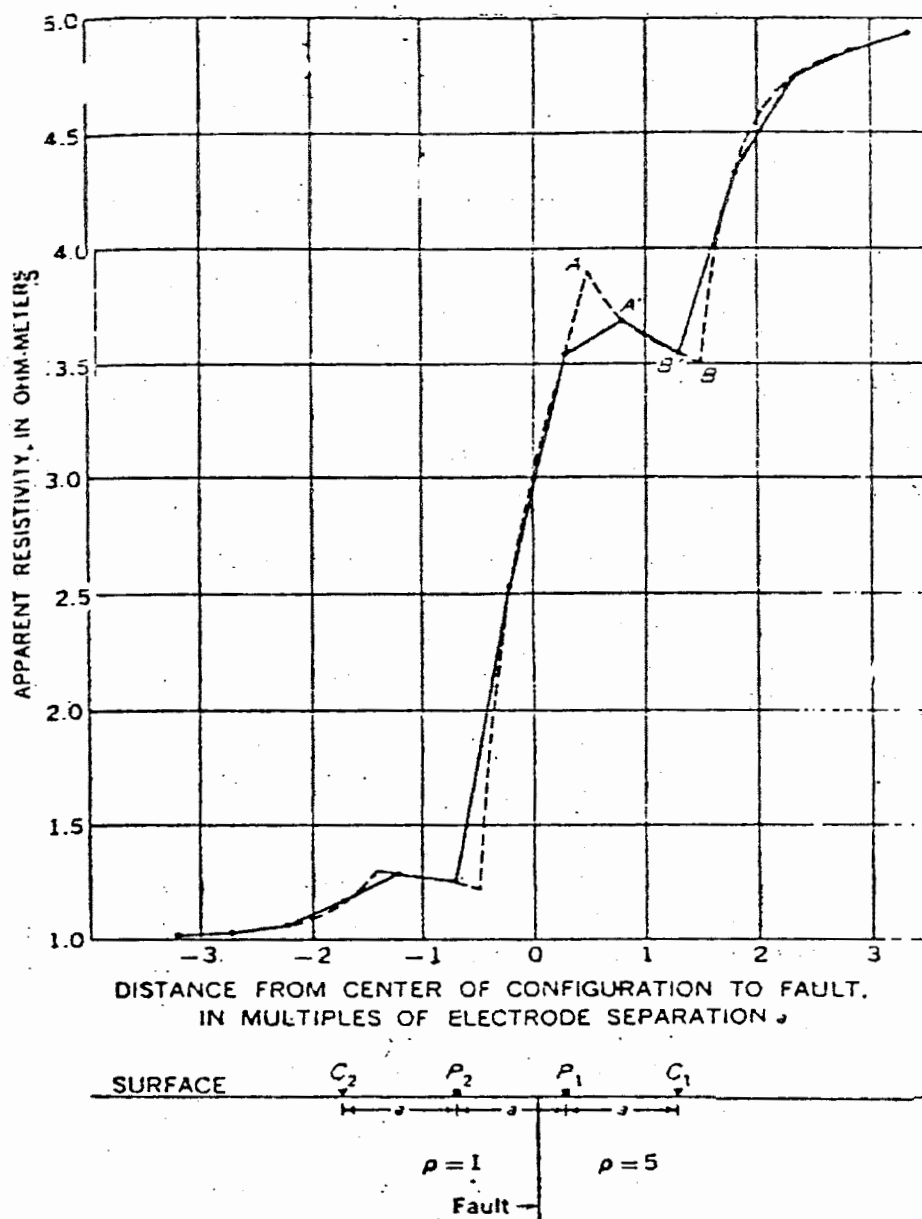
صحراوی

در شکل ۴-۳، یک منحنی صحراوی (خط پیوسته) با منحنی تئوری آن (خط چین) مقایسه شده است. هدف از این کار مشخص نمودن تاثیر فاصله میان ایستگاههای اندازه گیری، در شکل منحنی صحراوی می باشد. آرایش بکار گرفته شده ونر و فاصله بین ایستگاهها برای برداشت داده های منحنی صحراوی $\frac{a}{2}$ می باشد. محل گسل بعنوان مبدأ در روی محور افقی ($x=0$) در نظر گرفته شده است [۹].

همانطور که در شکل نیز دیده می شود نقطه ماکریم A در منحنی تئوری به نقطه A' در منحنی صحراوی تبدیل شده است، که در اینجا پیک مربوطه وضوح و برجستگی کمتری دارد. اختلاف جدی تر دو منحنی اینست که پیک A' در منحنی صحراوی به اندازه $2a$ بسمت راست جابجا شده است. (ا) فاصله الکترودی بکار گرفته شده می باشد). جابجایی پیک ذکر شده از اهمیت خاصی برخوردار می باشد زیرا از موقعیت همین پیک ها جهت تعیین خط اثر گسل در روی زمین استفاده می شود [۹].

نقطه مینیمم B نیز جابجا شده و به سمت چپ انتقال یافته است بطوری که فاصله افقی میان نقاط A' و B' بسیار کمتر از آنچه که از روی منحنی تئوری انتظار می رفت، می باشد. هنگامی که از آرایش ونر استفاده می شود بسیاری از ژئوفیزیکدانان فاصله میان ایستگاهها را برابر فاصله الکترودی a می گیرند. منحنی های تئوری که در اینجا آورده شده برای حالتی که فاصله بین ایستگاهها $a/2$ یا کمتر باشد از دقت خوبی برخوردار می باشند و در اینحالت تفاوت جزئی میان منحنی صحراوی و منحنی تئوری مربوط به آن وجود خواهد داشت [۶].

اهمیت چنین تفاوت هایی زمانی بیشتر می شود که از تطبیق دو منحنی جهت تعیین شیب و امتداد گسل استفاده کنیم.

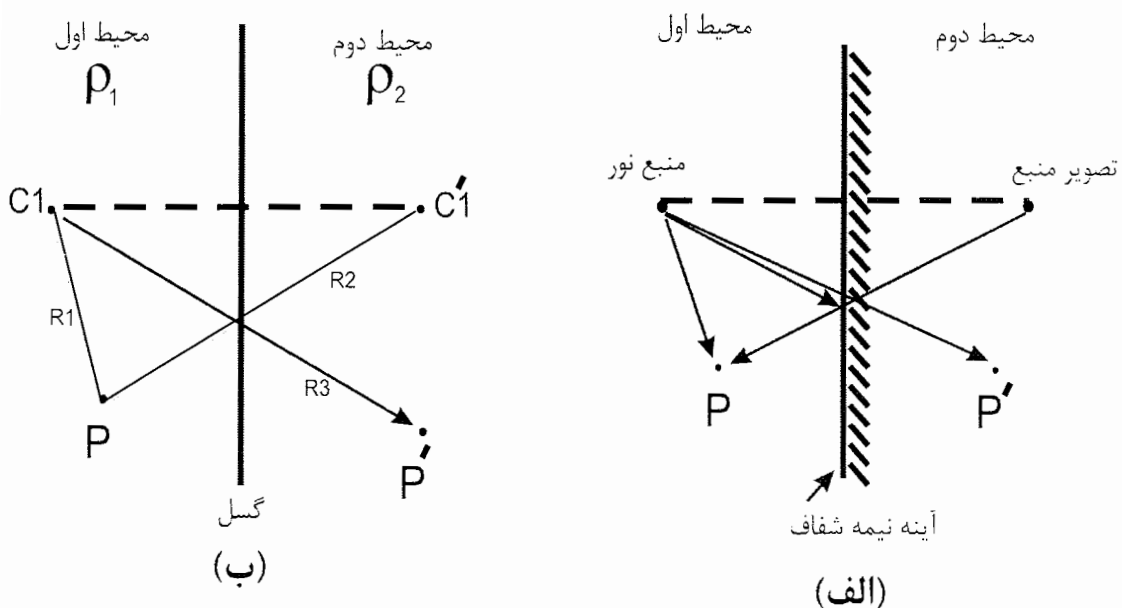


شکل ۴-۳- مقایسه میان یک منحنی صحرایی با فاصله ایستگاهی $a/2$ (خط پیوسته) و منحنی تئوری آن (خط چین) برای یک گسل قائم در روش پروفیل زمی افقی با آرایش ونر [۶].

۲-۲-۳ کاربرد نظریه تصاویر الکتریکی در حل مسائل مربوط به گسلها

ابتدا بی ترین راه حلهای تئوری مسائل ژئوفیزیکی با جریان مستقیم بر پایه نظریه تصاویر الکتریکی قرار دارد. اگر منبع نور نقطه‌ای را با منبع جریان الکتریکی و شدت نور در یک نقطه را با پتانسیل الکتریکی آن نقطه جایگزین کنیم، می‌توانیم نظریه تصاویر در حل مسائل الکتریکی

نیز بکاربریم (شکل ۳-۵). نظریه تصاویر را با موفقیت می توان در حل مسائل مربوط به لایه های افقی، گسلهای قائم، دایک های قائم و کره های مدفون بکار برد ولی کاربرد آن در حل مسائل مربوط به لایه ها و گسلهای شیب داربا محدودیت روبرو شده و تنها زمانی به حل کامل مسئله می انجامد که لایه کمر پایین گسل را کاملاً "هادی" یا مقاوم فرض کنیم [۶].



شکل ۳-۵-۳ - مقایسه مسائل نوری با مسائل الکتریکی [۶].

۳-۲-۳ محاسبه منحنی های تئوری برای گسلهای قائم

گسل قائم یکی از شاخص ترین ساختارهای زمین شناسی مورد بحث می باشد که خوب بختانه به سبب شکل خاص خود از دیدگاه محاسبات ریاضی براحتی مورد مطالعه قرار می گیرند. در شکل ۳-۵-۳(ب) مقطعی از یک گسل قائم بهمراه منبع جريان C و نقطه P ، در یک طرف و نقطه C' و P' در طرف دیگر دیده می شود. پتانسیل نقطه P از منبع C و تصویر آن C' تامین می شود در حالی که پتانسیل نقطه P' فقط از منبع اصلی C تامین می شود.

اگر مواد موجود در سمت چپ گسل مقاومت ویژه P_1 و سمت راست، مقاومت ویژه P_2 داشته باشند و شدت جریان در منبع جریان C برابر I باشد، پتانسیل در نقطه P از روابط زیر بدست می آید [۶]:

$$V_p = \frac{I\rho_1}{4\pi} \left(\frac{1}{R_1} + \frac{k}{R_2} \right) \quad (16-3)$$

$$V_{P'} = \frac{I\rho_2}{4\pi} \left(\frac{1-k}{R_3} \right) \quad (17-3)$$

که k ضریب انعکاس فصل مشترک دوم محیط می باشد و مقدارش بین $-1 < k < 1$ بوده و طبق رابطه زیر محاسبه می شود:

$$K = \frac{\rho_2 - \rho_1}{\rho_2 + \rho_1} \quad \Rightarrow \quad \frac{\rho_2}{\rho_1} = \frac{1+k}{1-k} \quad (18-3)$$

در روابط (۱۶-۳) و (۱۷-۳) چنانچه نقاط P و P' در روی سطح زمین قرار داشته باشند V_p و $V_{P'}$ بشكل زیر محاسبه می شوند:

$$V_p = \frac{I\rho_1}{2\pi} \left(\frac{1}{R_1} + \frac{k}{R_2} \right) \quad (18-3)$$

$$V_{P'} = \frac{I\rho_2}{2\pi} \left(\frac{1-k}{R_3} \right) \quad (19-3)$$

در روابط فوق چنانچه منبع جریان در طرف دیگر قرار گیرد می باشد k را در یک علامت منفی ضرب کرد. زیرا در آنصورت محیط دوم ρ_1 بوده و محیط اول می باشد.

حال می خواهیم توابع پتانسیل و در نتیجه مقاومت ویژه ظاهری را برای روش پروفیل زنی افقی با آرایش و نر در موقعیتهای مختلف الکترودها نسبت به مرز گسل بدست آوریم.

در اینجا به بدليل تشابه روش محاسبه، فقط به محاسبه تابع مقاومت ویژه ظاهری برای حالتی که یک گسل میان الکترودهای C_2 و P_2 قرار گرفته باشد می پردازیم.

همانطور که در شکل (۳-۶) نیز دیده می شود فاصله الکترودی برابر a بوده و فاصله مرکز آرایش از مرز گسل برابر X و پروفیل زنی از سمت چپ به راست انجام می گیرد. مقاومت ویژه مواد سمت راست گسل ρ' و مواد سمت چپ گسل ρ بوده و فاصله میان ایستگاهها $a/2$ می باشد. پتانسیل نقطه P_1 در نتیجه منبع C_1 و تصویر C_2 می باشد که با کمک روابط (۱۸-۳) و (۱۹-۳) می توان نوشت :

$$\begin{aligned} V_{P_1} &= \frac{\rho'' I}{2\pi} \left[\left(\frac{1}{a} + \frac{(-k)}{2(x_c + a)} \right) - \frac{(1-k)}{2a} \right] \\ V_{P_1} &= \frac{\rho'' I}{2\pi} \left[\frac{1}{2a} - \frac{kx_c}{2a(x_c + a)} \right] \end{aligned} \quad (20-3)$$

پتانسیل نقطه P_2 نیز بصورت مشابه محاسبه شده که پس از ساده کردن بصورت زیر در می آید:

$$V_{P_2} = \frac{\rho'' I}{2\pi} \left[\frac{-1}{2a} - \frac{2kx_c}{a(2x_c + a)} \right] \quad (21-3)$$

با کم کردن رابطه (۲۰-۳) از (۲۱-۳) اختلاف پتانسیل میان دو نقطه محاسبه می شود :

$$\Delta V = V_{P_2} - V_{P_1} = \frac{\rho'' I}{2\pi a} \left[1 + \frac{kx_c(2x_c + 3a)}{2(x_c + a)(2x_c + a)} \right]$$

از آنجاکه برای آرایش و نر داریم:

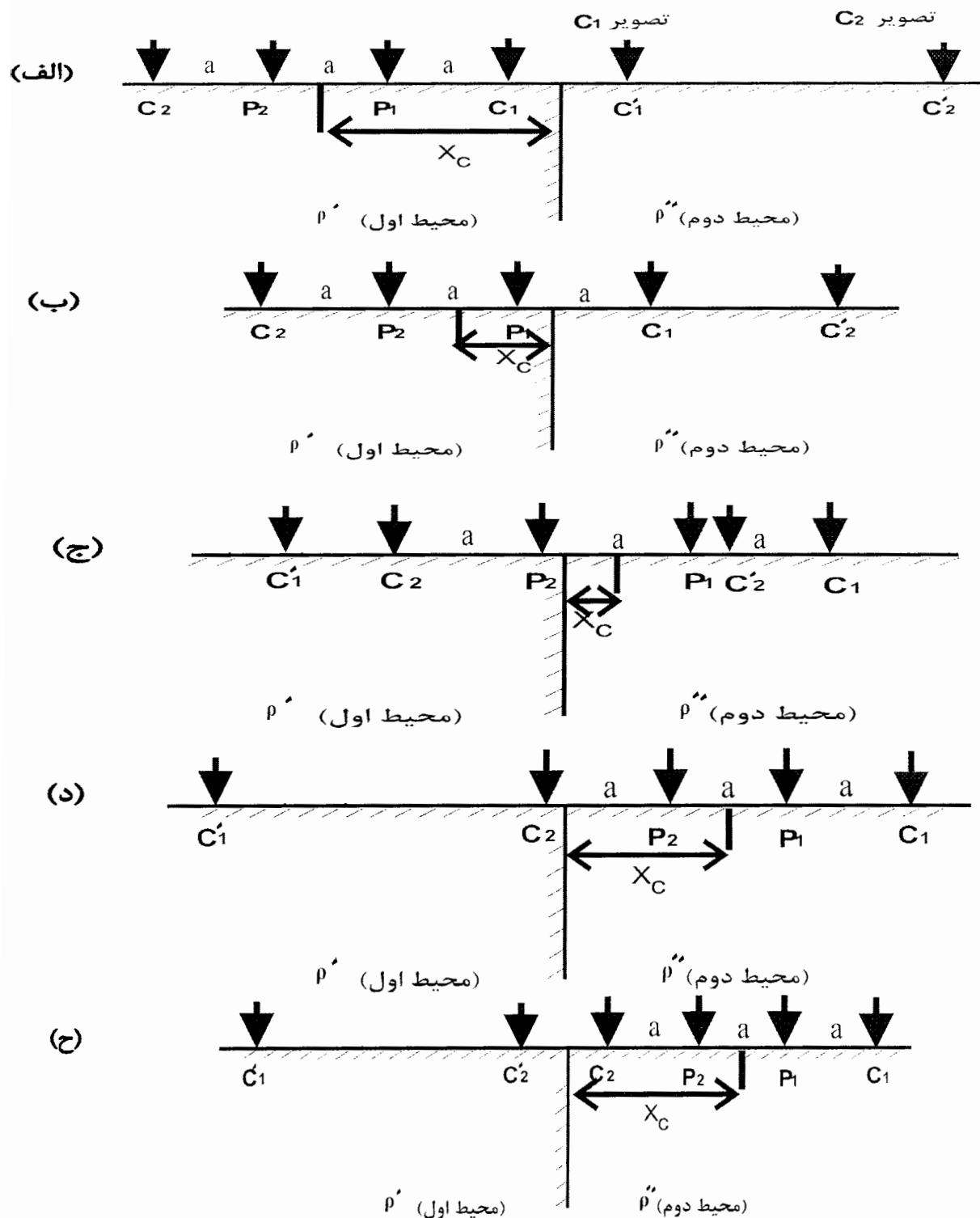
$$\rho_a = 2\pi a \frac{\Delta V}{I} \quad (22-3)$$

و با در نظر گرفتن رابطه (۱۸-۳) می توان نوشت:

$$\frac{\rho_a}{\rho'} = \frac{1-k}{1+k} \left[1 + \frac{kx_c(2x_c + 3a)}{2(x_c + a)(2x_c + a)} \right] \quad \frac{3a}{2} > x_c > \frac{a}{2} \quad (23-3)$$

بهمنین ترتیب برای حالتی مختلف می توان V_{12} و سپس نسبت ρ_a/ρ' را محاسبه نمود . با در نظر گرفتن مقدار مختلف برای k می توان نسبت ρ_a/ρ' را برحسب نسبت a/X (در پروفیل زنی

افقی) و یا نسبت a/X_c (در روش سونداز الکتریکی) رسم کرد و به منحنی های تئوری گسل قائم در روش های پروفیل زنی افقی و سونداز الکتریکی به ازای مقادیر مختلف k دست یافت [۶].



شکل ۳-۶- نمایش الکترود ها در عبور از روی مرز گسل قائم در پروفیل زنی افقی [۶].

فصل سوم: روش مقاومت ویژه الکتریکی و کاربرد منحنی های تئوری در اکتشاف گسلها

بنابراین با داشتن محل این پیک بر روی محور افقی می توان گفت که محل گسل در فاصله $\frac{3a}{2}$ از این نقطه و در سمت راست آن قرار دارد که در آن a فاصله الکتروودی در آرایش ونر می باشد. نا پیوستگی مربوط به عبور الکتروود p_1 از روی مرز در فاصله افقی $\frac{1}{2}a$ از مبدأ قرار دارد.

بنابراین :

$$x/a = -\frac{1}{2}$$

$$x = -\frac{a}{2}$$

در نتیجه:

بنابراین با تشخیص این پیک بر روی منحنی پروفیل زنی افقی می توان گفت که محل گسل در فاصله $\frac{a}{2}$ از این نقطه و در سمت راست آن قرار دارد.

بطریق مشابه برای عبور الکتروود p_2 از روی مرز داریم:

$$x/a = \frac{1}{2}$$

$$x = \frac{a}{2}$$

در نتیجه:

و برای عبور الکتروود C_2 :

$$x/a = \frac{3}{2}$$

$$x = \frac{3a}{2}$$

که داریم:

بنابراین با تشخیص هر یک از این ناپیوستگی ها و تعیین موقعیت دقیق آن می توان محل گسل را در روی سطح زمین تعیین کرد.

از روی شکل می توان دید که برجسته ترین نقاط روی منحنی، ناپیوستگی های مربوط به عبور الکتروود p_1 و الکتروود p_2 از روی مرز می باشند که حتی در مواردی که k مقدار کوچکی دارد باز هم بر روی منحنی پروفیل زنی افقی مقاومت ویژه بخوبی قابل تشخیص می باشند.

ناپیوستگی مربوط به عبور الکتروودهای C_1 و C_2 در مواردی که مقدار k دو محیط کوچک باشد ممکن است برای تراحتی بر روی منحنی پروفیل زنی افقی مشخص نبوده و تعیین دقیق موقعیت این نقاط امکان پذیر نباشد. بنابراین در تعیین محل گسل بر روی سطح زمین بایستی از نقاط ناپیوستگی

مربوط به عبور الکترودهای p_1 و p_2 استفاده نمود تا در تعیین محل گسل با خطای کمتری مواجه شویم.

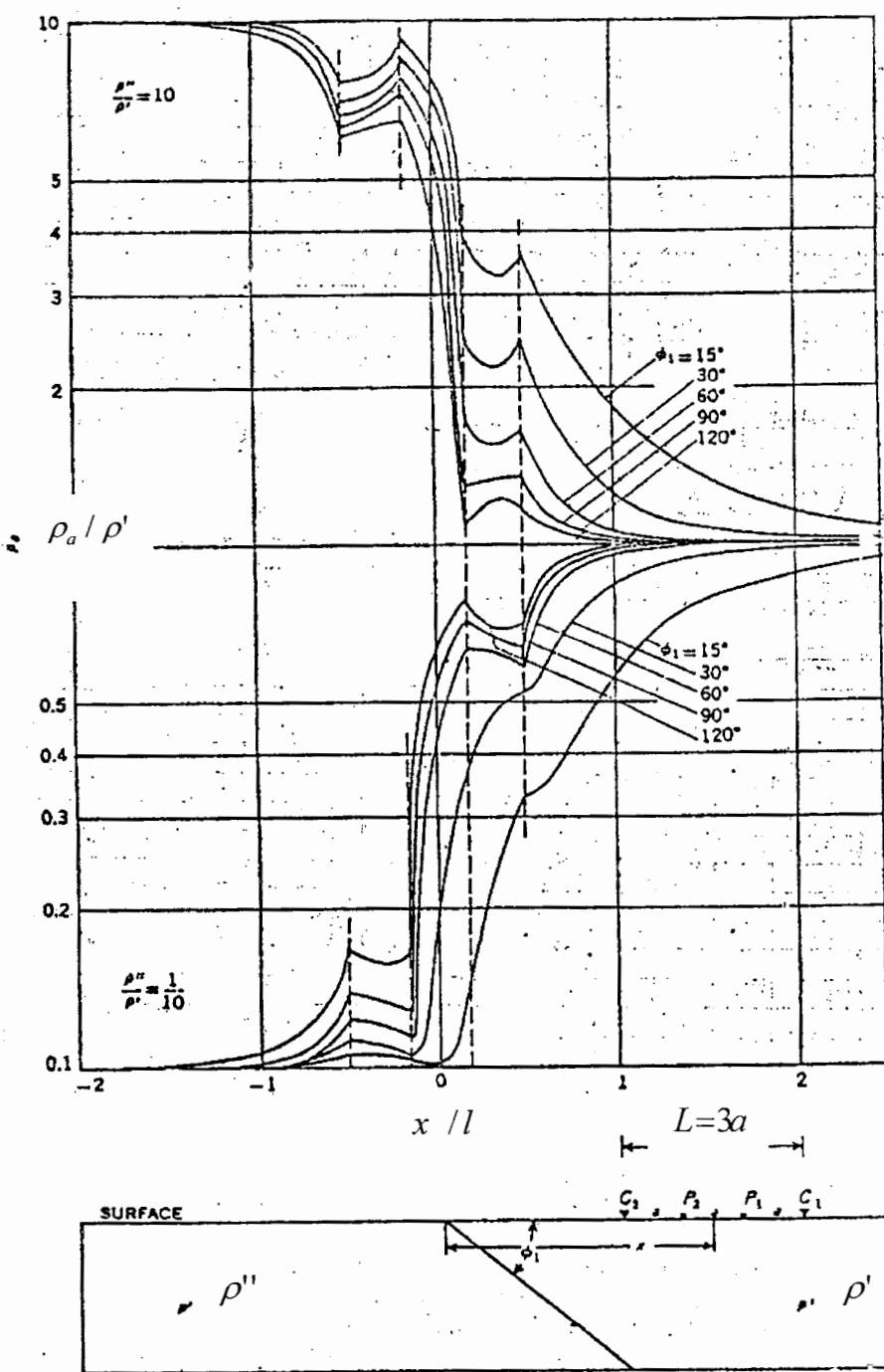
۳-۲-۵ شکل منحنی تئوری پروفیل زنی برای گسل شیبدار

شکل ۳-۸ منحنی های پروفیل زنی افقی را برای شباهای مختلف φ_1 در دو حالت $\rho' = \rho''$ و $\rho' = \rho''/110$ نشان می دهد. در اینجا مقادیر ρ'/ρ'' بر حسب L/x رسم شده اند که L فاصله میان الکترودهای C_1 و C_2 بوده و برابر $2a$ می باشد. امتداد پروفیل زنی از چپ به راست و عمود بر امتداد گسل می باشد و زاویه شبیه φ_1 از سمت راست (سمت پیشروی پروفیل زنی) سنجیده شده است. در حالتی که $\rho' = \rho''$ است (منحنی های نیمه بالایی شکل) منحنی ها روندی نزولی داشته و به $\rho = p$ ختم می شود. با افزایش شبیه از 15° به 120° کاهش مقدار مقاومت ویژه ظاهری را در نقطه ناپیوستگی مربوط به عبور الکترود C_2 داریم. یک تفاوت مهم دیگر در شکل منحنی ها قسمت مابین ناپیوستگی های مربوط به عبور الکترودهای p_1 و C_2 برای شباهای مختلف می باشد.

همانطور که در شکل نیز دیده می شود برای $90^\circ < \varphi_1 < 90^\circ$ جهت تحدب این قسمت منحنی ها به سمت پایین می باشد. برای $\varphi_1 = 90^\circ$ به خط صاف تبدیل شده و برای $\varphi_1 > 90^\circ$ جهت تحدب منحنی بسمت بالا تغییر کرده است. بنابراین از این نکته می توان در تعیین جهت شبیه گسل استفاده کرد البته بشرطی که فاصله ایستگاهها به اندازه کافی بهم نزدیک باشد [۶].

منحنی های قسمت پایین شکل برای حالتی است که $\rho' = \rho''/110$ باشد. منحنی ها روندی صعودی داشته واز $\rho = p$ شروع شده به $\rho = p$ ختم می شوند. در این حالت برای تغییرات شبیه، عکس حالت بالا را خواهیم داشت یعنی در صورتی که منحنی روندی صعودی داشته باشد، جهت تحدب منحنی بین ناپیوستگی مربوط به الکترودهای C_2 و P_2 برای $90^\circ < \varphi_1 < 90^\circ$ بسمت بالا و برای $\varphi_1 > 90^\circ$ بسمت پایین می باشد.

بنابراین با در نظر گرفتن شکل منحنی صحرایی می توان به تغییرات مقاومت ویژه در دو طرف صفحه گسل پی برد و سپس با مقایسه آن با منحنی تئوری مناسب مربوطه می توان شبیه وجهت شبیه گسل را تعیین نمود.



شکل ۸-۳- شکل منحنی های تئوری مقاومت ویژه الکتریکی به روش پروفیل زنی افقی و با آرایش ونر برای گسل مایل. امتداد خط پیمایش عمود بر امتداد فصل مشترک دو لایه با اختلاف مقاومت ویژه محدود

$$\left(\frac{\rho''}{\rho'} = \frac{1}{10} \right) \text{ می باشد و زاویه شیب } \phi_1 \text{ متغیر در نظر گرفته شده است}[۶]$$

۶-۲-۳ شکل منحنی پروفیل زنی با آرایش لی برای یک گسل با شیب $\phi_1 = 45^\circ$

در شکل ۹-۳ شکل منحنی پروفیل زنی افقی با آرایش لی چپ و راست و در زیر آن منحنی پروفیل زنی افقی با آرایش ونر برای یک گسل شبیدار آورده شده است.

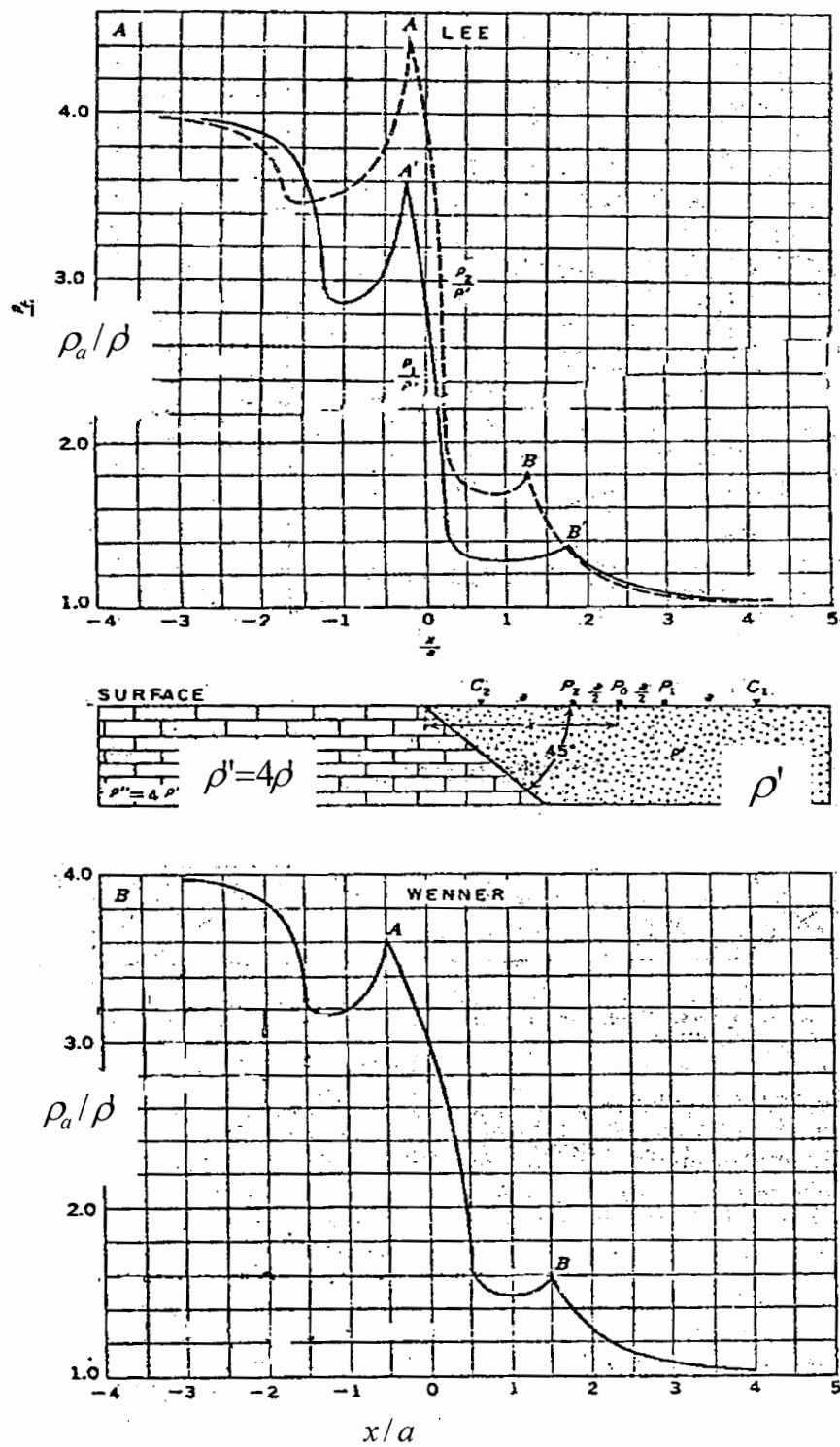
مقاومت ویژه محدوده سمت چپ "p" و مقاومت ویژه در محدوده سمت راست "p" می باشد و مقدار ضریب انعکاس فصل مشترک دو محیط $k = 6$ می باشد . جهت شیب بسمت راست بوده وجهت پروفیل زنی از چپ به راست و عمود بر امتداد گسل می باشد.

عمده تفاوت اصلی میان منحنی های لی چپ و راست در نقطه شروع منحنی ها می باشد. در منحنی های لی راست پس از عبور الکترود p_1 از روی مرز پیک A^1 بر روی نمودار ظاهری می شود. این پیک در فاصله $a/4$ - از مرز گسل قرار دارد. (بدلیل اینکه فاصله $p_1 p$ برابر $a/2$ می باشد و مقدار بدست آمده به وسط $p_1 p$ نسبت داده می شود). در مورد لی چپ نیز همین پیک بنام A پس از عبور الکترود p . از روی مرز در فاصله $a/4$ - از مرز گسل ظاهر خواهد شد . موقعیت بقیه پیکهای مربوط به منحنی های لی راست و چپ با یکدیگر هماهنگی ندارد [۹].

تفاوت دیگری که میان منحنی های لی راست و چپ در گسل قائم و شبیدار وجود دارد مربوط به مقاومت زیاد پیک A در منحنی لی چپ نسبت به پیک A^1 در منحنی لی راست است و دیگر اینکه در گسل قائم نقاط A و B نسبت به محل گسل متقارن می باشند ولی در گسل شبیدار اینطور نیست .

تصورت مشابه مقدار مقاومت ویژه در پیک B نیز قدری بیشتر از مقدار مقاومت ویژه در پیک B' می باشد. پیک B در فاصله $1,25 a$ و پیک B' در فاصله $1,75 a$ از مرز گسل قرار دارند. این پیکها در نتیجه عبور الکترود C از روی مرز حاصل شده اند.

در روی منحنی مربوط به آرایش ونر پیک A در فاصله $a/2$ - و پیک B در فاصله $3a/2$ از گسل قرار دارند. علت انحراف پیکهای لی چپ و راست در مقایسه با پیکهای آرایش ونر این است که در منحنی های لی چپ و راست مقدار p اندازه گیری شده به ترتیب به وسط $P_1 P_2$ و $P_1 P_0$ نسبت داده می شود ولی در آرایش ونر مقدار p اندازه گیری شده به وسط $p_1 p_2$ نسبت داده می شود [۶].



شکل ۳-۹- منحنی های تئوری مقاومت ویژه به روش پروفیل زنی افقی و با آرایش لی (شکل A، منحنی خط چین لی چپ و منحنی خط پیوسته لی راست) و ونر (شکل B). امتداد پروفیل عمود بر امتداد گسل با شیب $\varphi_1 = 45^\circ$ می باشد. ($K = 6$) [۶]

۷-۲-۳ کاربرد منحنی های تئوری در اکتشاف دایکها

چنانچه گسلها ضخامت قابل توجهی داشته باشند، بر روی منحنی های پروفیل زنی شبیه دایک عمل می کنند، لذا بررسی منحنی های تئوری دایکها جهت اکتشاف اینگونه گسلها مفید می باشد. در شکل ۱۰-۳ منحنی تئوری مربوط به یک دایک به ضخامت $2a$ برای آرایش لی و در شکل ۱۱-۳ منحنی مربوطه برای آرایش ونر نمایش داده شده است.

برای آرایش ونرا کمتر شدن مقدار k پیک ها به سمت مرکز دایک متمایل می شوند. دو پیک کوچک اما مهم نیز در دو طرف پیک های بزرگ و به فاصله $1.5a$ از دو لبه دایک قرار دارد که فاصله آنها از یکدیگر برابر عرض دایک علاوه مقدار $3a$ می باشد. بدون در نظر گرفتن این دو پیک ممکن است یک دایک به صورت دو دایک مجزا تفسیر شود [۹].

برای مقادیر منفی ضریب انعکاس k منحنی های پروفیل زنی افقی مقاومت ویژه با آرایش لی و ونر مربوط به یک دایک با ضخامت a کاهش ناگهانی مقاومت ویژه را بر روی دایک و دو ماکزیمم را در طرفین آن نشان می دهد (شکلهای ۱۰-۳ و ۱۱-۳).

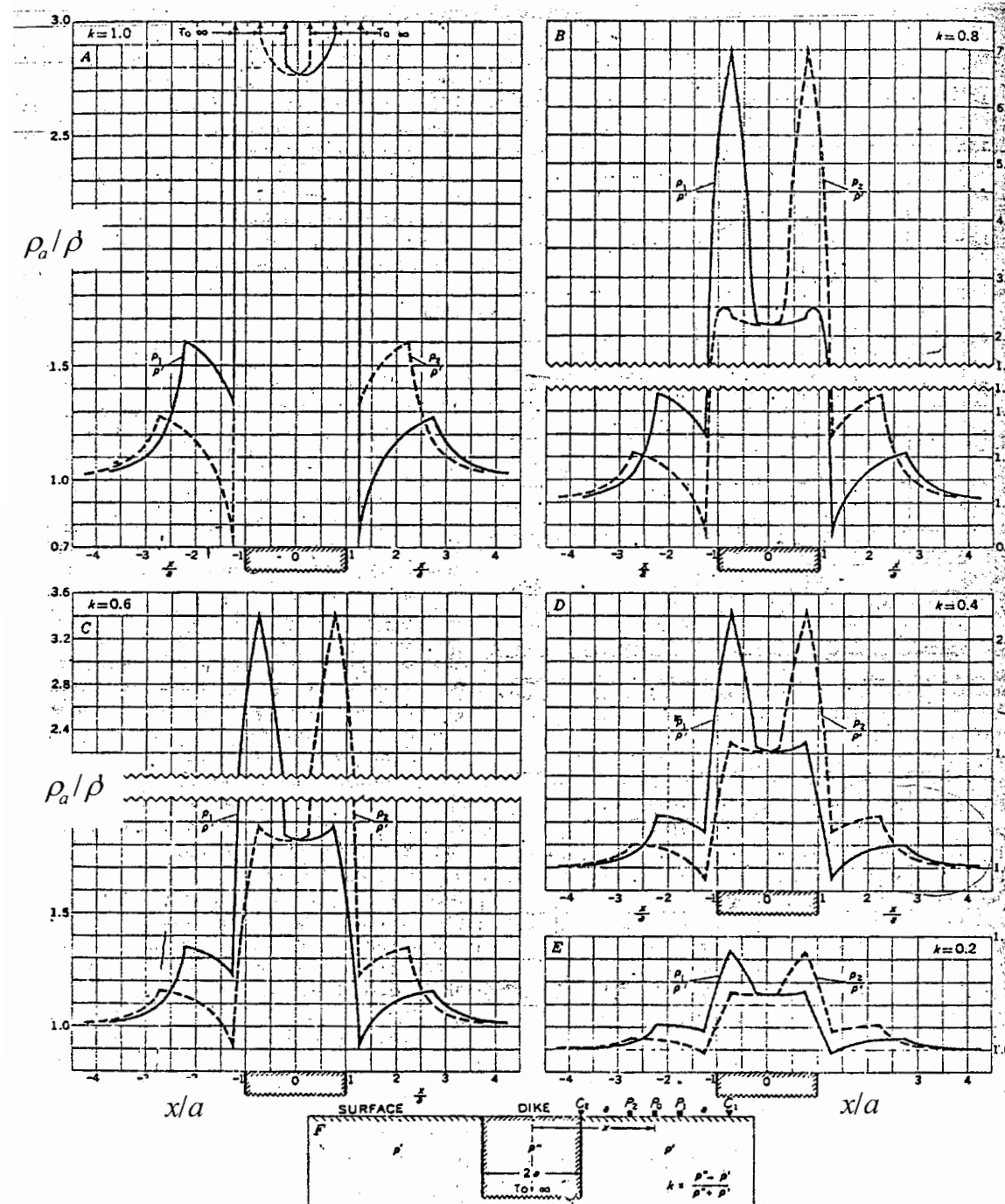
آنچه که در مورد منحنی های پروفیل زنی مقاومت ویژه با آرایش لی قابل توجه است این است که مقدار مقاومت ویژه بر روی منحنی ها به بیشتر از یک واحد افزایش می یابد حتی در صورتی که بیشترین مقدار مقاومت ویژه در دو محیط برابر یک واحد باشد (شکل ۶-۳). ولی در مورد منحنی های آرایش ونر چنین چیزی مشاهده نمی شود [۹].

رفتار منحنی های آرایش های لی و ونر در نزدیک لبه های دایک شبیه به رفتاریست که این منحنی ها در نزدیک یک گسل قائم نشان می دهد ولی مقدار مقاومت ویژه در پیک ها مربوط به یک دایک با گسل تفاوت دارد که آنهم بدلیل تاثیر سنگ همبر در کنار دایک می باشد.

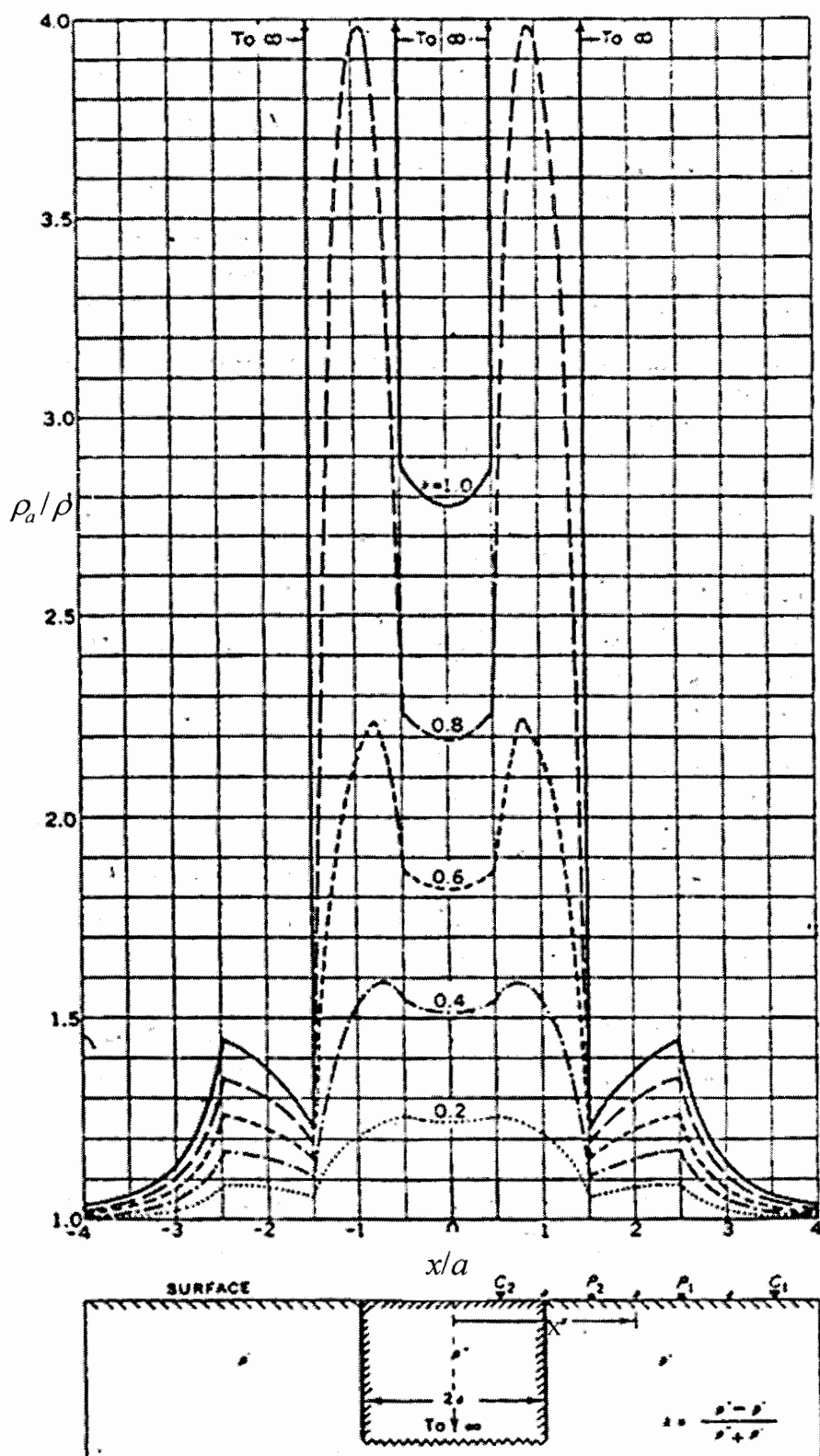
برای منحنی های پیوسته با مقدار k مثبت فاصله افقی میان دو مینیمم در آرایش لی برابر عرض دایک به $2a/5$ می باشد این دو مینیمم به فاصله $4/5a$ از لبه ها و بسمت خارج از دایک دیده می شوند. منحنی های آرایش ونر نیز یک افزایش ناگهانی مقاومت ویژه بر روی دایک نشان می دهند و دو ماکزیمم نیز به فاصله $1.5a$ از لبه ها دیده می شود [۶].

باایستی تاکید کرد که برای داده های صحرابی که اندازه گیری ها در فواصل مجزا و ناپیوسته از یکدیگر انجام می شود تخمین عرض دایک از مطالب گفته شده ممکن است با واقعیت همخوانی

نداشته باشد و بنابراین در تفسیر منحنی ها بایستی همیشه فاصله میان ایستگاه ها را در مقایسه با فاصله الکتروودی مد نظر قرار داد



شکل ۱۰-۳ - منحنی های پروفیل زنی افقی مقاومت ویژه با آرایش لی بر روی یک دایک به ضخامت $a/2$.
[۶] ($k=1, 0.8, 0.6, 0.4, 0.2$)



شکل ۱۱-۳ - شکل منحنی های پروفیل زمینی افقی مقاومت ویژه با آرایش ونر بر روی یک دایک به ضخامت $2a$.
[۶] ($k = 1, 0.8, 0.6, 0.4, 0.2$).

فصل چهارم : اندازه گیری و تفسیر کیفی داده ها

۱-۴ تفسیر کیفی داده های صحرایی

هدف از تفسیر داده های سوندazer الکتریکی، بدست آوردن یک تصویر یا مدل ژئوالکتریکی قابل قبول و منطقی است که با نتایج مطالعات زمین شناسی و هیدروژئولوژی^۱ مطابقت داشته باشد. در ابتدا لازم است برای بدست آوردن یک تصویر عمومی از منطقه، تفسیر به صورت کیفی انجام پذیرد. در تفسیر کیفی، تغییرات مقاومت ویژه ظاهری و مقاطع ظاهری مورد ارزیابی قرار می گیرند. برای بدست آوردن مدل واقعی از زمین، تفسیر باید بصورت کمی انجام گیرد. در تفسیر کمی از داده های خام (مقاومت ویژه های ظاهری)، یک سری از پارامترهای فیزیکی مانند مقاومت ویژه واقعی و ضخامت لایه ها، معین می شوند. برای کامل تر کردن تفسیر، باید نتایج حاصله را با سایر داده های حاصل از زمین شناسی و یا اطلاعات بدست آمده از حفاری چاه ها ، گمانه ها و پیزومترهای مناطق اطراف تلفیق نمود. تفسیر کیفی داده های مقاومت ویژه در ادامه این فصل و تفسیر کمی داده های مقاومت ویژه منطقه مورد مطالعه با استفاده از مدل سازی معکوس یک بعدی و دو بعدی در فصل پنجم ارائه می شوند.

۲-۴ اندازه گیری داده ها

بمنظور اکتشاف گسل پنهان شمال مشهد و تعیین سطح آب زیر زمینی در شهر مشهد ، مجموعاً تعداد ۶۶ سوندazer الکتریکی مقاومت ویژه با آرایش شلومبرگ (در ۶۳ نقطه) و ۴ پروفیل مقاومت ویژه با آرایشها لی و ونر برداشت گردید. برداشت داده های مقاومت ویژه در سطح شهر با توجه به عواملی چون کمبود فضای کار و رعایت فاصله تا دکل های فشار قوی و ... با محدودیت های بسیاری مواجه بود. سرانجام اندازه گیری ها در ۱۲ محل مناسب انجام گرفت که نتایج آن در هر منطقه به تفکیک ارائه می شود. بدلیل فاصله نزدیک برخی سوندazer از یکدیگر و وسعت کل محدوده برداشت داده ها، امکان نمایش نقاط برداشت در نقشه توپوگرافی مسیر نبوده ولذا محل برداشت داده ها

^۱-Hydrogeology

فصل چهارم : اندازه گیری و تفسیر کیفی داده ها

در مناطق مختلف، در تصویر ماهواره ای نمایش داده شده است. موقعیت جغرافیایی محل سوندazها نقطه ابتدا و انتهای پروفیلها بترتیب در جداول ۱-۴ و ۲-۴ ارائه شده است . داده های اندازه گیری شده برای تمامی سوندazها و پروفیلها بترتیب در پیوستهای الف و ب ارائه شده است .

جدول ۱-۴-موقعیت جغرافیایی محل سوندazها در شهر مشهد .

| شماره سوندaz | طول جغرافیایی | عرض جغرافیایی | ارتفاع از سطح دریا(m) | شماره سوندaz | طول جغرافیایی | عرض جغرافیایی | ارتفاع از سطح دریا(m) |
|-----------------|---------------|---------------|-----------------------|-----------------|---------------|---------------|-----------------------|
| S ₁ | 737107 | 4024129 | 955 | S ₃₃ | 732640 | 4027580 | 1003 |
| S ₂ | 737371 | 4024047 | 955 | S ₃₄ | 735182 | 4026176 | 987 |
| S ₃ | 737317 | 4023983 | 955 | S ₃₅ | 735106 | 4026172 | 987 |
| S ₄ | 736984 | 4023851 | 956 | S ₃₆ | 734802 | 4026435 | 987 |
| S ₅ | 736960 | 4023772 | 957 | S ₃₇ | 730523 | 4027041 | 1009 |
| S ₆ | 736941 | 4023673 | 957 | S ₃₈ | 730606 | 4027132 | 1009 |
| S ₇ | 736921 | 4023565 | 959 | S ₃₉ | 730611 | 4027218 | 1010 |
| S ₈ | 736045 | 4024144 | 971 | S ₄₀ | 730485 | 4027305 | 1010 |
| S ₉ | 736528 | 4023956 | 961 | S ₄₁ | 730502 | 4027409 | 1011 |
| S ₁₀ | 737169 | 4023028 | 965 | S ₄₂ | 724459 | 4024843 | 1074 |
| S ₁₁ | 737278 | 4023825 | 955 | S ₄₃ | 724366 | 4024944 | 1074 |
| S ₁₂ | 737236 | 4023798 | 955 | S ₄₄ | 730653 | 4023575 | 1024 |
| S ₁₃ | 737193 | 4023777 | 956 | S ₄₅ | 730572 | 4023780 | 1024 |
| S ₁₄ | 737148 | 4023755 | 956 | S ₄₆ | 730487 | 4023954 | 1024 |
| S ₁₅ | 737082 | 4023741 | 958 | S ₄₇ | 731180 | 4024094 | 1025 |
| S ₁₆ | 737033 | 4023713 | 959 | S ₄₈ | 729378 | 4021405 | 1050 |
| S ₁₇ | 739495 | 4020689 | 941 | S ₄₉ | 729594 | 4021571 | 1044 |
| S ₁₈ | 739675 | 4020802 | 938 | S ₅₀ | 729766 | 4021788 | 1040 |
| S ₁₉ | 739824 | 4020878 | 935 | S ₅₁ | 729929 | 4022073 | 1035 |
| S ₂₀ | 740035 | 4020993 | 932 | S ₅₂ | 730116 | 4022222 | 1031 |
| S ₂₁ | 740199 | 4021076 | 930 | S ₅₃ | 730336 | 4022514 | 1024 |
| S ₂₂ | 739310 | 4018628 | 957 | S ₅₄ | 730537 | 4022784 | 1019 |
| S ₂₃ | 740557 | 4018499 | 952 | S ₅₅ | 730879 | 4023153 | 1015 |
| S ₂₄ | 740651 | 4018739 | 950 | S ₅₆ | 731168 | 4023551 | 1011 |
| S ₂₅ | 741459 | 4019248 | 948 | S ₅₇ | 727046 | 4019614 | 1098 |
| S ₂₆ | 732917 | 4025277 | 1001 | S ₅₈ | 727053 | 4019356 | 1100 |
| S ₂₇ | 733002 | 4026116 | 1000 | S ₅₉ | 726610 | 4019114 | 1102 |
| S ₂₈ | 733027 | 4026624 | 998 | S ₆₀ | 726432 | 4019048 | 1103 |
| S ₂₉ | 731341 | 4027241 | 997 | S ₆₁ | 728131 | 4017645 | 1103 |
| S ₃₀ | 734149 | 4028069 | 994 | S ₆₂ | 728175 | 4017748 | 1102 |
| S ₃₁ | 732535 | 4027773 | 1002 | S ₆₃ | 728231 | 4017854 | 1101 |
| S ₃₂ | 732720 | 4027743 | 1002 | | | | |

جدول ۴-۲- مشخصات جغرافیایی نقاط ابتدا و انتهای پروفیلهای 'AA', 'BB', 'CC', 'DD' .

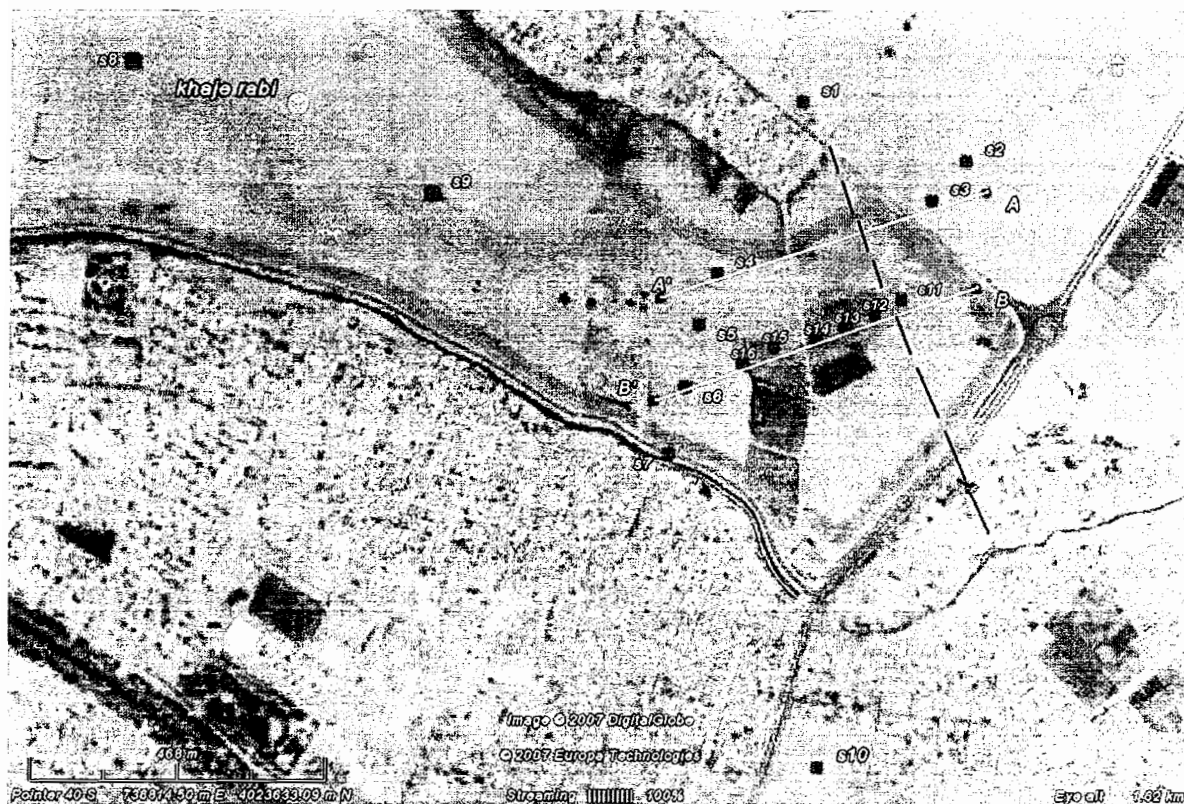
| نام پروفیل | آزیمут | نقاط ابتدا و انتها | طول جغرافیایی | عرض جغرافیایی |
|------------|---------|--------------------|---------------|---------------|
| AA' | AZ=240° | A | 737399 | 4023997 |
| | | A' | 736896 | 4023809 |
| BB' | AZ=240° | B | 737395 | 4023846 |
| | | B' | 736892 | 4023646 |
| CC' | AZ=50° | C | 739482 | 4020710 |
| | | C' | 740185 | 4021101 |
| DD' | AZ=60° | D | 741949 | 4017285 |
| | | D' | 742639 | 4017607 |

۴-۳ منطقه خواجه ربيع

در منطقه خواجه ربيع بدليل اهمیت بیشتر و مشاهده بالا آمده گی زمین در آن محل، تعداد ۱۶ سونداز الکتریکی و دوپروفیل مقاومت ویژه برداشت شد. شکل ۴-۱ موقعیت محل برداشت داده ها را در این منطقه نشان می دهد .

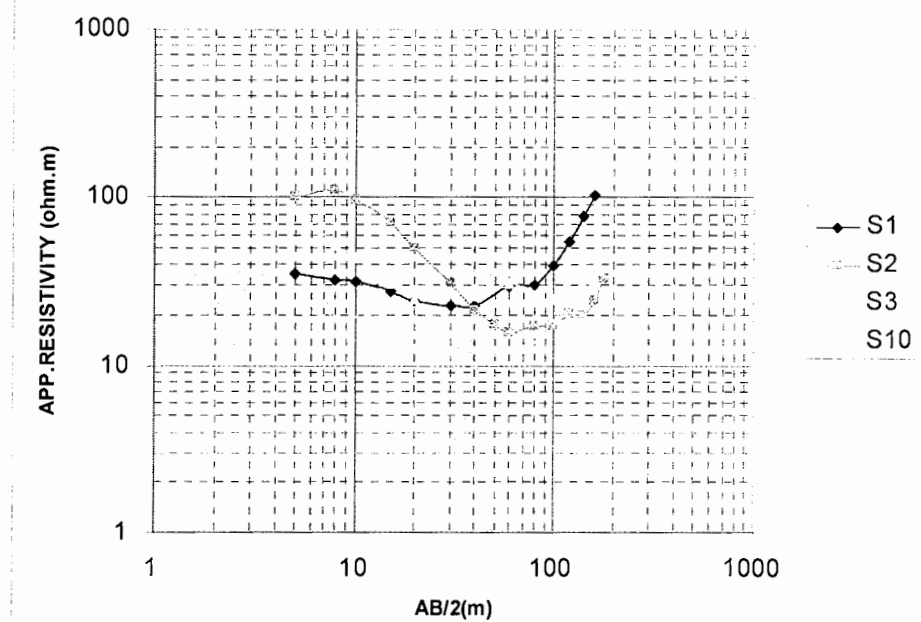
ابتدا بمنظور بررسی تغییرات عمق سنگ کف، سوندازهای S_3, S_2, S_1 در بالای جاده شهرک سیمان برداشت شدند. امتداد گسترش الکترودی در این سوندازها بموازات جاده یعنی شمال غربی-جنوب شرقی می باشد. سونداز S_{10} نیز در یک زمین خالی در پایین دست رودخانه ای که تغییر مسیر داده، انجام گرفت. منحنی تغییرات مقاومت ویژه این چهار سونداز دریک دستگاه مختصات برحسب نصف فاصله الکترود های جریان (AB/2) در شکل ۴-۲ نشان داده شده است. همانگونه که در شکل نیز می توان دید، تمامی سوندازها بجز سونداز S_1 روند تقریباً مشابهی را نشان می دهند. سونداز S_1 از مقدار AB/2 برابر ۴۰ متر افزایش چشمگیری نشان می دهد که این می تواند بدليل نزدیکی بیشتر سونداز S_1 به محل گسل باشد .

سوندازهای $S_4, S_9, S_8, S_7, S_6, S_5, S_4$ با گسترش الکترودی شرقی - غربی با هدف مشخص کردن محدوده عبور گسل در منطقه، برداشت شدند. در سوندازهای S_9, S_8, S_6 علاوه بر برداشت با گسترش الکترودی شرقی - غربی (سوندازهای S_{9E}, S_{8E}, S_{6E})، برداشت با گسترش الکترودی شمالی - جنوبی نیز انجام گرفت(سوندازهای S_{9N}, S_{8N}, S_{6N}). هدف از این کار مقایسه دو سونداز عمود بر هم در یک



شکل ۴-۱-۴- موقعیت محل برداشت سوندازها و پروفیلها در منطقه خواجه ربع. خط چین مشکی امتداد مرز بالا و پایین افتادگی زمین را در نزدیکی محل برداشت داده‌ها نشان می‌دهد.

KHAJE RABI SOUNDINGS



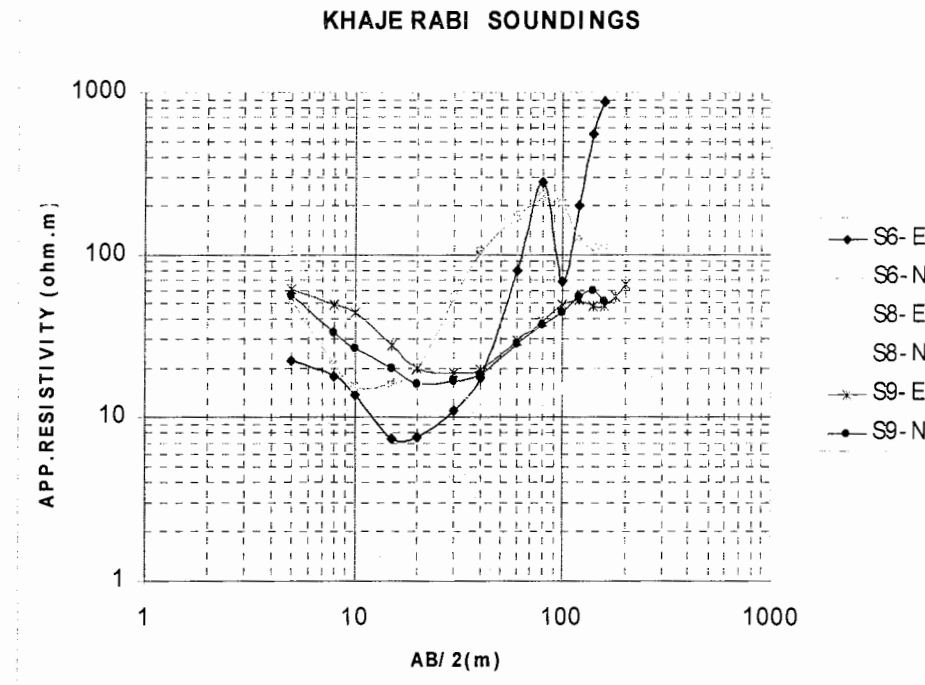
شکل ۴-۲-۴- منحنی تغییرات مقاومت ویژه ظاهری سوندازهای S₁, S₂, S₃, S₁₀.

منطقه بود، که در صورت تفاوت این دو می توان به تغییرات جانبی (گسل خوردگی) در محل سونداز پی برد. فاصله سوندازهای S_4, S_5, S_6, S_7 از یکدیگر برابر 50 m می باشد. منحنی سوندازهای S_4, S_5, S_6, S_7 بمنظور مقایسه بهتر با یکدیگر دریک شکل آورده شده است. همانطور که در شکل ۴-۳ مشاهده می شود، سوندازهای S_{AE}, S_{AN} کاملاً مشابه یکدیگر بوده و بنابراین می توان نتیجه گرفت که در اطراف محل سونداز S_8 تغییرات جانبی وجود ندارد.

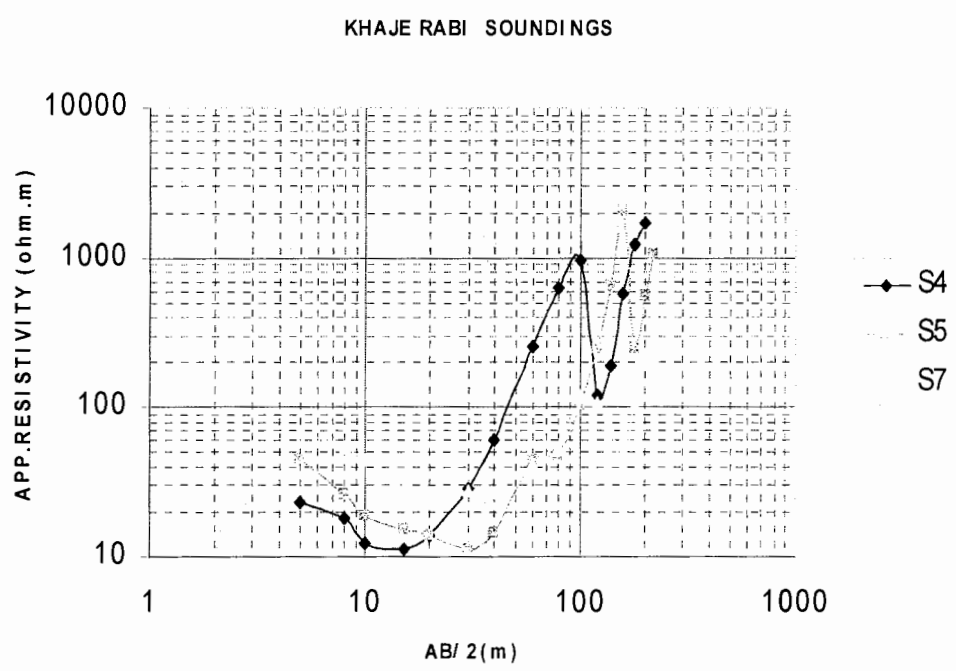
در سونداز S_{9E} نیز نمی توان تفاوت آشکاری با منحنی سونداز S_{9N} مشاهده نمود . منحنی ها هردو روند افزایشی آرامی را دنبال می کنند.

در محل سونداز ششم، S_{6N} با S_{6E} تفاوت کاملاً چشمگیری را نشان می دهند . عبارت دیگر سونداز S_6 که با گسترش الکترودی شرقی - غربی انجام گرفته است، یک افزایش ناگهانی در $AB/2=80\text{ m}$ نشان می دهد . در حالی که منحنی S_{6N} روندی معمولی را دنبال می کند. تفاوت این دو سونداز بیان کننده وجود تغییرات جانبی در محیط اطراف است. سوندازهای S_4, S_5, S_6, S_7 هم که در بالا و پایین سونداز ششم با گسترش الکترودی شرقی - غربی انجام شده اند، این مطلب را تأیید می کنند. (شکل ۴-۴) سونداز S_4 یک کاهش ناگهانی در $AB/2=120\text{ m}$ و سونداز S_5 یک کاهش ناگهانی در $AB/2=180\text{ m}$ نشان می دهد. تفاوت دیگر این سوندازها با سوندازهای دیگر بالا بودن غیرعادی مقادیر مقاومت ویژه ظاهری قبل از این افت می باشد. در سوندازهایی که کاهش یا افزایش ناگهانی روی نداده و منحنی حالت آرامی دارد، مقادیر مقاومت ویژه ظاهری تا حداقل 200 اهم متر افزایش یافته اند، درحالی که در سوندازهای S_4, S_5 مقادیر مقاومت ویژه ظاهری تا 1000 اهم متر افزایش نشان می دهند. تمامی این نتایج نشان دهنده وجود یک زون با مقاومت ویژه بالا و عبور گسل از سمت راست (شرق) محل سوندازهای S_4, S_5, S_6 است .

بنابراین بمنظور بدست آوردن اطلاعات بیشتر از تغییرات عمقی مقاومت خاک و همچنین یک مقطع قائم از گسل، سوندازهای S_{11} تا S_{14} با فاصله های 50 متری از یکدیگر و در امتداد عمودبرامتداد فرضی گسل، (شمال شرقی- جنوب غربی) و با گسترش الکترودی بموازات گسل(شمال غربی- جنوب شرقی) در منطقه انجام گرفتند. منحنی های مربوط به این سوندازها در شکل ۵-۵ ارائه شده است. همانگونه که در شکل نیز می توان دید تمامی سوندازها بجز سونداز S_{11} روندمشابهی را دنبال می کنند .



شکل ۳-۴- منحنی تغییرات مقاومت ویژه ظاهری سوندازهای $S_{6N}, S_{8N}, S_{9N}, S_{6E}, S_{8E}$ ، S_{9E}



شکل ۴-۴- منحنی تغییرات مقاومت ویژه ظاهری سوندازهای S_4, S_5, S_7

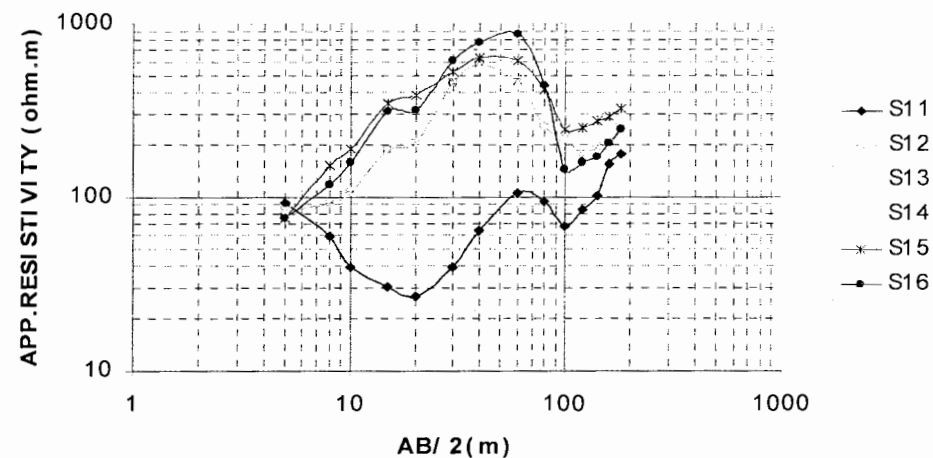
سوندازهای S_{12} تا S_6 از فاصله الکترودی $AB/2=30\text{ m}$ افزایش چشمگیری را نشان می دهند. که این افزایش تا $AB/2=60\text{ m}$ ادامه دارد. سونداز S_{11} از ابتدایا روندی نزولی آغاز شده واز $AB/2=30\text{ m}$ متر به بعد روند مشابه سایر سوندازها را دنبال می کند. جنس مواد قرار گرفته در زیر سوندازهای S_{12} تا S_6 با توجه به مقادیر بالای مقاومت ویژه ها می تواند سنگ مارن باشد که در عمق کم قرار گرفته است، و در محل سونداز S_{11} سنگ کف مارنی در عمق پایین تری وجود دارد. در شکل ۴-۶ شبیه مقطع سوندازهای S_{11} تا S_6, S_{12} که بوسیله نرم افزار Surfer تهیه شده، آورده شده است. برای عمق ظاهری مقادیر $AB/2$ در نظر گرفته شده اند.

در شکل ۴-۶ نیز می توان یک ناحیه با مقاومت بالا بین سوندازهای S_{12} تا S_6 مشاهده نمود. بنابر این بایستی یک گسل در بین سوندازهای S_{11}, S_{12} و همچنین S_6, S_1 عمل کرده باشد که باعث شده سنگ کف مارنی در بین سوندازهای S_{12} تا S_6 بالاتر قرار گیرد. البته تغییرات مقاومت ویژه بین سوندازهای S_{11}, S_{12} شدیدتر از تغییرات مقاومت ویژه بین سوندازهای S_6, S_1 می باشد. بنابر این مرز اصلی گسل بایستی بین S_{12} و S_{11} باشد.

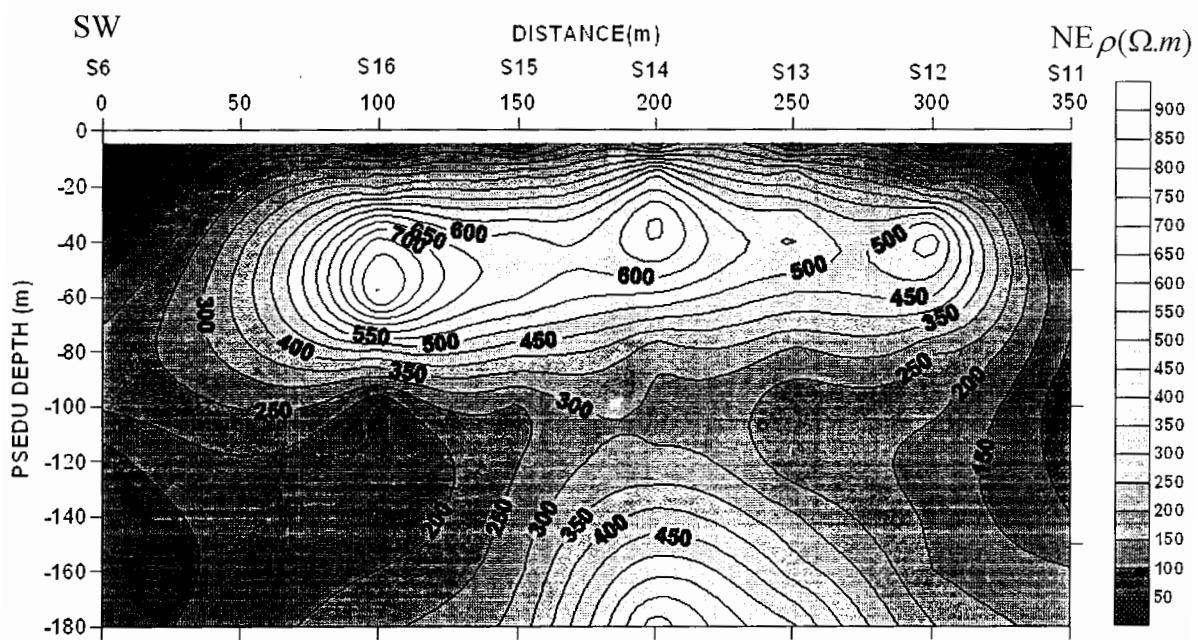
۴-۳-۱ تفسیر پروفیل 'A A'

پروفیل 'A A' با فاصله الکترودی $a=20\text{ m}$ و جابجایی $d=20\text{ m}$ با روند شمال شرق به جنوب غرب در منطقه خواجه ربیع برداشت گردید. مشخصات جغرافیایی نقطه ابتداء و انتهای پروفیل در جدول ۲-۴ وداده های مربوط به این پروفیل و سایر پروفیلهای، در پیوست ب ارائه شده است. در شکل ۷-۴ منحنی این پروفیل با آرایش و نر نشان داده شده است. همانگونه که در منحنی پروفیل مربوطه نیز می توان دید، با فاصله الکترودی $a=20\text{ m}$ تغییرات قابل ملاحظه ای در مقادیر مقاومت ویژه ظاهری مشاهده نمی شود و فقط در نقاط انتهای پروفیل دوپیک کوچک دیده می شود که بایستی احتمالا ناشی از تغییرات مقاومت ویژه سطحی باشد.

KHAJE RABI SOUNDINGS

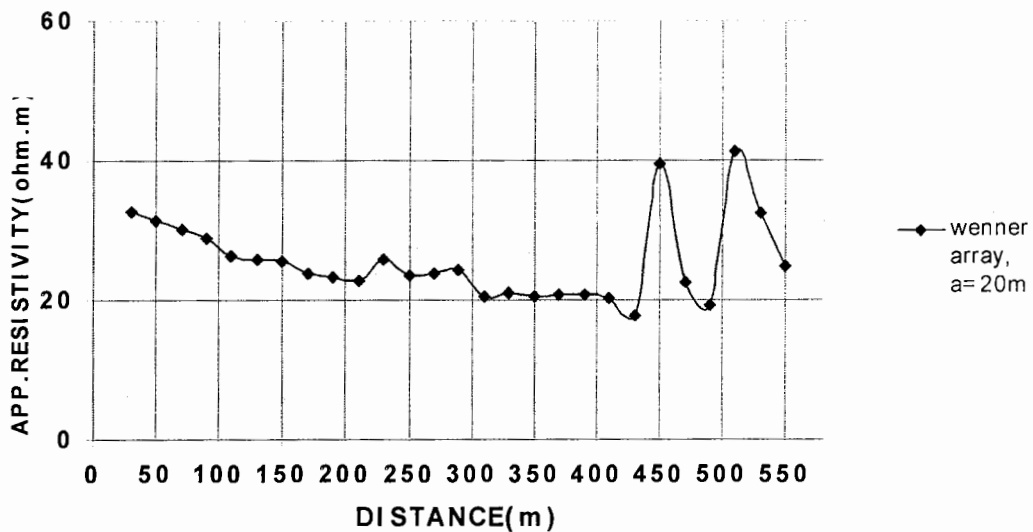


شکل ۴-۵- منحنی تغییرات مقاومت ویژه ظاهری سوندراژهای S_{11} تا S_{16} .



شکل ۴-۶- شبیه مقطع قائم مقاومت ویژه سوندراژهای S_6, S_{14}, S_{16} در منطقه خواجه ریبع.

PROFILE AA' (KHAJE RABI)



شکل ۷-۴- منحنی تغییرات مقاومت ویژه ظاهری پروفیل AA' در خواجه ربيع.

۲-۳-۴ تفسیر پروفیل BB'

پروفیل BB' با هدف تعیین محل دقیق گسل با آرایش‌های ونرو لی، با فاصله الکترودی $a = 5.0\text{ m}$ و جابجایی $d = 1.0\text{ m}$ بموازات پروفیل AA' برداشت گردید. منحنی تغییرات مقاومت ویژه این پروفیل برای آرایش ونرو لی به ترتیب در اشکال ۸-۴ و ۹-۴ نشان داده شده است.

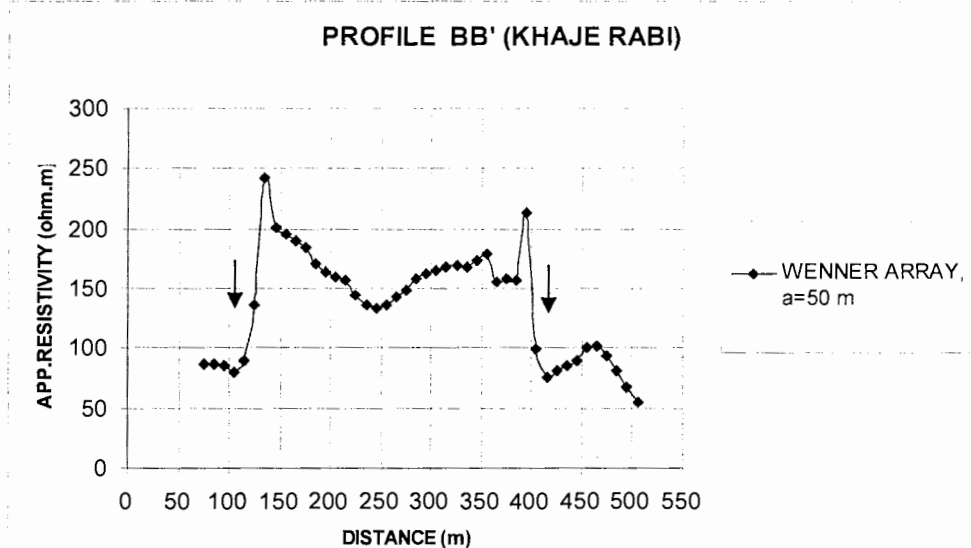
در شکل ۸-۴، منحنی دوافراش ناگهانی در فاصله های $D = ۱۳۵\text{ m}$ و $D = ۳۹۵\text{ m}$ از نقطه B نشان می دهد. شکل منحنی در مقایسه با منحنی های تئوری شبیه منحنی مربوط به یک دایک ضخیم یا دو گسل می باشد. بجز ظاهرنشدن ماکزیمم کوچک در سمت چپ، شکل پروفیل با منحنی تئوری مربوط به دایک ضخیم (شکل ۱۱-۳ - فصل سوم)، تطبیق خوبی نشان می دهد. با توجه به مطالب ذکر شده در خصوص کاربرد منحنی های تئوری در اکتشاف دایکها، از روی مینیمم های موجود در فواصل ۱۰۵ و ۴۱۵ متری (محل فلش ها در شکل) می توان فاصله دیواره های گسل را در $D = ۱۳۰\text{ m}$ و $D = ۳۹۰\text{ m}$ از نقطه B تخمین زد. از روی شکل منحنی و مقایسه آن با شکل (منحنی گسلهای شبیدار) بدلیل تاثیر دیوار دوم بر روی شکل منحنی نمی توان شبیه گسل را تعیین کرد ولی

از روی تقارن تقریبی منحنی می توان گفت که بایستی گسل مربوطه یک گسل با شیب نزدیک به 90° درجه باشد.

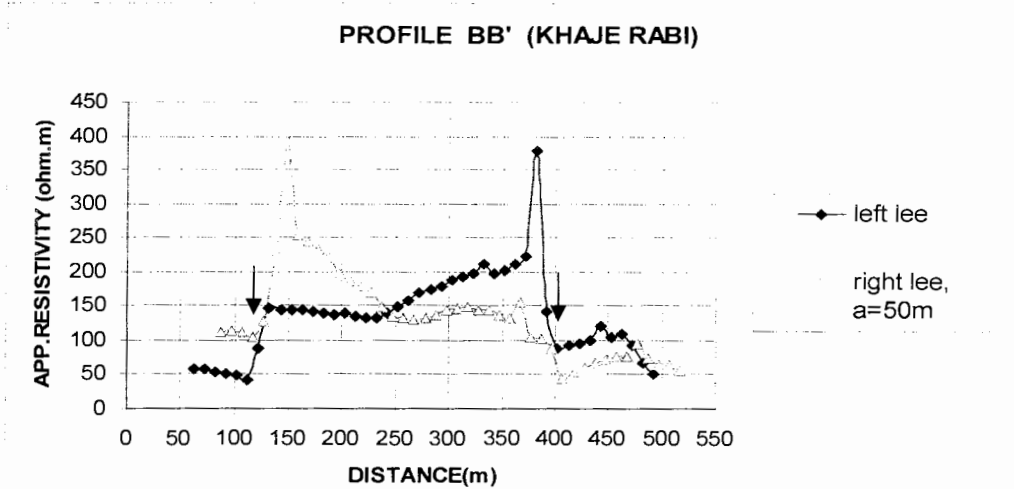
در شکل ۴-۹، منحنی های لی چپ(شمال شرقی) و راست(جنوب غربی) کاملاً شبیه منحنی های تئوری مربوط به یک دایک ضخیم (شکل ۳-۱۰ - فصل سوم) بنظر می رسند. منحنی لی چپ در فاصله $D = 382$ متری و منحنی لی راست در فاصله $D = 147$ متری، پیک برجسته و آشکاری نشان می دهند. عبارت دیگر لی راست، مرز اول (سمت شرق) و لی چپ، مرز دوم (سمت غرب)، را بهتر نشان داده است.

با توجه به مطالب ذکرشده در خصوص کاربرد منحنی های تئوری و مینیمم های موجود در فواصل ۱۱۷ و ۴۰۲ متری بر روی منحنی های لی راست و چپ(محل فلش ها)، مرزهای گسل در فواصل $D = 130$, $D = 390$, $D = 147$ متری از نقطه B تخمین زده می شود.

از تقارن تقریبی منحنی های لی راست و چپ می توان شیب تقریبی گسل را 90° درجه برآورد کرد.



شکل ۴-۸- منحنی تغییرات مقاومت ویژه ظاهری پروفیل 'BB' در خواجه ربيع (آرایش ونر).



شکل ۴-۹- منحنی تغییرات مقاومت ویژه ظاهری پروفیل BB در خواجه ربع (آرایش لی).

۳-۴ سطح آب زیرزمینی در منطقه خواجه ربع

در سوندazهای انجام گرفته در منطقه خواجه ربع بدلیل هدایت زیاد لایه خاک واقع در بالای لایه آبدار و هدایت متوسط لایه آبدار نسبت به دولایه بالا و پایین آن، اصل اختفا اتفاق افتاده و موجب شده که در اکثر منحنی ها نتوان افت قابل توجهی را که دال بر وجود سطح آب زیرزمینی باشد، شناسایی کرد.

نzedیکترین پیزومتر به منطقه خواجه ربع پیزومتر P_7 می باشد که در کنار آرامگاه خواجه ربع قرار دارد. سطح آب در این پیزومتر طی آخرین اندازه گیری در سال ۸۵، در عمق ۲۳ متری از سطح زمین قرار داشته است.

در سوندaz هشتم و نهم یکنواختی مقدار مقاومت ویژه از حدود $\frac{AB}{2}=30$ متر در منحنی را می توان بدلیل برخورد به سطح آب زیرزمینی عنوان کرد.

سوندazهای S_{11} تا S_{15} از مقدار $\frac{AB}{2}=60$ متر افت نشان می دهند که این می تواند بدلیل سطح آب زیرزمینی باشد. در سوندaz S_{16} از $\frac{AB}{2}=40$ متر این افت در منحنی اتفاق می افتد.

۴-۴ منطقه گلشهر

با توجه به روند مشخص شده برای گسل از برداشت‌های منطقه خواجه ربیع و امکان عبور آن از منطقه گلشهر و همچنین وجود فضای کافی برای برداشت داده‌ها در این منطقه، تعداد پنج سونداز ژئوالکتریک با فواصل ۱۵۰ متری از یکدیگر و یک پروفیل مقاومت ویژه (پروفیل CC) با آرایش‌های لی و ونر بطول ۷۵۰ متر برداشت گردید. امتداد گسترنش الکتروودی‌ها در سوندازها شمال غربی-جنوب شرقی می‌باشد. شکل ۴-۱۰ موقعیت محل برداشت داده‌ها را که در شرق مشهد قرار دارد، نشان می‌دهد.

داده‌های مربوط به سوندازها در پیوست الف ارائه شده است. منحنی مقاومت ویژه ظاهری سوندازها نیز در شکل ۱۱-۴ بر حسب نصف فاصله الکتروودهای جریان (AB/۲) نشان داده شده است. منحنی سونداز S_{۱۹} که از لحاظ موقعیت مکانی مابین سوندازهای دیگر قرار گرفته از نظر شکل ظاهری منحنی مقاومت ویژه نیز وضعیتی مابین منحنی دیگر سوندازها دارد.

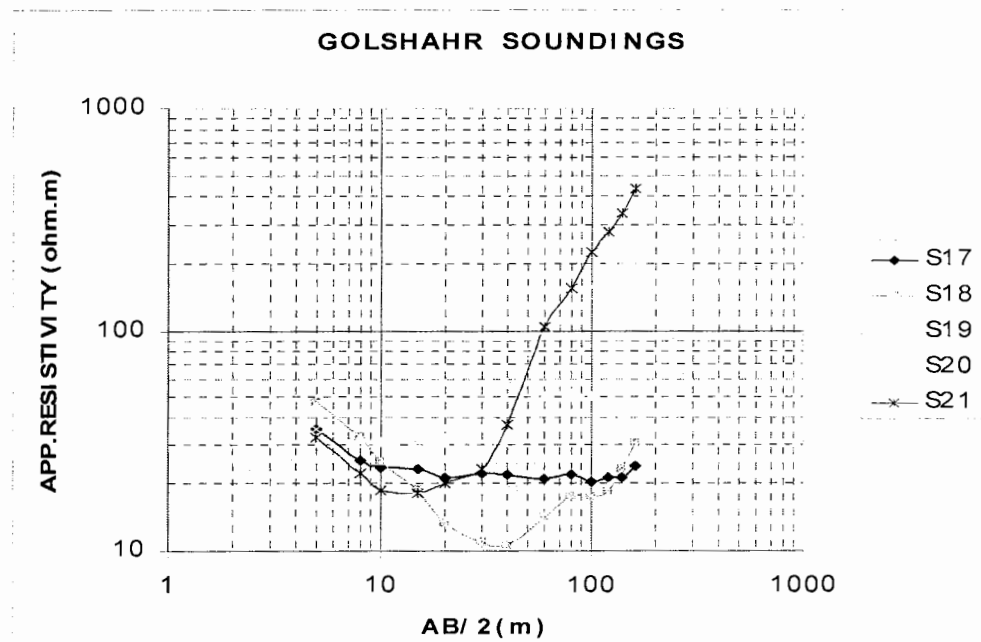
به عبارت دیگر با پیشروی از جنوب غرب به سمت شمال شرق، مقدار مقاومت ویژه ظاهری افزایش نشان می‌دهد. این مطلب بجز برای سونداز S_{۱۸} برای تمامی سوندازها صادق است. این افزایش در سونداز S_{۲۰} تا مقدار مقاومت ویژه ظاهری ۲۰۰ اهم متر و در سونداز S_{۲۱} تا بیش از ۴۰۰ اهم متر، ادامه یافته است.

نتایج حاصله عملکرد یک گسل در نزدیکی سونداز S_{۱۹} را نشان می‌داد که برای تعیین دقیق موقعیت آن روش پروفیل زنی بکار برده شد.

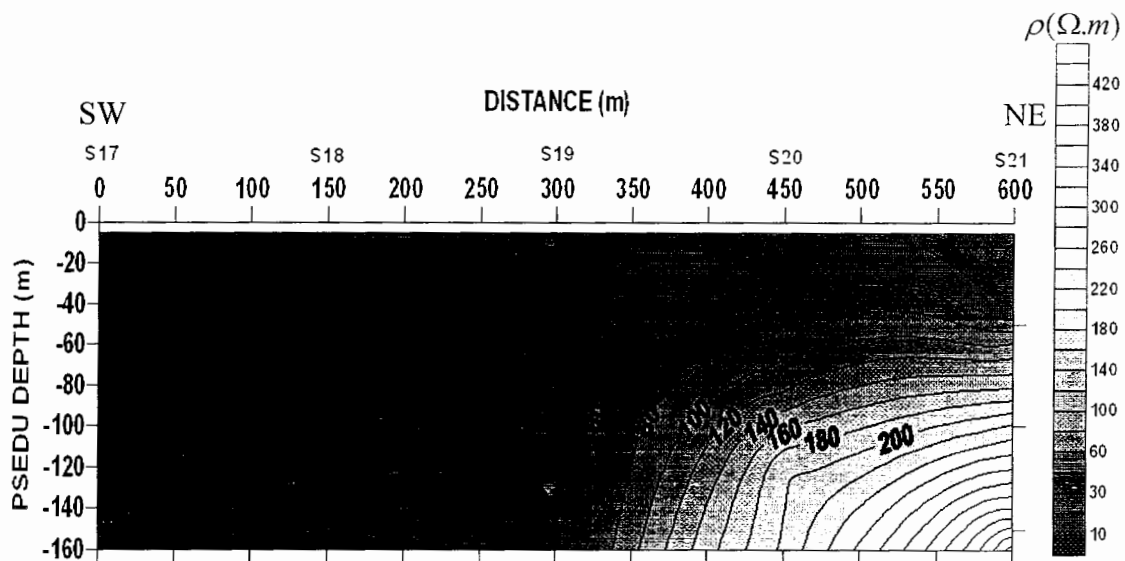
شکل ۱۲-۴، شبه مقطع قائم مقاومت ویژه سوندازهای S_{۱۷} تا S_{۲۱} که بوسیله نرم افزار Surfer تهیه شده نشان می‌دهد. در این شکل نیز می‌توان دید که بدلیل افزایش مقاومت ویژه با پیشروی بسمت شمال شرق (سونداز S_{۲۱})، تراکم منحنی‌های هم مقاومت زیاد شده و تغییرنگ ازآبی به زرد مشاهده می‌شود.



شکل ۴-۱۰- موقعیت محل برداشت سوندازها و پروفیلها در مناطق گلشهر ، پارک رضوی و کنه بیست .



شکل ۴-۱۱- منحنی تغییرات مقاومت ویژه ظاهری سوندازهای S_{۲۱} تا S_{۱۷}



شکل ۱۲-۴- شبہ مقطع قائم زمین مابین سوندائز های S_{۱۷},S_{۲۱} در منطقه گلشهر.

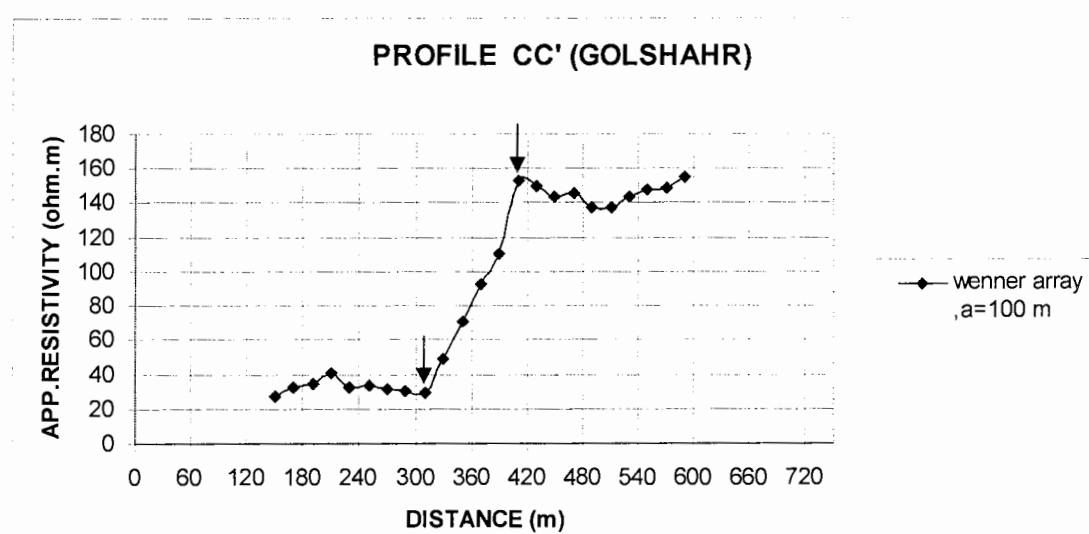
۱-۴-۴ پروفیل CC'

بمنظور تعیین دقیق محل عبور گسل از منطقه گلشهر، پروفیل CC' با امتداد جنوب غربی- شمال شرقی، با آرایش‌های لی و ونر، فاصله الکتروودی $a = 100$ متر و $d = 20$ متر در منطقه برداشت گردید. داده‌ها در پیوست ب وشكل منحنی تغییرات مقاومت ویژه برای آرایش‌های ونر و لی در اشکال ۱۳-۴ و ۱۴-۴ ارائه شده است. پروفیل از محل سونداز S_{۱۷} آغاز و به نقطه C' واقع در ۱۵۰ متری شمال شرق سونداز S_{۲۱} ختم گردید. شکل منحنی آرایش ونر افزایش ناگهانی در فاصله D=۴۱۰ متری از نقطه C نشان می‌دهد. با توجه به مطالب ذکر شده در خصوص منحنی‌های تئوری (شکل ۷-۳) گسل بایستی در فاصله ۵۰ متر ($a/2$) قبل از این نقطه یعنی در فاصله ۳۶۰ متری از نقطه شروع پروفیل قرار داشته باشد. عبارت دیگر مرز گسل در فاصله ۶۰ متری شمال شرق سونداز S_{۱۹} قرار دارد. با توجه به شکل منحنی می‌توان گفت بایستی شیب گسل نزدیک به ۹۰ درجه باشد. منحنی‌های آرایش‌های لی چپ(غرب) و راست(شرق) هم ناپیوستگی‌هایی در فاصله ۳۸۵ و ۳۹۵ متری از نقطه C نشان می‌دهند. با توجه به این که گسل بایستی در فاصله $a/4$ از ناپیوستگی ماکریم مشترک دو منحنی قرار گیرد (شکل ۹-۳ A-F)، بنابراین می‌توان گفت که گسل در فاصله ۳۶۰-۳۷۰ متری از نقطه (فاصله ۶۰-۷۰ متری شمال شرقی سونداز S_{۱۹}) قرار دارد.

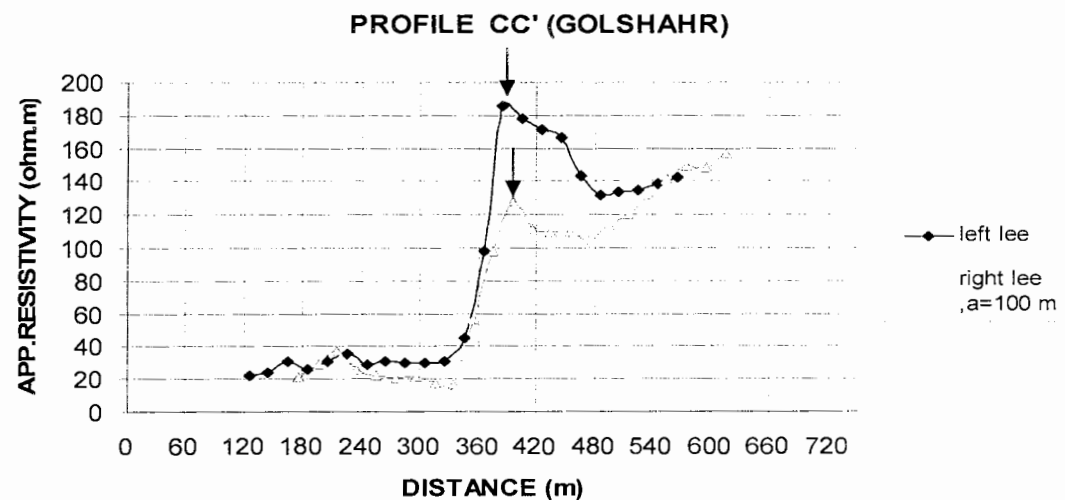
۲-۴-۴ سطح آب زیرزمینی در منطقه گلشهر

نژدیکترین پیزومتر به منطقه گلشهر پیزومتر P_2 در التیمور می باشد که در بین پیزومترهای دشت مشهد بالاترین سطح آب را دارا می باشد . سطح آب در این پیزومتر در عمق حدود ۱۲,۵ متری قرار دارد . با توجه به فاصله زیاد این پیزومتر از منطقه گلشهر نمی توان نتایج آن را به این منطقه تعمیم داد . ولی با توجه به پیزومترهای دیگر اطراف می توان حدوداً سطح آب را در عمق ۳۰ متری پیش بینی کرد .

در بین سوندazهای این منطقه فقط سوندaz S_{19} یک افت در $AB/2 = 30$ متر نشان می دهد . البته سوندaz S_{18} یک سیر نزولی را از ابتدا نشان می دهد ولی از روی تفسیر کیفی منحنی آن امکان تشخیص سطح آب زیرزمینی وجود ندارد . بقیه سوندazها بدلیل تشابه مقاومت ویژه لایه رویی بالایه آبدار و یا قرار گرفتن مقاومت ویژه لایه آبدار در بین مقاومت ویژه لایه های بالایی و پایینی خود (اصل اختفاء) نتوانسته اند لایه آبدار را آشکار کنند .



شکل ۴-۱۳- منحنی تغییرات مقاومت ویژه ظاهری پروفیل 'CC' در گلشهر (آرایش ونر) .



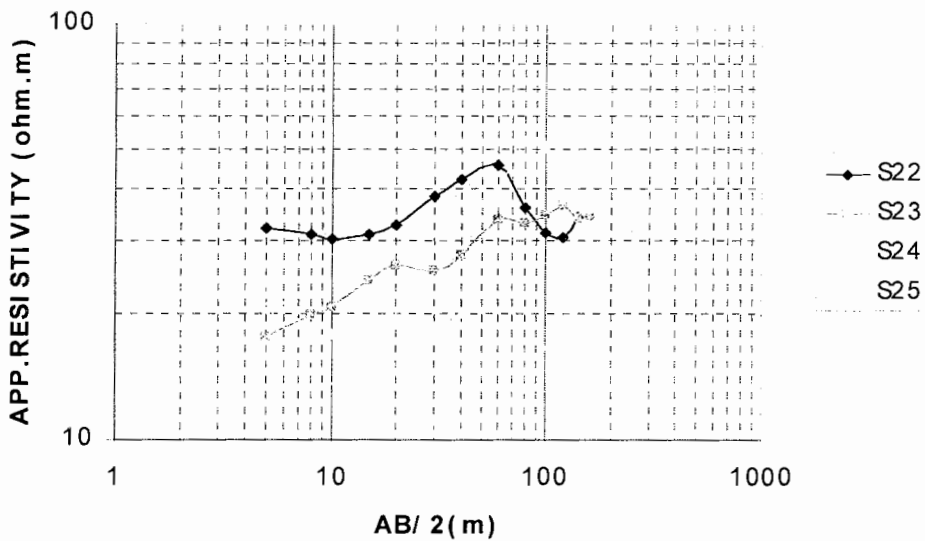
شکل ۴-۱۴- منحنی تغییرات مقاومت ویژه ظاهری پروفیل 'CC' در گلشهر (آرایش لی).

۵-۴ محدوده اطراف پارک رضوی

بدلیل تغییر مسیر رودخانه ها در اطراف پارک رضوی و احتمال عبور گسل از آن محل ، تعداد چهار سونداز الکتریکی با گسترش الکترودی شمال غربی- جنوب شرقی در آن محل برداشت گردید(شکل ۱۰-۴).

در شکل ۴-۱۵ منحنی مقاومت ویژه ظاهری سوندازهای S_{۲۲} تا S_{۲۵} نشان داده شده است. تمامی منحنی ها مقادیر مقاومت ویژه پایینی (زیر ۱۰۰ اهم متر) دارند. و مرز برجسته و مشخصی مانند آنچه در گلشهر و خواجه ربيع دیده می شود، نمی توان یافت. ولی با یک نگاه دقیق تر می توان گفت منحنی سونداز S_{۲۲} با S_{۲۵} از نظر روند کلی با هم تفاوت دارند. سونداز S_{۲۲} ابتدا یک روند سعودی وسپس نزولی دارد در حالی که سونداز S_{۲۵} ابتدا نزولی بوده و سپس صعود می کند. از طرف دیگر شکل منحنی سوندازهای S_{۲۳} و S_{۲۴} به سونداز S_{۲۲} شباهت بیشتری دارند. بنابراین با توجه به نتایج فوق می توان گفت احتمال عبور گسل از مابین سوندازهای S_{۲۵} و S_{۲۴} در این منطقه وجود دارد.

PARK RAZAVI SOUNDINGS



شکل ۴-۱۵ - منحنی تغییرات مقاومت ویژه ظاهری سوندazهای S_{۲۲} تا S_{۲۵}.

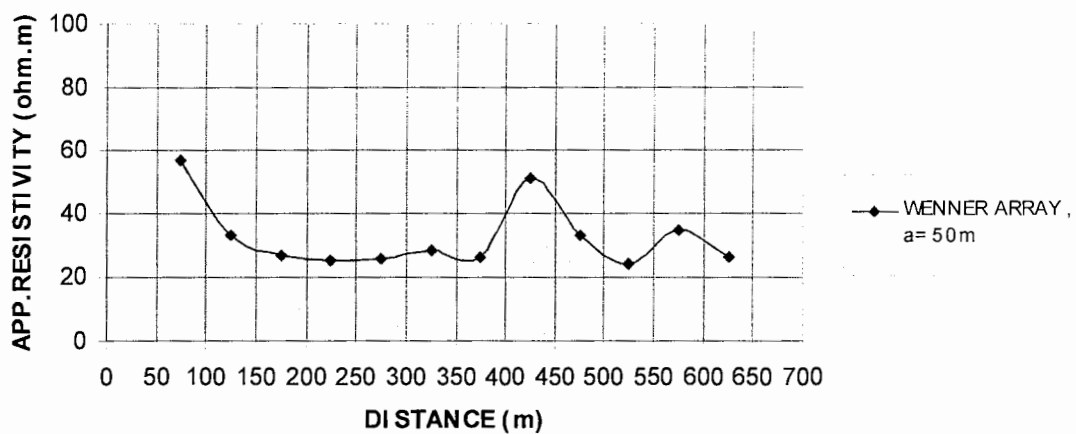
۴-۵-۱ سطح آب زیرزمینی در محدوده پارک رضوی

نزدیکترین پیزومترها به این محل، پیزومترهای p_۸ (راه آهن) و p_۶ (التمور) می باشند. بنابراین سطح آب زیرزمینی در این مکان بایستی در عمق حدود ۲۵ متری قرار داشته باشد. در منحنی سوندazهای S_{۲۴}, S_{۲۳} می توان افت کوچک به ازای AB/2=۲۰ متر را مشاهده نمود. می توان این افت را به سطح آب زیرزمینی در این عمق تقریبی نسبت داد.

۴-۶ پروفیل 'DD' (منطقه کنه بیست)

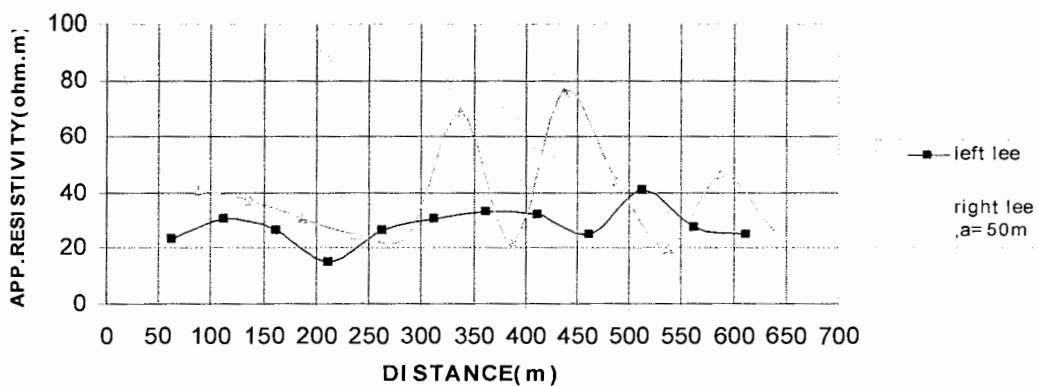
بمنظور بررسی بیشتر درناواحی شرقی مشهد، پروفیل 'DD' در منطقه کنه بیست (در فاصله حدود ۱ کیلومتری جنوب شرقی سوندaz (S_{۲۴}) در جهت شمال شرق برداشت گردید. مقدار a برای این پروفیل برابر ۵۰ مترو جابجایی نیز در هر مرحله ۵۰ متر در نظر گرفته شد. نتایج حاصله از برداشت این پروفیل در شکل ۴-۱۶ دیده می شود. منحنی مقاومت ویژه ظاهری این پروفیل تنها یک افزایش کوچک در فاصله حدود ۴۰۰ متری نشان می دهد. منحنی آرایش لی راست (شکل ۴-۱۷) نیز فقط تغییرات کوچکی در فاصله ۳۵۰ و ۴۵۰ متری نشان می دهد.

PROFILE DD' (KENE BI ST)



شکل ۱۶-۴- منحنی تغییرات مقاومت ویژه ظاهری پروفیل 'DD' در محله کنه بیست (آرایش ونر).

PROFILE DD'(KENE BI ST)



شکل ۱۷-۴- منحنی تغییرات مقاومت ویژه ظاهری پروفیل 'DD' در محله کنه بیست (آرایش لی).

۷-۴ میدان سپاد

آخرین منطقه ای که بمنظور اکتشاف گسل شمال مشهد مورد مطالعه قرار گرفت اطراف میدان سپاد واقع در غرب آرامگاه خواجه ربيع بود. در این منطقه تعداد پنج سونداز ژئوالکتریک (S_{24} تا S_2) با گسترش الکترودی شمال غربی - جنوب شرقی برداشت گردید.

شکل ۱۸-۴ موقعیت محل برداشت داده ها را در این منطقه نشان می دهد. شکل ۱۹-۴ منحنی مقاومت ویژه ظاهری سوندازهای S_2 تا S_{24} را نشان می دهد. همانطور که در شکل نیز می توان دید تمامی سوندازها تقریباً مشابه یکدیگر بوده و فقط سونداز S_2 از $AB/2=60$ متر با منحنی های دیگر مقداری فاصله گرفته و مقاومت ویژه بیشتری نشان می دهد ولی این تفاوت چندان قابل توجه نیست که بتوان بوسیله آن عبور گسل از این محدوده را اثبات کرد.

۱-۷-۴ سطح آب زیرزمینی در محدوده میدان سپاد

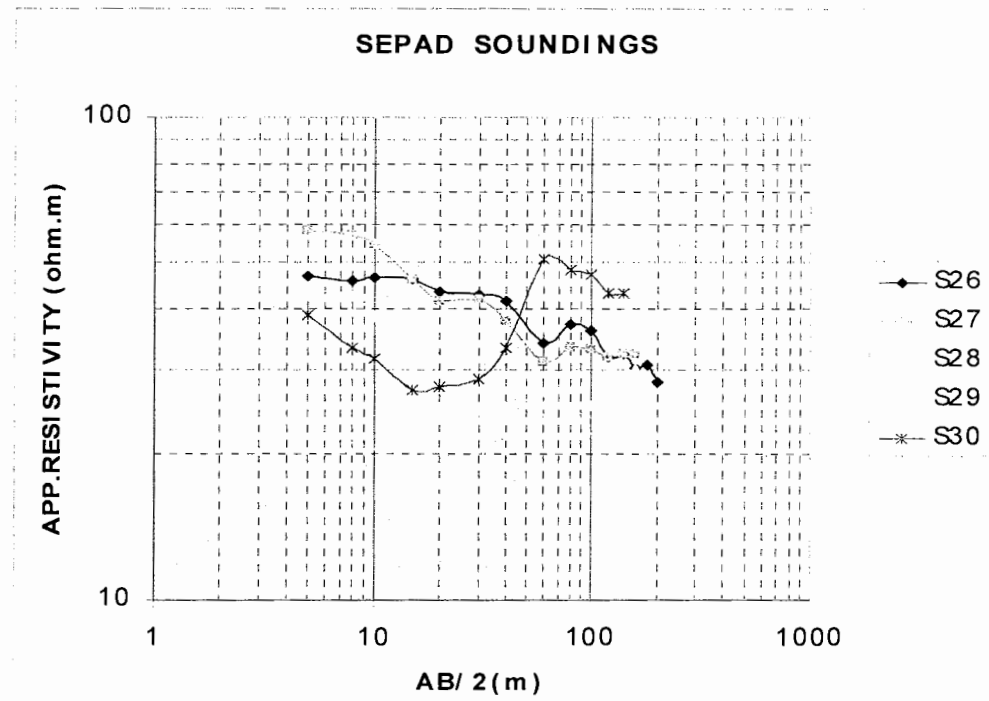
این منطقه مابین پیزومترهای P_1, P_7, P_{11}, P_{12} قرار گرفته است. سطح آب زیرزمینی در این پیزومترها بترتیب در عمق ۴۹ و ۳۰ و ۲۳ و ۶۴ متری قرار دارد. بنابراین با توجه به فاصله زیاد سوندازهای این منطقه از یکدیگر بایستی انتظار داشت که در سطح آب زیرزمینی آنها اختلاف وجود داشته باشد. در منحنی سونداز S_{24} بعداز $AB/2=40$ متریک افت مشاهده می شود که می توان آنرا ناشی از لایه آبدار دانست. در منحنی سونداز S_2 نیز در همین فاصله الکترودی، افت در منحنی مشاهده می شود. در سوندازهای S_{28}, S_{29}, S_{30} افت قابل توجه که بتوان آن را ناشی از لایه آبدار دانست، بعد از $AB/2=60$ متر روی می دهد. از آنجا که سطح آب زیرزمینی در پیزومتر P_5 برابر ۷۰ متر می باشد بنابراین بایستی مطلب ذکر شده در بالا صحت داشته باشد.

۸-۴ منطقه فدک

این منطقه از لحاظ موقعیتی در شمال میدان سپاد قرار دارد. بمنظور بررسی وضعیت سطح آب زیرزمینی در این منطقه، تعداد ۳ سونداز الکتریکی S_{21}, S_{22}, S_{23} با امتداد گسترش الکترودی شمال غربی - جنوب شرقی برداشت شد(شکل ۱۸-۴).



شکل ۱۸-۴- موقعیت محل برداشت سوندراشها در مناطق سپاد ، فدک ، شهرک چمران شهرک حجت.



شکل ۱۹-۴- منحنی تغییرات مقاومت ویژه ظاهری سوندراش‌های S₂₆ تا S₃₀.

در شکل ۲۰-۴ منحنی تغییرات مقاومت ویژه ظاهری این سه سونداز در برابر نصف فاصله الکترودی (AB/۲)، ترسیم شده است.

نزدیکترین پیزومتر به این منطقه پیزومتر شماره ۵ می باشد که سطح آب زیرزمینی در آن در عمق ۷۰ متری قرار دارد . درین سوندازهای این منطقه فقط منحنی سونداز $S_{۳۳}$ از $AB/۲ = ۸۰$ متر افت پیدا می کند که با توجه به پیزومتر شماره ۵ می توان دلیل آنرا به علت سطح آب زیرزمینی ذکر کرد . سونداز $S_{۳۳}$ از $AB/۲ = ۴۰$ متر یک افت نشان می دهد که بدلیل فاصله نزدیکی که با سونداز $S_{۳۳}$ دارد واطلاعات پیزومتر ۵ پس از $P_۵$ بعید بنظر می رسد که ناشی از لایه آبدار باشد.

۹-۴ شهرک چمران

این منطقه در شمال غرب خواجه ربیع و در شمال شرق میدان سپاد واقع می باشد(شکل ۱۸-۴). در این منطقه نیز بمنظور بررسی سطح آب زیرزمینی، سه سونداز الکتریکی $S_{۳۴}, S_{۳۵}, S_{۳۶}$ با گسترش الکترودی شمال شرقی- جنوب غربی برداشت گردید .

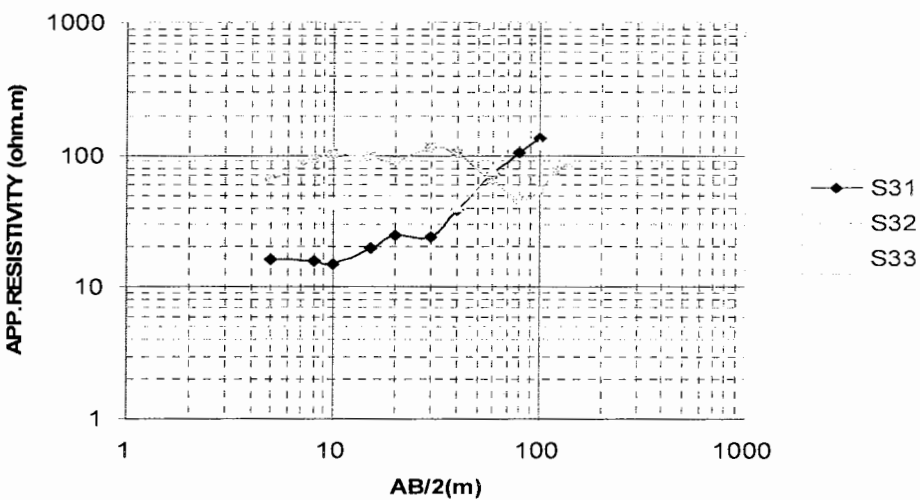
در شکل ۲۱-۴ منحنی تغییرات مقاومت ویژه این سوندازها مشاهده می شود. نزدیکترین پیزومتر به این منطقه پیزومتر $P_۷$ می باشد که سطح آب زیرزمینی در آن در عمق ۲۳,۵ متری واقع است. همانگونه که در شکل ۲۱-۴ نیز می توان دید هر سه منحنی از مقدار مقاومت ویژه های مختلف شروع شده و در فاصله $AB/۲ = ۲۰$ متر تا ۳۰ متر به یکدیگر می پیونددند و پس از آن دوباره از یکدیگر جدا می شوند . این موقعیت را می توان به لایه آبدار نسبت داد. در منحنی سونداز $S_{۳۴}$ لایه آبدار بهتر مشخص می شود زیرا کم شدن شبیه منحنی مقاومت ویژه پس از $AB/۲ = ۲۰$ متر و افزایش دوباره آن پس از $AB/۲ = ۳۰$ متر می تواند بدلیل لایه آب زیرزمینی باشد .

۱۰-۴ شهرک حجت

این منطقه در غرب میدان سپاد قرار گرفته است. نزدیکترین پیزومتر به این منطقه پیزومتر $P_{۱۲}$ می باشد که سطح آب زیرزمینی در آن در عمق ۶۴ متری قرار دارد.

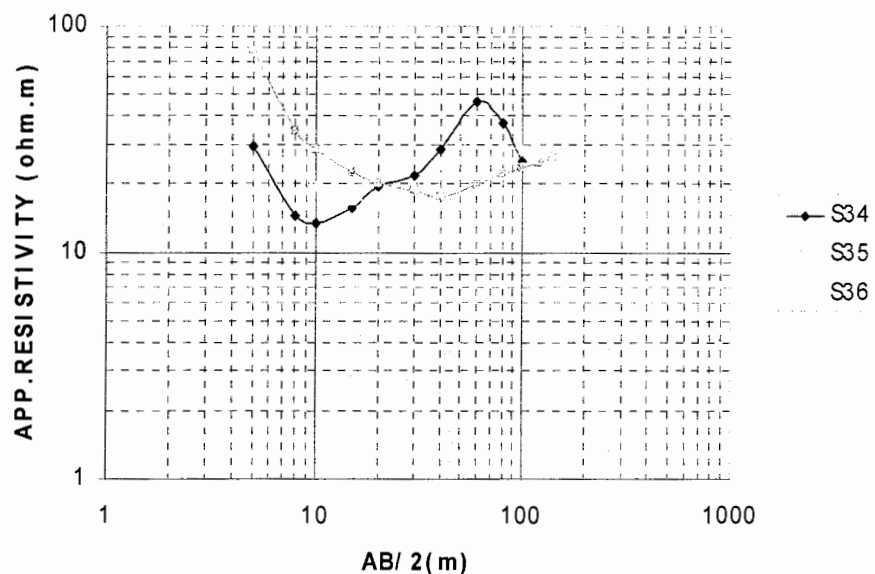
بمنظور بررسی سطح آب زیرزمینی در این منطقه تعداد ۵ سونداز الکتریکی ($S_{۴۱}$ تا $S_{۴۷}$) با گسترش الکترودی شمال شرقی - جنوب غربی انجام گرفت(شکل ۱۸-۴).

FADAK SOUNDINGS

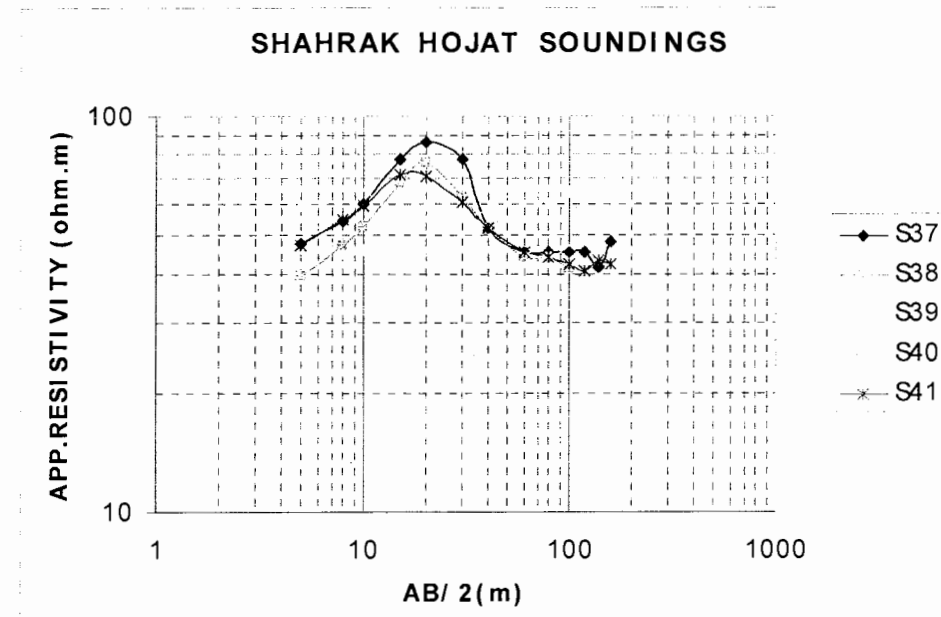


شکل ۴-۲۰- منحنی تغییرات مقاومت ویژه ظاهری سوندازهای S۳۱ تا S۳۳.

SHAHRAK CHAMRAN SOUNDINGS



شکل ۴-۲۱- منحنی تغییرات مقاومت ویژه ظاهری سوندازهای S۳۴ تا S۳۶.



شکل ۲۲-۴- منحنی تغییرات مقاومت ویژه ظاهری سوندازهای S_{۳۷} تا S_{۴۱}.

در شکل ۲۲-۴ منحنی سوندازهای مربوط به این منطقه مشاهده می شود. تمامی سوندازها بجز S_{۴۰} روند تقریباً مشابهی را دنبال می کنند. همه منحنی ها بجز S_{۳۹} پس از ۶۰ AB/۲ متر یکنواخت شده و به یکدیگر می پیوندند. این وضعیت را می توان به علت برخورد به لایه آبدار ذکر کرد.

۱۱-۴ بلوار دانشجو

با توجه به وجود فضای کافی در حاشیه جنوبی بلوار دانشجو تعداد ۲ سونداز الکتریکی S_{۴۲}, S_{۴۳} با گسترش الکترودی شرقی- غربی در این محدوده از شهر انجام گرفت. شکل ۲۳-۴ موقعیت محل برداشت داده ها نشان داده شده است. نزدیکترین پیزومتر به این محل پیزومتر P_{۱۶} می باشد که در فاصله حدود ۲ کیلومتری شمال شرق محل سوندازها قرار دارد. سطح آب زیر زمینی در این پیزومتر در عمق ۱۰۶ متری می باشد. در شکل ۲۴-۴ منحنی مقاومت ویژه ظاهری سوندازها مشاهده می شود. از روی شکل ۲۴-۴ می توان نتیجه گرفت که مقاومت ویژه ظاهری زمین های این محدوده با سایر نقاط قبلی کاملاً تفاوت داشته و بسیار بالاتر است. البته با توجه به نزدیکی این منطقه به ارتفاعات جنوب غربی مشهد بایستی انتظار چنین وضعیتی را داشت.

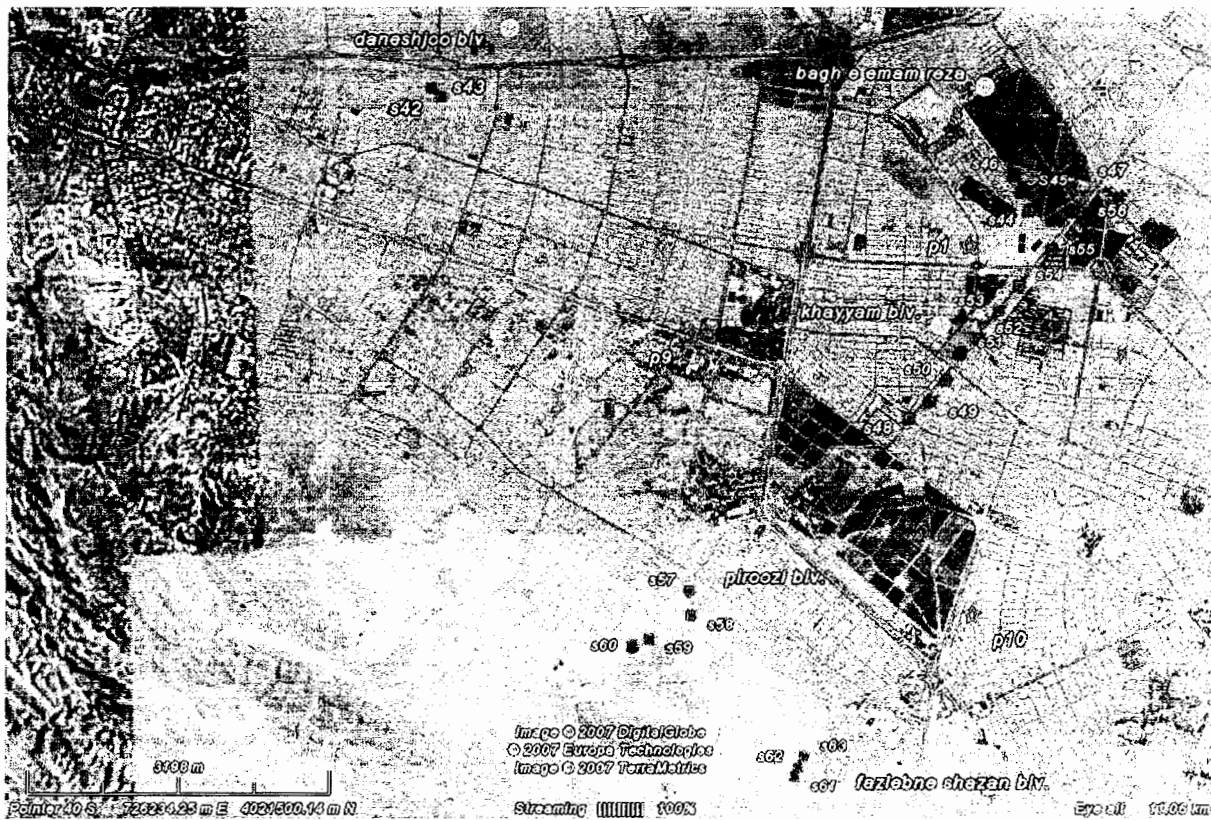
همانگونه که در شکل ۴-۲۴ می توان دید منحنی سونداز S_{42} از $AB/2 = 100$ متر به بعد افت قابل ملاحظه ای نشان می دهد که می توان بدلیل برخورد به سطح آب زیرزمینی باشد. سونداز S_{42} نیز یک افت از $AB/2 = 60$ متر نشان می دهد که ممکن است بدلیل برخورد به سطح آب زیرزمینی باشد.

۱۲-۴ باغ امام رضا

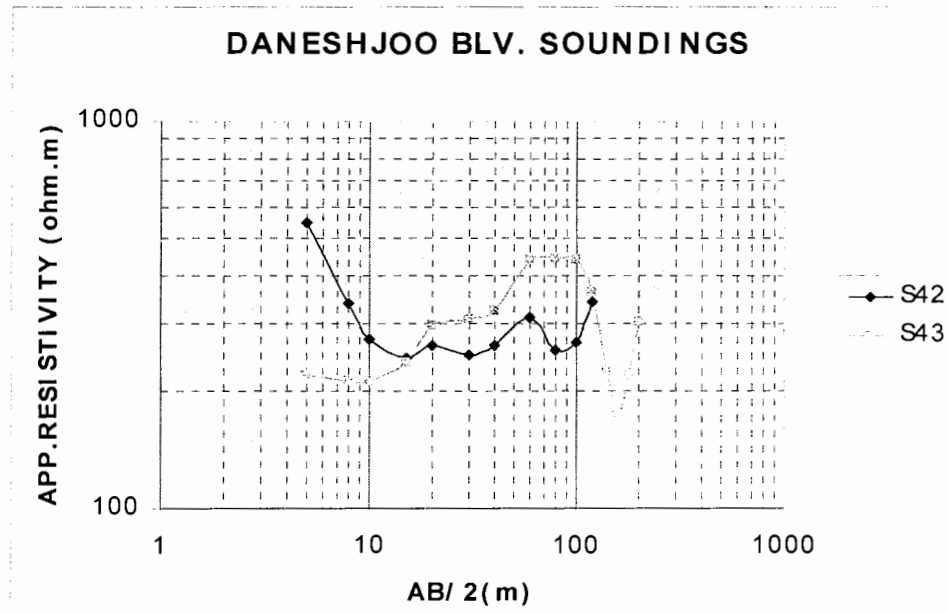
در حاشیه باغ امام رضا تعداد چهار سونداز الکترویکی $S_{47}, S_{46}, S_{45}, S_{44}$ با گسترش الکتروودی شمال غربی - جنوب شرقی انجام گرفت(شکل ۴-۲۳). نزدیکترین پیزومتر به این محدوده پیزومتر P_1 می باشد که سطح آب زیرزمینی در آن در عمق حدود ۴۹ متری قرار دارد. منحنی سوندازهای مربوط به این منطقه در شکل ۴-۲۵ نمایش داده شده است. همانگونه که در شکل مربوطه می توان دید، تمامی سوندازها بجز سونداز S_{47} شکل تقریباً مشابهی دارند. مقدار مقاومت ویژه در نقطه شروع منحنی سونداز S_{47} حدود ۱۶۰ اهم متر می باشد که پس از $AB/2 = 10$ متر به سرعت افت کرده و تا ۲۴ اهم متر نیز کاهش می یابد و پس از آن دوباره افزایش می یابد. با توجه به دوری S_{47} از سوندازهای دیگر این اختلاف را می توان بعلت آلودگی آب زیرزمینی در محل این سونداز عنوان کرد. سوندازهای S_{46}, S_{44} پس از $AB/2 = 60$ متر نزول می کنند که می توان دلیل آنرا سطح آب زیرزمینی ذکر کرد. سونداز S_{45} نیز این کاهش را پس از $AB/2 = 80$ متر نشان می دهد.

۱۳-۴ بلوار خیام

در حاشیه بلوار خیام به منظور بررسی وضعیت سطح آب زیرزمینی ، تعداد نه سونداز الکترویکی $S_{48}(S_{45} \text{ تا } S_{48})$ با گسترش الکتروودی شمال شرقی - جنوب غربی برداشت گردید(شکل ۴-۲۳). نزدیکترین پیزومتر به این محدوده همان پیزومتر شماره یک می باشد که سطح آب در آن در عمق ۴۹ متری قرار دارد . در شکل ۴-۲۶ منحنی تغییرات مقاومت ویژه سوندازهای این محدوده ($S_{48} \text{ تا } S_{45}$) مشاهده می شود. همانگونه که در این شکل دیده می شود، بجز سوندازهای S_{48} (اولین سونداز واقع در حاشیه جنوبی بلوار) و S_{45} (آخرین سونداز واقع در جنب باغ امام رضا) بقیه سوندازها تا حدودی با هم مشابهت دارند.



شکل ۴-۲۳-۴- موقعیت محل برداشت سوندائرها در مناطق بلوار دانشجو ، باغ امام رضا، بلوار خیام ، بلوار پیروزی و بلوار فضل ابن شاذان.



شکل ۴-۲۴- منحنی تغییرات مقاومت ویژه ظاهری سوندائزهای S۴۲ و S۴۳.

همه سونداژها بجز این دو سونداژ ذکر شده، پس از $AB/2 = 60$ متر شروع به افت می کنند که دلیل آن را می توان به علت برخورد به سطح آب زیرزمینی دانست. در سونداژ S_{48} این افت از $AB/2 = 80$ متر و در سونداژ S_{45} از $AB/2 = 30$ متر آغاز می شود. دلیل پایین بودن مقادیر مقاومت ویژه در سونداژ S_{45} وبالاتر بودن نسبی سطح آب در مقایسه با سایر سونداژها را می توان به علت آلودگی آب زیرزمینی در این محل دانست.

۱۴-۴ بلوار پیروزی

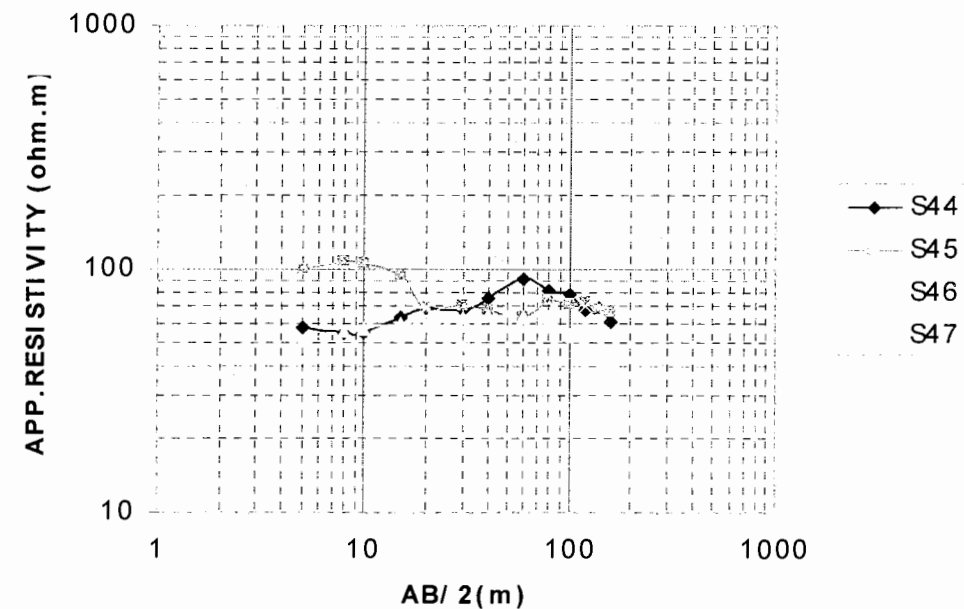
در حاشیه جنوبی بلوار پیروزی تعداد چهار عدد سونداژ الکتریکی (S_{57} تا S_{54}) با گسترش الکترودی شمال شرقی-جنوب غربی برداشت گردید(شکل ۲۳-۴). در شکل ۲۷-۴ منحنی مربوط به سونداژهای این محدوده از S_{57} تا S_{54} نشان داده شده است. منحنی سونداژهای S_{59}, S_{58} با یکدیگر و S_{57}, S_{56} نیز با یکدیگر تشابه بیشتری نشان می دهند. البته S_{56} پس از $AB/2 = 40$ متر مشابه منحنی سونداژهای S_{59}, S_{58} رفتار کرده است. دلیل تفاوت زیاد منحنی ها با یکدیگر در این منطقه را می توان به علت نزدیکی به ارتفاعات جنوبی مشهد ذکر کرد، که این نزدیکی به ارتفاعات، قطعاً در ساختار لایه های زمین های اطراف نیز نوعی بهم ریختگی ایجاد کرده است.

نزدیکترین پیزومتر به این منطقه P_1 می باشد که سطح آب زیرزمینی در آن در عمق حدود ۵۲ متری قرار دارد. در سونداژ های S_{59} و S_{57} پس از $AB/2 = 60$ متر افت در منحنی مشاهده می شود که دلیل آنرا می توان به لایه آبدار نسبت داد. در سایر منحنی ها نمی توان لایه آبدار را شناسایی کرد.

۱۵-۴ بلوار فضل ابن شاذان

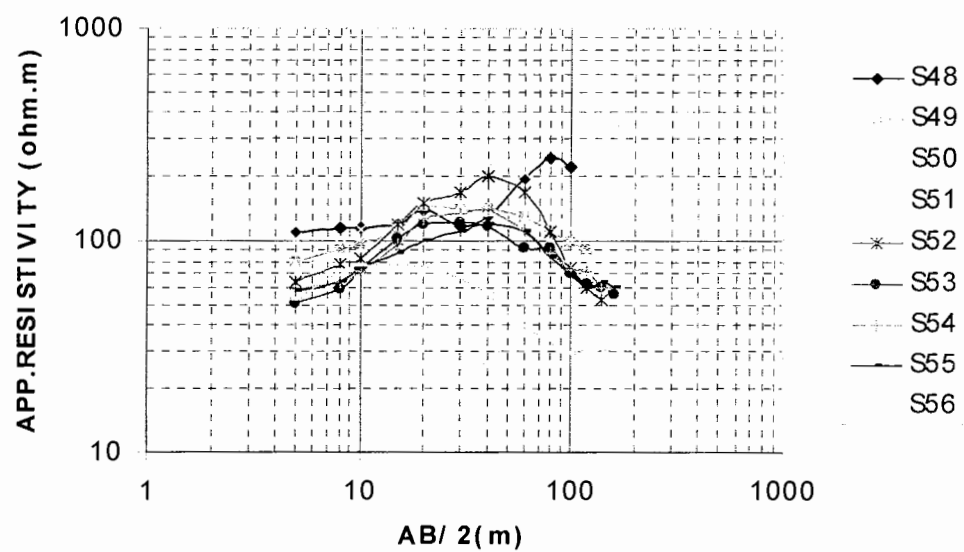
آخرین منطقه ای که داده ها در آن برداشت گردید، حاشیه بلوار فضل ابن شاذان است که در ۳ کیلومتری جنوب باغ ملک آباد واقع می باشد(شکل ۲۳-۴). در این منطقه سه سونداژ S_{63}, S_{62}, S_{61} با گسترش الکترودی شمالی-جنوبی برداشت شدند. نزدیکترین پیزومتر به این منطقه P_1 می باشد، که سطح آب زیرزمینی در آن در عمق ۵۲ متری قرار دارد.

BAGH EMAM REZA SOUNDINGS



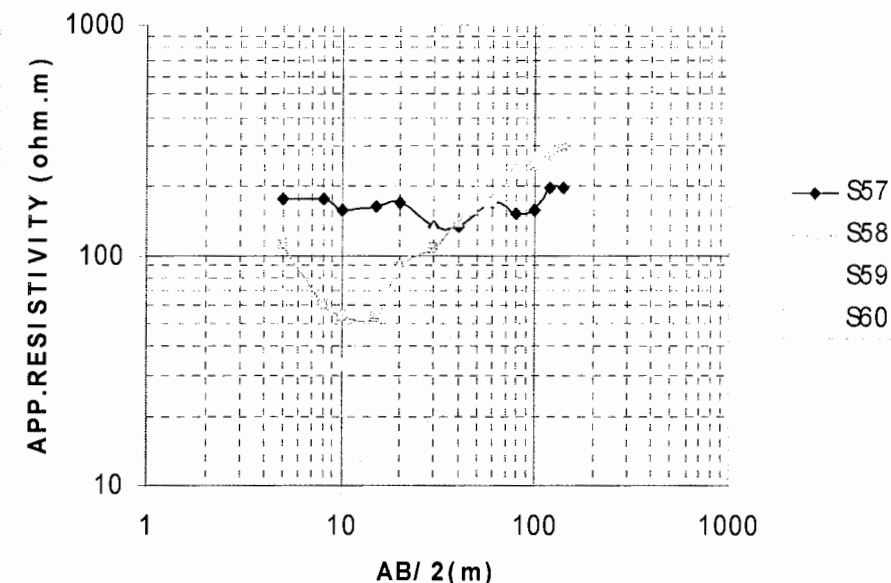
شکل ۴-۲۵- منحنی تغییرات مقاومت ویژه ظاهری سوندazهای S_{۴۷} تا S_{۴۴}

KHAYYAM BLV. SOUNDINGS



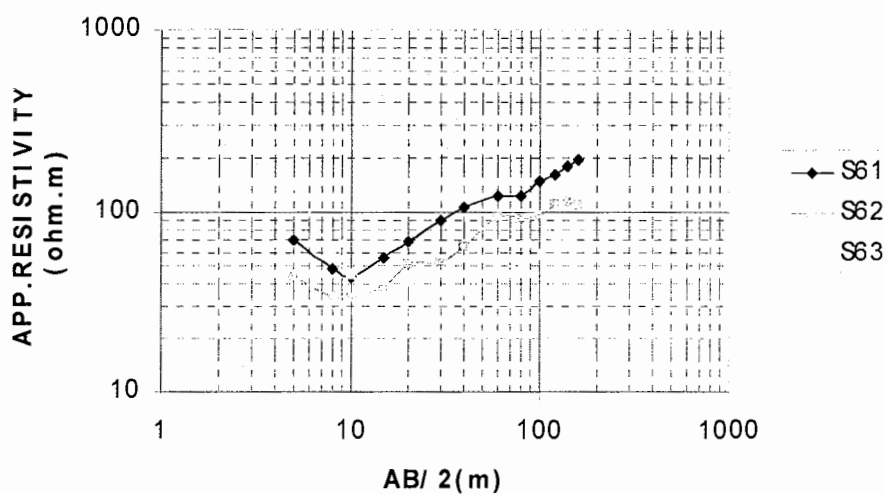
شکل ۴-۲۶- منحنی تغییرات مقاومت ویژه ظاهری سوندazهای S_{۵۶} تا S_{۴۸}

PIROOZI BLV. SOUNDINGS



شکل ۴-۲۷- منحنی تغییرات مقاومت ویژه ظاهری سondazهای S₅₇ تا S₆₀.

FAZL BLV. SOUNDINGS



شکل ۴-۲۸- منحنی تغییرات مقاومت ویژه ظاهری سondazهای S₆₁ تا S₆₃.

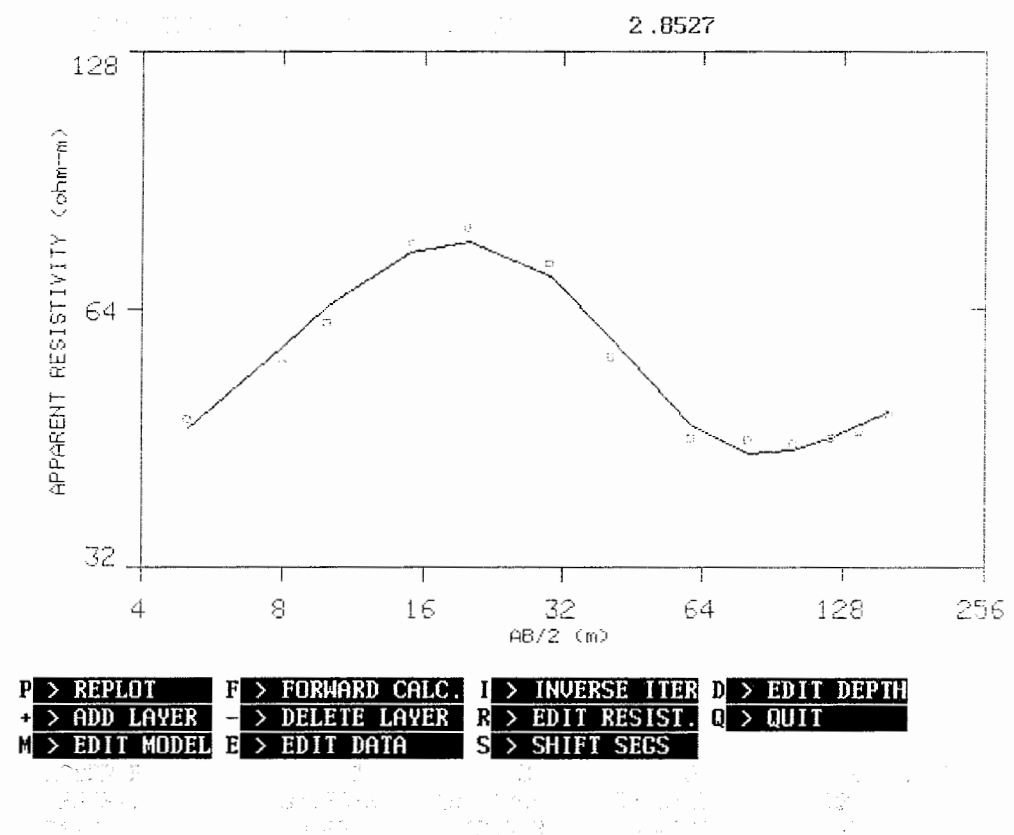
منحنی سونداژهای مربوط به این منطقه در شکل ۲۸-۴ نمایش داده شده است. تمامی منحنی ها بدون در نظر گرفتن جابجایی که نسبت به یکدیگر دارند، روند مشابهی را دنبال می کنند. یکنواختی مقدار مقاومت ویژه پس از $AB/2 = 60$ متر را می توان بدلیل سطح آب زیرزمینی ذکر کرد که در هر سه منحنی مشاهده می شود.

فصل پنجم : مدل سازی و تفسیر کمی داده ها

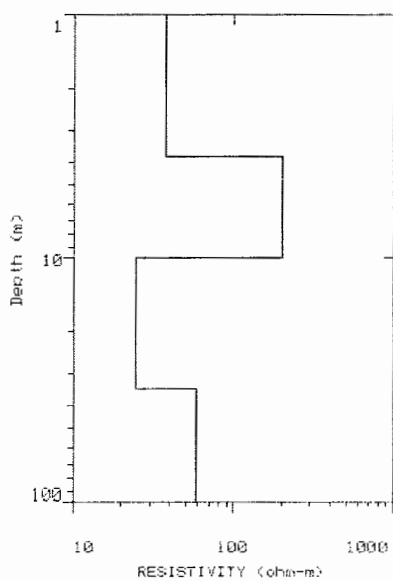
۱-۵ نتایج مدل سازی معکوس یک بعدی داده ها

در این بخش مدلهای بدست آمده از معکوس سازی یک بعدی داده های مقاومت ویژه که بوسیله نرم افزار RESIX تحلیل شده اند ، برای تعدادی از سونداژها ارائه می شود . توضیحات مربوط به مدل سازی و نرم افزارهای RES2DINV و RESIX بطور مختصر در پیوست (د) و مدلهای یک بعدی برای تمامی سونداژها در پیوست ج ارائه شده است . شکل ۱-۵ نمونه ای از این مدلها را برای سونداژ S₃₇ نشان می دهد . در این شکل محور عمودی نمودار، مقادیر مقاومت ویژه برحسب اهم متر و محور افقی ، مقادیر 2/AB را بر حسب متر نشان می دهد . در این شکل مربعات کوچک داده های اندازه گیری شده و منحنی ترسیم شده، پاسخ مدل می باشد . میزان خطای تطبیق این دو منحنی با یکدیگر در قسمت ERROR در بالای نمودار نشان داده شده است . هر چه منحنی داده های اندازه گیری شده و منحنی پاسخ مدل بدست آمده با یکدیگر تطبیق بیشتری داشته باشند ، مقدار خطای مدلسازی نیز کمتر خواهد بود .

در شکل ۲-۵ مدل زمین مربوط به محل سونداژ نشان داده شده است . مقدار خطای مدل سازی برای این سونداژ ۲,۸۵ درصد می باشد که نشان می دهد مدلسازی بادقت بسیار خوبی صورت گرفته است . در جدول ۱-۵ مشخصات پارامترهای مدل و جنس لایه های زمین در محل این سونداژ مشاهده می شود .



شکل ۱-۵ - نمونه ای از مدلسازی سوندایها با نرم افزار RESIX (سوندای S37).



شکل ۲-۵ - نمایش مدل زمین در محل سوندای S37 به کمک نرم افزار RESIX.

جدول ۱-۵ - مقادیر پارامترهای مدل بدست آمده و جنس لایه ها در محل سونداز S37.

| جنس لایه | $AB/2(m)$ | $\rho (ohm . m)$ | سونداز S ₃₇ |
|-----------------|-----------|------------------|------------------------|
| رس و ماسه | 3.8 | 37.3 | لایه اول |
| ماسه درشت و شن | 10 | 199.1 | لایه دوم |
| ماسه مرطوب | 34.5 | 24.2 | لایه سوم |
| شن و ماسه آبدار | | 58.7 | لایه چهارم |

۱-۱-۵ استفاده از نتایج مدلسازی معکوس یک بعدی سوندازها در اکتشاف گسل شمال

مشهد

همانگونه که در فصل قبل مشاهده گردید، نتایج بدست آمده از تفسیر کیفی سوندازهای مناطق خواجه ربيع و گلشهر، تغییرات ناگهانی مقاومت ویژه در نزدیکی برخی از سوندازها را نشان می داد. این امر در منطقه خواجه ربيع مابین سوندازهای S₁₁,S₁₂ و همچنین S₁₆,S_{6N} و در منطقه گلشهر مابین سوندازهای S₁₉,S₂₀ اتفاق افتاده است.

نتایج حاصل از مدلسازی یک بعدی سوندازهای S₁₁,S₁₂ ، S₁₆ ، S_{6N} بترتیب در جداول ۲-۵ تا ۵-۵ ارائه شده است. جنس لایه ها در تمامی سوندازها از روی مقادیر مقاومت ویژه ها تخمین زده شده است.

جدول ۲-۵ - مقادیر پارامترهای مدل بدست آمده و جنس لایه ها در نقطه سونداز S₁₁.

| جنس لایه | $AB/2(m)$ | $\rho (ohm . m)$ | سونداز S ₁₁ |
|----------------------|-----------|------------------|------------------------|
| ماسه | 3 | 131.8 | لایه اول |
| سیلت و رس | 13.8 | 18.7 | لایه دوم |
| رس - سنگ مارنی مرطوب | 67.4 | 121.2 | لایه سوم |
| سنگ کف مارنی | | 1260.3 | لایه چهارم |

جدول ۵-۳ - مقادیر پارامترهای مدل بدست آمده و جنس لایه ها در نقطه سونداز S_{12}

| جنس لایه | $AB/2(m)$ | $\rho (ohm \cdot m)$ | سونداز S_{12} |
|-----------------|-----------|----------------------|-----------------|
| ماسه | 4.1 | 62.2 | لایه اول |
| سنگ مارنی | 27.2 | 1083 | لایه دوم |
| سنگ مارنی مرطوب | 73.5 | 123.9 | لایه سوم |
| سنگ کف مارنی | | 983.4 | لایه چهارم |

جدول ۴-۵ - مقادیر پارامترهای مدل بدست آمده و جنس لایه ها در نقطه سونداز S_{16}

| جنس لایه | $AB/2(m)$ | $\rho (ohm \cdot m)$ | سونداز S_{16} |
|-------------------|-----------|----------------------|-----------------|
| رس و ما سه | 1.3 | 33.6 | لایه اول |
| سنگ مارنی آهک دار | 28.1 | 2063.5 | لایه دوم |
| سنگ مارنی مرطوب | 89.7 | 170.7 | لایه سوم |
| سنگ کف مارنی | | 1409.1 | لایه چهارم |

جدول ۵-۵ - مقادیر پارامترهای مدل بدست آمده و جنس لایه ها در نقطه سونداز S_{6N}

| جنس لایه | $AB/2(m)$ | $\rho (ohm \cdot m)$ | سونداز S_{6N} |
|-----------------|-----------|----------------------|-----------------|
| ما سه درشت | 1.8 | 162.9 | لایه اول |
| سیلت و رس | 5.7 | 7.7 | لایه دوم |
| سنگ مارنی | 34.8 | 539.7 | لایه سوم |
| سنگ مارنی مرطوب | | 144.8 | لایه چهارم |

مقادیر پارامترهای مدل در این سوندازها نشان دهنده تغییرات شدید مقاومت ویژه زمین در محل سوندازهای باشد . بعبارت دیگر می توان گفت گسل خوردگی در محل اتفاق افتاده، بگونه ای که این گسل سبب شده سنگ کف در محل سوندازهای مذکور از سایر نقاط اطراف بالاتر قرار گیرد ناحیه مابین سوندازهای S_{12}, S_6 را می توان به عنوان ضخامت گسل مذبور در نظر گرفت که سنگ کف مارنی با مقاومت ویژه بالا در آنجا در عمق کم از سطح قرار گرفته است . نتایج بدست آمده از گمانه ۲۵ متری موجود در منطقه خواجه ربیع که توسط شرکت گمانه کاو در راستای مطالعات ریزپهنه بندی حفاری شده بود، با نتایج بدست آمده از سوندازها تطبیق خوبی نشان می دهد . این

گمانه از عمق حدود ۱,۵ متری به سنگ مارنی برخورد کرده بود و این سنگ تا بعد از سطح آب زیرزمینی (۲۳ متری) نیز ادامه داشت . نتایج مدلسازی سونداز های S_9, S_{10}, S_8 نشان می دهد که سنگ کف در این سوندازها در عمق بیشتری قرار گرفته است بعارت دیگر بالا آمدگی سنگ مارنی تا محل سونداز S_6 مشاهده می شود واز آن نقطه بسمت غرب مجدداً عمق سنگ کف زیاد می شود . با توجه به اختلاف شدید نتایج سونداز S_{11} با سایر سوندازها می توان گفت باقیتی مرز اصلی گسل نیز مابین این سونداز و سونداز S_{12} قرارداشته باشد . این مرز با امتداد بالا و پایین افتادگی زمین در خواجه ربیع هماهنگی دارد .

در جداول ۶-۷ نتایج مدلسازی معکوس یک بعدی سوندازهای S_{19}, S_{20} در گلشهر نشان داده شده است .

جدول ۵-۶- مقادیر پارامترهای مدل بدست آمده و جنس لایه ها در نقطه سونداز S_{19}

| جنس لایه | $AB/2(m)$ | $\rho (ohm \cdot m)$ | سونداز S_{19} |
|------------------|-----------|----------------------|-----------------|
| رس و ما سه | 3.4 | 47.8 | لایه اول |
| رس | 15.9 | 19.2 | لایه دوم |
| شن و ما سه آبدار | 53 | 93.3 | لایه سوم |
| رس | | 14 | لایه چهارم |

جدول ۵-۷- مقادیر پارامترهای مدل بدست آمده و جنس لایه ها در نقطه سونداز S_{20}

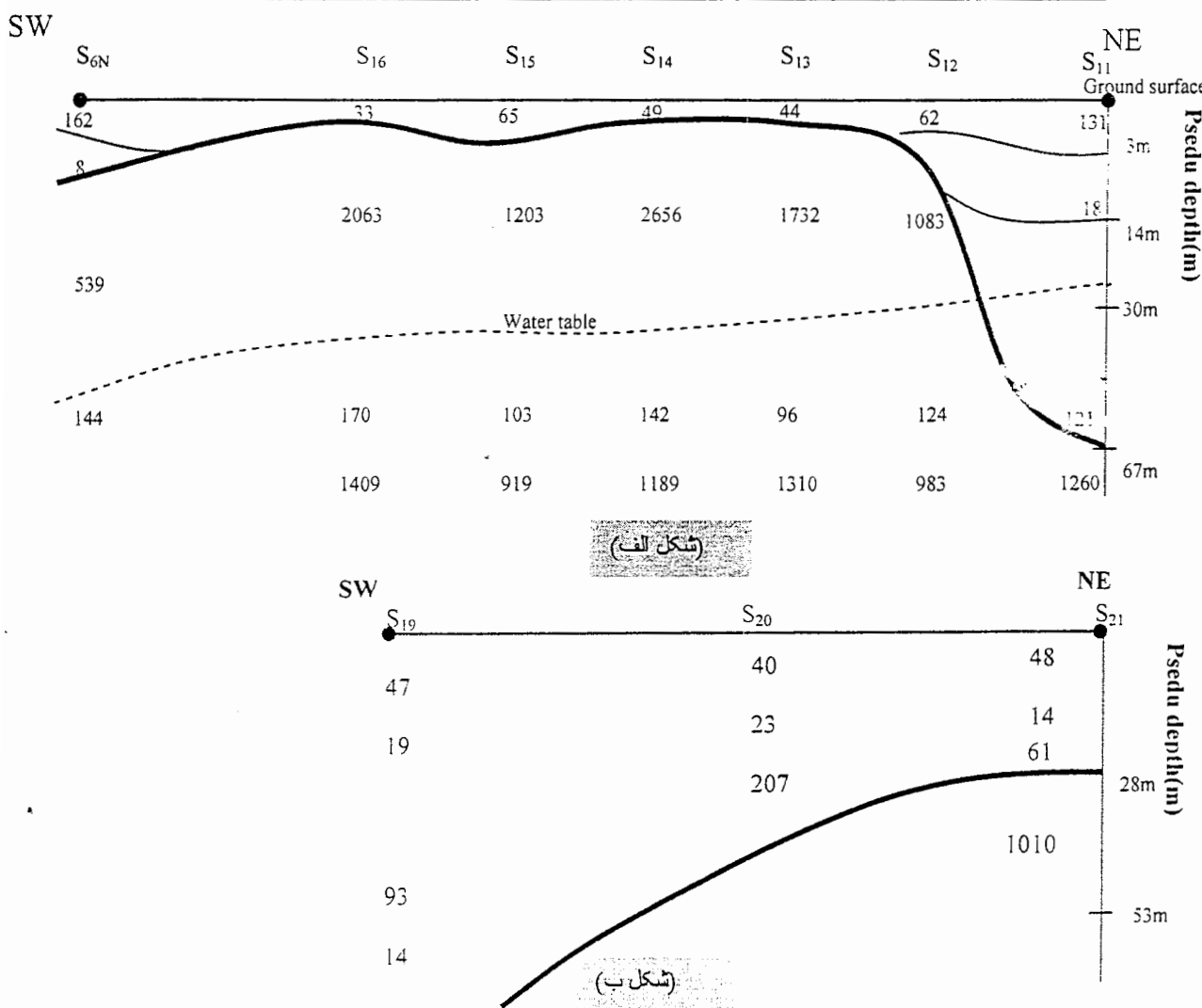
| جنس لایه | $AB/2(m)$ | $\rho (ohm \cdot m)$ | سونداز S_{20} |
|------------|-----------|----------------------|-----------------|
| رس و ما سه | 2.9 | 40.3 | لایه اول |
| رس | 17.2 | 23.9 | لایه دوم |
| شن | | 207.8 | لایه سوم |

مدل سونداز S_{19} یک زمین چهار لایه ای که لایه چهارم آن یک لایه کم مقاومت می باشد را نشان می دهد در حالی که سونداز S_{20} یک زمین سه لایه ای با لایه زیرین مقاوم تر نشان می دهد . با توجه به مدل سونداز S_{21} تفاوت و تغییرات مقاومت ویژه در محیط آشکارتر می شود . جدول ۸-۵ مقادیر پارامترهای مدل سونداز S_{21} را نشان می دهد . سونداز S_{21} نشان می دهد که محل زمین مورد

در هیچ یک از سوندazerها دیده نمی شود. بنابراین می توان گفت که بایستی سنگ کف در محل سوندazerهای S_{20}, S_{21} بالاتر آمده باشد. شکل ۳-۵ تصویری از شبه مقطع گسل در مناطق خواجه ریبع و گلشهر را نشان می دهد.

جدول ۸-۵ - مقادیر پارامترهای مدل بدست آمده و جنس لایه ها در نقطه سوندazer S_{21} .

| جنس لایه | $AB/2(m)$ | $\rho (ohm.m)$ | سوندazer S_{21} |
|-----------------|-----------|----------------|-------------------|
| رس و ماشه | 2.4 | 48.8 | لایه اول |
| رس | 17.3 | 14.2 | لایه دوم |
| شن و ماشه آبدار | 28.3 | 61.5 | لایه سوم |
| سنگ کف مارنی | | 1010.9 | لایه چهارم |



شکل ۳-۵- تصویری از شبه مقطع ترسیمی گسل در مناطق خواجه ریبع(الف) و گلشهر(ب) که بمنظور تجسم بهتر ترسیم شده است (مرز سنگ کف مارنی با خط مشکی ضخیم مشخص شده است).

۲-۱-۵ استفاده از نتایج مدلسازی یک بعدی سوندازهابمنظور تعیین سطح

آب زیرزمینی در شهر مشهد

همانگونه که قبلاً نیز اشاره گردید در شهر مشهد و حومه اطراف آن تعداد ۱۷ پیزومتر بمنظور بررسی تغییرات سطح آب زیرزمینی در سالهای مختلف در نظر گرفته شده است.

برای تعیین سطح آب زیرزمینی در سطح شهر از آنجا که اطلاعات این تعداد پیزومتر کافی می باشد، از اطلاعات یکسری سوندازهای الکتریکی استفاده گردیده است. این سوندازها در مناطقی که امکان اندازه گیری در آنجا وجود داشته، برداشت شده اند. نتایج مدلسازی یک بعدی سوندازها در پیوست ج ارائه شده است.

با کمک اطلاعات سطح آب زیرزمینی در پیزومتر های نزدیک محل سوندازها و نتایج مدلسازی یک بعدی، سطح آب زیرزمینی در تعدادی از سوندازها که با پیزومترهای اطراف همخوانی داشته اند، تعیین گردیده که نتایج آن در جدول ۵-۹ نشان داده شده است.

با استفاده از اطلاعات جداول ۵-۹ و ۱-۲ و بوسیله نرم افزار SURFER می توان نقشه های هم عمق و هم سطح آب زیرزمینی در سطح شهر را تهیه نمود.

در شکل ۴-۵ نقشه هم ارتفاع تراز آب زیرزمینی در دشت مشهد بین طولهای جغرافیایی ۷۲۲۰۰۰ تا ۷۴۳۰۰۰ و عرضهای جغرافیایی ۴۰۱۷۰۰۰ تا ۴۰۳۳۰۰۰ نشان داده شده است.

نقاط محل برداشت سوندازها و همچنین پیزومترها که از اطلاعات آنها در تهیه نقشه استفاده شده با نقاط سفیدرنگ مشخص شده اند. همانگونه که در این شکل نیز مشاهده می شود، ارتفاع سطح آب زیرزمینی از جنوب غرب به سمت شمال شرق کاهش می یابد.

جدول ۹-۵ - موقعیت، عمق و سطح آب زیرزمینی در هر نقطه از سوندازها .

| شماره سونداز | طول جغرافیایی | عرض جغرافیایی | عمق سطح آب (متر) | ارتفاع سطح آب از سطح دریا(متر) |
|-----------------|---------------|---------------|------------------|--------------------------------|
| S ₁ | 737107 | 4024129 | -17 | 938 |
| S ₂ | 737371 | 4024047 | -18 | 937 |
| S ₈ | 736045 | 4024144 | -13 | 958 |
| S ₉ | 736528 | 4023956 | -14 | 947 |
| S ₁₂ | 737236 | 4023798 | -27 | 928 |
| S ₁₄ | 737148 | 4023755 | -32 | 924 |
| S ₁₅ | 737082 | 4023741 | -25 | 933 |
| S ₁₆ | 737033 | 4023713 | -28 | 931 |
| S ₁₇ | 739495 | 4020689 | -40 | 901 |
| S ₁₈ | 739675 | 4020802 | -31 | 907 |
| S ₂₄ | 740651 | 4018739 | -65 | 885 |
| S ₂₆ | 732917 | 4025277 | -33 | 968 |
| S ₂₇ | 733002 | 4026116 | -36 | 964 |
| S ₂₈ | 733027 | 4026624 | -46 | 952 |
| S ₃₂ | 732720 | 4027743 | -27 | 975 |
| S ₃₃ | 732640 | 4027580 | -27 | 976 |
| S ₄₃ | 724366 | 4024944 | -72 | 1002 |
| S ₄₄ | 730653 | 4023575 | -61 | 963 |
| S ₄₆ | 730487 | 4023954 | -61 | 963 |
| S ₄₉ | 729594 | 4021571 | -39 | 1005 |
| S ₅₀ | 729766 | 4021788 | -24 | 1016 |
| S ₅₁ | 729929 | 4022073 | -25 | 1010 |
| S ₅₂ | 730116 | 4022222 | -22 | 1009 |
| S ₅₃ | 730336 | 4022514 | -33 | 991 |
| S ₅₄ | 730537 | 4022784 | -25 | 994 |
| S ₅₅ | 730879 | 4023153 | -37 | 978 |
| S ₅₉ | 726610 | 4019114 | -55 | 1047 |
| S ₆₃ | 728231 | 4017854 | -54 | 1047 |

در شکل ۵-۵ نقشه سه بعدی سطح تراز آب زیرزمینی ارائه شده است . در این شکل مناطقی که بارنگ آبی مشخص شده اند (بلوار پیروزی و مناطق غرب و جنوب غربی مشهد) بیشترین ارتفاع سطح آب زیرزمینی را در آن مناطق داریم . از طرف دیگر مناطقی که برنگ سبز مشاهده می شوند (مناطق خواجه ربیع ، گلشهر و مناطق شرقی مشهد) در آن مناطق سطح آب زیرزمینی در پایین ترین ارتفاع قرار دارد . از آنجا که توپوگرافی در تمامی نقاط شهر مشهد یکسان نیست و نواحی غرب و جنوب غربی شهر در ارتفاع بالاتری نسبت به سایر نقاط قرار دارند ، بمنظور بدست آوردن دید از وضعیت تغییرات عمقی سطح آب زیرزمینی نقشه هم عمق سطح آب زیرزمینی با نرم افزار SURFER تهیه شده که در شکل ۶-۵ نمایش داده شده است . مزیت استفاده از این نقشه در اینست

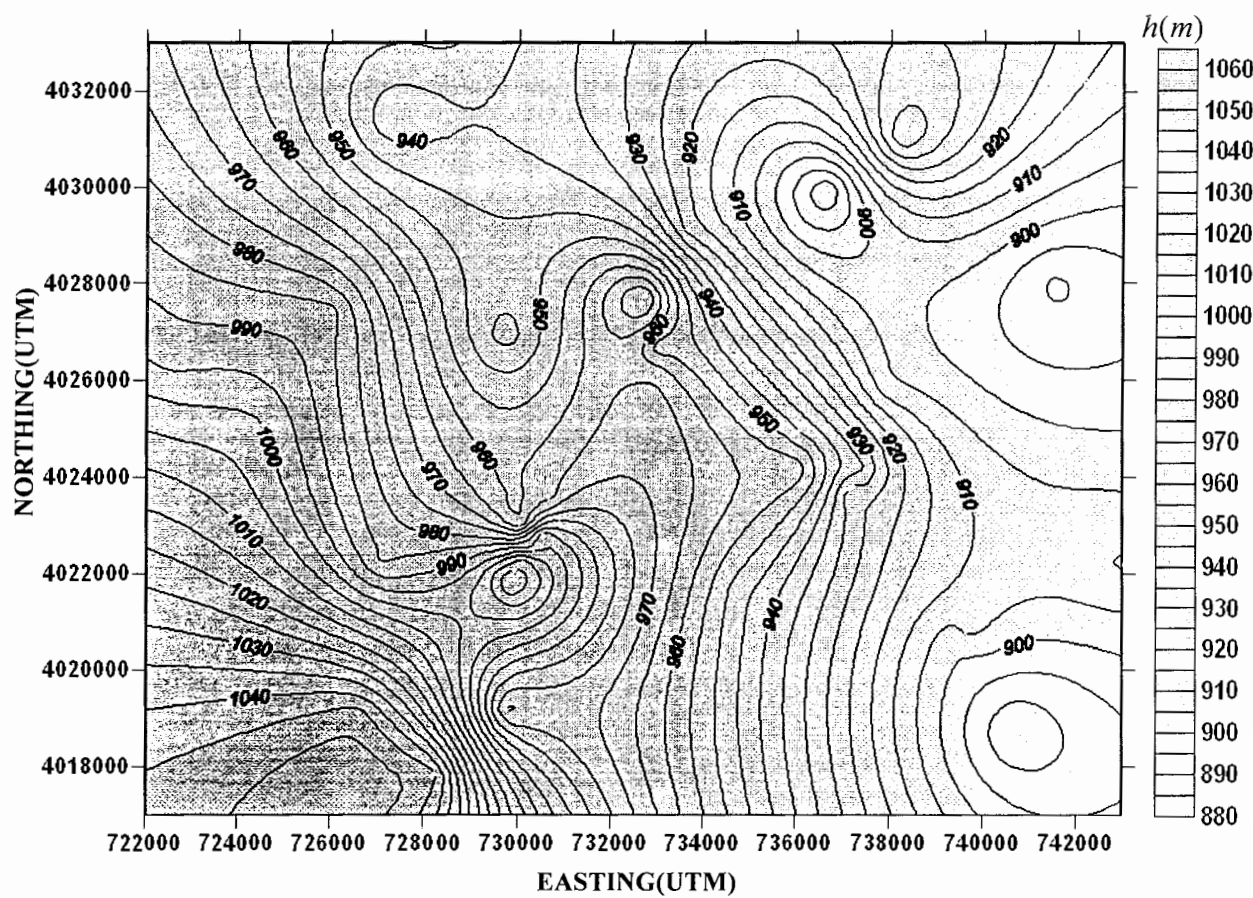
که با استفاده از آن می توان فهمید که در هر نقطه از محدوده مورد مطالعه صرف نظر از ارتفاعی که دارد، سطح آب زیرزمینی حدودا در چه عمقی قرار دارد. در نقشه نقاط قرمز رنگ نشان دهنده محل سونداژها و پیزومترها می باشد که از اطلاعات سطح آب زیرزمینی در آن نقاط برای تهیه این نقشه استفاده شده است.

مناطقی که بارنگ نارنجی مشخص شده اند، مربوط به مناطقی می باشند که در آنجا آب زیرزمینی در عمق پایین تری از سطح زمین قرار دارد که عموما نواحی غربی و تا حدودی نواحی جنوبی از شهر را در بر می گیرد.

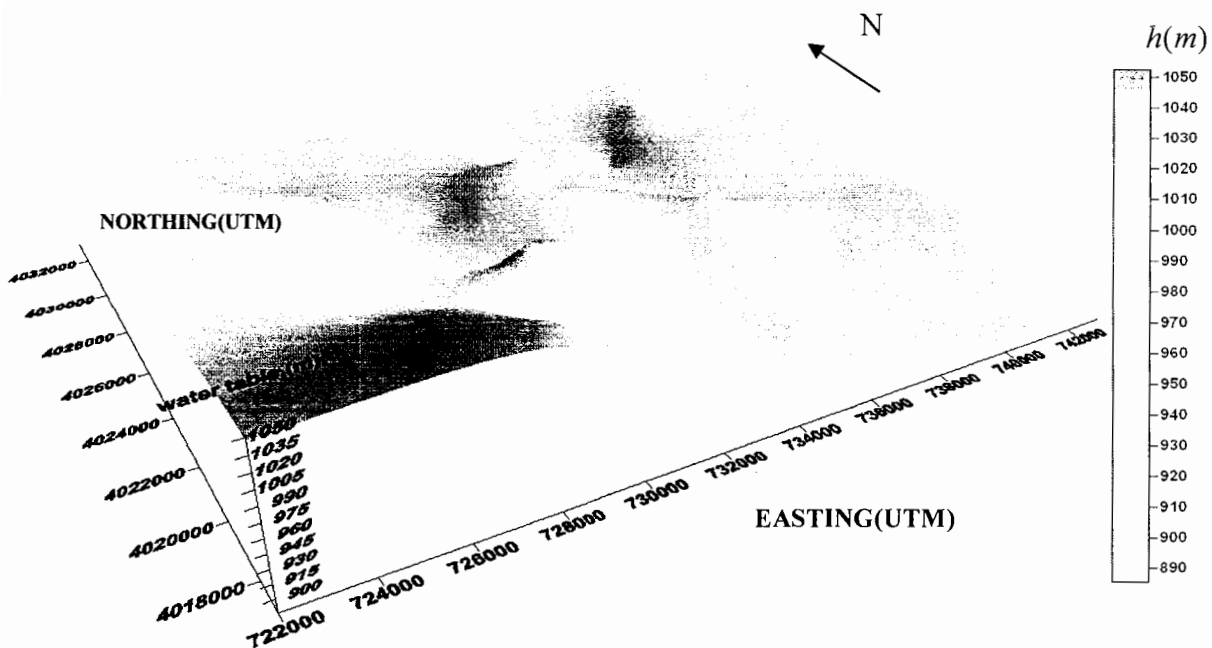
مناطقی که با رنگ سبز مشخص شده اند ، شامل نواحی مرکزی واصلی شهر مشهد ، مناطقی هستند که در آنجا سطح آب زیرزمینی بالا بوده و در عمق کمتری از سطح زمین نسبت به سایر نقاط قرار دارد. دلیل این امر می تواند به علت بالا بودن سطح فاضلاب در شهر مشهد باشد. بطور کلی با نزدیک شدن از سمت غرب و جنوب به مناطق مرکزی شهر (مرکز نقشه) شاهد کاهش عمق سطح آب زیرزمینی می باشیم. در مناطق شمال شرقی در مناطق واقع در حومه شهر در شمال خواجه ریبع ، سطح آب زیرزمینی در دو نقطه پایین می باشد که اطلاعات سطح آب در این دو نقطه از پیزومترهای P₃,P₅ بدست آمده است. با پیش روی بسمت شمال مجددا سطح آب زیرزمینی تا ۳۲ متری در زیرسطح زمین بالا می آید . نقطه ای که در آن سطح آب زیرزمینی در کمترین عمق قرار دارد مربوط به نقطه واقع در طول جغرافیایی ۷۴۳۰۰۰ و عرض جغرافیایی ۴۰۲۲۰۰۰ می باشد که موقعیت پیزومتر P₃ در منطقه التیمور را شامل می شود . سطح آب زیرزمینی در این نقطه در عمق حدود ۱۲ متری از سطح زمین قرار دارد .

نقطه ای که در آن سطح آب زیرزمینی در بیشترین عمق قرار دارد مربوط به نقطه واقع در محل پیزومتر p₁₆ می باشد . سطح آب زیرزمینی در این نقطه در عمق حدود ۱۰۶ متری از سطح زمین قرار دارد . علت پایین بودن سطح آب زیرزمینی در این نقطه بر خلاف p₃ می تواند بدليل ارتفاع بالای این منطقه می باشد .

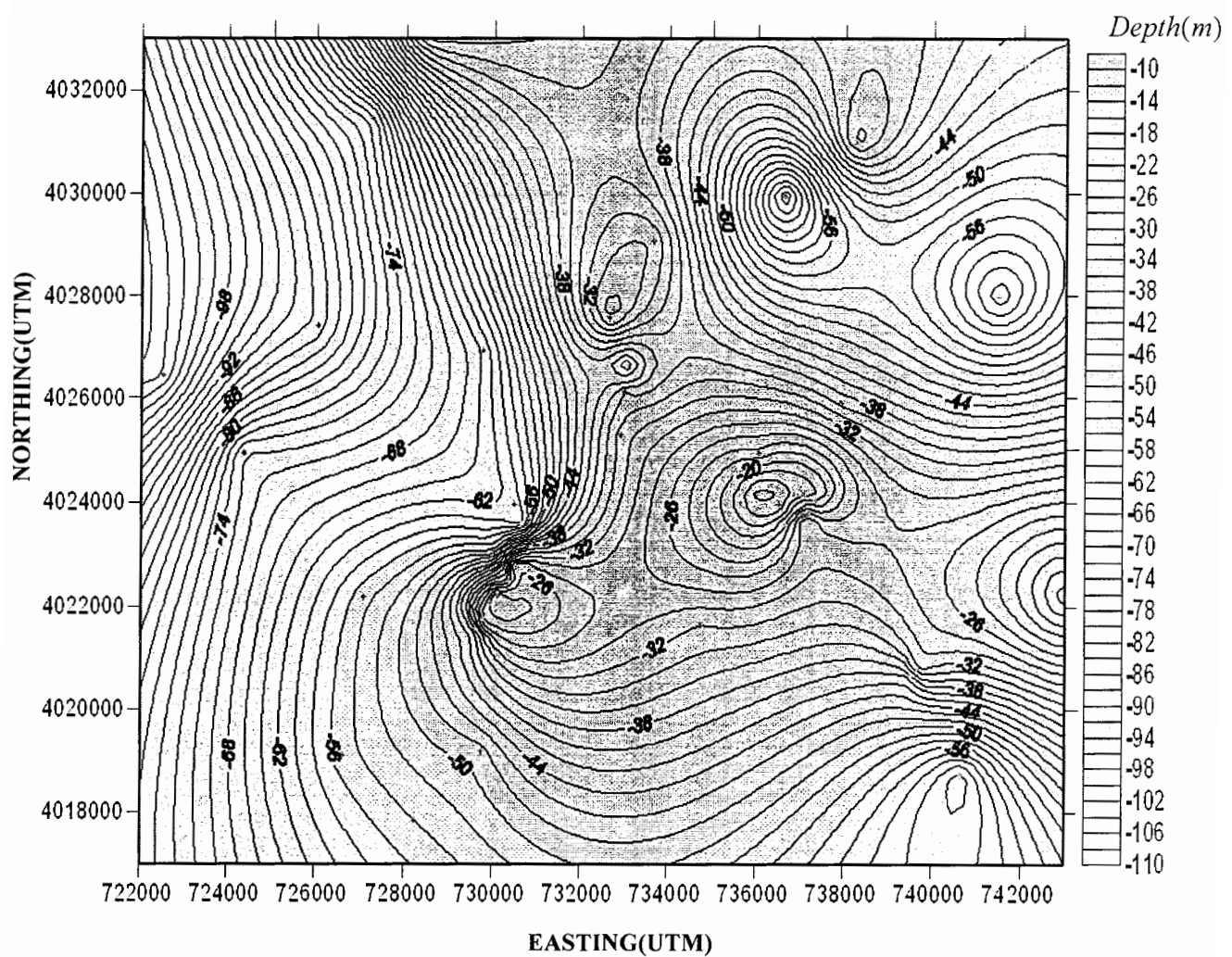
به عبارت دیگر وضعیت توپوگرافی شهر مشهد و حومه اطراف آن بگونه ای است که باعث هدایت آب فاضلاب و ... به سمت شرق (نواحی اطراف پیزومتر P₃) شده است.



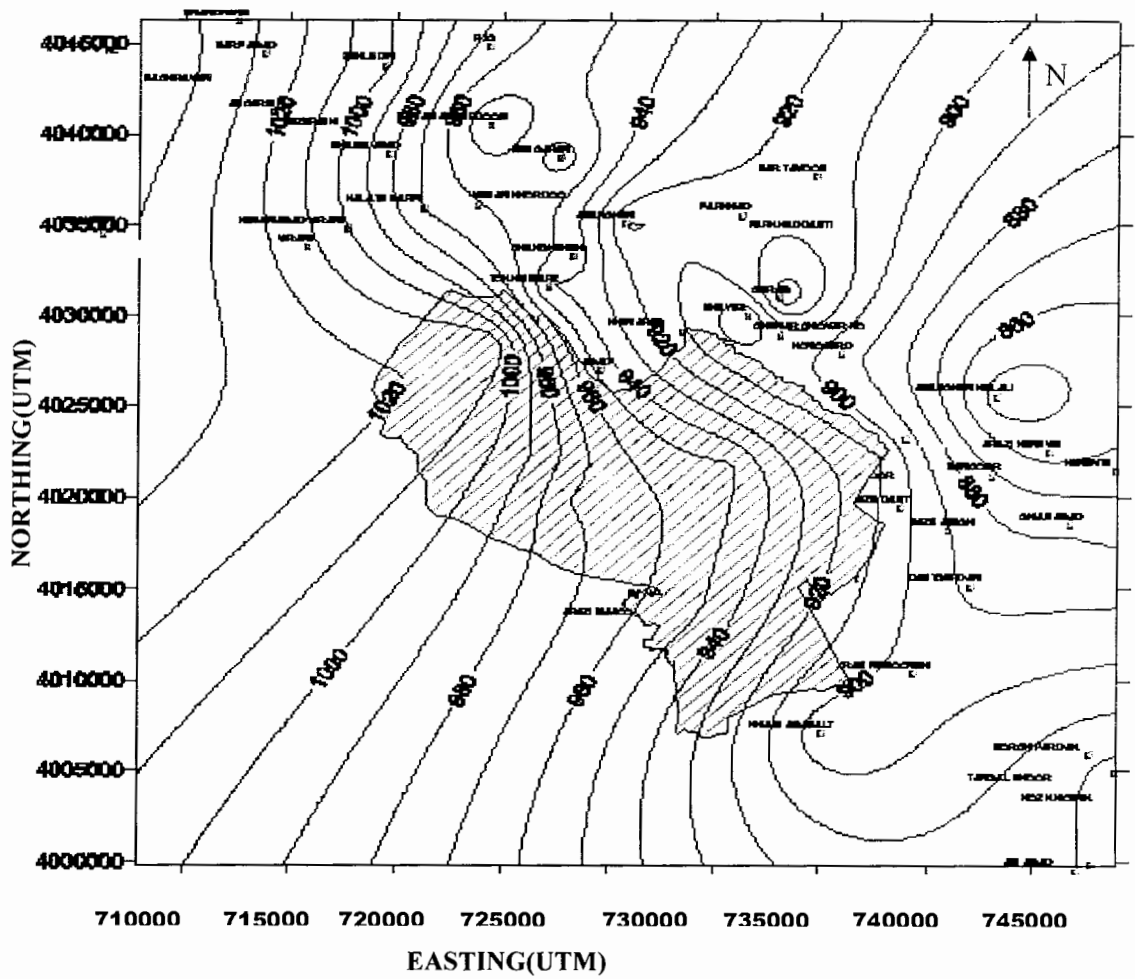
شکل ۴-۵- نقشه هم ارتفاع تراز آب زیر زمینی در سطح شهر مشهد . نقاط سفید رنگ نشاندهنده محل سوندazerها و پیزومترها می باشد.



شکل ۵-۵- نقشه سه بعدی تراز آب زیرزمینی در شهر مشهد .



شکل ۶-۵- نقشه هم عمق سطح آب زیرزمینی در شهر مشهد . نقاط قرمز نشان دهنده محل سوندasherها و پیزومترها می باشد.



شکل ۵-۷- تغییرات ناگهانی در تراز آب زیرزمینی در شمال شهر مشهد [۱].

در شکل ۵-۷ نقشه تراز آب زیرزمینی با توجه به اطلاعات همه پیزومترهای موجود در دشت مشهد، در یک محدوده وسیع تر و بصورت کلی تر نشان داده شده است . در این شکل نیز می توان مشاهده کرد که منحنی ها با نزدیک شدن به شمال شهر، در نواحی اطراف گسل مورد مطالعه، از روند اصلی خود خارج شده و دچار انحراف شده اند . بعبارت دیگر عبور گسل از آن مناطق باعث تاثیر بر سطح آب زیرزمینی و میزان آبدی چاههای اطراف شده است .

۲-۵ مدل سازی معکوس دو بعدی داده ها

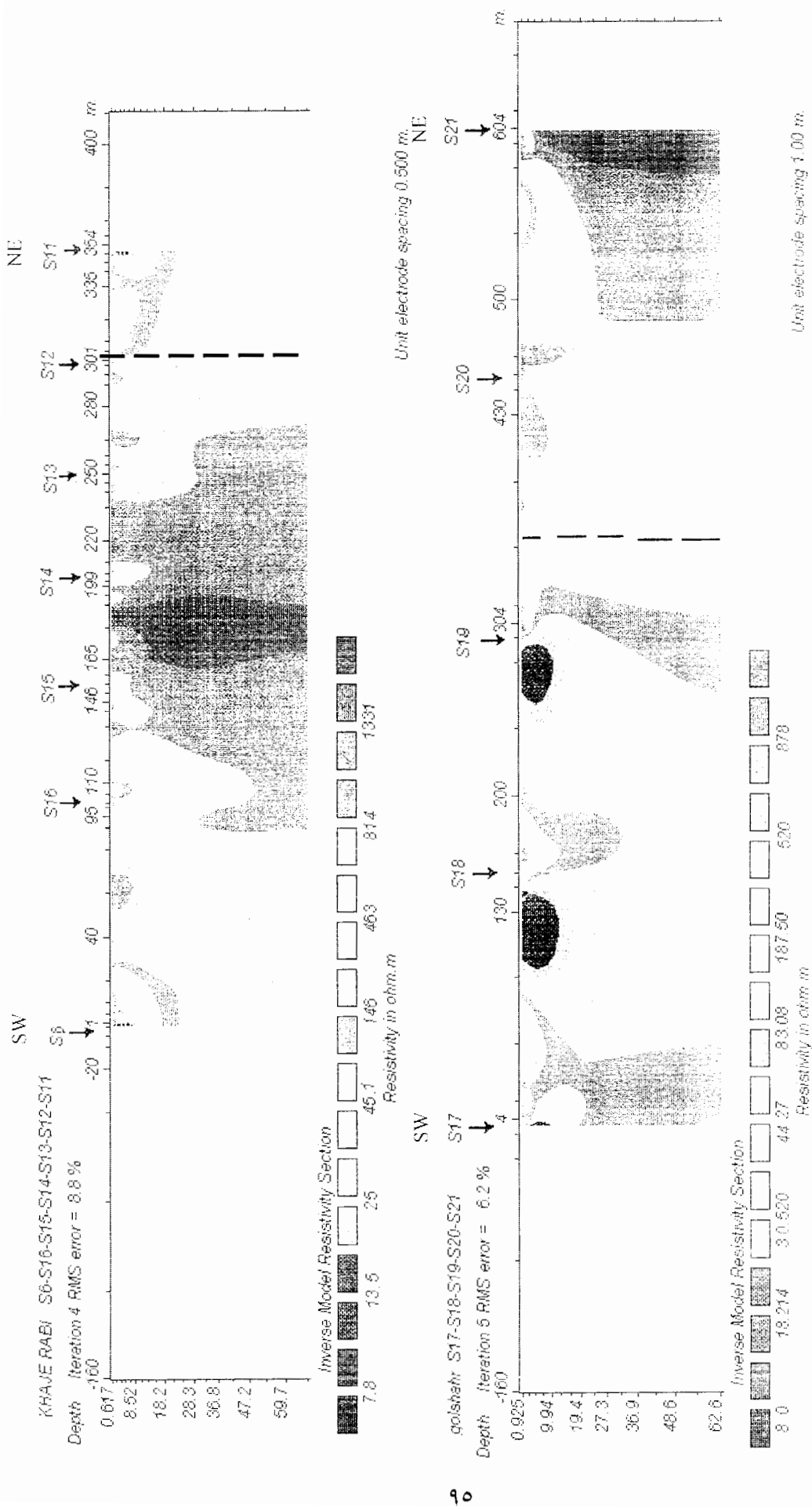
در این بخش مدل سازی معکوس دو بعدی مربوط به داده های سوندازهای $S_{6N}, S_{16}, S_{15}, S_{14}, S_{13}, S_{12}, S_{11}$ (خواجه ربع) و $S_{17}, S_{18}, S_{19}, S_{20}, S_{21}$ (گلشهر) که در راستای یک پروفیل قرار گرفته اند را مطالعه می کنیم. بعبارت دیگر با قرار دادن سوندازهای مربوط به هر منطقه در کنار یکدیگر و معکوس سازی آنها، مدلسازی صورت گرفته و مدل دو بعدی زمین واقع در زیر محل سوندازها تهیه می شود.

در تصویر بالای شکل ۸-۵ نتایج حاصل از مدلسازی معکوس دو بعدی سوندازهای S_{16} تا S_{11} و S_{6N} ارائه شده است. امتداد مقطع تقریباً جنوب غربی - شمال شرقی و سونداز S_{6N} در گوش سمت چپ و سونداز S_{11} در گوش سمت راست مقطع و بقیه سوندازها در بین این دو سونداز قرار گرفته اند. در مدل مربوطه می توان تغییرات شدید مقاومت ویژه از کم به زیاد را از دو طرف مقطع و همچنین یک ناحیه با مقاومت ویژه نسبتاً بالا (مناطق نارنجی رنگ) مشاهده نمود این محدوده از مابین سوندازهای S_{6}, S_{16} در سمت چپ شروع شده و تا زیر محل سونداز S_{12} در سمت راست ادامه دارد. جنس این ناحیه با توجه به مقدار مقاومت ویژه آن نتایج بدست آمده از گمانه واقع در خواجه ربع (نزدیک محل سوندازها) بایستی سنگ مارنی باشد. با نزدیک شدن به وسط مقطع به مقدار مقاومت ویژه افزوده می شود بگونه ای که در زیر محل سوندازهای S_{14}, S_{15} به بیشترین مقدار یعنی حدود ۱۰۰۰ اهم متر می رسد.

با توجه به بالا آمدگی سنگ کف در محل ، محدوده مابین سوندازهای S_{12} و S_{16} می تواند به عنوان ضخامت یک گسل در نظر گرفته شود که با توجه به پایین تر بودن عمق سنگ کف در سونداز S_8 باعث پایین افتادگی زمین در سمت چپ (غرب) سونداز S_{16} نسبت به سمت راست (شرق) آن شده است . بدلیل مشاهده تغییر ناگهانی مقاومت ویژه در محل سونداز S_{12} (تغییر رنگ از نارنجی به سبز) بایستی اطراف این محل به عنوان مرز اصلی گسل باشد.

تصویر پایین شکل ۸-۵، مدل بدست آمده از معکوس سازی سوندازهای S_{17} تا S_{21} در منطقه گلشهر را نشان می دهد . در اینجا نیز همانگونه که از مدل سازی یک بعدی و نتایج بدست آمده از پروفیل زنی انتظار می رفت ، یک ناحیه با مقاومت ویژه بالا دیده می شود که از بین

سوندازهای S_{19}, S_{20} بارنگ زرد آغاز شده و با پیشروی بسمت شرق به مقدار آن افزوده می شود تا اینکه در زیر محل سونداز S_{21} به بیشترین مقدار که بارنگ بنفس مشخص شده می رسد. این ناحیه بنفس رنگ در مدل بایستی مربوط به سنگ کف مارنی باشد که در این قسمت بالا آمده است. ناحیه ای که برنگ سبز کم رنگ در مدل مشاهده می شود عموما جنس رسی - ما سه ای دارد که در زیر سونداز S_{17} کم کم در شت دانه تر شده به ماسه و شن تغییر یافته اند. خطای مدلسازی برابر ۶,۲ درصد می باشد که با توجه به مقایسه نتایج آن با نتایج بدست آمده از پروفیل زنی می توان گفت مدلسازی با دقت خوبی انجام پذیرفته است. مرز بین دو ناحیه کم مقاوم و با مقاومت زیاد در مقاطع با خط تیره مشکی مشخص شده که بایستی همان مرز گسل مربوط به شمال مشهد باشد که از این مناطق عبور کرده است.



شکل ۵-۸- تصویری از مقطع زمین محل سوندazها در مناطق خواجه ریبع (تصویر بالا) و گشته (تصویر پایین) که بوسیله نرم افزار RES2DINV تهیه شده است.

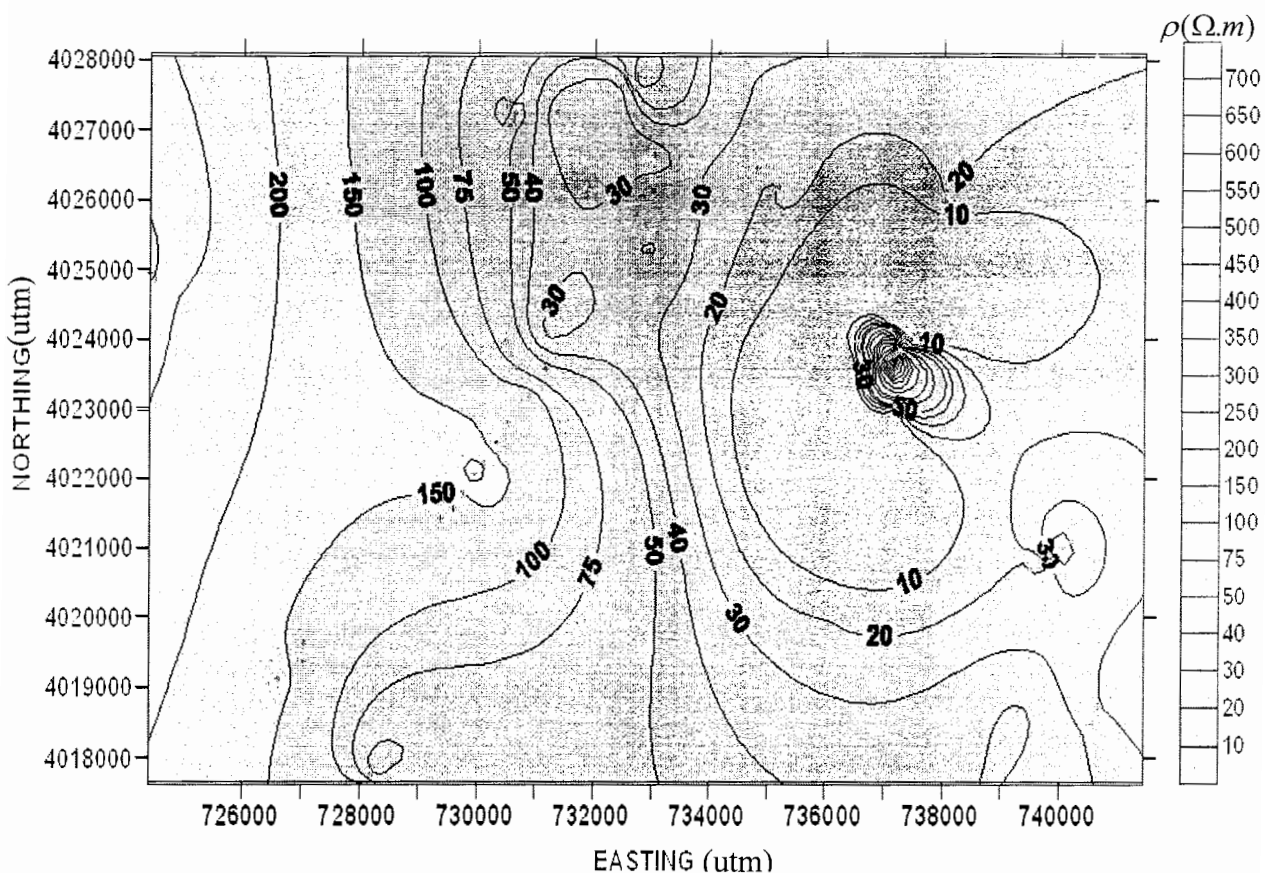
فصل ششم : نتیجه گیری و پیشنهادات

۱-۶ نتیجه گیری

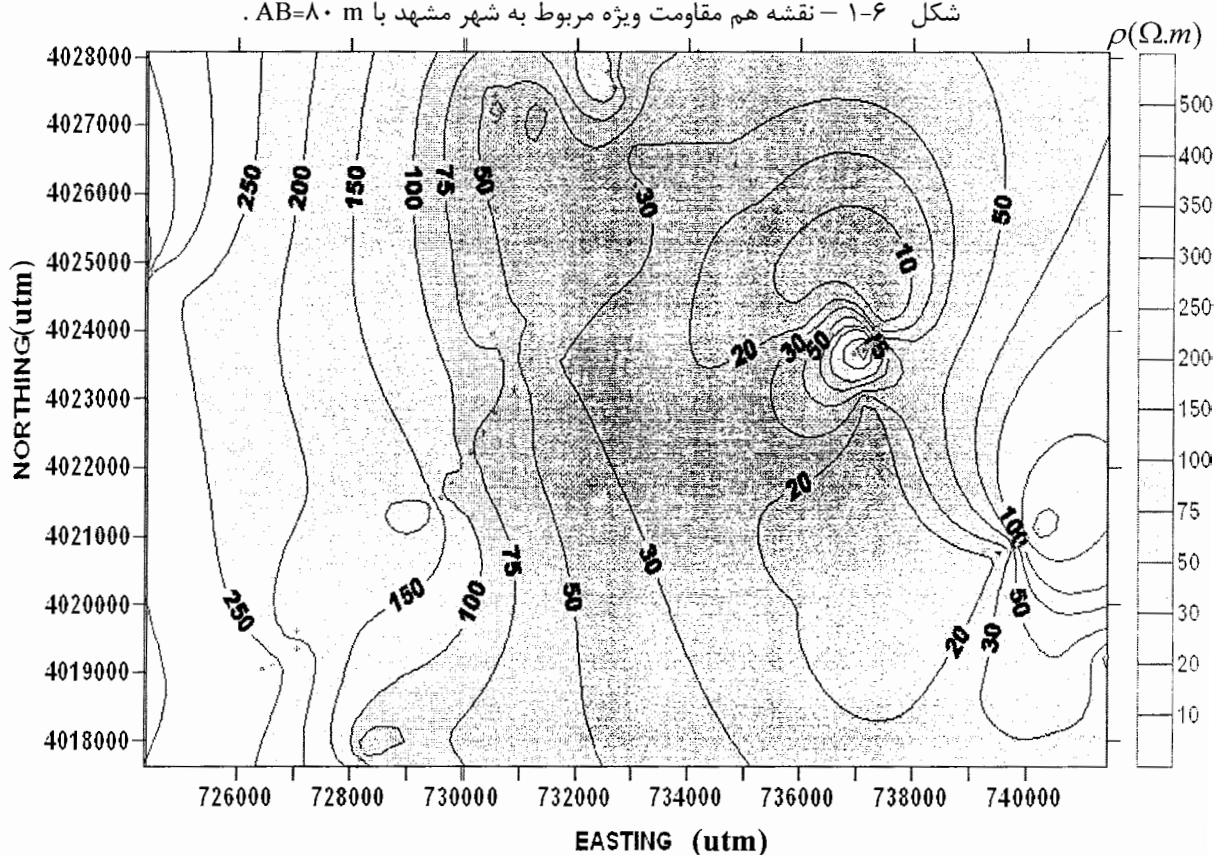
با توجه به مباحث مطرح شده در فصلهای قبلی و نتایج بدست آمده از مدل سازی های یک بعدی و دو بعدی مشاهده تغییر مسیر رودخانه ها در محل بروی عکس های هوایی و ماهواره ای، می توان گفت که عبور گسل از شمال شهرمشهد اثبات شده می باشد . این گسل در مناطق خواجه، ربیع و گلشهر با توجه به کمی ضحامت آبرفت و همچنین بالا آمده گی سنگ کف ، بخوبی خود را نشان داده ولی در سایر مناطق بدليل پایین تر بودن عمق سنگ کف نتوانسته ایم آن راشناسایی کنیم .

در اشکال ۱-۶ تا ۳-۶ بترتیب نقشه های هم مقاومت ویژه مربوط به دشت مشهد با 80m و $AB=200\text{m}$ ، $AB=220\text{m}$ و $AB=240\text{m}$ متر بین طولهای 724366 و 741459 و عرضهای 4017645 و 4028069 ارائه شده است .

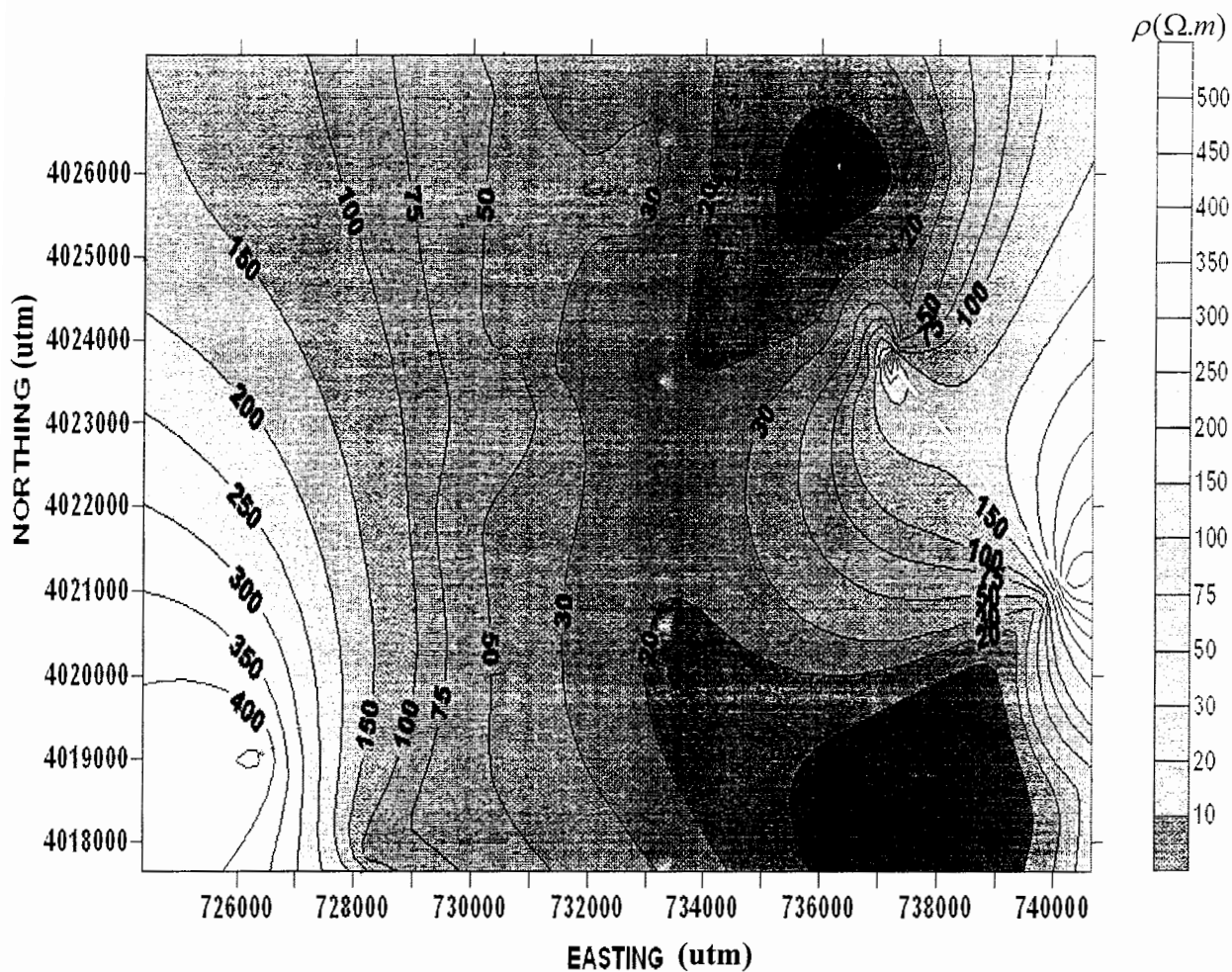
در این اشکال نواحی با مقاومت ویژه پایین برنگ آبی و نواحی بامقاومت ویژه بالا برنگ زرد نمایش داده شده است . نقاط قرمز مشخص کننده محل سوندازها می باشند . در شکل ۱-۶ که مربوط به اندازه گیری با فاصله الکترودهای جریان بطول 80 متر می باشد فقط یک محدوده با مقاومت ویژه بالا مشاهده می شود که مربوط به اطراف خواجه ربیع می باشد . مقاومت ویژه ها در این محدوده تا حدود 700 اهم متر هم افزایش داشته است . در شکل مربوطه کاهش مقاومت ویژه از سمت غرب و جنوب بسمت مرکز نقشه مشاهده می شود . در شکل ۲-۶ نقشه هم مقاومت ویژه مربوط اندازه گیری با فاصله الکترودهای جریان بطول 200 متر ارائه شده است . در این شکل دو منطقه خواجه ربیع و گلشهر بخوبی با مقاومت ویژه بالا نسبت به نواحی اطراف خود با تغییرات ناگهانی مقاومت ویژه و نزدیک شدن خطوط کانتور به یکدیگر نشان داده اند . مقادیر مقاومت ویژه ها در این



شکل ۱-۶ - نقشه هم مقاومت ویژه مربوط به شهر مشهد با $AB=80$ m



شکل ۲-۶ - نقشه هم مقاومت ویژه مربوط به شهر مشهد با $AB=200$ m



شکل ۳-۶- نقشه هم مقاومت ویژه مربوط به دشت مشهد با $AB=320\text{ m}$.

مناطق تا حدود ۲۵۰ اهم متر افزایش یافته است. در این شکل نیز با پیشروی بسمت غرب بر مقدار مقاومت ویژه افزوده می شود.

در شکل مربوط به اندازه گیری با فاصله الکترودهای جریان بطول ۳۲۰ متر (شکل ۳-۶) نواحی خواجه ریبع و گلشهر بوسیله خطوط کانتوربا مقاومت ویژه از ۱۵۰ اهم متر به بالاتر محصور شده اند. این مطلب نشان دهنده بالاتر بودن سنگ کف در این دو منطقه نسبت به سایر مناطق اطراف می باشد. مقادیر مقاومت ویژه ها در این دو منطقه تا حدود ۴۰۰ اهم متر افزایش داشته است.

با توجه به نتایج بدست آمده از محل مشخص شده گسل در مناطق خواجه ریبع و گلشهر، مسیر عبور گسل در شمال شهر را می توان با اتصال این دو نقطه بیکدیگر بدست آورد که نتیجه در اشکال ۳-۶ و ۴-۶ نمایش داده شده است. نتایج نشان می دهد که امتداد گسل مربوطه شمال غربی - جنوب شرقی و شیب آن نزدیک به ۹۰ درجه می باشد.

نقشه هم عمق سطح آب زیرزمینی (شکل ۵-۷) بالا بودن سطح آب در منطقه شهری مشهد را نشان می دهد که می تواند به علت فاضلاب باشد . این نقشه شبیه سطح آب زیرزمینی را بست شرق نشان می دهد که می توان گفت با توجه به توپوگرافی منطقه ، آبهای آلوده شهر نیز به همین سمت پیشروی می کند .



شکل ۴-۶- ترسیم مسیر عبور گسل شمال مشهد در عکس هوایی ۱:۵۰۰۰۰. مناطقی که گسل کاملاً پنهان می باشد (خط تیره قرمز) بوسیله اطلاعات ریوالکتریکی بدست آمده از مناطق خواجه ربع و گلشهر با خط زرد تکمیل شده است .

۶-۲ پیشنهادات

از آنجا که روش ژئوالکتریک بیشترمی تواند گسلهایی را شناسایی نماید که در اطراف آنها تغییرات مقاومت مخصوص بطورناگهانی رخ داده باشد ، لذا بمنظور مطالعات دقیقتر و شناسایی محل دقیق عبور گسل در کل شهر و اطراف آن موارد ذیل پیشنهادمی گردد:

- ۱ - حفاری ترانشه در محل مابین سوندازهای S_6 و S_{11} در خواجه ربیع.
- ۲ - حفر دوگمانه در محل سوندازهای S_{19} و S_{21} در گلشهر با حداقل عمق ۸۰ متر.
- ۳ - انجام عملیات لرزه نگاری انعکاسی در مناطق اطراف پارک رضوی ، گلشهر ، خواجه ربیع و شمال میدان سپاد و در سایر نقاط نزدیک به امتداد تقریبی مشخص شده برای گسل مذکور در عکس هوایی (شکل ۴-۶).
- ۴ - همچنین بمنظور تعیین سطح آب زیرزمینی در سطح شهر بشکل دقیقتر با توجه به کمبود فضا برای گسترش سیمها از آرایش مربعی استفاده شود.
- ۵ - با توجه به بالا بودن سطح آب زیرزمینی در دشت و کم بودن هزینه حفاری، تعداد پیزومترهای موجود در دشت افزایش یابد .

منابع فارسی:

۱. حافظی، ن.، ۱۳۸۶، گزارش مطالعات زمین شناسی مهندسی پروژه ریز پهنه بندی لرزه ای شهر مشهد، سازمان مسکن و شهر سازی خراسان رضوی.
۲. مدنی، ح.، ۱۳۷۲، زمین شناسی ساختمانی و تکتونیک، انتشارات جهاد دانشگاهی.
۳. حافظی مقدس، ن.، ۱۳۷۲، پایان نامه کارشناسی ارشد: پهنه بندی خطر لغزش در مناطق لرزه خیز، دانشگاه تربیت مدرس.
۴. منوچهری، م.، ۱۳۷۵، نقشه زمین شناسی ۱:۱۰۰۰۰۰ مشهد، سازمان زمین شناسی کشور.
۵. کلاغری، ع. ا.، ۱۳۷۱، اصول اکتشافات ژئوفیزیکی، انتشارات تابش تبریز.
۶. مقتدر، س. م.، ۱۳۸۵، سمینار کارشناسی ارشد: کاربرد منحنی های تئوری در اکتشاف دایکها و گسلها بوسیله پروفیل زنی و سوندایزنسی با آرایش‌های لی و ونر، دانشگاه صنعتی شاهروд.
۷. هلاکوئی، ع. ا.، ۱۳۸۵.۱، پایان نامه کارشناسی ارشد: مدلسازی معکوس ژئوالکتریکی دوبعدی برای تعیین هندسه زمین لغزش در کیلومتر $52+200$ بزرگراه قزوین – رشت، دانشگاه صنعتی شاهروд.
۸. پیروز، ا.، ۱۳۸۱، جزو درسی ژئوفیزیک اکتشافی ۲ رشته مهندسی معدن، دانشگاه صنعتی شاهروド.

منابع لاتین:

9. Robert G., Nostrand V., Kenneth L, 1966, **Interpretation of resistivity data**, united states government printing office Washington.
10. Telford W.M., Geldart L.P. and Sheriff R.E., 1998, **Applied geophysics**, second edition, Cambridge university press, new york, P 45-47 and 522- 560.
11. **Resix, users manual**, 1991, interpex limited golden co.
12. Mooney, H.M., 1980, **Handbook of engineering geophysics** , v.2, first edition, Bison instruments, inc. and Minneapolis, Minnesota, P. 1 – 31.
13. Lock, M.H., 2004, **2-D and 3-D electrical imaging surveys**, P. 1-128.
14. Lock, M.H., 2004, **res2dinv ver. 3.54**, Geotomo software, p. 1-130.
15. Keller, G.V. and Frischknecht, F.C., 1970, **Electrical methods in geophysical prospecting**, second edition, Pergamon press, oxford , new york , Toronto, Sidney . braunschweig , P. 1-196.
16. Griffiths, D.H., King, R.F., 1988, **Applied geophysics for engineers and geologists**, pergammon press, new york.
17. Kearey P. Brooks, 1988, **An introduction to geophysical exploration**, Adlard and son Ltd, The garden city press.

پیوست الف - داده های اندازه گیری شده برای سوندazerهابآرایش شلومبرگر .

جدول الف - ۱ - داده های اندازه گیری شده برای سوندazerهای S_1 تا S_{63} در مشهد .

| | S_1 | | | S_2 | | | S_3 | |
|-----------|-----------|----------------------|-----------|-----------|----------------------|-----------|-----------|----------------------|
| $AB/2(m)$ | $MN/2(m)$ | $\rho_{a(\Omega.m)}$ | $AB/2(m)$ | $MN/2(m)$ | $\rho_{a(\Omega.m)}$ | $AB/2(m)$ | $MN/2(m)$ | $\rho_{a(\Omega.m)}$ |
| 5 | 1 | 35.074 | 5 | 1 | 101.265 | 5 | 1 | 85.173 |
| 8 | 1 | 32.656 | 8 | 1 | 110.528 | 8 | 1 | 52.250 |
| 10 | 1 | 31.855 | 10 | 1 | 95.770 | 10 | 1 | 43.960 |
| 15 | 1 | 27.554 | 15 | 1 | 70.650 | 15 | 1 | 30.733 |
| 20 | 1 | 24.492 | 20 | 1 | 50.240 | 20 | 1 | 25.120 |
| 20 | 4 | 26.914 | 30 | 1 | 31.086 | 20 | 4 | 31.400 |
| 30 | 4 | 22.857 | 30 | 4 | 26.847 | 30 | 4 | 26.847 |
| 40 | 4 | 22.836 | 40 | 4 | 21.352 | 40 | 4 | 25.748 |
| 60 | 4 | 32.499 | 50 | 4 | 17.663 | 60 | 4 | 31.086 |
| 60 | 10 | 23.738 | 60 | 4 | 14.130 | 60 | 10 | 24.869 |
| 80 | 10 | 30.144 | 60 | 10 | 16.391 | 80 | 10 | 26.125 |
| 100 | 10 | 39.250 | 80 | 10 | 17.082 | 100 | 10 | 25.120 |
| 120 | 10 | 54.259 | 100 | 10 | 17.270 | 100 | 20 | 26.690 |
| 120 | 20 | 52.577 | 120 | 10 | 22.608 | 120 | 20 | 27.130 |
| 140 | 20 | 76.930 | 120 | 20 | 18.086 | 140 | 20 | 27.695 |
| 160 | 20 | 102.490 | 140 | 20 | 20.002 | 160 | 20 | 32.154 |
| | | | 160 | 20 | 24.115 | | | |
| | | | 180 | 20 | 33.064 | | | |
| | S_4 | | | S_5 | | | S_{6E} | |
| $AB/2(m)$ | $MN/2(m)$ | $\rho_{a(\Omega.m)}$ | $AB/2(m)$ | $MN/2(m)$ | $\rho_{a(\Omega.m)}$ | $AB/2(m)$ | $MN/2(m)$ | $\rho_{a(\Omega.m)}$ |
| 5 | 1 | 23.193 | 5 | 1 | 44.282 | 5 | 1 | 22.217 |
| 8 | 1 | 18.035 | 8 | 1 | 26.125 | 8 | 1 | 17.785 |
| 10 | 1 | 12.314 | 10 | 1 | 18.840 | 10 | 1 | 13.659 |
| 15 | 1 | 11.304 | 15 | 1 | 15.190 | 15 | 1 | 7.418 |
| 20 | 1 | 13.816 | 20 | 1 | 13.816 | 20 | 1 | 7.536 |
| 20 | 4 | 11.214 | 20 | 4 | 10.519 | 20 | 4 | 8.722 |
| 30 | 4 | 28.613 | 30 | 4 | 11.304 | 30 | 4 | 11.039 |
| 40 | 4 | 60.774 | 40 | 4 | 14.444 | 40 | 4 | 17.444 |
| 60 | 4 | 254.340 | 60 | 4 | 45.216 | 60 | 4 | 79.128 |
| 60 | 10 | 235.500 | 60 | 10 | 25.434 | 60 | 10 | 70.650 |
| 80 | 10 | 622.976 | 80 | 10 | 47.848 | 80 | 10 | 279.111 |
| 100 | 10 | 959.444 | 100 | 10 | 104.667 | 100 | 10 | 68.261 |
| 120 | 10 | 122.083 | 120 | 10 | 248.688 | 120 | 10 | 199.482 |
| 120 | 20 | 58.469 | 120 | 20 | 213.646 | 140 | 10 | 553.896 |
| 140 | 20 | 187.709 | 140 | 20 | 647.832 | 140 | 20 | 499.005 |
| 160 | 20 | 574.171 | 160 | 20 | 2009.600 | 160 | 20 | 882.263 |
| 180 | 20 | 1204.768 | 180 | 20 | 249.353 | | | |
| 200 | 20 | 1712.727 | 200 | 20 | 565.200 | | | |
| | | | 220 | 20 | 1063.832 | | | |

| | S_{6N} | | | S_7 | | | S_{8E} | |
|-----------|-----------|----------------------|-----------|-----------|----------------------|-----------|-----------|----------------------|
| $AB/2(m)$ | $MN/2(m)$ | $\rho_{a(\Omega.m)}$ | $AB/2(m)$ | $MN/2(m)$ | $\rho_{a(\Omega.m)}$ | $AB/2(m)$ | $MN/2(m)$ | $\rho_{a(\Omega.m)}$ |
| 5 | 1 | 52.724 | 5 | 1 | 69.080 | 5 | 1 | 90.275 |
| 8 | 1 | 21.278 | 8 | 1 | 54.314 | 8 | 1 | 55.822 |
| 10 | 1 | 15.229 | 10 | 1 | 45.530 | 10 | 1 | 41.932 |
| 15 | 1 | 15.896 | 15 | 1 | 28.613 | 15 | 1 | 23.315 |
| 20 | 1 | 20.096 | 20 | 1 | 23.864 | 20 | 1 | 16.956 |
| 20 | 4 | 18.840 | 20 | 4 | 32.970 | 20 | 4 | 20.318 |
| 30 | 4 | 54.047 | 30 | 4 | 27.554 | 30 | 4 | 14.130 |
| 40 | 4 | 103.620 | 40 | 4 | 27.004 | 40 | 4 | 12.993 |
| 60 | 4 | 170.973 | 60 | 4 | 40.977 | 60 | 4 | 16.956 |
| 60 | 10 | 200.646 | 60 | 10 | 28.260 | 60 | 10 | 12.654 |
| 80 | 10 | 224.070 | 80 | 10 | 52.884 | 80 | 10 | 12.965 |
| 100 | 10 | 206.579 | 100 | 10 | 117.750 | 100 | 10 | 15.194 |
| 120 | 10 | 123.316 | 120 | 10 | 108.518 | 120 | 10 | 18.086 |
| 120 | 20 | 147.443 | 120 | 20 | 124.344 | 120 | 20 | 16.872 |
| 140 | 20 | 109.900 | 140 | 20 | 71.012 | 140 | 20 | 19.233 |
| 160 | 20 | 108.627 | 160 | 20 | 44.658 | 160 | 20 | 22.836 |
| | | 180 | 20 | 104.279 | 180 | 20 | 30.521 | |
| | | 200 | 20 | 219.070 | 180 | 30 | 25.691 | |
| | | | | | 200 | 30 | 34.889 | |
| | | | | | 220 | 30 | 37.994 | |
| | S_{8N} | | | S_{9E} | | | S_{9N} | |
| $AB/2(m)$ | $MN/2(m)$ | $\rho_{a(\Omega.m)}$ | $AB/2(m)$ | $MN/2(m)$ | $\rho_{a(\Omega.m)}$ | $AB/2(m)$ | $MN/2(m)$ | $\rho_{a(\Omega.m)}$ |
| 5 | 1 | 107.938 | 5 | 1 | 60.916 | 5 | 1 | 62.11 |
| 8 | 1 | 67.322 | 8 | 1 | 49.436 | 8 | 1 | 41.2 |
| 10 | 1 | 51.025 | 10 | 1 | 44.274 | 10 | 1 | 38.34 |
| 15 | 1 | 31.439 | 15 | 1 | 27.554 | 15 | 1 | 26.12 |
| 20 | 1 | 21.352 | 20 | 1 | 20.096 | 20 | 1 | 22.3 |
| 20 | 4 | 24.348 | 20 | 4 | 22.451 | 20 | 4 | 20.1 |
| 30 | 4 | 14.807 | 30 | 4 | 18.758 | 30 | 4 | 17.3 |
| 40 | 4 | 11.775 | 40 | 4 | 19.468 | 40 | 4 | 22.1 |
| 60 | 4 | 13.847 | 60 | 4 | 29.673 | 60 | 4 | 29.33 |
| 60 | 10 | 10.467 | 60 | 10 | 25.434 | 60 | 10 | 25 |
| 80 | 10 | 10.048 | 80 | 10 | 38.182 | 80 | 10 | 33.11 |
| 100 | 10 | 15.543 | 100 | 10 | 48.670 | 100 | 10 | 45.44 |
| 100 | 20 | 11.630 | 120 | 10 | 51.998 | 120 | 10 | 50.2 |
| 120 | 20 | 14.681 | 120 | 20 | 40.694 | 120 | 20 | 37.76 |
| 140 | 20 | 18.317 | 140 | 20 | 41.542 | 140 | 20 | 40.9 |
| 160 | 20 | 22.836 | 160 | 20 | 48.230 | 160 | 20 | 49.11 |
| 180 | 20 | 33.064 | 160 | 30 | 41.532 | | | |
| 180 | 30 | 29.489 | 180 | 30 | 54.259 | | | |
| 200 | 30 | 36.941 | 200 | 30 | 64.893 | | | |
| 220 | 30 | 41.752 | | | | | | |
| 240 | 30 | 45.216 | | | | | | |

پیوست الف - داده های اندازه گیری شده برای سوندازهای آرایش شلومبرگر.

| | S_{10} | | | S_{11} | | | S_{12} | |
|-----------|-----------|--------------------|-----------|-----------|--------------------|-----------|-----------|--------------------|
| $AB/2(m)$ | $MN/2(m)$ | $\rho_a(\Omega.m)$ | $AB/2(m)$ | $MN/2(m)$ | $\rho_a(\Omega.m)$ | $AB/2(m)$ | $MN/2(m)$ | $\rho_a(\Omega.m)$ |
| 5 | 1 | 18.317 | 5 | 1 | 92.051 | 5 | 1 | 82.743 |
| 8 | 1 | 18.878 | 8 | 1 | 59.032 | 8 | 1 | 91.867 |
| 10 | 1 | 19.404 | 10 | 1 | 39.250 | 10 | 1 | 104.667 |
| 15 | 1 | 15.543 | 15 | 1 | 30.733 | 15 | 1 | 183.690 |
| 20 | 1 | 13.188 | 15 | 4 | 29.017 | 15 | 4 | 142.068 |
| 20 | 4 | 16.526 | 20 | 4 | 26.984 | 20 | 4 | 204.100 |
| 30 | 4 | 11.582 | 30 | 4 | 39.250 | 30 | 4 | 457.917 |
| 40 | 4 | 10.048 | 40 | 4 | 63.864 | 40 | 4 | 581.481 |
| 60 | 4 | 12.717 | 60 | 4 | 104.562 | 60 | 4 | 452.160 |
| 60 | 10 | 10.598 | 60 | 10 | 96.498 | 60 | 10 | 391.292 |
| 80 | 10 | 13.671 | 80 | 10 | 93.470 | 80 | 10 | 251.200 |
| 100 | 10 | 18.840 | 100 | 10 | 66.809 | 100 | 10 | 214.091 |
| 100 | 20 | 16.485 | 120 | 10 | 83.650 | 120 | 10 | 176.342 |
| 120 | 20 | 21.478 | 120 | 20 | 70.650 | 120 | 20 | 199.482 |
| | | 140 | | 20 | 100.343 | 140 | 20 | 192.325 |
| | | 160 | | 20 | 154.585 | 160 | 20 | 200.960 |
| | | 180 | | 20 | 175.407 | 180 | 20 | 254.340 |
| | S_{13} | | | S_{14} | | | S_{15} | |
| $AB/2(m)$ | $MN/2(m)$ | $\rho_a(\Omega.m)$ | $AB/2(m)$ | $MN/2(m)$ | $\rho_a(\Omega.m)$ | $AB/2(m)$ | $MN/2(m)$ | $\rho_a(\Omega.m)$ |
| 5 | 1 | 80.463 | 5 | 1 | 106.536 | 5 | 1 | 74.932 |
| 8 | 1 | 160.768 | 8 | 1 | 247.335 | 8 | 1 | 150.720 |
| 10 | 1 | 204.100 | 10 | 1 | 338.154 | 10 | 1 | 188.400 |
| 15 | 1 | 388.575 | 15 | 1 | 554.603 | 15 | 1 | 342.653 |
| 15 | 4 | 306.770 | 15 | 4 | 502.702 | 15 | 4 | 287.833 |
| 20 | 4 | 383.778 | 20 | 4 | 579.692 | 20 | 4 | 383.778 |
| 30 | 4 | 519.485 | 30 | 4 | 706.500 | 30 | 4 | 529.875 |
| 40 | 4 | 554.118 | 40 | 4 | 703.360 | 40 | 4 | 628.000 |
| 60 | 4 | 438.030 | 60 | 4 | 536.940 | 60 | 4 | 582.156 |
| 60 | 10 | 388.575 | 60 | 10 | 471.000 | 60 | 10 | 458.377 |
| 80 | 10 | 287.086 | 80 | 10 | 309.169 | 80 | 10 | 413.978 |
| 100 | 10 | 216.552 | 100 | 10 | 298.300 | 100 | 10 | 241.538 |
| 120 | 10 | 205.733 | 100 | 20 | 261.667 | 120 | 10 | 248.688 |
| 120 | 20 | 226.080 | 120 | 20 | 308.291 | 120 | 20 | 260.862 |
| 140 | 20 | 307.720 | 140 | 20 | 419.618 | 140 | 20 | 271.518 |
| 160 | 20 | 376.800 | 160 | 20 | 535.893 | 160 | 20 | 287.086 |
| 180 | 20 | 508.680 | 180 | 20 | 678.240 | 180 | 20 | 317.925 |

| | S ₁₆ | | | S ₁₇ | | | S ₁₈ | |
|---------|-----------------|--------------------|---------|-----------------|--------------------|---------|-----------------|--------------------|
| AB/2(m) | MN/2(m) | $\rho_a(\Omega.m)$ | AB/2(m) | MN/2(m) | $\rho_a(\Omega.m)$ | AB/2(m) | MN/2(m) | $\rho_a(\Omega.m)$ |
| 5 | 1 | 75.696 | 5 | 1 | 35.364 | 5 | 1 | 46.820 |
| 8 | 1 | 115.938 | 8 | 1 | 25.723 | 8 | 1 | 32.271 |
| 10 | 1 | 157.000 | 10 | 1 | 23.707 | 10 | 1 | 25.280 |
| 15 | 1 | 310.860 | 15 | 1 | 23.315 | 15 | 1 | 18.722 |
| 15 | 4 | 233.397 | 20 | 1 | 21.352 | 20 | 1 | 13.188 |
| 20 | 4 | 314.000 | 20 | 4 | 23.236 | 20 | 4 | 17.804 |
| 30 | 4 | 605.571 | 30 | 4 | 22.255 | 30 | 4 | 12.527 |
| 40 | 4 | 779.586 | 40 | 4 | 21.980 | 40 | 4 | 10.555 |
| 60 | 4 | 932.580 | 60 | 4 | 21.195 | 60 | 4 | 14.130 |
| 60 | 10 | 627.372 | 60 | 10 | 23.173 | 60 | 10 | 14.130 |
| 80 | 10 | 436.083 | 80 | 10 | 22.106 | 80 | 10 | 17.628 |
| 100 | 10 | 142.727 | 100 | 10 | 18.840 | 100 | 10 | 17.270 |
| 120 | 10 | 155.917 | 100 | 20 | 23.550 | 100 | 20 | 18.115 |
| 120 | 20 | 124.344 | 120 | 20 | 21.478 | 120 | 20 | 18.380 |
| 140 | 20 | 153.860 | 140 | 20 | 21.540 | 140 | 20 | 23.312 |
| 160 | 20 | 196.941 | 160 | 20 | 24.115 | 160 | 20 | 30.448 |
| 180 | 20 | 242.229 | | | | | | |
| | S ₁₉ | | | S ₂₀ | | | S ₂₁ | |
| AB/2(m) | MN/2(m) | $\rho_a(\Omega.m)$ | AB/2(m) | MN/2(m) | $\rho_a(\Omega.m)$ | AB/2(m) | MN/2(m) | $\rho_a(\Omega.m)$ |
| 5 | 1 | 44.588 | 5 | 1 | 35.678 | 5 | 1 | 32.656 |
| 8 | 1 | 32.656 | 8 | 1 | 29.742 | 8 | 1 | 22.407 |
| 10 | 1 | 31.243 | 10 | 1 | 29.987 | 10 | 1 | 18.840 |
| 15 | 1 | 27.200 | 15 | 1 | 30.733 | 15 | 1 | 18.051 |
| 20 | 1 | 32.028 | 20 | 1 | 30.144 | 20 | 1 | 20.096 |
| 20 | 4 | 27.946 | 20 | 4 | 25.591 | 20 | 4 | 16.171 |
| 30 | 4 | 28.260 | 30 | 4 | 29.673 | 30 | 4 | 23.315 |
| 40 | 4 | 33.284 | 40 | 4 | 54.636 | 40 | 4 | 37.052 |
| 40 | 10 | 29.390 | 60 | 4 | 93.258 | 60 | 4 | 103.149 |
| 60 | 10 | 49.738 | 60 | 10 | 88.171 | 60 | 10 | 74.606 |
| 80 | 10 | 51.245 | 80 | 10 | 112.538 | 80 | 10 | 155.744 |
| 100 | 10 | 50.240 | 100 | 10 | 157.000 | 100 | 10 | 224.510 |
| 100 | 20 | 53.380 | 100 | 20 | 165.635 | 100 | 20 | 165.635 |
| 120 | 20 | 47.477 | 120 | 20 | 196.690 | 120 | 20 | 276.833 |
| 140 | 20 | 40.004 | 140 | 20 | 198.479 | 140 | 20 | 339.014 |
| 160 | 20 | 36.173 | 160 | 20 | 202.970 | 160 | 20 | 432.837 |

| | S ₂₂ | | | S ₂₃ | | | S ₂₄ | |
|---------|-----------------|----------------------|---------|-----------------|----------------------|---------|-----------------|----------------------|
| AB/2(m) | MN/2(m) | $\rho_{a(\Omega.m)}$ | AB/2(m) | MN/2(m) | $\rho_{a(\Omega.m)}$ | AB/2(m) | MN/2(m) | $\rho_{a(\Omega.m)}$ |
| 5 | 1 | 32.264 | 5 | 1 | 17.545 | 5 | 1 | 23.785 |
| 8 | 1 | 31.048 | 8 | 1 | 19.795 | 8 | 1 | 17.986 |
| 10 | 1 | 30.301 | 10 | 1 | 20.724 | 10 | 1 | 17.898 |
| 15 | 1 | 31.200 | 15 | 1 | 24.000 | 15 | 1 | 18.200 |
| 20 | 1 | 32.700 | 20 | 1 | 26.000 | 20 | 1 | 19.500 |
| 20 | 4 | 29.673 | 20 | 4 | 23.079 | 20 | 4 | 17.584 |
| 30 | 4 | 38.504 | 30 | 4 | 25.434 | 30 | 4 | 18.016 |
| 40 | 4 | 42.100 | 40 | 4 | 27.632 | 40 | 4 | 20.096 |
| 60 | 4 | 45.800 | 60 | 4 | 33.500 | 60 | 4 | 39.000 |
| 60 | 10 | 42.955 | 60 | 10 | 30.521 | 60 | 10 | 44.086 |
| 80 | 10 | 36.173 | 80 | 10 | 33.158 | 80 | 10 | 52.250 |
| 100 | 10 | 31.400 | 100 | 10 | 34.540 | 100 | 10 | 50.240 |
| 120 | 10 | 30.400 | 120 | 10 | 36.300 | 120 | 10 | 39.000 |
| 120 | 20 | 31.651 | 120 | 20 | 33.912 | 120 | 20 | 44.086 |
| 140 | 20 | 34.300 | 140 | 20 | 33.849 | 140 | 20 | 38.465 |
| | | | 160 | 20 | 34.163 | 160 | 20 | 36.160 |
| | S ₂₅ | | | S ₂₆ | | | S ₂₇ | |
| AB/2(m) | MN/2(m) | $\rho_{a(\Omega.m)}$ | AB/2(m) | MN/2(m) | $\rho_{a(\Omega.m)}$ | AB/2(m) | MN/2(m) | $\rho_{a(\Omega.m)}$ |
| 5 | 1 | 21.195 | 5 | 1 | 46.7075 | 5 | 1 | 57.8545 |
| 8 | 1 | 15.373 | 8 | 1 | 45.7184 | 8 | 1 | 56.87168 |
| 10 | 1 | 13.659 | 10 | 1 | 46.315 | 10 | 1 | 54.322 |
| 15 | 1 | 11.200 | 15 | 1 | 45.9225 | 15 | 1 | 45.9225 |
| 20 | 1 | 10.400 | 20 | 1 | 43.332 | 20 | 1 | 41.448 |
| 20 | 4 | 11.461 | 20 | 4 | 45.687 | 20 | 4 | 48.67 |
| 30 | 4 | 10.951 | 30 | 4 | 42.74325 | 30 | 4 | 41.6835 |
| 40 | 4 | 10.500 | 40 | 4 | 41.448 | 40 | 4 | 37.68 |
| 60 | 4 | 12.200 | 60 | 4 | 33.912 | 60 | 4 | 31.086 |
| 60 | 10 | 11.304 | 60 | 10 | 39.564 | 60 | 10 | 33.912 |
| 80 | 10 | 13.062 | 80 | 10 | 37.1776 | 80 | 10 | 33.1584 |
| 100 | 10 | 16.485 | 100 | 10 | 36.11 | 100 | 10 | 32.97 |
| 120 | 10 | 22.300 | 120 | 10 | 31.6512 | 120 | 10 | 31.6512 |
| 120 | 20 | 20.347 | 120 | 20 | 33.912 | 120 | 20 | 32.7816 |
| 140 | 20 | 24.618 | 140 | 20 | 32.3106 | 140 | 20 | 32.3106 |
| | | | 160 | 20 | 30.144 | 160 | 20 | 32.1536 |
| | | | 180 | 20 | 30.5208 | | | |
| | | | 200 | 20 | 28.26 | | | |

| | S ₂₈ | | | S ₂₉ | | | S ₃₀ | |
|---------|-----------------|----------------------|---------|-----------------|----------------------|---------|-----------------|----------------------|
| AB/2(m) | MN/2(m) | $\rho_{a(\Omega.m)}$ | AB/2(m) | MN/2(m) | $\rho_{a(\Omega.m)}$ | AB/2(m) | MN/2(m) | $\rho_{a(\Omega.m)}$ |
| 5 | 1 | 43.803 | 5 | 1 | 23.4715 | 5 | | 38.73975 |
| 8 | 1 | 42.40256 | 8 | 1 | 21.1008 | 8 | 1 | 33.1584 |
| 10 | 1 | 38.465 | 10 | 1 | 20.41 | 10 | 1 | 31.557 |
| 15 | 1 | 31.086 | 15 | 1 | 17.6625 | 15 | 1 | 27.20025 |
| 20 | 1 | 24.492 | 20 | 1 | 16.956 | 20 | 1 | 27.632 |
| 20 | 4 | 27.475 | 20 | 4 | 18.683 | 20 | 4 | 25.277 |
| 30 | 4 | 24.7275 | 30 | 4 | 20.4885 | 30 | 4 | 28.61325 |
| 40 | 4 | 24.492 | 40 | 4 | 21.98 | 40 | 4 | 33.284 |
| 60 | 4 | 26.847 | 60 | 4 | 24.021 | 60 | 4 | 50.868 |
| 60 | 10 | 23.7384 | 60 | 10 | 22.608 | 60 | 10 | 44.0856 |
| 80 | 10 | 24.1152 | 80 | 10 | 22.1056 | 80 | 10 | 48.2304 |
| 100 | 10 | 25.12 | 100 | 10 | 21.98 | 100 | 10 | 47.1 |
| 120 | 10 | 29.3904 | 120 | 10 | 22.608 | 120 | 10 | 42.9552 |
| 120 | 20 | 25.9992 | 120 | 20 | 21.4776 | 120 | 20 | 46.3464 |
| 140 | 20 | 28.4641 | 140 | 20 | 21.5404 | 140 | 20 | 43.0808 |
| 160 | 20 | 30.144 | 160 | 20 | 22.1056 | | | |
| 180 | 20 | 33.0642 | 180 | 20 | 20.3472 | | | |
| 200 | 20 | 37.68 | | | | | | |
| | S ₃₁ | | | S ₃₂ | | | S ₃₃ | |
| AB/2(m) | MN/2(m) | $\rho_{a(\Omega.m)}$ | AB/2(m) | MN/2(m) | $\rho_{a(\Omega.m)}$ | AB/2(m) | MN/2(m) | $\rho_{a(\Omega.m)}$ |
| 5 | 1 | 16.367 | 5 | 1 | 65.979 | 5 | 1 | 35.442 |
| 8 | 1 | 15.775 | 8 | 1 | 92.441 | 8 | 1 | 39.790 |
| 10 | 1 | 14.915 | 10 | 1 | 102.05 | 10 | 1 | 42.704 |
| 15 | 1 | 19.782 | 15 | 1 | 95.377 | 15 | 1 | 60.052 |
| 20 | 1 | 24.492 | 20 | 1 | 87.92 | 20 | 1 | 50.24 |
| 20 | 4 | 19.468 | 20 | 4 | 75.36 | 20 | 4 | 43.96 |
| 30 | 4 | 24.021 | 30 | 4 | 113.04 | 30 | 4 | 32.499 |
| 40 | 4 | 38.936 | 40 | 4 | 100.48 | 40 | 4 | 40.82 |
| 60 | 4 | 72.063 | 60 | 4 | 63.585 | 60 | 4 | 76.302 |
| 60 | 10 | 67.824 | 60 | 10 | 55.389 | 60 | 10 | 101.736 |
| 80 | 10 | 104.499 | 80 | 10 | 45.216 | 80 | 10 | 150.72 |
| 100 | 10 | 135.02 | 100 | 10 | 53.38 | 100 | 10 | 103.62 |
| | | | 120 | 10 | 74.606 | 120 | 10 | 65.5632 |
| | | | 120 | 20 | 61.041 | 120 | 20 | 58.780 |
| | | | 140 | 20 | 86.161 | 140 | 20 | 52.312 |

| | S ₃₄ | | | S ₃₅ | | | S ₃₆ | |
|---------|-----------------|----------------------|---------|-----------------|----------------------|---------|-----------------|----------------------|
| AB/2(m) | MN/2(m) | $\rho_{a(\Omega.m)}$ | AB/2(m) | MN/2(m) | $\rho_{a(\Omega.m)}$ | AB/2(m) | MN/2(m) | $\rho_{a(\Omega.m)}$ |
| 5 | 1 | 29.47675 | 5 | 1 | 77.244 | 5 | 1 | 37.79775 |
| 8 | 1 | 14.46912 | 8 | 1 | 34.36416 | 8 | 1 | 23.71328 |
| 10 | 1 | 13.345 | 10 | 1 | 28.26 | 10 | 1 | 19.468 |
| 15 | 1 | 15.543 | 15 | 1 | 22.608 | 15 | 1 | 16.956 |
| 20 | 1 | 19.468 | 20 | 1 | 20.096 | 20 | 1 | 17.584 |
| 20 | 4 | 17.27 | 20 | 4 | 21.98 | 20 | 4 | 15.229 |
| 30 | 4 | 21.9015 | 30 | 4 | 18.72225 | 30 | 4 | 19.42875 |
| 40 | 4 | 28.26 | 40 | 4 | 17.584 | 40 | 4 | 24.492 |
| 60 | 4 | 46.629 | 60 | 4 | 19.782 | 60 | 4 | 32.499 |
| 60 | 10 | 41.2596 | 60 | 10 | 20.3472 | 60 | 10 | 28.8252 |
| 80 | 10 | 37.1776 | 80 | 10 | 22.1056 | 80 | 10 | 29.1392 |
| 100 | 10 | 25.12 | 100 | 10 | 23.55 | 100 | 10 | 28.26 |
| | | 120 | 10 | 24.8688 | 120 | 10 | 29.3904 | |
| | | 120 | 20 | 23.7384 | | | | |
| | | 140 | 20 | 26.1562 | | | | |
| | S ₃₇ | | | S ₃₈ | | | S ₃₉ | |
| AB/2(m) | MN/2(m) | $\rho_{a(\Omega.m)}$ | AB/2(m) | MN/2(m) | $\rho_{a(\Omega.m)}$ | AB/2(m) | MN/2(m) | $\rho_{a(\Omega.m)}$ |
| 5 | 1 | 47.493 | 5 | 1 | 39.603 | 5 | 1 | 59.228 |
| 8 | 1 | 54.259 | 8 | 1 | 47.226 | 8 | 1 | 45.015 |
| 10 | 1 | 59.817 | 10 | 1 | 52.752 | 10 | 1 | 46.001 |
| 15 | 1 | 78.068 | 15 | 1 | 67.824 | 15 | 1 | 50.868 |
| 20 | 1 | 86.036 | 20 | 1 | 75.988 | 20 | 1 | 59.660 |
| 20 | 4 | 75.360 | 20 | 4 | 69.551 | 20 | 4 | 54.479 |
| 30 | 4 | 77.715 | 30 | 4 | 62.172 | 30 | 4 | 56.520 |
| 40 | 4 | 52.124 | 40 | 4 | 52.124 | 40 | 4 | 58.404 |
| 60 | 4 | 45.216 | 60 | 4 | 43.803 | 60 | 4 | 66.411 |
| 60 | 10 | 48.042 | 60 | 10 | 45.781 | 60 | 10 | 60.476 |
| 80 | 10 | 45.216 | 80 | 10 | 44.211 | 80 | 10 | 60.288 |
| 100 | 10 | 45.530 | 100 | 10 | 40.820 | 100 | 10 | 64.370 |
| 120 | 10 | 45.216 | | | | | | |
| 120 | 20 | 41.825 | | | | | | |
| 140 | 20 | 41.542 | | | | | | |
| 160 | 20 | 48.230 | | | | | | |

| | S₄₀ | | | S₄₁ | | | S₄₂ | |
|----------------|-----------------------|----------------------|----------------|-----------------------|----------------------|----------------|-----------------------|----------------------|
| AB/2(m) | MN/2(m) | $\rho_{a(\Omega.m)}$ | AB/2(m) | MN/2(m) | $\rho_{a(\Omega.m)}$ | AB/2(m) | MN/2(m) | $\rho_{a(\Omega.m)}$ |
| 5 | 1 | 99.695 | 5 | 1 | 47.41 | 5 | 1 | 549.1075 |
| 8 | 1 | 70.436 | 8 | 1 | 54.86 | 8 | 1 | 337.6128 |
| 10 | 1 | 64.841 | 10 | 1 | 59.50 | 10 | 1 | 273.023 |
| 15 | 1 | 54.754 | 15 | 1 | 71.00 | 15 | 1 | 243.7425 |
| 20 | 1 | 44.588 | 20 | 1 | 70.34 | 20 | 1 | 263.76 |
| 20 | 4 | 38.622 | 20 | 4 | 67.67 | 20 | 4 | 243.664 |
| 30 | 4 | 34.972 | 30 | 4 | 60.41 | 30 | 4 | 248.688 |
| 40 | 4 | 35.168 | 40 | 4 | 52.12 | 40 | 4 | 263.76 |
| 60 | 4 | 43.803 | 60 | 4 | 45.22 | 60 | 4 | 310.86 |
| 60 | 10 | 40.129 | 60 | 10 | 49.17 | 60 | 10 | 293.904 |
| 80 | 10 | 43.206 | 80 | 10 | 44.21 | 80 | 10 | 256.224 |
| 100 | 10 | 47.100 | 100 | 10 | 42.39 | 100 | 10 | 266.9 |
| | | 120 | 10 | 40.69 | 120 | 10 | | 339.12 |
| | | 120 | 20 | 44.09 | | | | |
| | | 140 | 20 | 43.08 | | | | |
| | | 160 | 20 | 42.20 | | | | |
| | S₄₃ | | | S₄₄ | | | S₄₅ | |
| AB/2(m) | MN/2(m) | $\rho_{a(\Omega.m)}$ | AB/2(m) | MN/2(m) | $\rho_{a(\Omega.m)}$ | AB/2(m) | MN/2(m) | $\rho_{a(\Omega.m)}$ |
| 5 | 1 | 220.1925 | 5 | 1 | 57.698 | 5 | 1 | 99.303 |
| 8 | 1 | 212.0128 | 8 | 1 | 54.862 | 8 | 1 | 108.518 |
| 10 | 1 | 212.107 | 10 | 1 | 54.950 | 10 | 1 | 106.446 |
| 15 | 1 | 236.6775 | 15 | 1 | 63.585 | 15 | 1 | 95.378 |
| 20 | 1 | 295.16 | 20 | 1 | 69.080 | 20 | 1 | 69.080 |
| 20 | 4 | 252.77 | 20 | 4 | 61.544 | 20 | 4 | 75.674 |
| 30 | 4 | 307.3275 | 30 | 4 | 67.471 | 30 | 4 | 69.944 |
| 40 | 4 | 323.42 | 40 | 4 | 75.988 | 40 | 4 | 68.452 |
| 60 | 4 | 438.03 | 60 | 4 | 91.845 | 60 | 4 | 63.585 |
| 60 | 10 | 378.684 | 60 | 10 | 82.519 | 60 | 10 | 77.432 |
| 80 | 10 | 442.112 | 80 | 10 | 82.394 | 80 | 10 | 74.355 |
| 100 | 10 | 439.6 | 100 | 10 | 78.500 | 100 | 10 | 72.220 |
| 100 | 10 | 471 | 120 | 10 | 67.824 | 100 | 10 | 70.650 |
| 120 | 20 | 360.5976 | 120 | 20 | 73.476 | 120 | 20 | 73.476 |
| 140 | 20 | 224.6356 | 140 | 20 | 69.237 | 140 | 20 | 67.698 |
| 160 | 20 | 176.8448 | 160 | 20 | 60.288 | 160 | 20 | 66.317 |
| 180 | 20 | 223.8192 | | | | | | |
| 200 | 20 | 301.44 | | | | | | |

| | S₄₆ | | | S₄₇ | | | S₄₈ | |
|----------------|-----------------------|----------------------|----------------|-----------------------|----------------------|----------------|-----------------------|----------------------|
| AB/2(m) | MN/2(m) | $\rho_{a(\Omega.m)}$ | AB/2(m) | MN/2(m) | $\rho_{a(\Omega.m)}$ | AB/2(m) | MN/2(m) | $\rho_{a(\Omega.m)}$ |
| 5 | 1 | 50.907 | 5 | 1 | 164.458 | 5 | 1 | 108.330 |
| 8 | 1 | 55.465 | 8 | 1 | 158.256 | 8 | 1 | 115.552 |
| 10 | 1 | 56.363 | 10 | 1 | 149.464 | 10 | 1 | 114.139 |
| 15 | 1 | 60.053 | 15 | 1 | 113.040 | 15 | 1 | 120.105 |
| 20 | 1 | 59.032 | 20 | 1 | 69.080 | 20 | 1 | 138.160 |
| 20 | 4 | 53.223 | 20 | 4 | 81.640 | 20 | 4 | 113.040 |
| 30 | 4 | 63.585 | 30 | 4 | 46.982 | 30 | 4 | 116.573 |
| 40 | 4 | 64.684 | 40 | 4 | 27.004 | 40 | 4 | 131.880 |
| 60 | 4 | 63.585 | 60 | 4 | 24.021 | 60 | 4 | 197.820 |
| 60 | 10 | 62.737 | 60 | 10 | 21.478 | 60 | 10 | 140.735 |
| 80 | 10 | 60.288 | 80 | 10 | 31.149 | 80 | 10 | 245.171 |
| 100 | 10 | 53.380 | 100 | 10 | 50.240 | 100 | 10 | 219.800 |
| 120 | 10 | 47.477 | 120 | 10 | 70.085 | | | |
| 120 | 20 | 53.129 | | | | | | |
| 140 | 20 | 49.235 | | | | | | |
| 160 | 20 | 42.202 | | | | | | |
| | S₄₉ | | | S₅₀ | | | S₅₁ | |
| AB/2(m) | MN/2(m) | $\rho_{a(\Omega.m)}$ | AB/2(m) | MN/2(m) | $\rho_{a(\Omega.m)}$ | AB/2(m) | MN/2(m) | $\rho_{a(\Omega.m)}$ |
| 5 | 1 | 78.893 | 5 | 1 | 76.420 | 5 | 1 | 102.050 |
| 8 | 1 | 90.934 | 8 | 1 | 82.293 | 8 | 1 | 102.992 |
| 10 | 1 | 96.398 | 10 | 1 | 87.606 | 10 | 1 | 113.040 |
| 15 | 1 | 113.040 | 15 | 1 | 120.105 | 15 | 1 | 134.235 |
| 20 | 1 | 163.280 | 20 | 1 | 157.000 | 20 | 1 | 163.280 |
| 20 | 4 | 130.938 | 20 | 4 | 143.498 | 20 | 4 | 127.955 |
| 30 | 4 | 138.827 | 30 | 4 | 144.833 | 30 | 4 | 177.685 |
| 40 | 4 | 141.300 | 40 | 4 | 119.320 | 40 | 4 | 226.708 |
| 60 | 4 | 128.583 | 60 | 4 | 94.671 | 60 | 4 | 187.929 |
| 60 | 10 | 116.996 | 60 | 10 | 124.909 | 60 | 10 | 209.124 |
| 80 | 10 | 110.528 | 80 | 10 | 100.480 | 80 | 10 | 140.672 |
| 100 | 10 | 97.340 | 100 | 10 | 84.780 | 100 | 10 | 114.610 |
| 120 | 10 | 90.432 | 100 | 10 | 89.490 | 100 | 10 | 100.480 |
| | | | 120 | 20 | 73.476 | 120 | 20 | 87.041 |
| | | | 140 | 20 | 61.544 | 140 | 20 | 72.314 |
| | | | 160 | 20 | 56.269 | | | |

| S ₅₂ | | | | S ₅₃ | | | | S ₅₄ | |
|-----------------|---------|----------------------|---------|-----------------|----------------------|---------|-----------------|----------------------|--|
| AB/2(m) | MN/2(m) | $\rho_{a(\Omega.m)}$ | AB/2(m) | MN/2(m) | $\rho_{a(\Omega.m)}$ | AB/2(m) | MN/2(m) | $\rho_{a(\Omega.m)}$ | |
| 5 | 1 | 63.546 | 5 | 1 | 51.261 | 5 | 1 | 59.503 | |
| 8 | 1 | 77.470 | 8 | 1 | 59.183 | 8 | 1 | 64.207 | |
| 10 | 1 | 81.640 | 10 | 1 | 72.691 | 10 | 1 | 71.592 | |
| 15 | 1 | 120.105 | 15 | 1 | 102.443 | 15 | 1 | 95.378 | |
| 20 | 1 | 150.720 | 20 | 1 | 119.320 | 20 | 1 | 125.600 | |
| 20 | 4 | 121.675 | 20 | 4 | 103.620 | 20 | 4 | 107.702 | |
| 30 | 4 | 169.560 | 30 | 4 | 121.165 | 30 | 4 | 127.170 | |
| 40 | 4 | 200.960 | 40 | 4 | 117.436 | 40 | 4 | 138.160 | |
| 60 | 4 | 169.560 | 60 | 4 | 91.845 | 60 | 4 | 111.627 | |
| 60 | 10 | 146.387 | 60 | 10 | 101.736 | 60 | 10 | 98.910 | |
| 80 | 10 | 109.523 | 80 | 10 | 93.446 | 80 | 10 | 87.418 | |
| 100 | 10 | 75.360 | 100 | 10 | 70.650 | 100 | 10 | 73.790 | |
| 100 | 10 | 69.080 | 120 | 10 | 63.302 | 120 | 10 | 72.346 | |
| 120 | 20 | 61.042 | 120 | 20 | 73.476 | 120 | 20 | 63.302 | |
| 140 | 20 | 52.312 | 140 | 20 | 64.621 | 140 | 20 | 60.005 | |
| | | 160 | | 20 | 56.269 | | | | |
| S ₅₅ | | | | S ₅₆ | | | S ₅₇ | | |
| AB/2(m) | MN/2(m) | $\rho_{a(\Omega.m)}$ | AB/2(m) | MN/2(m) | $\rho_{a(\Omega.m)}$ | AB/2(m) | MN/2(m) | $\rho_{a(\Omega.m)}$ | |
| 5 | 1 | 57.698 | 5 | 1 | 52.438 | 5 | 1 | 177.018 | |
| 8 | 1 | 64.609 | 8 | 1 | 72.346 | 8 | 1 | 175.036 | |
| 10 | 1 | 74.732 | 10 | 1 | 76.616 | 10 | 1 | 156.843 | |
| 15 | 1 | 86.546 | 15 | 1 | 77.715 | 15 | 1 | 162.495 | |
| 20 | 1 | 100.480 | 20 | 1 | 75.360 | 20 | 1 | 169.560 | |
| 20 | 4 | 82.111 | 20 | 4 | 78.029 | 20 | 4 | 150.249 | |
| 30 | 4 | 109.861 | 30 | 4 | 66.764 | 30 | 4 | 134.235 | |
| 40 | 4 | 119.320 | 40 | 4 | 55.892 | 40 | 4 | 132.508 | |
| 60 | 4 | 110.214 | 60 | 4 | 39.564 | 60 | 4 | 169.560 | |
| 60 | 10 | 93.258 | 60 | 10 | 44.651 | 60 | 10 | 143.561 | |
| 80 | 10 | 83.398 | 80 | 10 | 34.163 | 80 | 10 | 150.720 | |
| 100 | 10 | 69.080 | 100 | 10 | 29.830 | 100 | 10 | 158.570 | |
| 120 | 10 | 61.042 | 120 | 10 | 29.390 | 120 | 10 | 196.690 | |
| 120 | 20 | 73.476 | 120 | 20 | 30.521 | 120 | 20 | 180.864 | |
| 140 | 20 | 64.621 | 140 | 20 | 30.772 | 140 | 20 | 195.402 | |
| 160 | 20 | 60.288 | 160 | 20 | 32.154 | | | | |

| | S ₅₈ | | | S ₅₉ | | | S ₆₀ | |
|-----------------|-----------------|--------------------|-----------------|-----------------|--------------------|-----------------|-----------------|--------------------|
| AB/2(m) | MN/2(m) | $\rho_a(\Omega.m)$ | AB/2(m) | MN/2(m) | $\rho_a(\Omega.m)$ | AB/2(m) | MN/2(m) | $\rho_a(\Omega.m)$ |
| 5 | 1 | 110.685 | 5 | 1 | 67.549 | 5 | 1 | 233.145 |
| 8 | 1 | 60.087 | 8 | 1 | 32.756 | 8 | 1 | 300.435 |
| 10 | 1 | 53.537 | 10 | 1 | 33.127 | 10 | 1 | 303.638 |
| 15 | 1 | 52.988 | 15 | 1 | 60.053 | 15 | 1 | 261.405 |
| 20 | 1 | 87.920 | 20 | 1 | 87.920 | 20 | 1 | 194.680 |
| 20 | 4 | 70.650 | 20 | 4 | 79.128 | 20 | 4 | 228.278 |
| 30 | 4 | 105.975 | 30 | 4 | 130.703 | 30 | 4 | 184.043 |
| 40 | 4 | 138.160 | 40 | 4 | 163.280 | 40 | 4 | 165.164 |
| 60 | 4 | 169.560 | 60 | 4 | 240.210 | 60 | 4 | 169.560 |
| 60 | 10 | 193.298 | 60 | 10 | 197.820 | 60 | 10 | 197.820 |
| 80 | 10 | 233.114 | 80 | 10 | 232.109 | 80 | 10 | 241.152 |
| 100 | 10 | 243.350 | 100 | 10 | 257.480 | 100 | 10 | 281.030 |
| 120 | 10 | 271.296 | 120 | 10 | 339.120 | 120 | 10 | 293.904 |
| 120 | 20 | 289.382 | 120 | 20 | 293.904 | 120 | 20 | 349.294 |
| 140 | 20 | 296.950 | 140 | 20 | 338.492 | 140 | 20 | 390.804 |
| | | | 160 | 20 | 399.910 | 160 | 20 | 458.189 |
| S ₆₁ | | | S ₆₂ | | | S ₆₃ | | |
| AB/2(m) | MN/2(m) | $\rho_a(\Omega.m)$ | AB/2(m) | MN/2(m) | $\rho_a(\Omega.m)$ | AB/2(m) | MN/2(m) | $\rho_a(\Omega.m)$ |
| 5 | 1 | 70.454 | 5 | 1 | 43.960 | 5 | 1 | 142.478 |
| 8 | 1 | 48.230 | 8 | 1 | 34.163 | 8 | 1 | 60.087 |
| 10 | 1 | 43.960 | 10 | 1 | 33.441 | 10 | 1 | 45.530 |
| 15 | 1 | 56.520 | 15 | 1 | 38.858 | 15 | 1 | 42.390 |
| 20 | 1 | 69.080 | 20 | 1 | 51.496 | 20 | 1 | 42.076 |
| 20 | 4 | 58.404 | 20 | 4 | 42.861 | 20 | 4 | 37.523 |
| 30 | 4 | 89.726 | 30 | 4 | 52.988 | 30 | 4 | 36.385 |
| 40 | 4 | 106.760 | 40 | 4 | 64.056 | 40 | 4 | 37.052 |
| 60 | 4 | 122.931 | 60 | 4 | 93.258 | 60 | 4 | 50.868 |
| 60 | 10 | 111.910 | 60 | 10 | 79.128 | 60 | 10 | 42.390 |
| 80 | 10 | 122.586 | 80 | 10 | 92.442 | 80 | 10 | 45.216 |
| 100 | 10 | 149.150 | 100 | 10 | 94.200 | 100 | 10 | 58.090 |
| 120 | 10 | 162.778 | 120 | 10 | 110.779 | 120 | 10 | 70.085 |
| 120 | 20 | 157.126 | 120 | 20 | 103.997 | 120 | 20 | 63.302 |
| 140 | 20 | 176.939 | 140 | 20 | 112.318 | 140 | 20 | 72.314 |
| 160 | 20 | 192.922 | 160 | 20 | 108.518 | 160 | 20 | 76.365 |

پیوست ب:داده های اندازه گیری شده برای پروفیلهای مقاومت ویژه با آرایشها و نر و لی.

جدول ب-۱- داده های اندازه گیری شده برای پروفیل AA' (منطقه خواجه ربيع).

| no. | d(m) | R (Ω) | $\rho_{a(\Omega.m)}$ |
|-----|------|----------------|----------------------|
| 1 | 30 | 0.26 | 32.656 |
| 2 | 50 | 0.25 | 31.400 |
| 3 | 70 | 0.24 | 30.144 |
| 4 | 90 | 0.23 | 28.888 |
| 5 | 110 | 0.21 | 26.376 |
| 6 | 130 | 0.205 | 25.748 |
| 7 | 150 | 0.203 | 25.497 |
| 8 | 170 | 0.19 | 23.864 |
| 9 | 190 | 0.186 | 23.362 |
| 10 | 210 | 0.182 | 22.859 |
| 11 | 230 | 0.206 | 25.874 |
| 12 | 250 | 0.187 | 23.487 |
| 13 | 270 | 0.19 | 23.864 |
| 14 | 290 | 0.193 | 24.241 |
| 15 | 310 | 0.164 | 20.598 |
| 16 | 330 | 0.167 | 20.975 |
| 17 | 350 | 0.164 | 20.598 |
| 18 | 370 | 0.165 | 20.724 |
| 19 | 390 | 0.166 | 20.850 |
| 20 | 410 | 0.161 | 20.222 |
| 21 | 430 | 0.141 | 17.710 |
| 22 | 450 | 0.314 | 39.438 |
| 23 | 470 | 0.18 | 22.608 |
| 24 | 490 | 0.153 | 19.217 |
| 25 | 510 | 0.328 | 41.197 |
| 26 | 530 | 0.257 | 32.279 |
| 27 | 550 | 0.197 | 24.743 |

جدول ب-۲- داده های اندازه گیری شده برای پروفیل 'BB' (منطقه خواجه ربع).

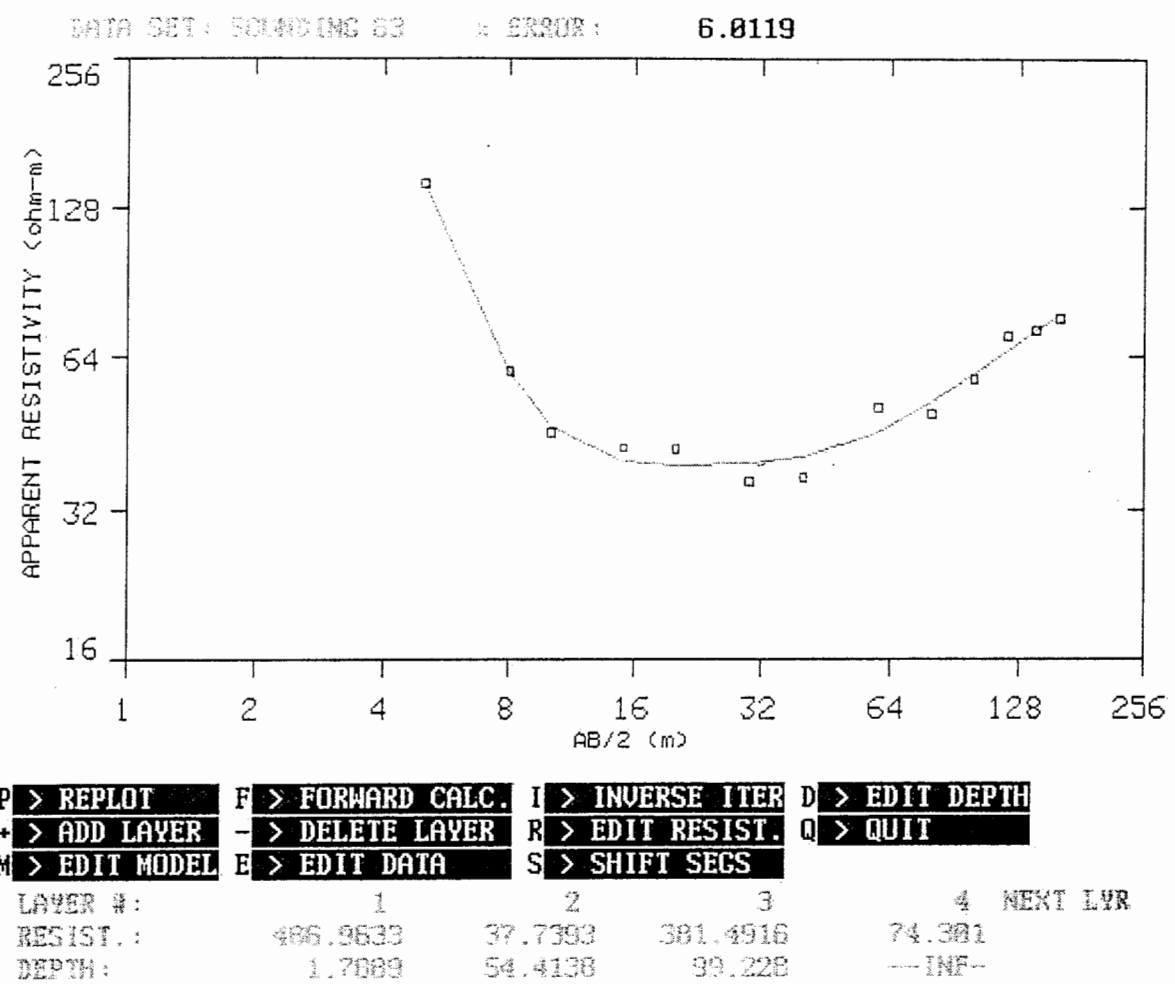
| | | wenner | | | | left lee | | | right lee | |
|-----|------|--------|----------------------|-----|-------|----------|----------------------|-------|-----------|----------------------|
| no. | d(m) | R(Ω) | $\rho_{a(\Omega.m)}$ | no. | d(m) | R(Ω) | $\rho_{a(\Omega.m)}$ | d(m) | R(Ω) | $\rho_{a(\Omega.m)}$ |
| 1 | 75 | 0.277 | 87.086 | 1 | 62.5 | 0.093 | 58.543 | 87.5 | 0.178 | 111.861 |
| 2 | 85 | 0.278 | 87.275 | 2 | 72.5 | 0.091 | 57.112 | 97.5 | 0.181 | 113.67 |
| 3 | 95 | 0.270 | 84.8555 | 3 | 82.5 | 0.085 | 53.443 | 107.5 | 0.179 | 112.5 |
| 4 | 105 | 0.255 | 80.165 | 4 | 92.5 | 0.082 | 51.332 | 117.5 | 0.168 | 105.23 |
| 5 | 115 | 0.286 | 89.8215 | 5 | 102.5 | 0.078 | 48.987 | 127.5 | 0.202 | 126.888 |
| 6 | 125 | 0.434 | 136.3645 | 6 | 112.5 | 0.067 | 42.311 | 137.5 | 0.361 | 226.65 |
| 7 | 135 | 0.771 | 241.9955 | 7 | 122.5 | 0.140 | 88.113 | 147.5 | 0.624 | 392.11 |
| 8 | 145 | 0.641 | 201.144 | 8 | 132.5 | 0.231 | 145.14 | 157.5 | 0.403 | 253.38 |
| 9 | 155 | 0.623 | 195.706 | 9 | 142.5 | 0.230 | 144.544 | 167.5 | 0.387 | 243.1 |
| 10 | 165 | 0.606 | 190.2105 | 10 | 152.5 | 0.230 | 144.323 | 177.5 | 0.370 | 232.33 |
| 11 | 175 | 0.585 | 183.8225 | 11 | 162.5 | 0.227 | 142.777 | 187.5 | 0.352 | 221.1 |
| 12 | 185 | 0.545 | 170.981 | 12 | 172.5 | 0.225 | 141.214 | 197.5 | 0.314 | 196.98 |
| 13 | 195 | 0.522 | 163.995 | 13 | 182.5 | 0.221 | 138.555 | 207.5 | 0.296 | 185.667 |
| 14 | 205 | 0.509 | 159.7565 | 14 | 192.5 | 0.219 | 137.434 | 217.5 | 0.284 | 178.311 |
| 15 | 215 | 0.498 | 156.351 | 15 | 202.5 | 0.222 | 139.114 | 227.5 | 0.270 | 169.82 |
| 16 | 225 | 0.459 | 144.1545 | 16 | 212.5 | 0.216 | 135.665 | 237.5 | 0.237 | 148.876 |
| 17 | 235 | 0.434 | 136.3235 | 17 | 222.5 | 0.212 | 133.325 | 247.5 | 0.216 | 135.554 |
| 18 | 245 | 0.427 | 134.1005 | 18 | 232.5 | 0.211 | 132.213 | 257.5 | 0.211 | 132.22 |
| 19 | 255 | 0.434 | 136.1465 | 19 | 242.5 | 0.221 | 138.545 | 267.5 | 0.207 | 129.98 |
| 20 | 265 | 0.454 | 142.661 | 20 | 252.5 | 0.238 | 149.22 | 277.5 | 0.211 | 132.334 |
| 21 | 275 | 0.475 | 149.0925 | 21 | 262.5 | 0.250 | 156.757 | 287.5 | 0.219 | 137.66 |
| 22 | 285 | 0.504 | 158.124 | 22 | 272.5 | 0.269 | 169.11 | 297.5 | 0.228 | 143.37 |
| 23 | 295 | 0.515 | 161.7685 | 23 | 282.5 | 0.276 | 173.229 | 307.5 | 0.233 | 146.54 |
| 24 | 305 | 0.526 | 165.259 | 24 | 292.5 | 0.286 | 179.32 | 317.5 | 0.235 | 147.43 |
| 25 | 315 | 0.534 | 167.7655 | 25 | 302.5 | 0.298 | 187.443 | 327.5 | 0.230 | 144.32 |
| 26 | 325 | 0.540 | 169.5045 | 26 | 312.5 | 0.306 | 192.021 | 337.5 | 0.228 | 143.22 |
| 27 | 335 | 0.536 | 168.264 | 27 | 322.5 | 0.312 | 196.11 | 347.5 | 0.218 | 136.65 |
| 28 | 345 | 0.554 | 173.8155 | 28 | 332.5 | 0.337 | 211.663 | 357.5 | 0.211 | 132.2 |
| 29 | 355 | 0.569 | 178.7705 | 29 | 342.5 | 0.315 | 198.123 | 367.5 | 0.248 | 155.65 |
| 30 | 365 | 0.493 | 154.8215 | 30 | 352.5 | 0.323 | 202.545 | 377.5 | 0.165 | 103.33 |
| 31 | 375 | 0.504 | 158.322 | 31 | 362.5 | 0.335 | 210.665 | 387.5 | 0.163 | 102.211 |
| 32 | 385 | 0.501 | 157.2515 | 32 | 372.5 | 0.356 | 223.32 | 397.5 | 0.139 | 87.415 |
| 33 | 395 | 0.680 | 213.5755 | 33 | 382.5 | 0.603 | 378.843 | 407.5 | 0.071 | 44.54 |
| 34 | 405 | 0.316 | 99.2755 | 34 | 392.5 | 0.226 | 141.662 | 417.5 | 0.085 | 53.121 |
| 35 | 415 | 0.240 | 75.4025 | 35 | 402.5 | 0.139 | 87.126 | 427.5 | 0.095 | 59.911 |
| 36 | 425 | 0.260 | 81.526 | 36 | 412.5 | 0.147 | 92.113 | 437.5 | 0.107 | 67.171 |
| 37 | 435 | 0.273 | 85.7565 | 37 | 422.5 | 0.152 | 95.535 | 447.5 | 0.115 | 72.21 |
| 38 | 445 | 0.285 | 89.6005 | 38 | 432.5 | 0.158 | 99.321 | 457.5 | 0.121 | 76.112 |
| 39 | 455 | 0.319 | 100.274 | 39 | 442.5 | 0.193 | 121.13 | 467.5 | 0.120 | 75.65 |
| 40 | 465 | 0.324 | 101.6565 | 40 | 452.5 | 0.166 | 104.434 | 477.5 | 0.151 | 95.111 |
| 41 | 475 | 0.298 | 93.6505 | 41 | 462.5 | 0.173 | 108.546 | 487.5 | 0.119 | 74.987 |
| 42 | 485 | 0.257 | 80.7235 | 42 | 472.5 | 0.147 | 92.232 | 497.5 | 0.104 | 65.447 |
| 43 | 495 | 0.216 | 67.9805 | 43 | 482.5 | 0.107 | 67.433 | 507.5 | 0.103 | 64.76 |
| 44 | 505 | 0.175 | 54.9945 | 44 | 492.5 | 0.081 | 51.111 | 517.5 | 0.088 | 55.11 |

جدول ب-۳- داده های اندازه گیری شده برای پروفیل'CC(منطقه گلشهر).

| no. | wenner | | | left lee | | | right lee | | | |
|-----|--------|---------------|----------------------|----------|------|---------------|----------------------|------|---------------|----------------------|
| | d(m) | R(Ω) | $\rho_{a(\Omega.m)}$ | no. | d(m) | R(Ω) | $\rho_{a(\Omega.m)}$ | d(m) | R(Ω) | $\rho_{a(\Omega.m)}$ |
| 1 | 150 | 0.043 | 27.26 | 1 | 125 | 0.018 | 22.11 | 175 | 0.017 | 21.106 |
| 2 | 170 | 0.051 | 32.18 | 2 | 145 | 0.019 | 24.432 | 195 | 0.023 | 28.615 |
| 3 | 190 | 0.055 | 34.54 | 3 | 165 | 0.025 | 31.143 | 215 | 0.030 | 37.434 |
| 4 | 210 | 0.065 | 40.82 | 4 | 185 | 0.020 | 25.545 | 235 | 0.021 | 26.066 |
| 5 | 230 | 0.051 | 32.1 | 5 | 205 | 0.025 | 31.2 | 255 | 0.017 | 21.7 |
| 6 | 250 | 0.053 | 33.2 | 6 | 225 | 0.028 | 35.1 | 275 | 0.016 | 20 |
| 7 | 270 | 0.049 | 30.7 | 7 | 245 | 0.023 | 29.3 | 295 | 0.017 | 20.8 |
| 8 | 290 | 0.047 | 29.8 | 8 | 265 | 0.025 | 30.8 | 315 | 0.014 | 17.5 |
| 9 | 310 | 0.046 | 28.65 | 9 | 285 | 0.024 | 30 | 335 | 0.013 | 16 |
| 10 | 330 | 0.078 | 49.09 | 10 | 305 | 0.024 | 30 | 355 | 0.045 | 56.878 |
| 11 | 350 | 0.112 | 70.28 | 11 | 325 | 0.025 | 30.8 | 375 | 0.078 | 98.464 |
| 12 | 370 | 0.147 | 92.14 | 12 | 345 | 0.036 | 45.311 | 395 | 0.102 | 127.659 |
| 13 | 390 | 0.176 | 110.4 | 13 | 365 | 0.078 | 98.14 | 415 | 0.089 | 111.434 |
| 14 | 410 | 0.244 | 153.4 | 14 | 385 | 0.148 | 185.509 | 435 | 0.088 | 109.97 |
| 15 | 430 | 0.238 | 149.4 | 15 | 405 | 0.142 | 178.34 | 455 | 0.087 | 109.2 |
| 16 | 450 | 0.229 | 143.7 | 16 | 425 | 0.136 | 171.43 | 475 | 0.083 | 104.632 |
| 17 | 470 | 0.232 | 145.6 | 17 | 445 | 0.133 | 166.656 | 495 | 0.090 | 113.3 |
| 18 | 490 | 0.219 | 137.4 | 18 | 465 | 0.114 | 143.512 | 515 | 0.096 | 120.009 |
| 19 | 510 | 0.219 | 137.7 | 19 | 485 | 0.105 | 132 | 535 | 0.105 | 132.16 |
| 20 | 530 | 0.228 | 143.2 | 20 | 505 | 0.106 | 133.3 | 555 | 0.113 | 141.7 |
| 21 | 550 | 0.235 | 147.8 | 21 | 525 | 0.107 | 135 | 575 | 0.119 | 149.2 |
| 22 | 570 | 0.237 | 149 | 22 | 545 | 0.110 | 138.3 | 595 | 0.118 | 148.318 |
| 23 | 590 | 0.247 | 155.1 | 23 | 565 | 0.113 | 142.22 | 615 | 0.125 | 156.74 |

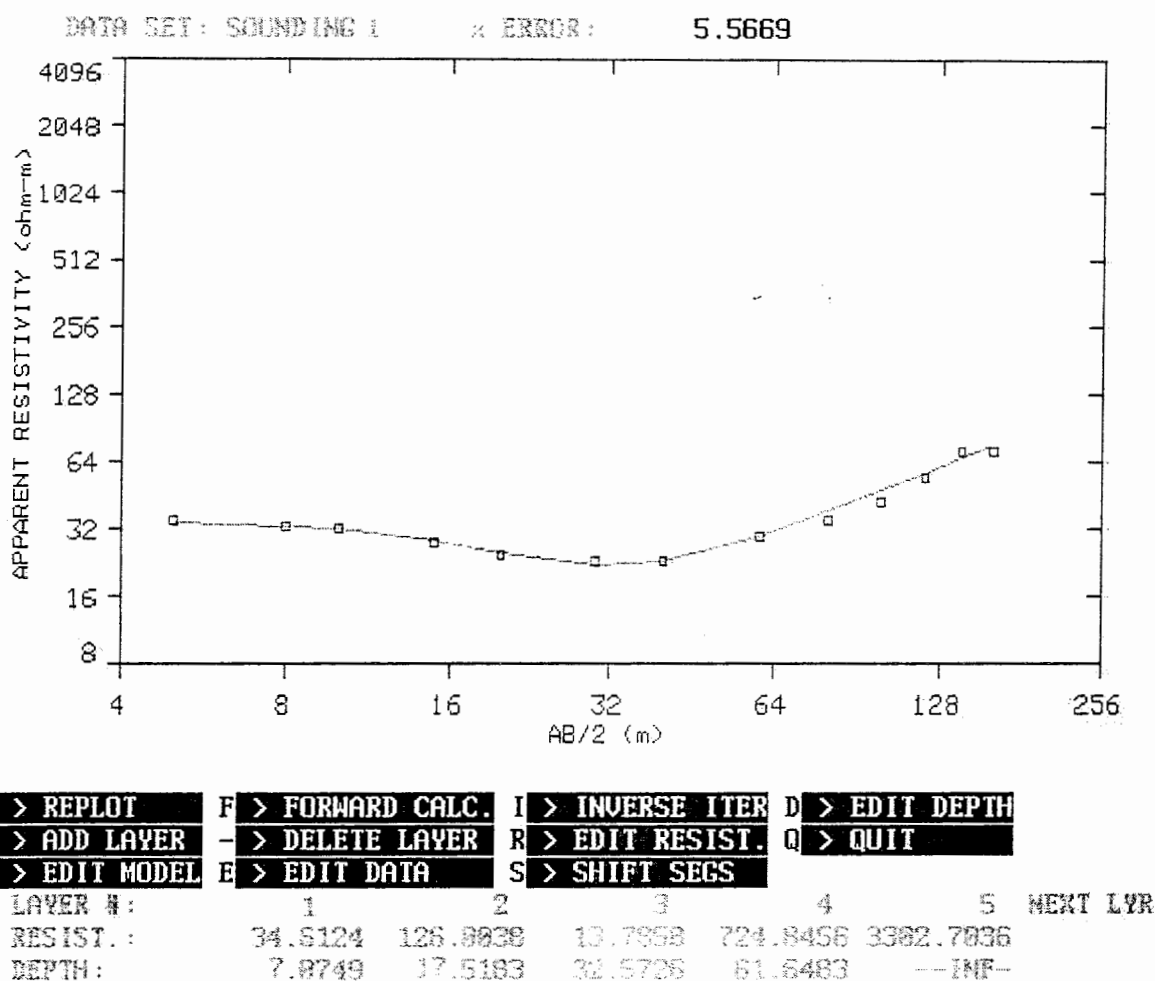
جدول ب-۴- داده های اندازه گیری شده برای پروفیل'DD(منطقه کنه بیست).

| no. | wenner | | | left lee | | | Right lee | | | |
|-----|--------|---------------|----------------------|----------|-------|---------------|----------------------|-------|---------------|----------------------|
| | d(m) | R(Ω) | $\rho_{a(\Omega.m)}$ | no. | d(m) | R(Ω) | $\rho_{a(\Omega.m)}$ | d(m) | R(Ω) | $\rho_{a(\Omega.m)}$ |
| 1 | 75 | 0.181 | 56.834 | 1 | 62.5 | 0.037 | 23.24 | 87.5 | 0.065 | 40.82 |
| 2 | 125 | 0.106 | 33.284 | 2 | 112.5 | 0.049 | 30.77 | 137.5 | 0.059 | 37.052 |
| 3 | 175 | 0.086 | 27.004 | 3 | 162.5 | 0.042 | 26.38 | 187.5 | 0.049 | 30.772 |
| 4 | 225 | 0.08 | 25.12 | 4 | 212.5 | 0.024 | 15.07 | 237.5 | 0.04 | 25.12 |
| 5 | 275 | 0.082 | 25.748 | 5 | 262.5 | 0.042 | 26.38 | 287.5 | 0.04 | 25.12 |
| 6 | 325 | 0.09 | 28.26 | 6 | 312.5 | 0.049 | 30.77 | 337.5 | 0.11 | 69.08 |
| 7 | 375 | 0.083 | 26.062 | 7 | 362.5 | 0.053 | 33.28 | 387.5 | 0.035 | 21.98 |
| 8 | 425 | 0.162 | 50.868 | 8 | 412.5 | 0.051 | 32.03 | 437.5 | 0.121 | 75.988 |
| 9 | 475 | 0.106 | 33.284 | 9 | 462.5 | 0.04 | 25.12 | 487.5 | 0.07 | 43.96 |
| 10 | 525 | 0.077 | 24.178 | 10 | 512.5 | 0.065 | 40.82 | 537.5 | 0.031 | 19.468 |
| 11 | 575 | 0.111 | 34.854 | 11 | 562.5 | 0.044 | 27.63 | 587.5 | 0.074 | 46.472 |
| 12 | 625 | 0.083 | 26.062 | 12 | 612.5 | 0.04 | 25.12 | 637.5 | 0.043 | 27.004 |

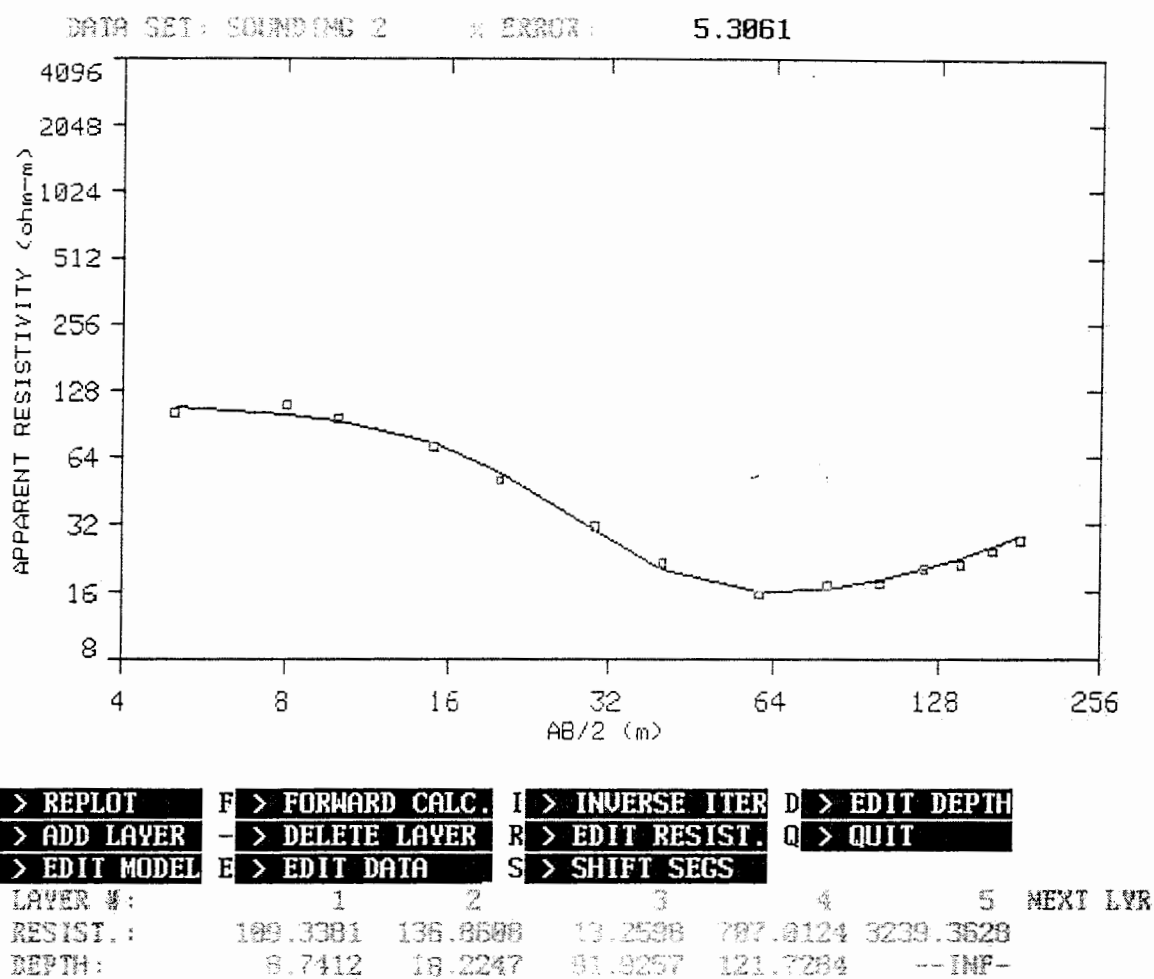


شكل ج-۶۲- مدلسازی یک بعدی سوندazer S₆₃ با نرم افزار RESIX

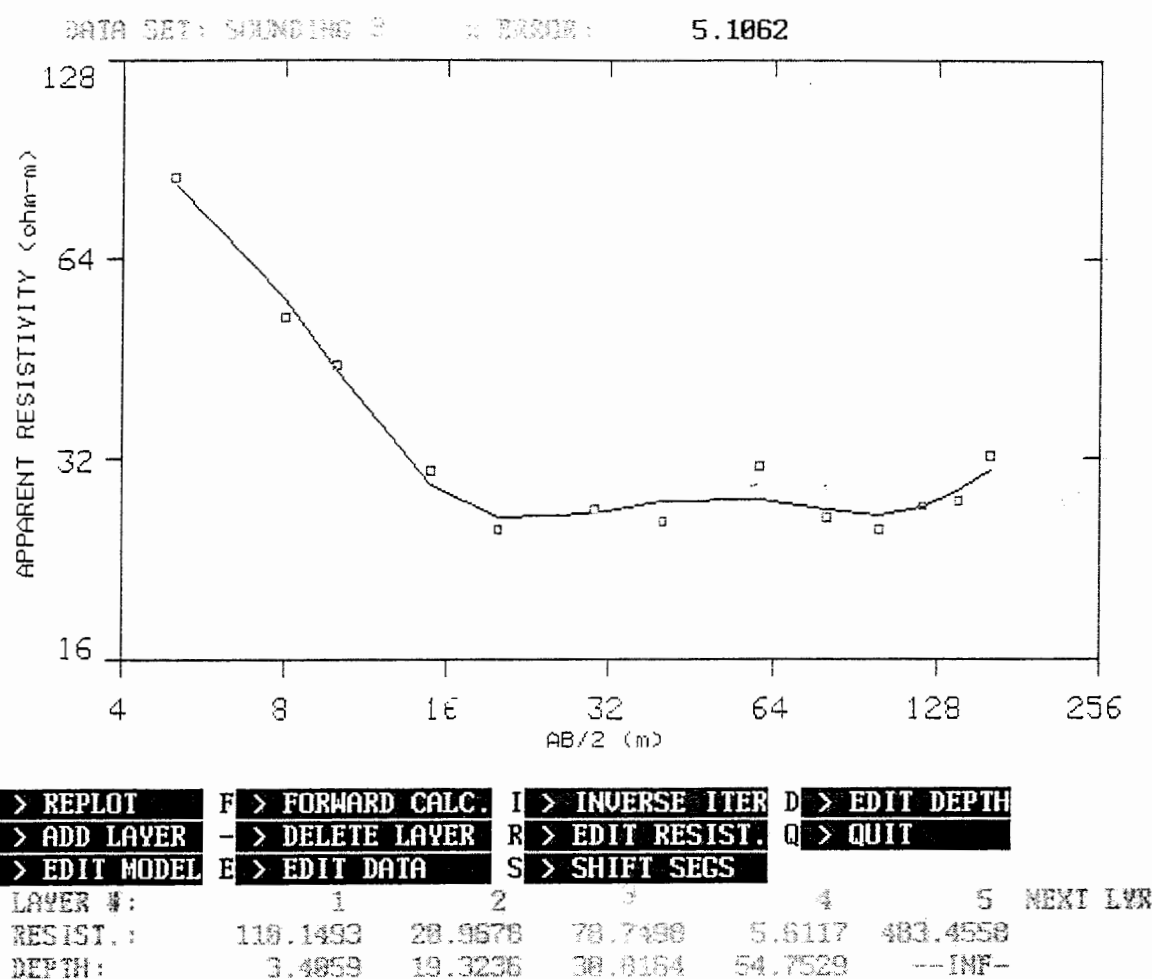
پیوست ج - اشکال مربوط به مدلسازی یک بعدی سوندazerها با استفاده از نرم افزار RESIX



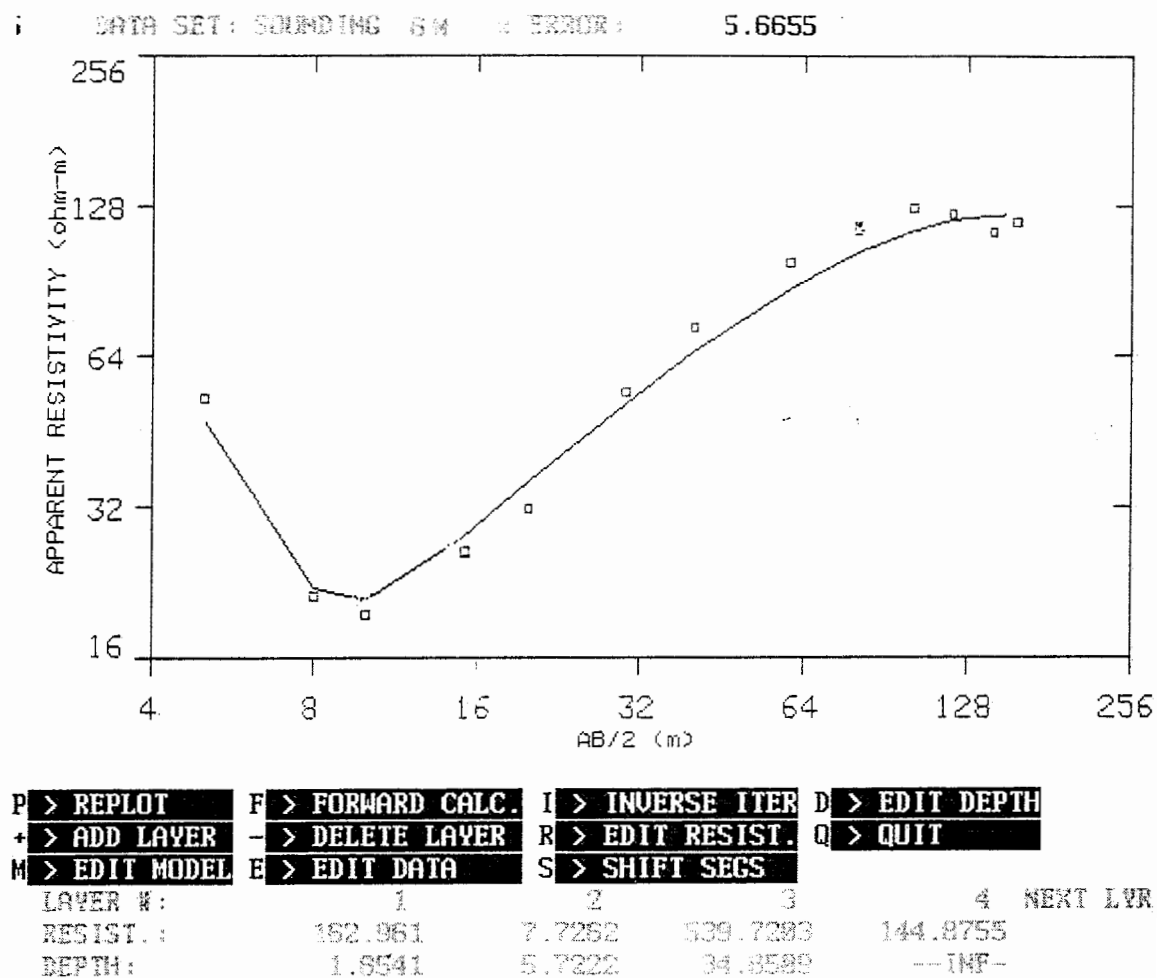
شکل ج-۱- مدلسازی یک بعدی سوندazer S₁ با نرم افزار RESIX



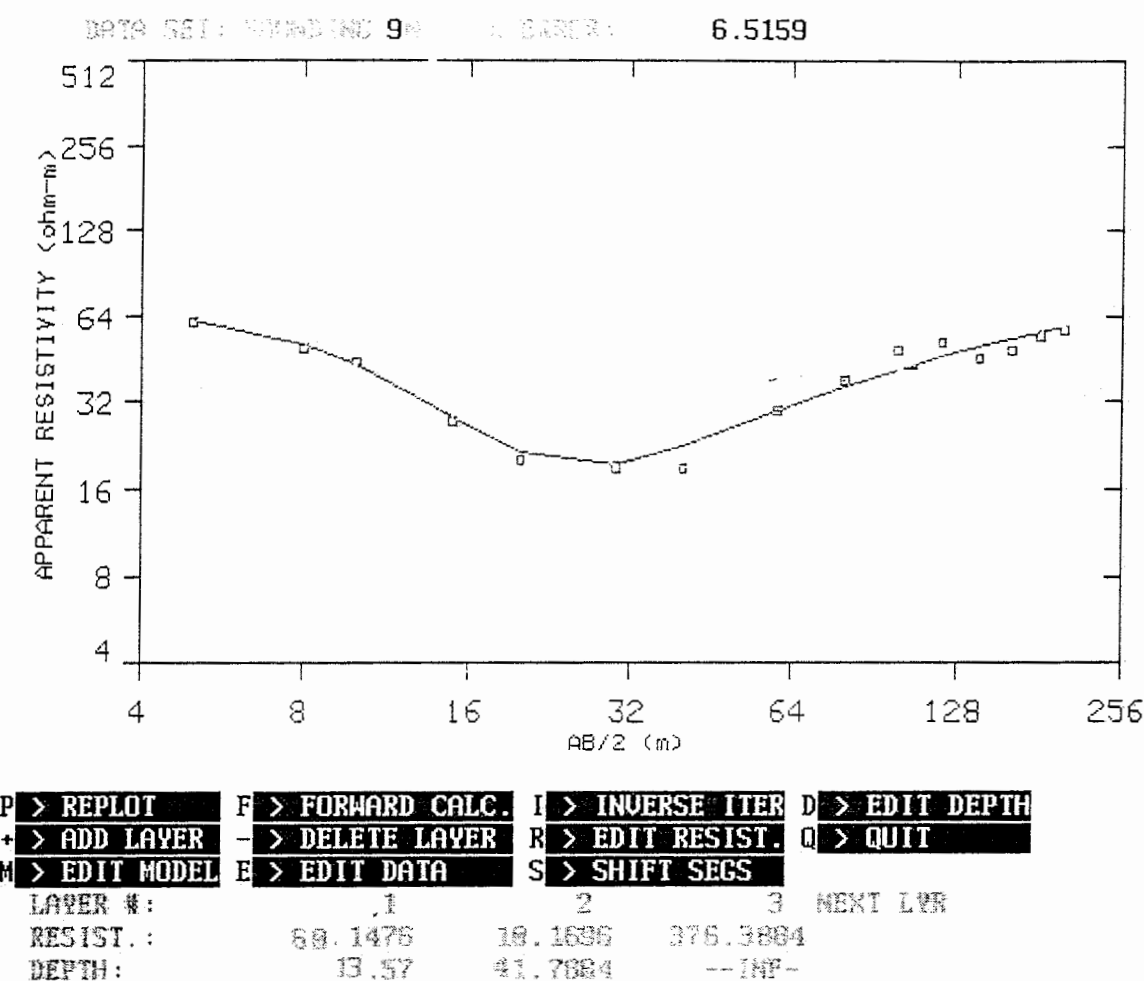
شکل ج-۲- مدلسازی یک بعدی سوندazer S₂ با نرم افزار RESIX .



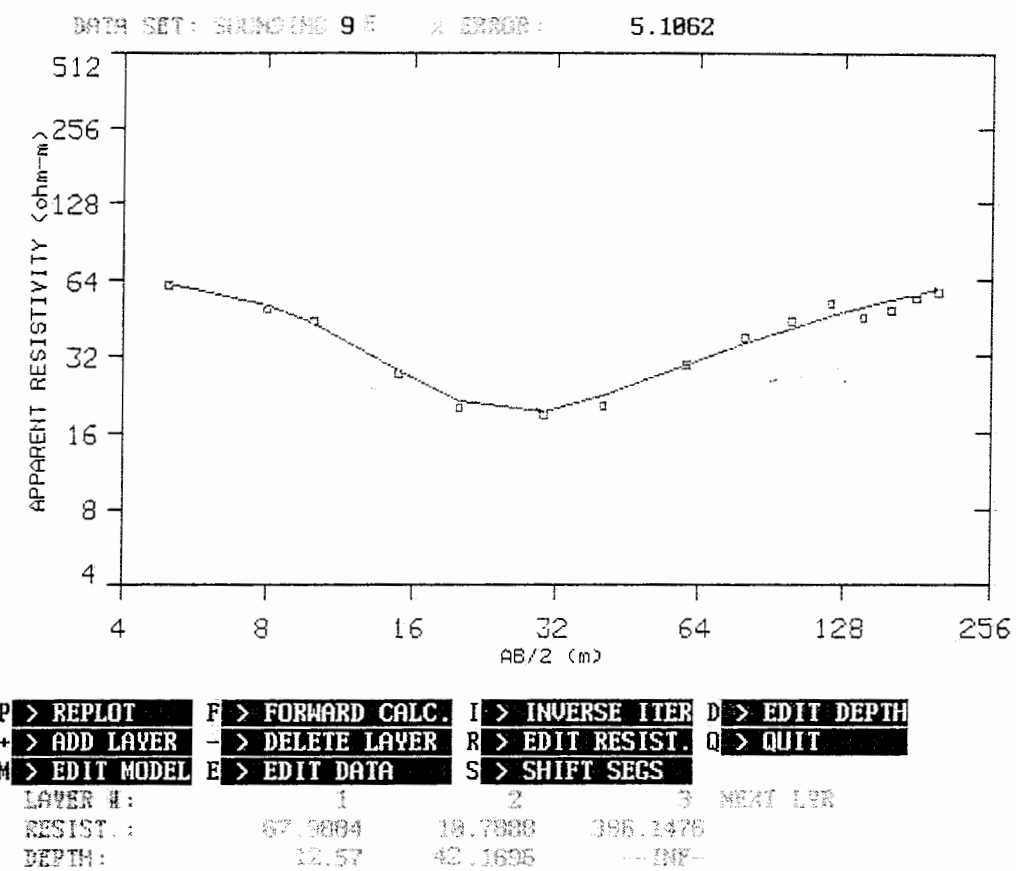
شکل ج-۳- مدلسازی یک بعدی سوندراز S₃ با نرم افزار RESIX .



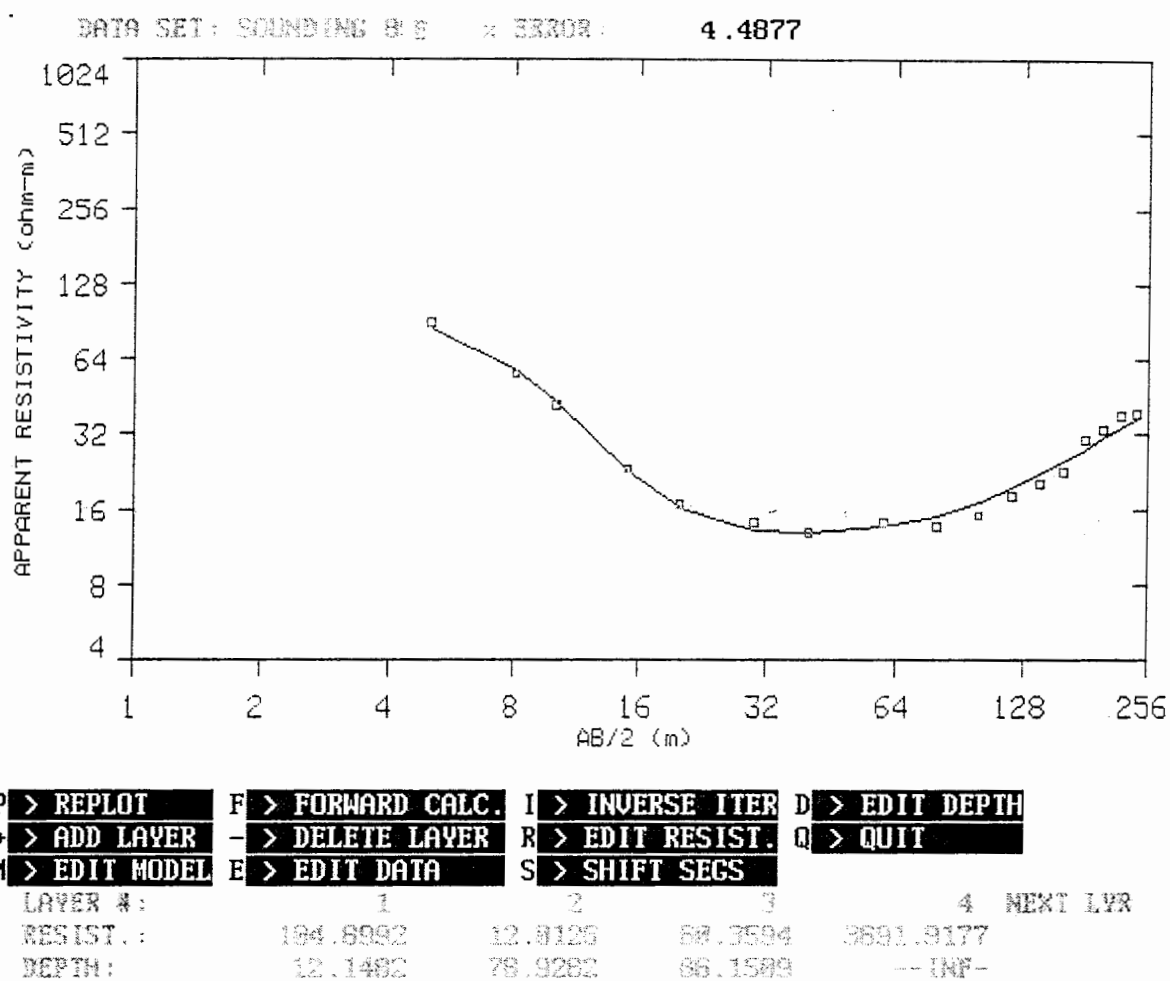
شکل ج-۴- مدلسازی یک بعدی سوندazer S_{6N} با نرم افزار RESIX .



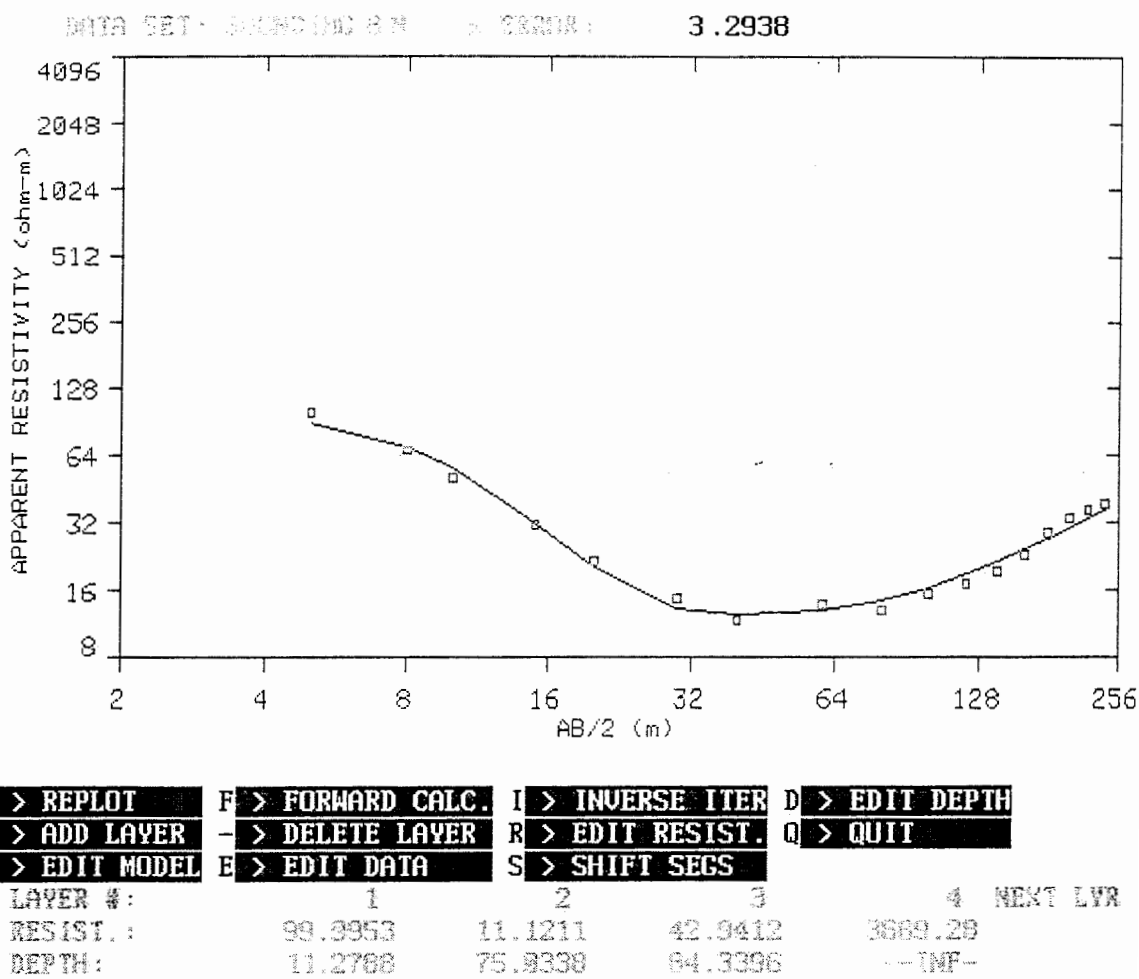
شكل ج-۵- مدلسازی یک بعدی سوندazer S_{9N} با نرم افزار RESIX .



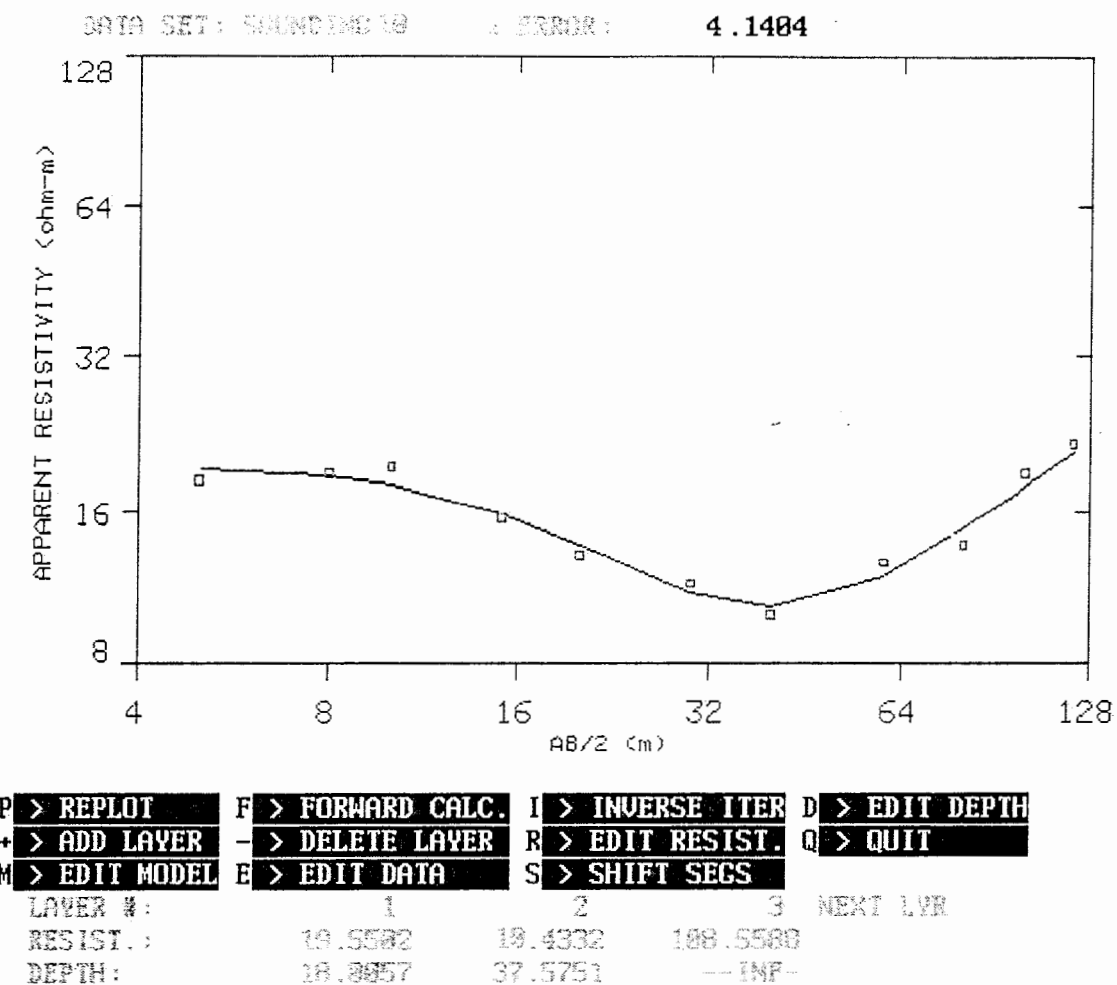
شکل ج-۶- مدلسازی یک بعدی سوندazer S_{9E} با نرم افزار RESIX .



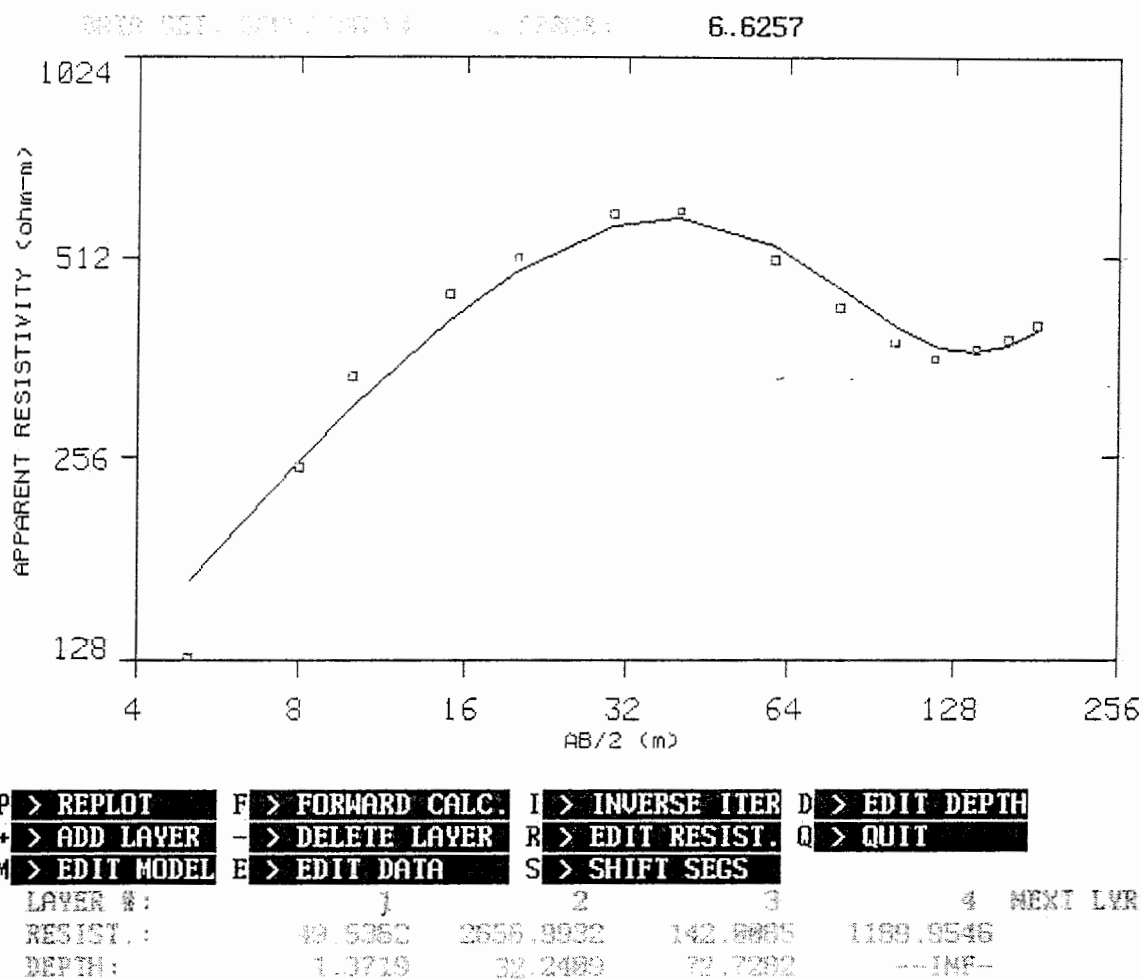
شکل ج-۷- مدلسازی یک بعدی سوندazer S_{8E} با نرم افزار RESIX



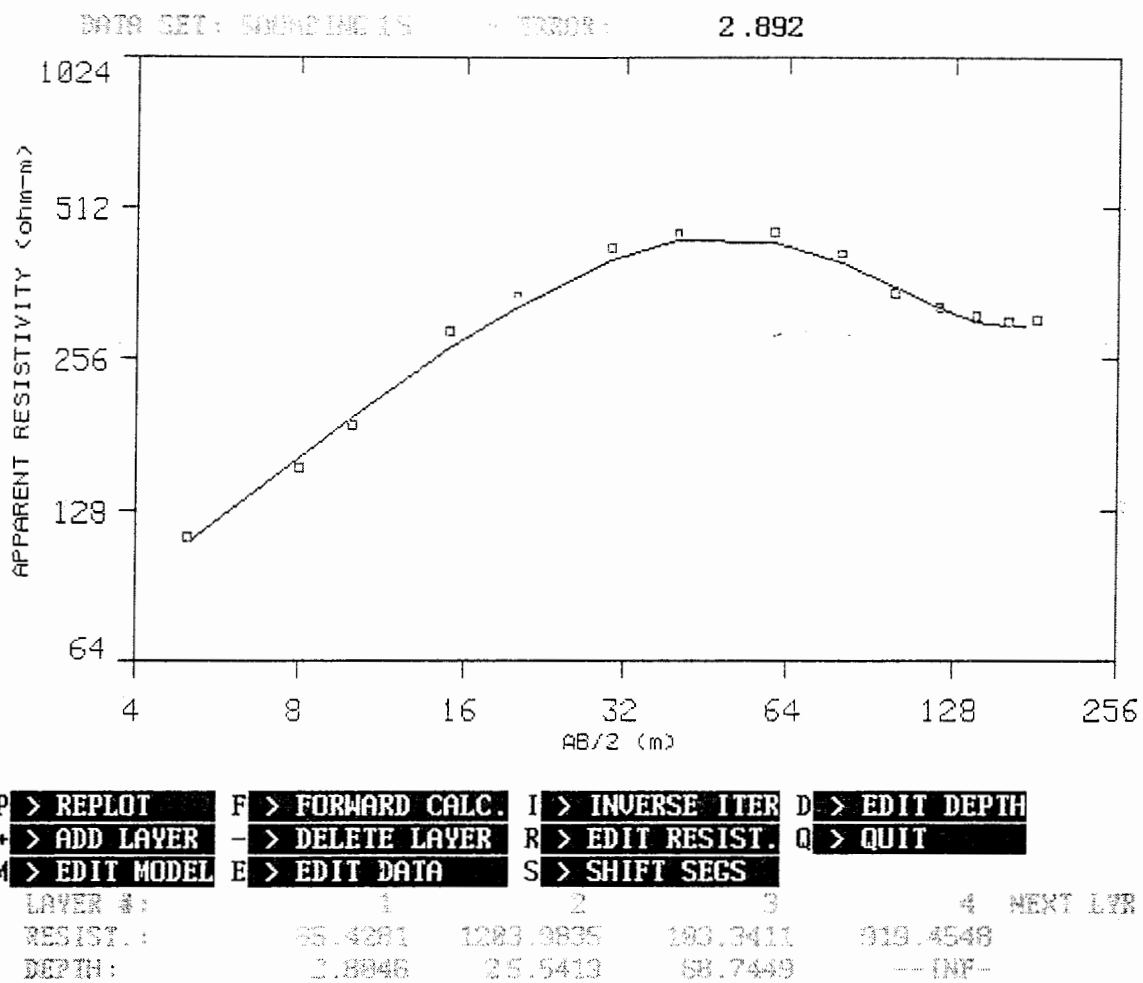
شکل ج-۸- مدلسازی یک بعدی سوندazer S_{8N} با نرم افزار RESIX .



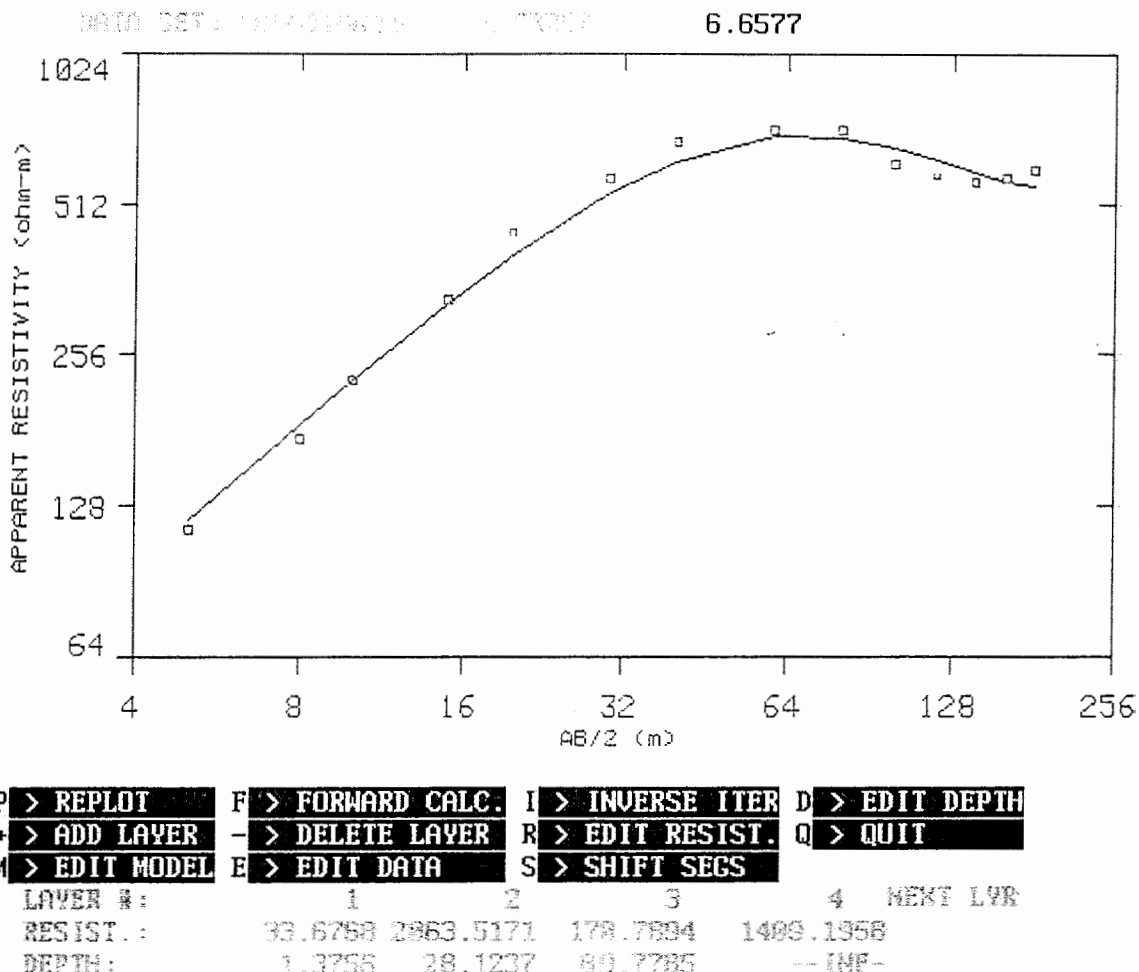
شکل ج-۹- مدلسازی یک بعدی سوندazer S₁₀ با نرم افزار RESIX .



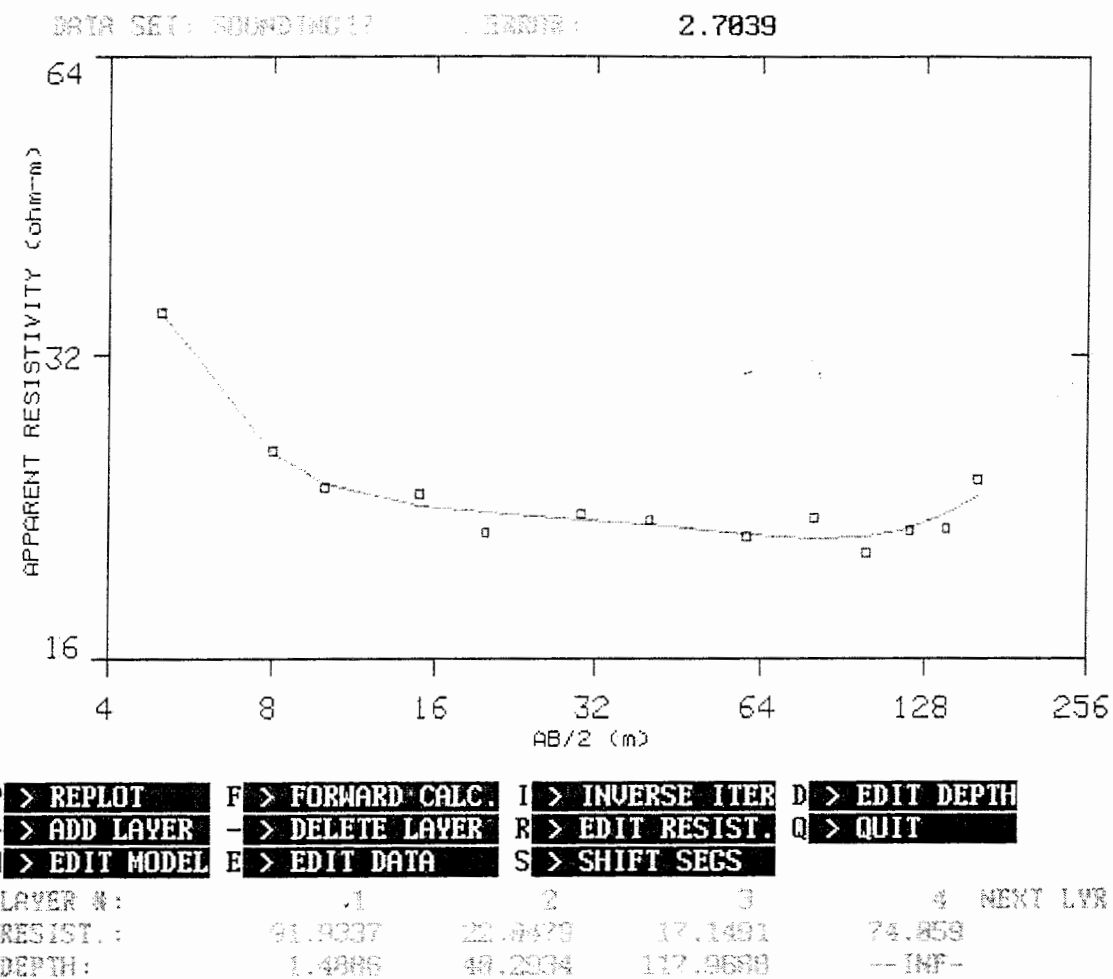
شکل ج-۱۳- مدلسازی یک بعدی سوندazer S₁₄ با نرم افزار RESIX .



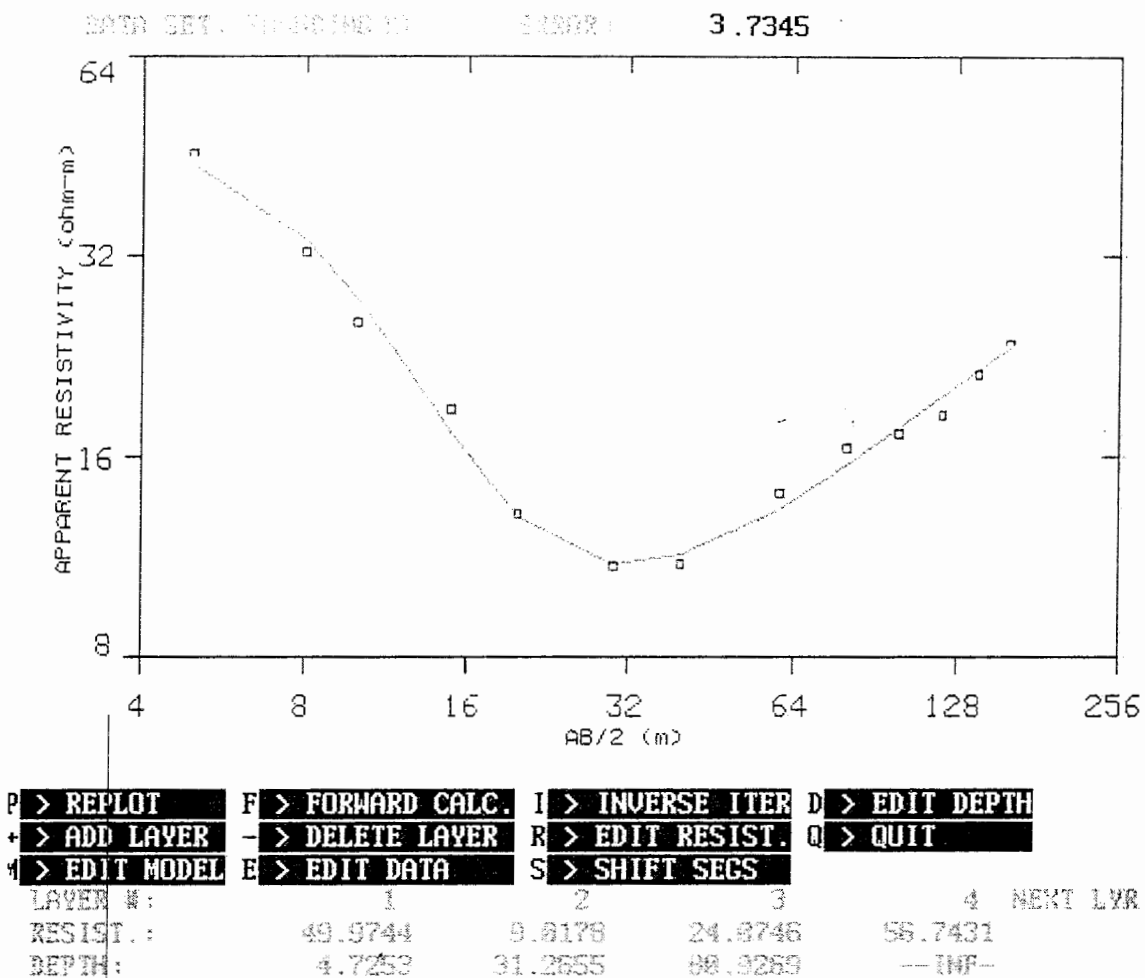
شکل ج-۱۴- مدلسازی یک بعدی سوندazer S₁₅ با نرم افزار RESIX .



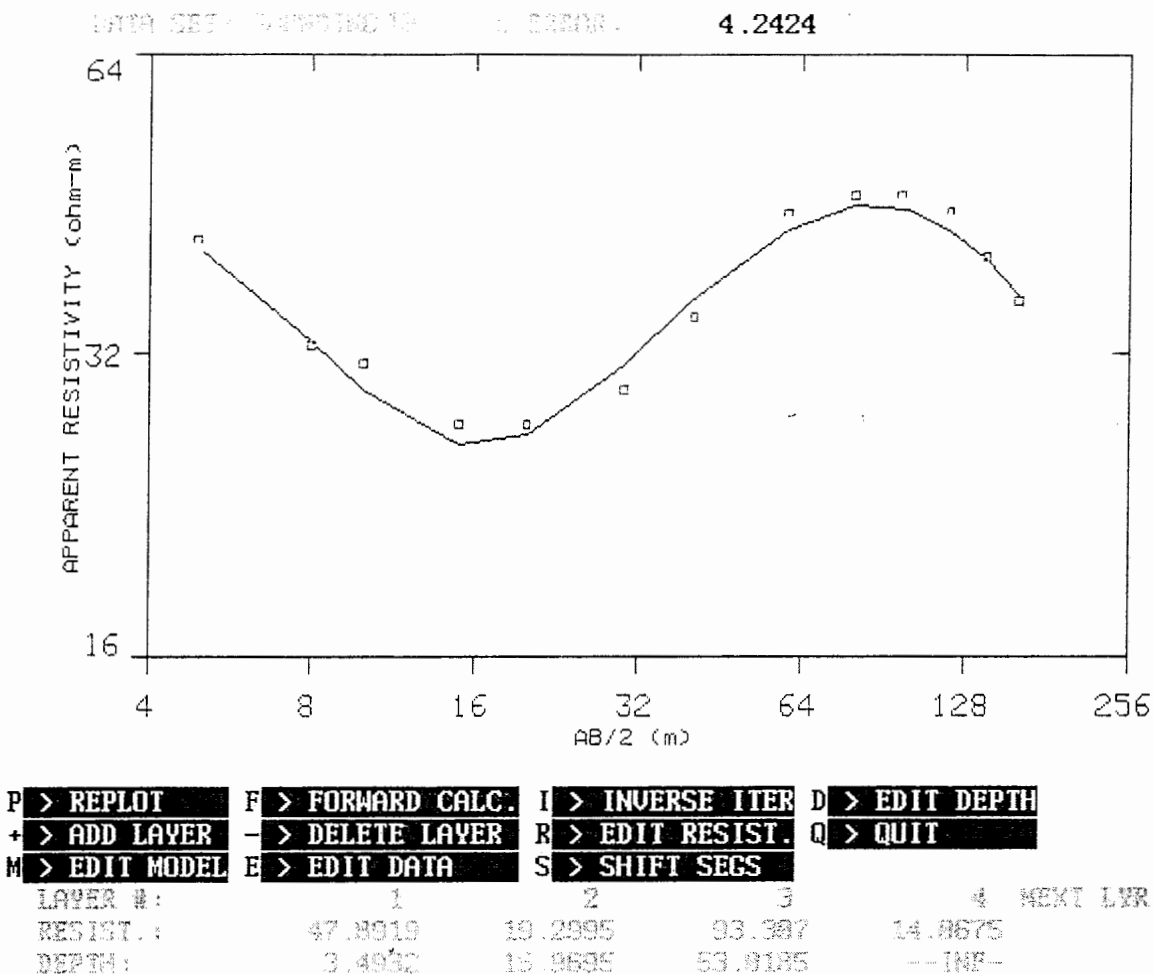
شکل ج-۱۵- مدلسازی یک بعدی سوندazer S₁₆ با نرم افزار RESIX .



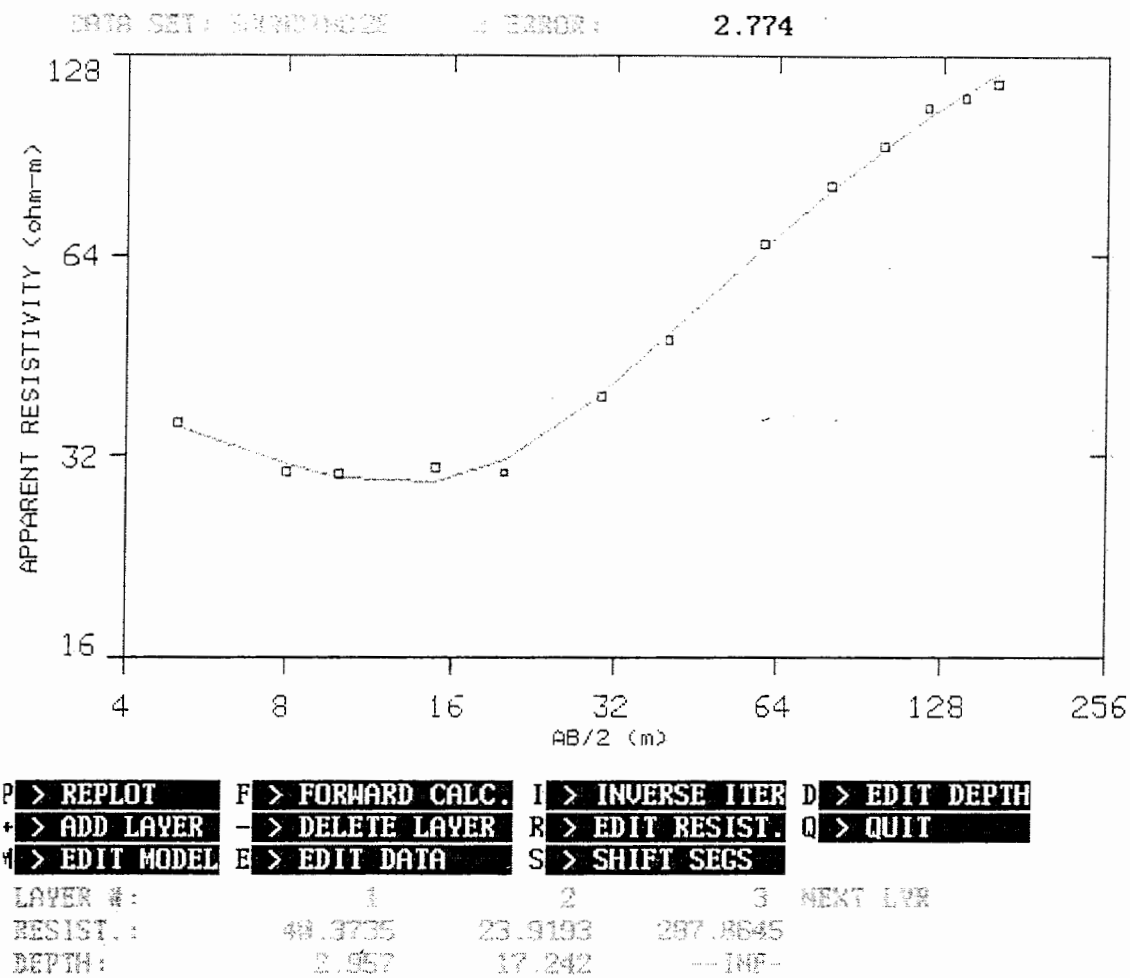
شکل ج-۱۶- مدلسازی یک بعدی سوندazer S₁₇ با نرم افزار RESIX .



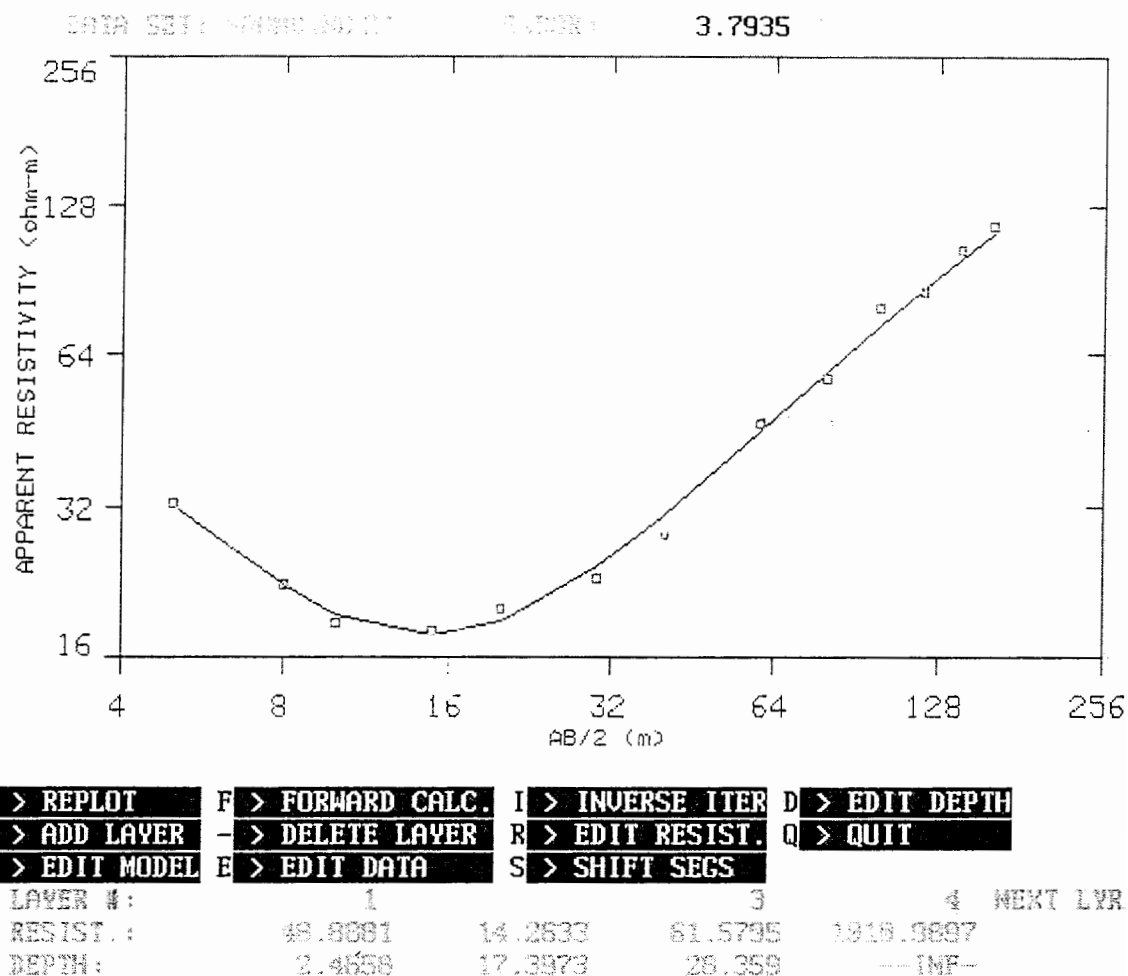
شکل ج-۱۷- مدلسازی یک بعدی سوندazer S₁₈ با نرم افزار RESIX .



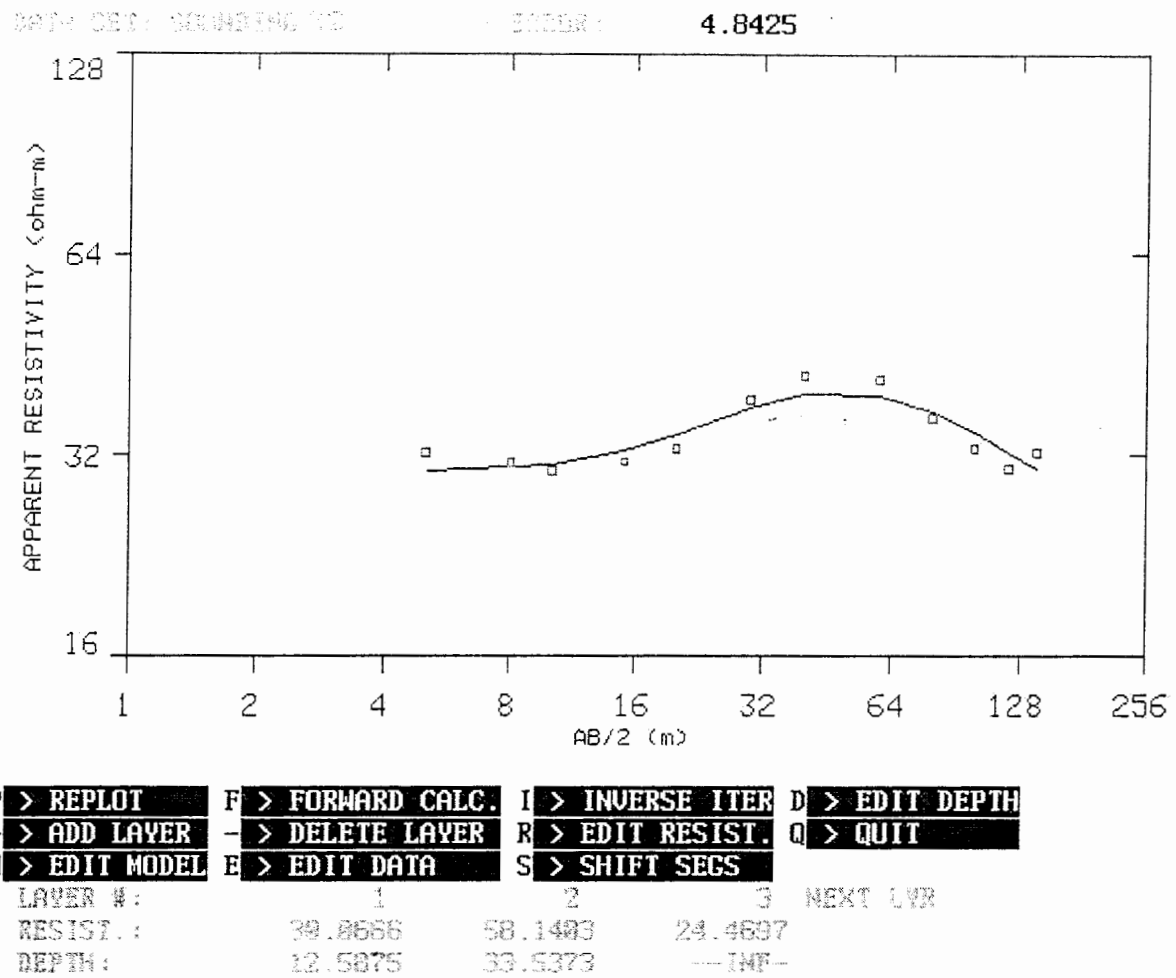
شکل ج-۱۸- مدلسازی یک بعدی سوندazer S19 با نرم افزار RESIX .



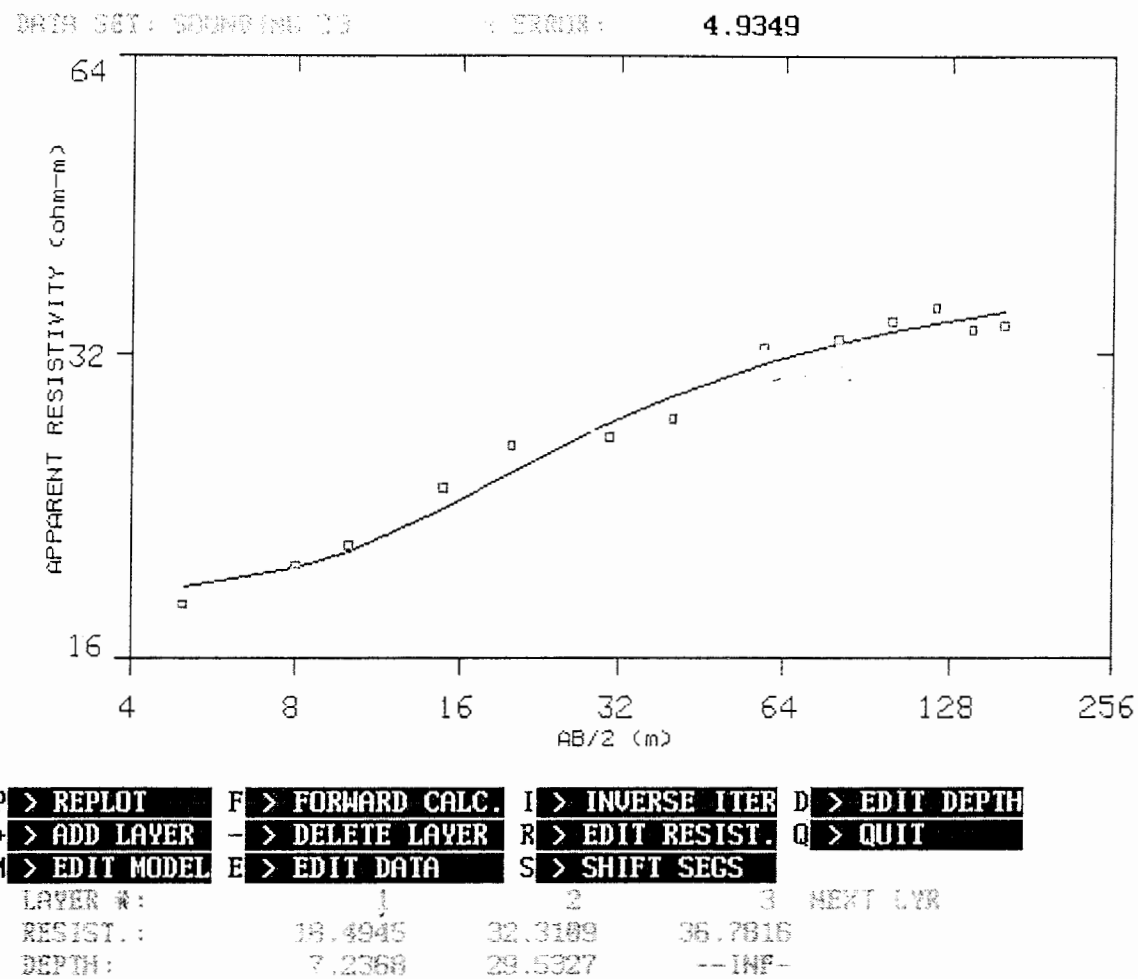
شکل ج-۱۹- مدلسازی یک بعدی سوندazer S₂₀ با نرم افزار RESIX .



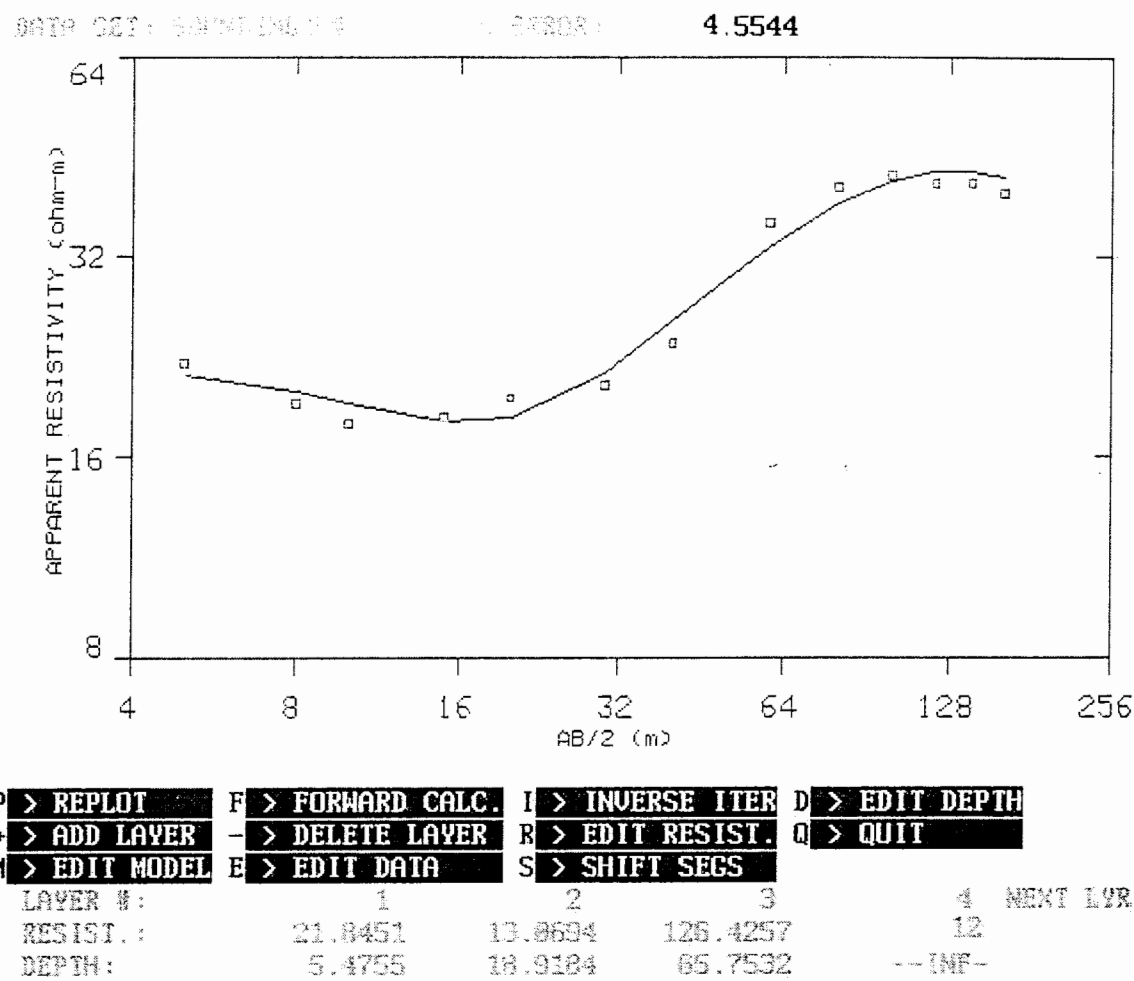
شکل ج-۲۰- مدلسازی یک بعدی سوندazer S_{21} با نرم افزار RESIX .



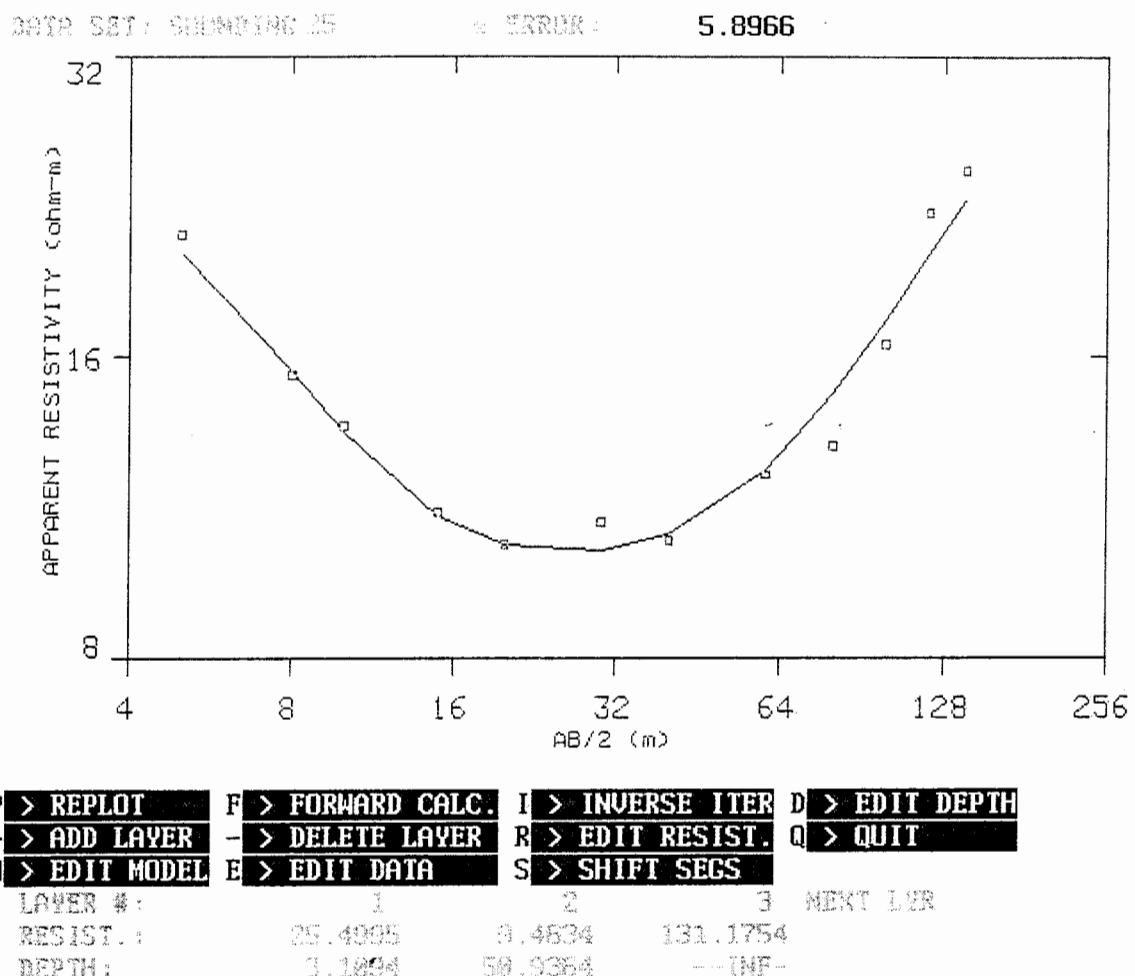
شکل ج-۲۱- مدلسازی یک بعدی سوندazer S₂₂ با نرم افزار RESIX .



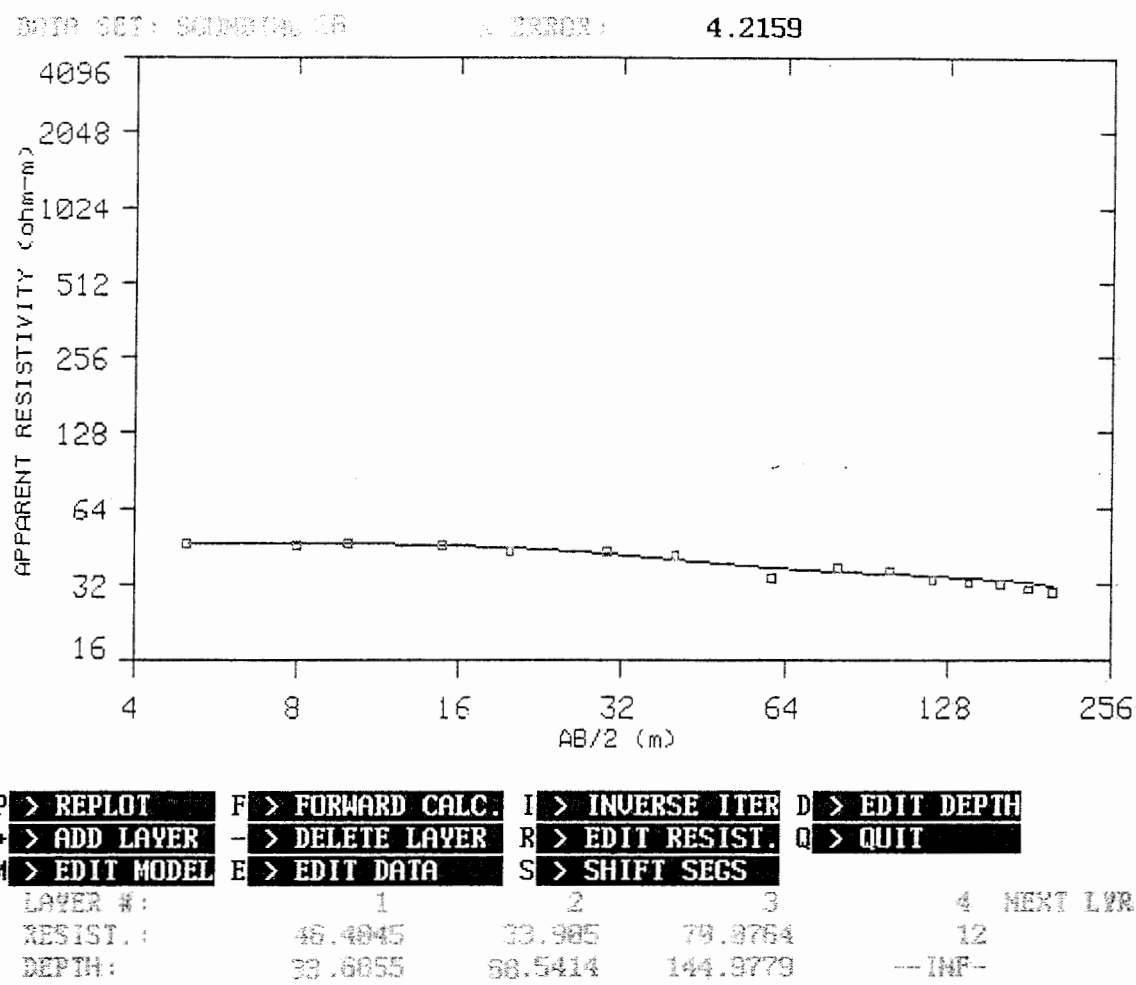
شکل ج-۲۲- مدلسازی یک بعدی سوندazer S₂₃ با نرم افزار RESIX .



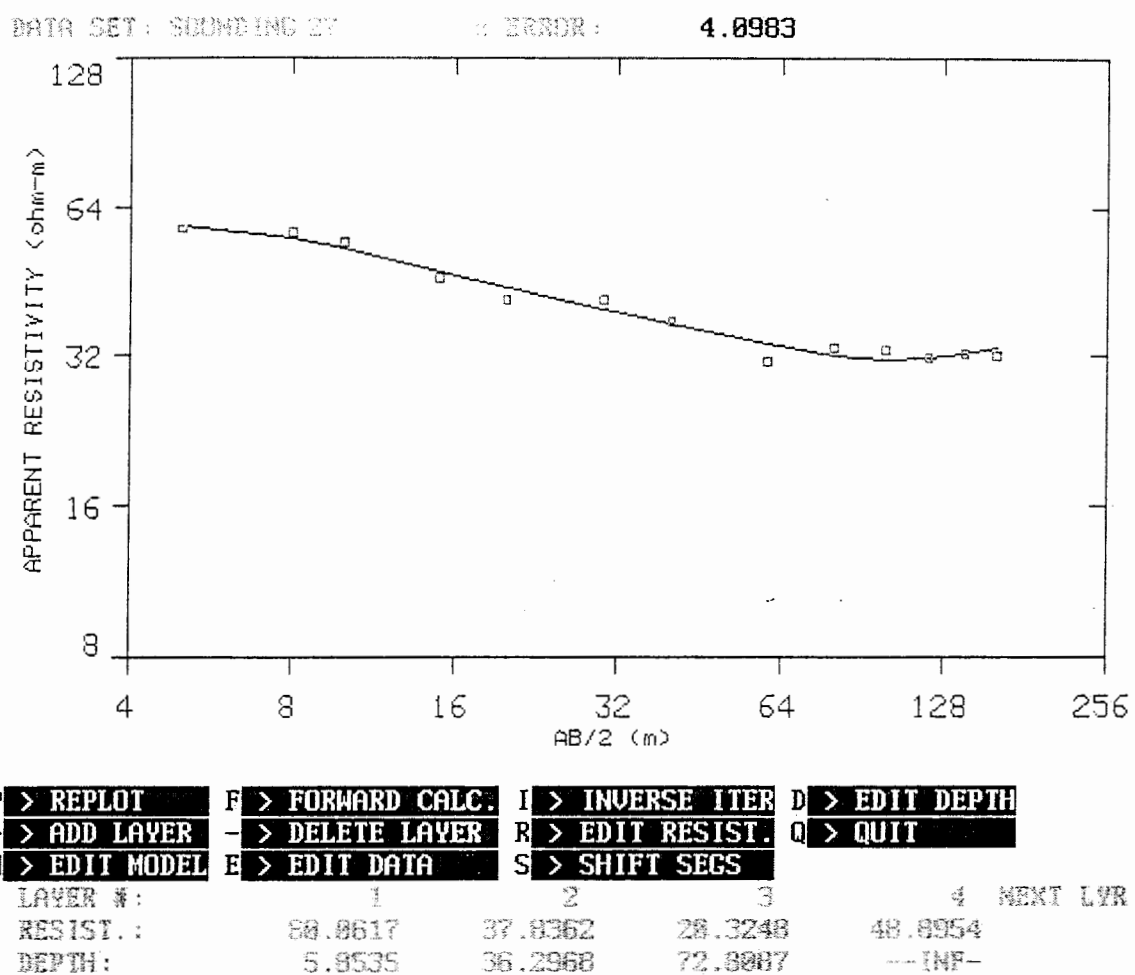
شکل ج-۲۳- مدلسازی یک بعدی سوندazer S₂₄ با نرم افزار RESIX .



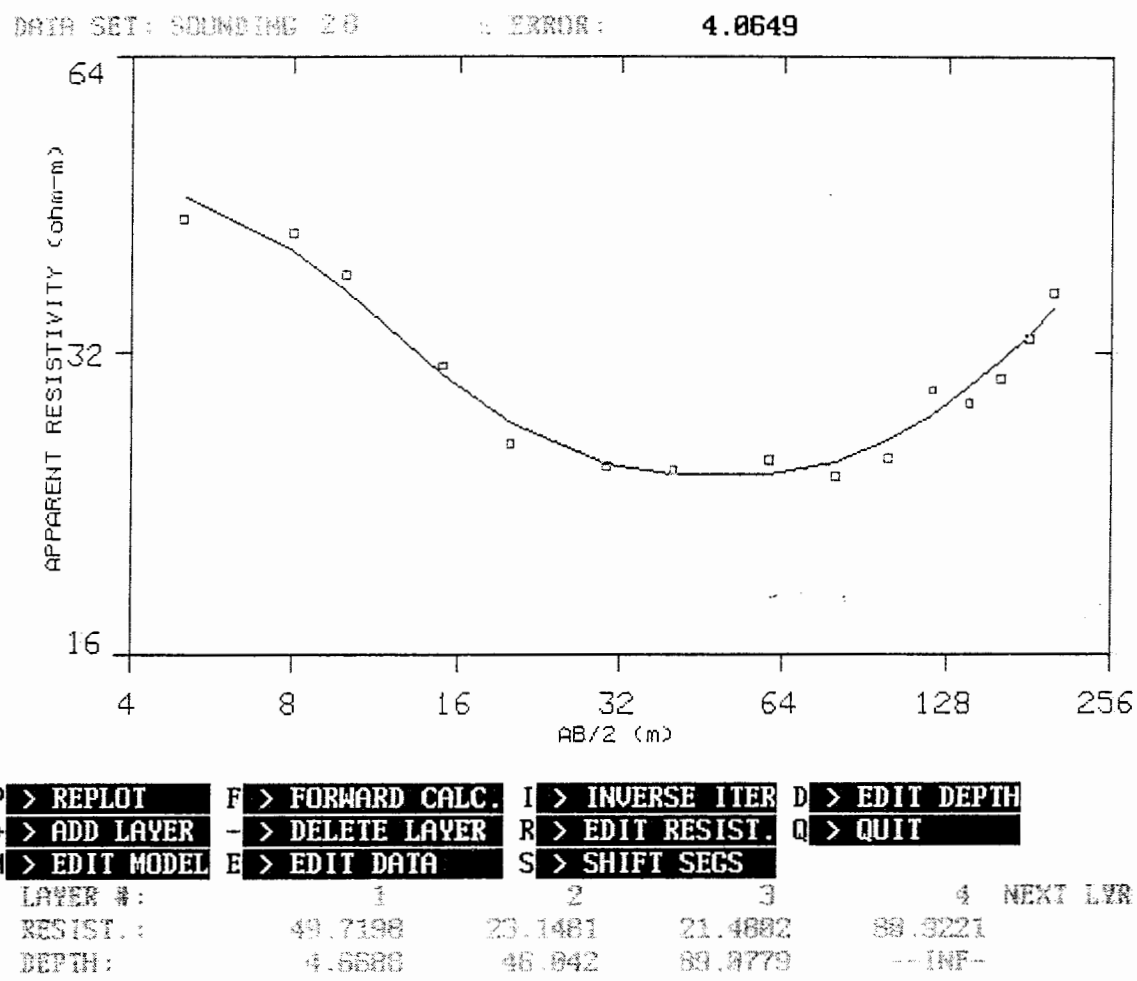
شکل ج-۲۴- مدلسازی یک بعدی سوندazer S₂₅ با نرم افزار RESIX .



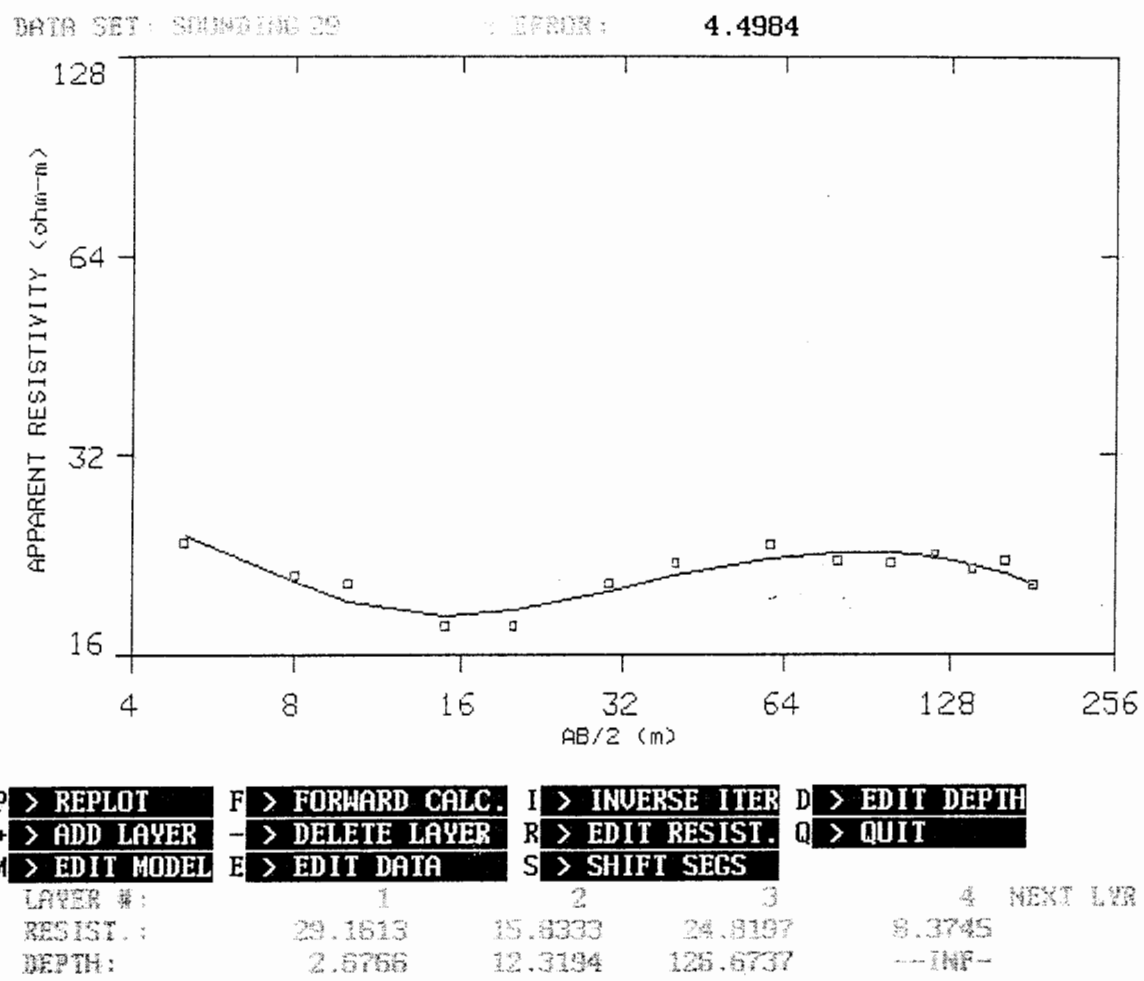
شکل ج-۲۵- مدلسازی یک بعدی سوندazer₂₆ با نرم افزار RESIX .



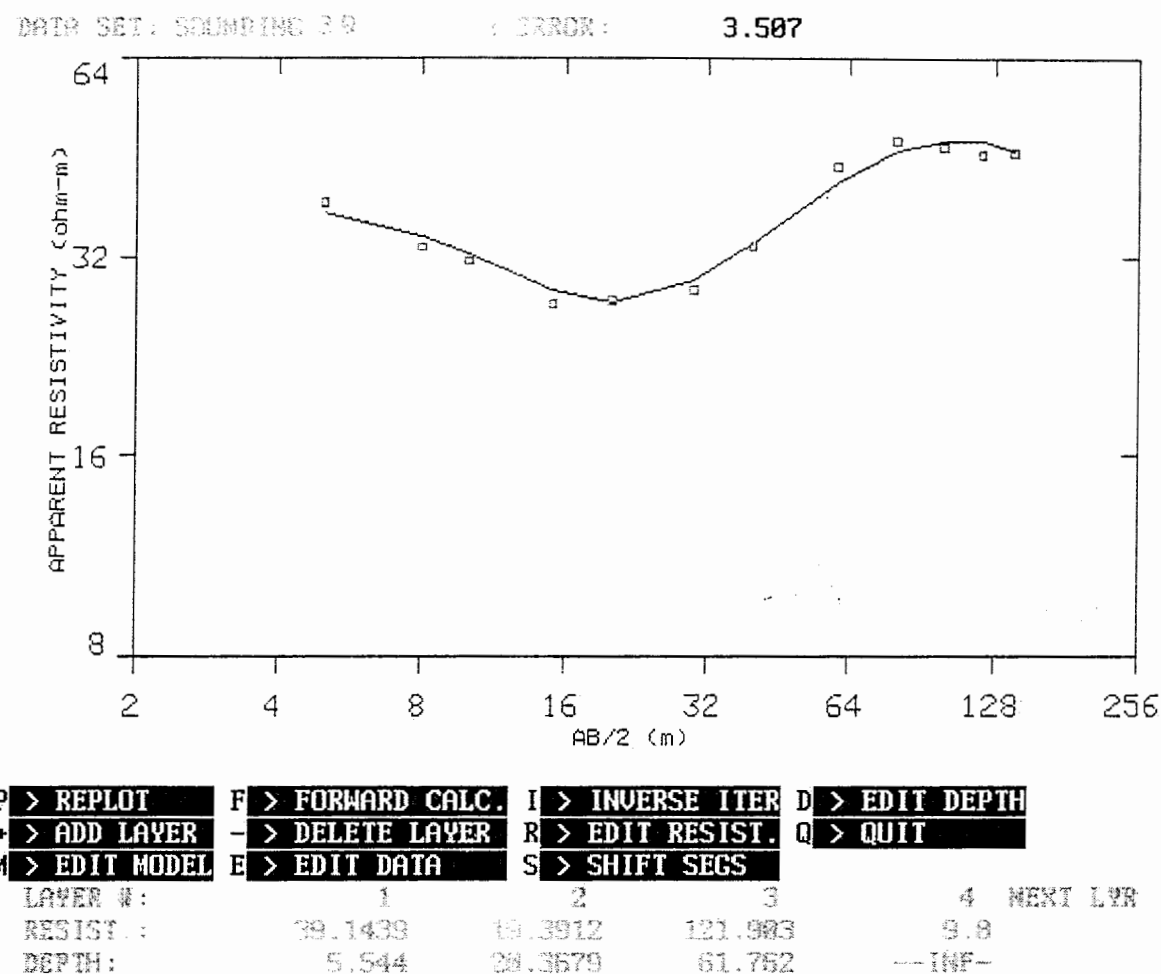
شکل ج-۲۶- مدلسازی یک بعدی سوندazer S₂₇ با نرم افزار RESIX



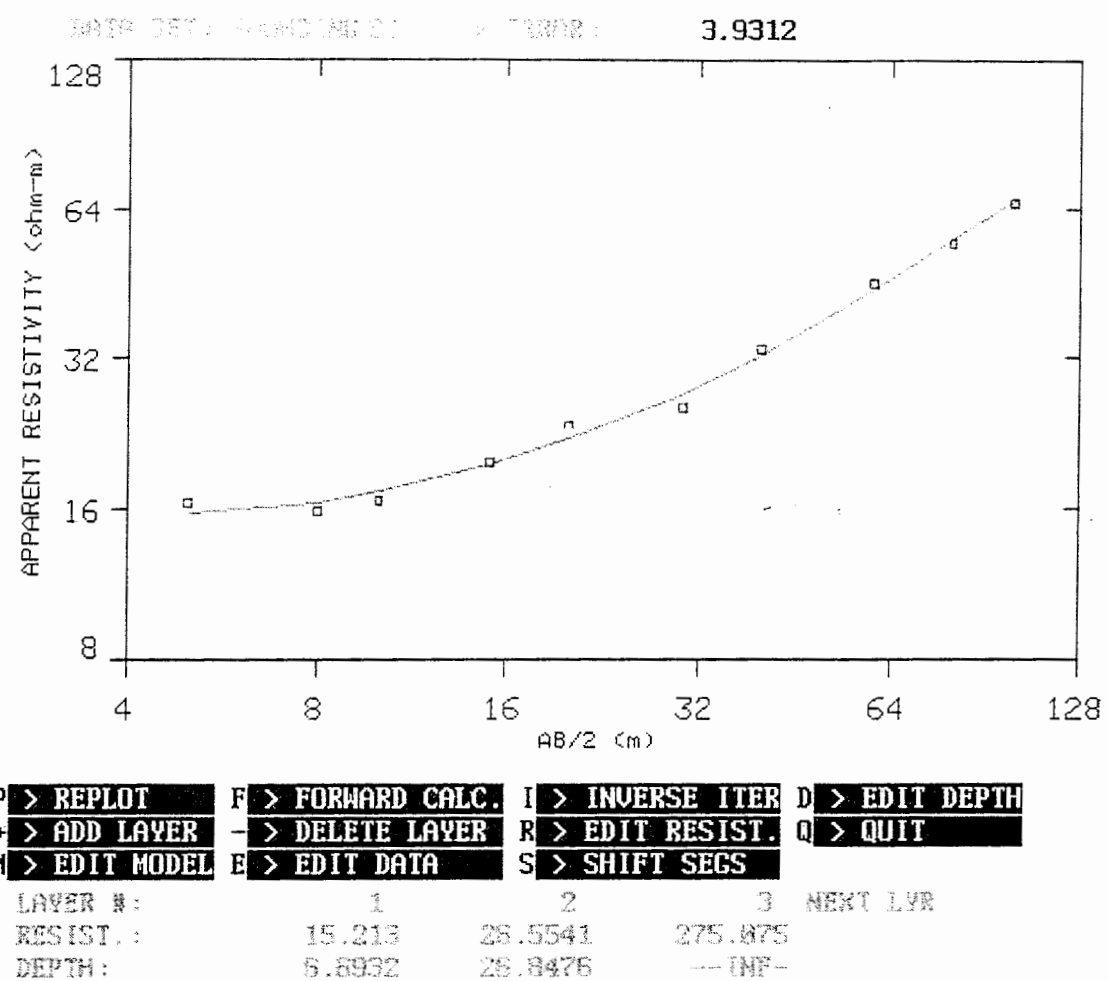
شکل ج-۲۷- مدلسازی یک بعدی سوندaz S₂₈ با نرم افزار RESIX .



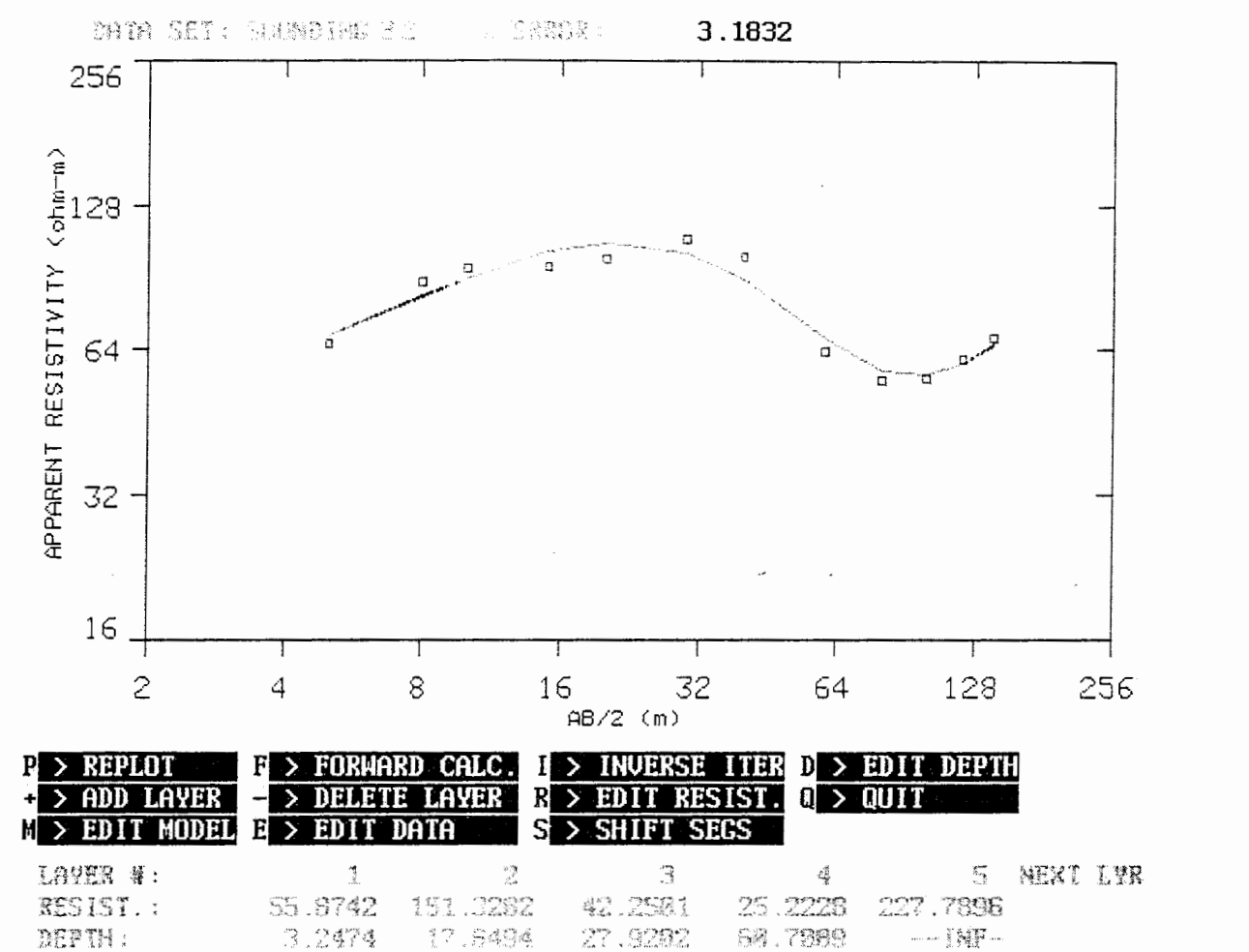
شکل ج-۲۸- مدلسازی یک بعدی سوندazer S₂₉ با نرم افزار RESIX



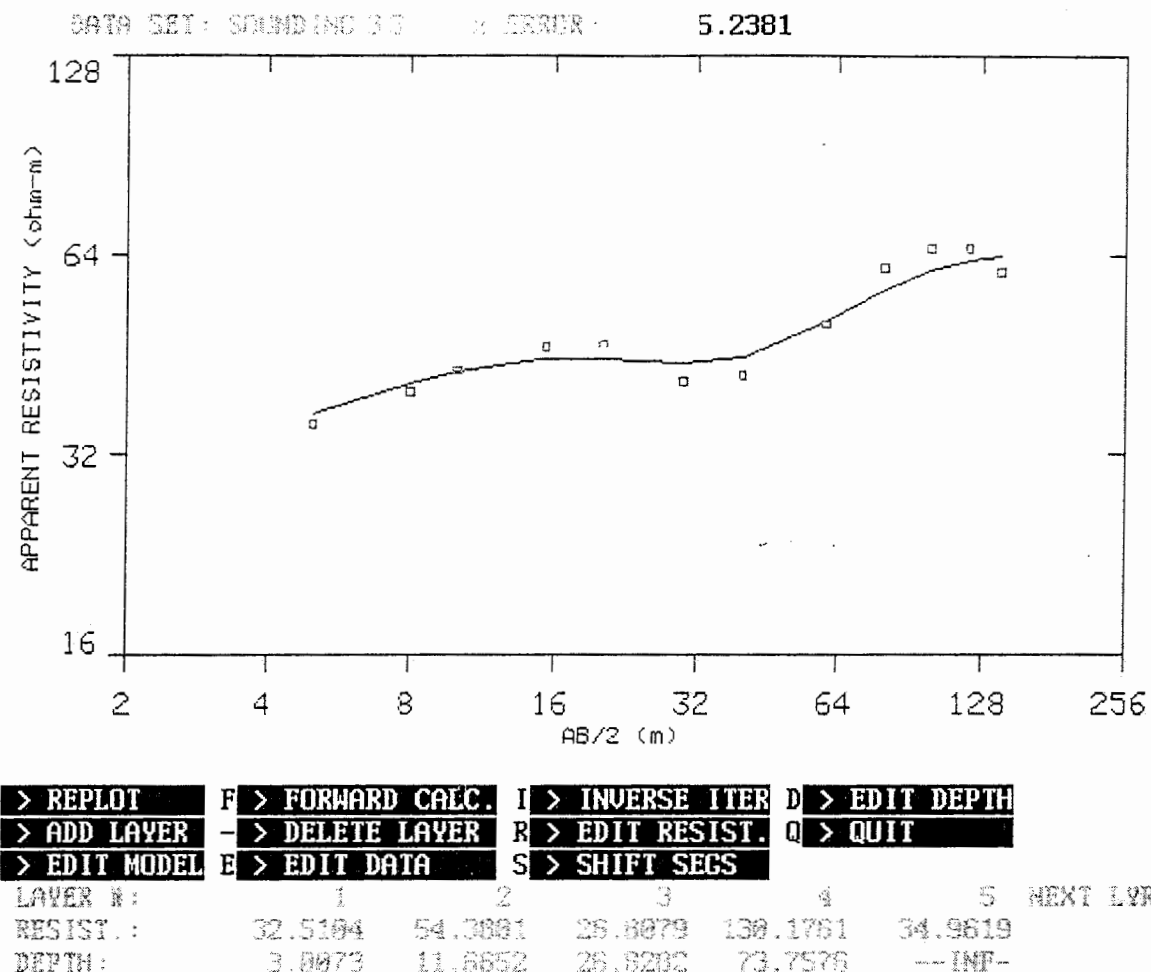
شکل ج-۲۹- مدلسازی یک بعدی سوندazer S₃₀ با نرم افزار RESIX .



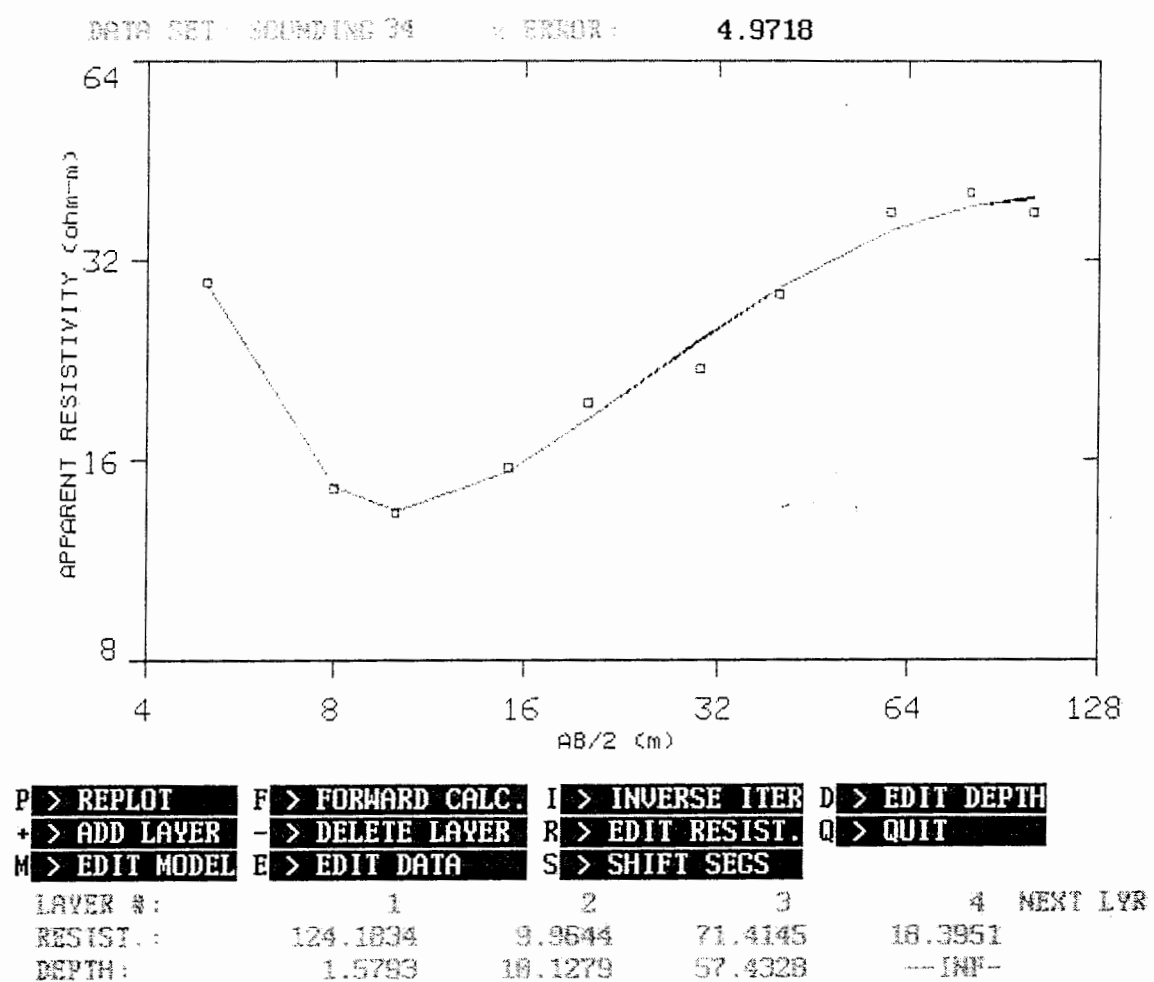
شکل ج-۳۰- مدلسازی یک بعدی سوندazer S₃₁ با نرم افزار RESIX



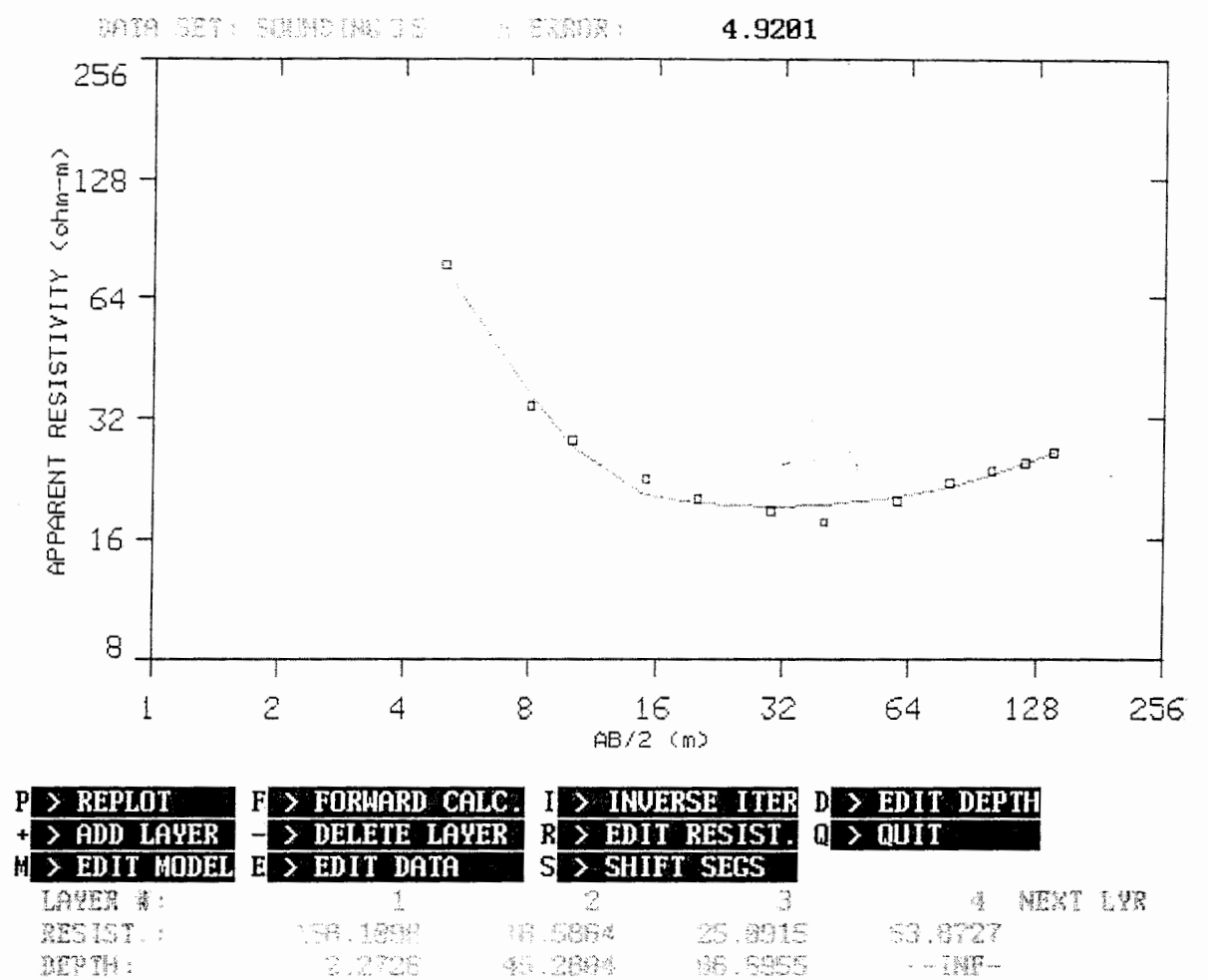
شکل ج-۳۱- مدلسازی یک بعدی سوندائر S_{32} با نرم افزار RESIX .



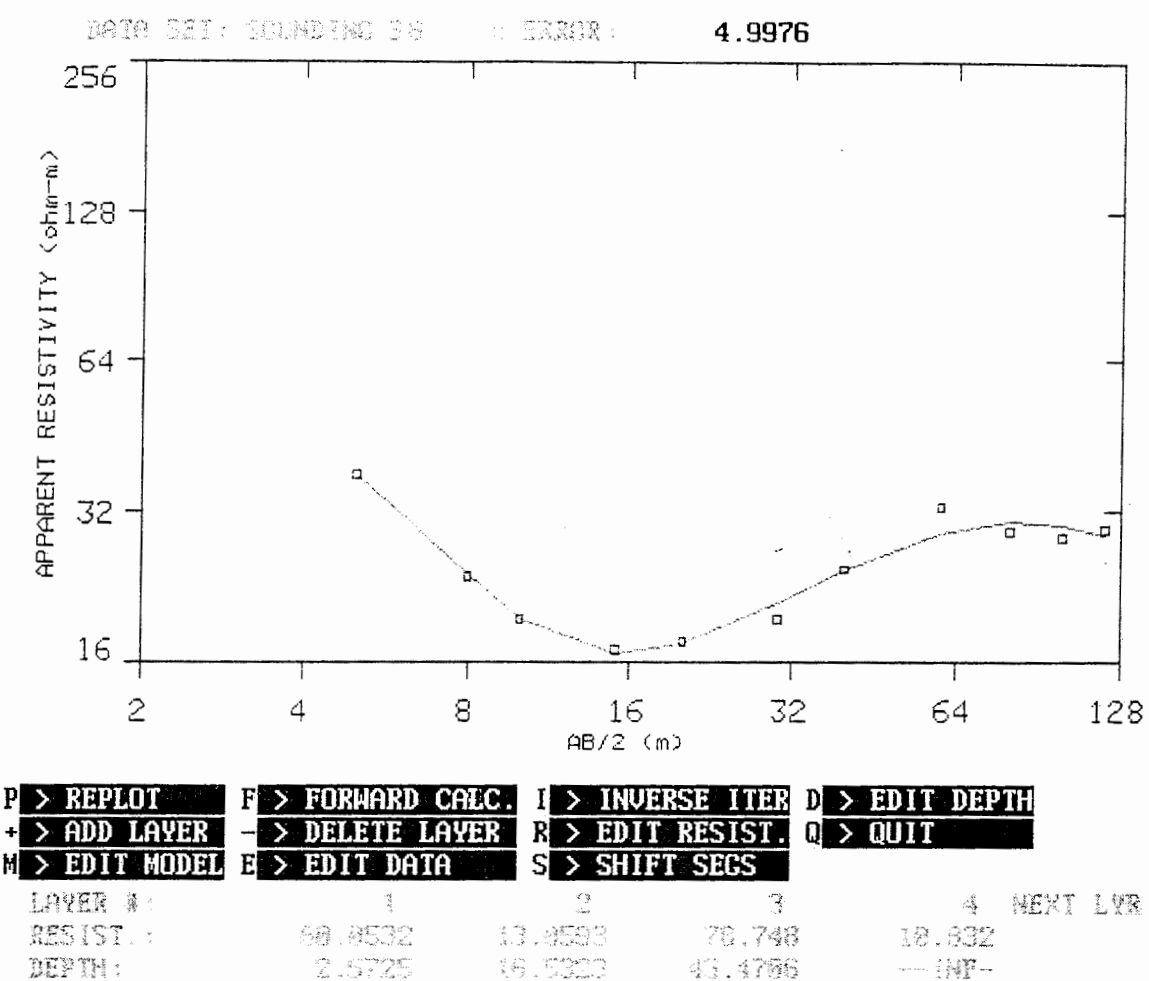
شکل ج-۳۲- مدلسازی یک بعدی سوندazer S₃₃ با نرم افزار RESIX



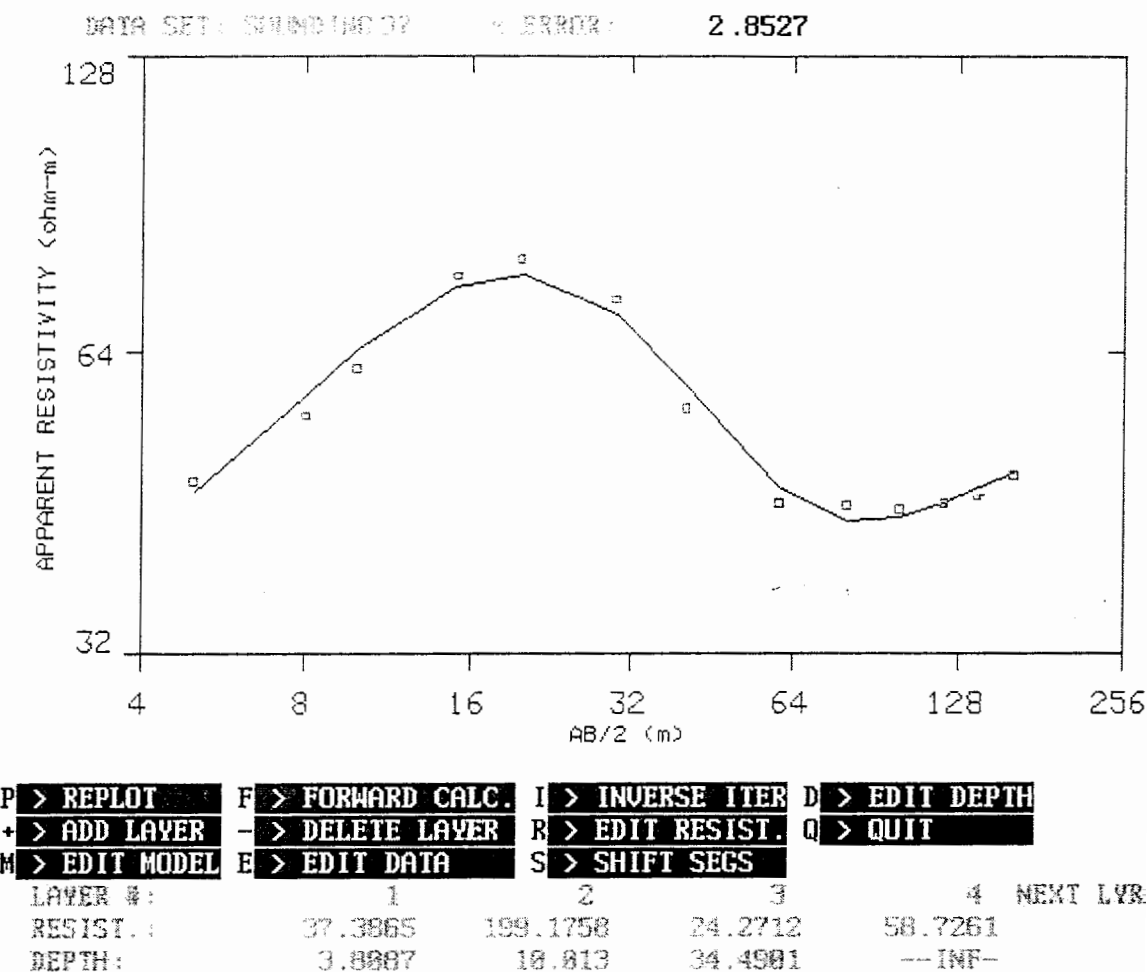
شکل ج-۳۴- مدلسازی یک بعدی سوندراز S₃₄ با نرم افزار RESIX



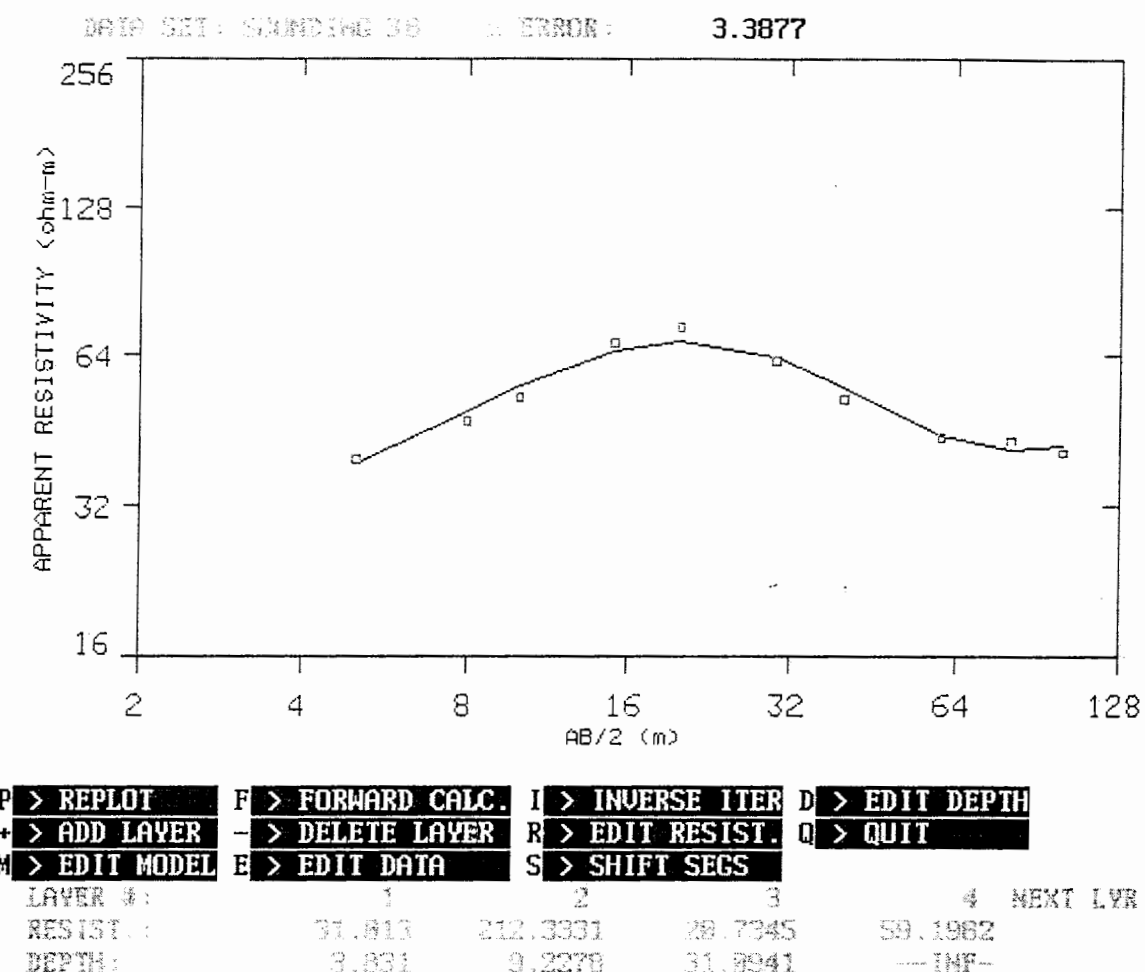
شكل ج-۳۴- مدلسازی یک بعدی سوندazer S35 با نرم افزار RESIX .



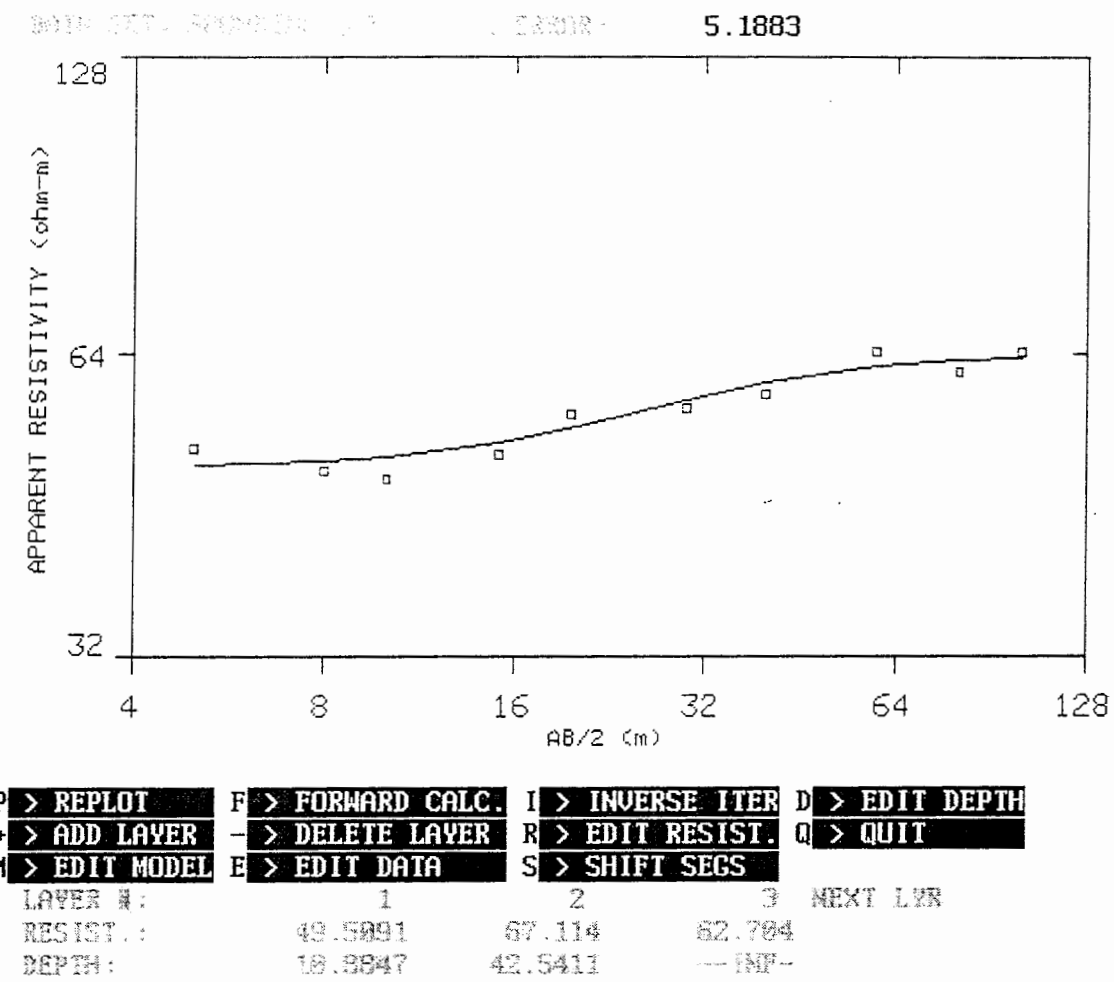
شکل ج-۳۵- مدلسازی یک بعدی سوندazer S₃₆ با نرم افزار RESIX .



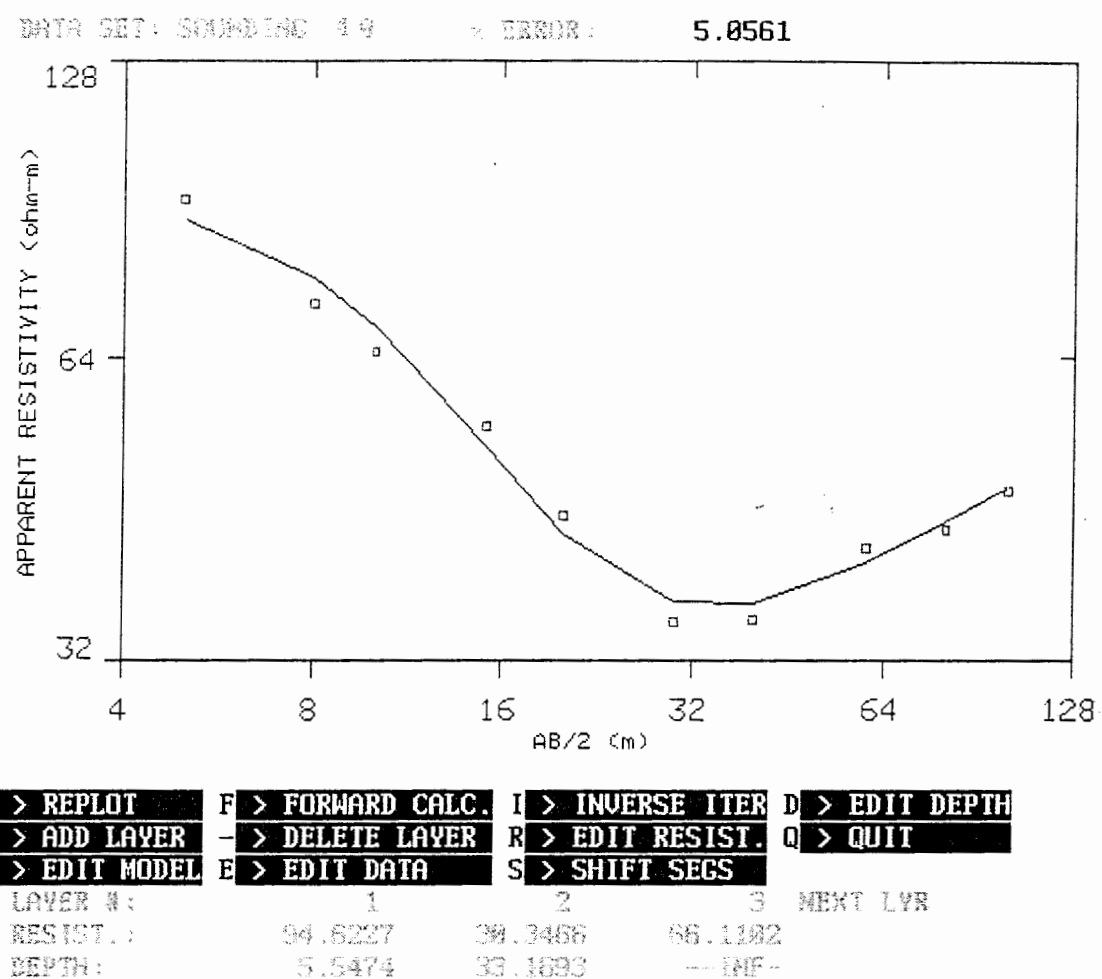
شکل ج-۳۶- مدلسازی یک بعدی سوندazer S₃₇ با نرم افزار RESIX .



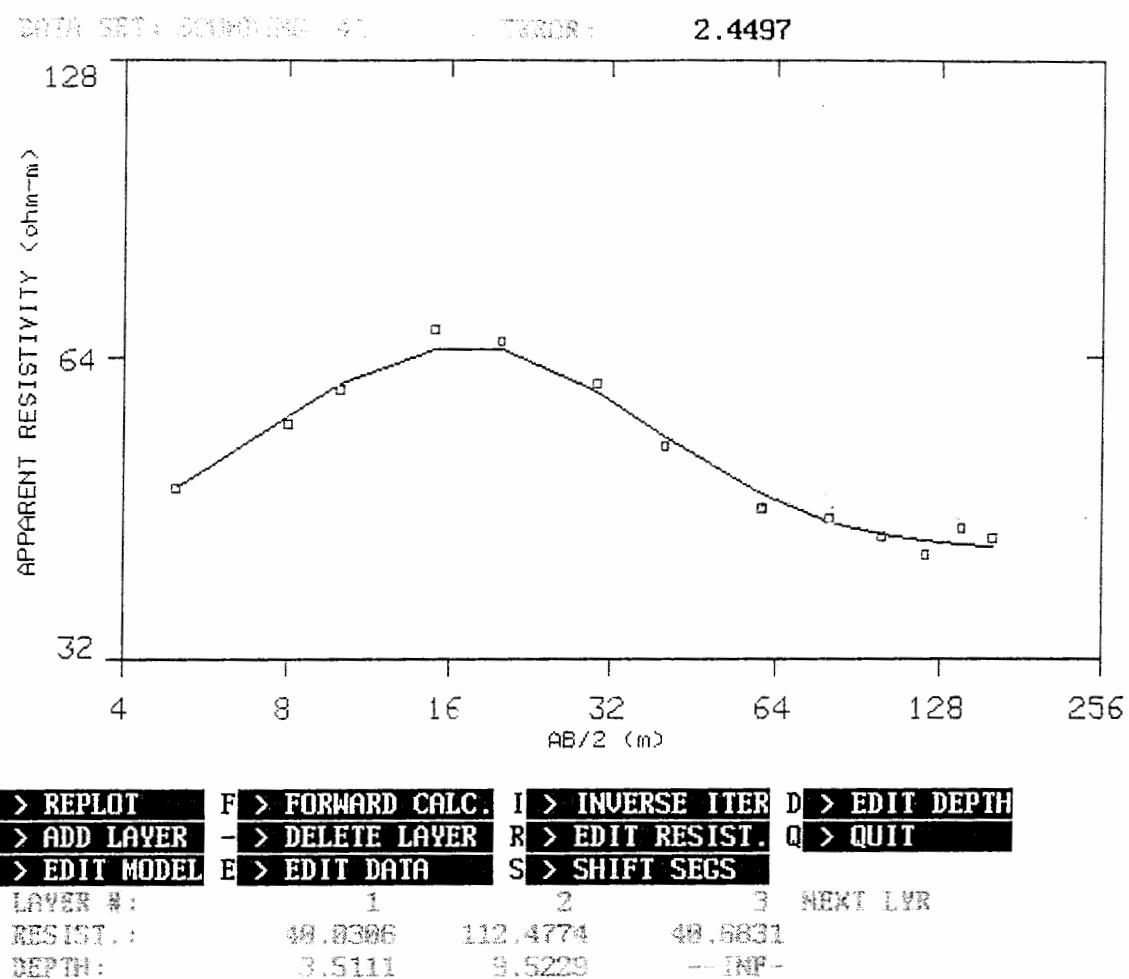
شکل ج-۳۷- مدلسازی یک بعدی سوندراز S₃₈ با نرم افزار RESIX .



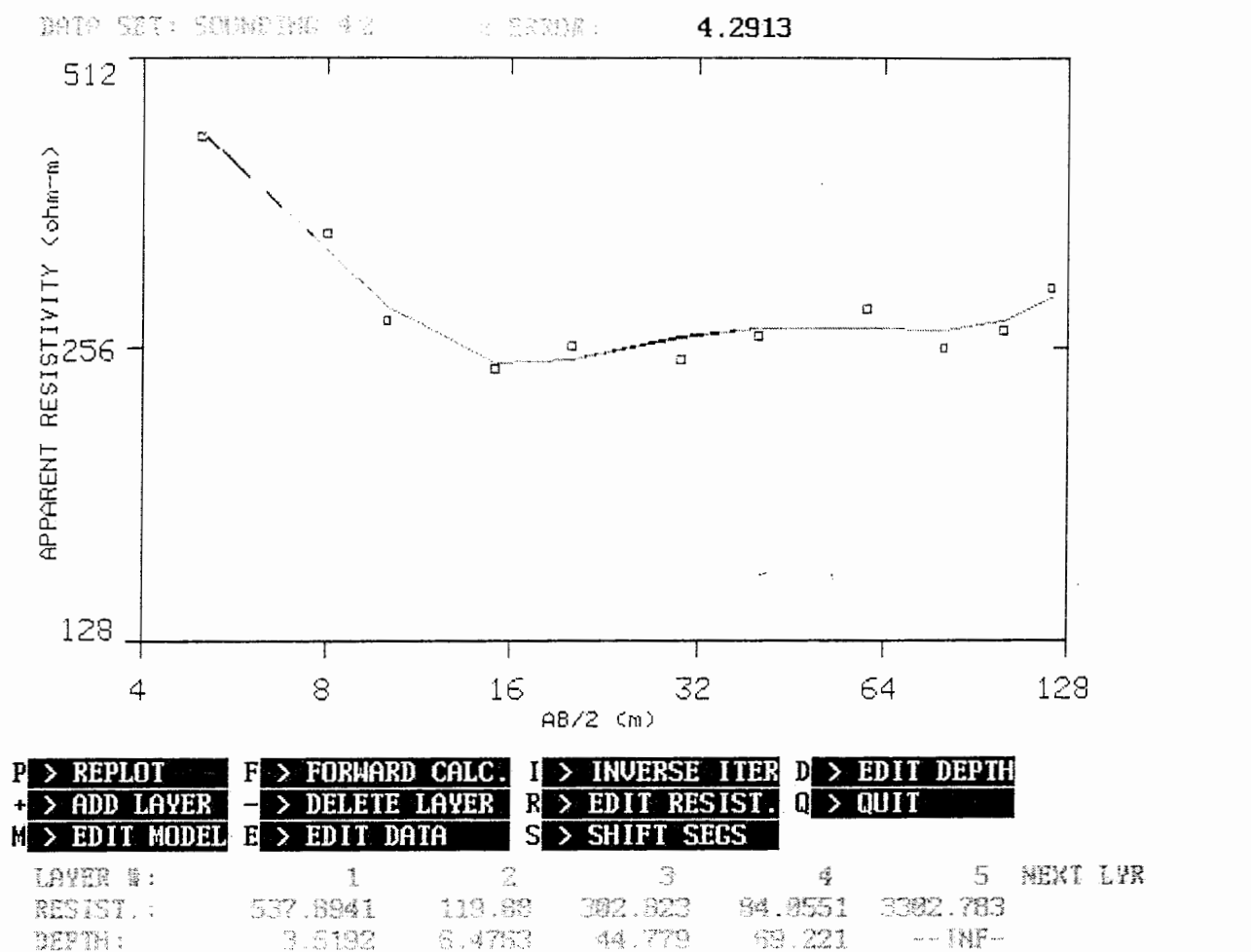
شکل ج-۳۸- مدلسازی یک بعدی سوندazer S₃₉ با نرم افزار RESIX



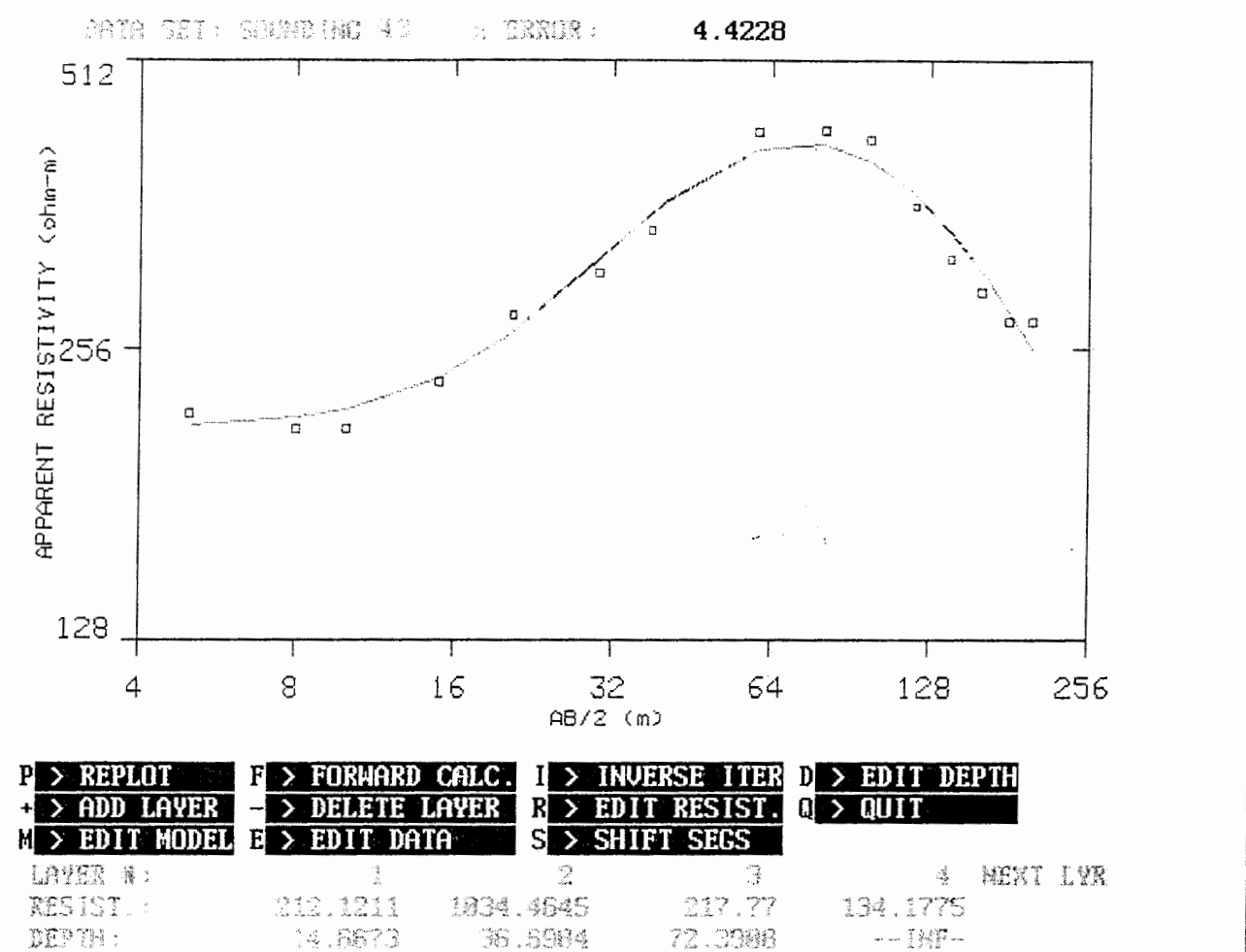
شکل ج-۳۹- مدلسازی یک بعدی سوندazer S₄₀ با نرم افزار RESIX



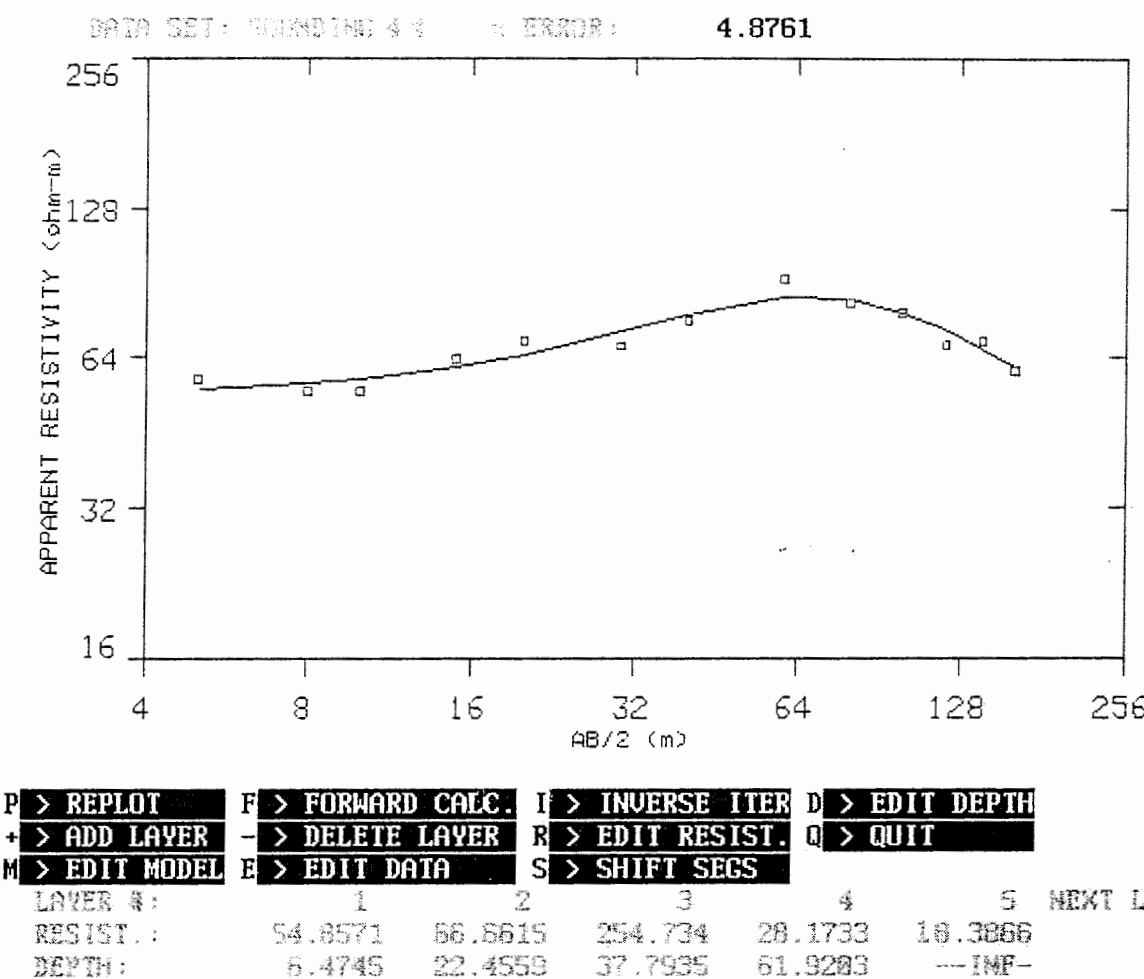
شکل ج-۴۰- مدلسازی یک بعدی سوندazer S₄₁ با نرم افزار RESIX



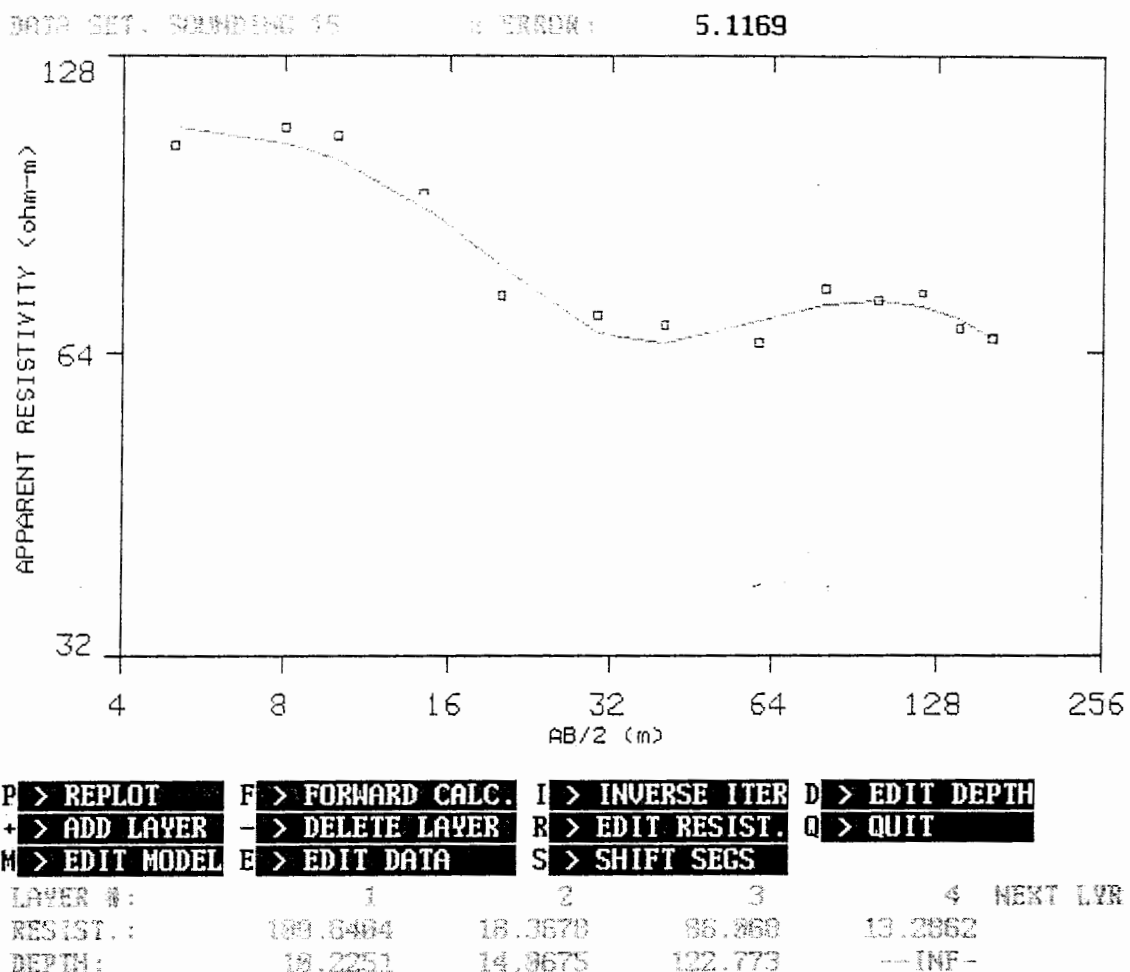
شکل ج-۴۱- مدلسازی یک بعدی سوندaz S₄₂ با نرم افزار RESIX .



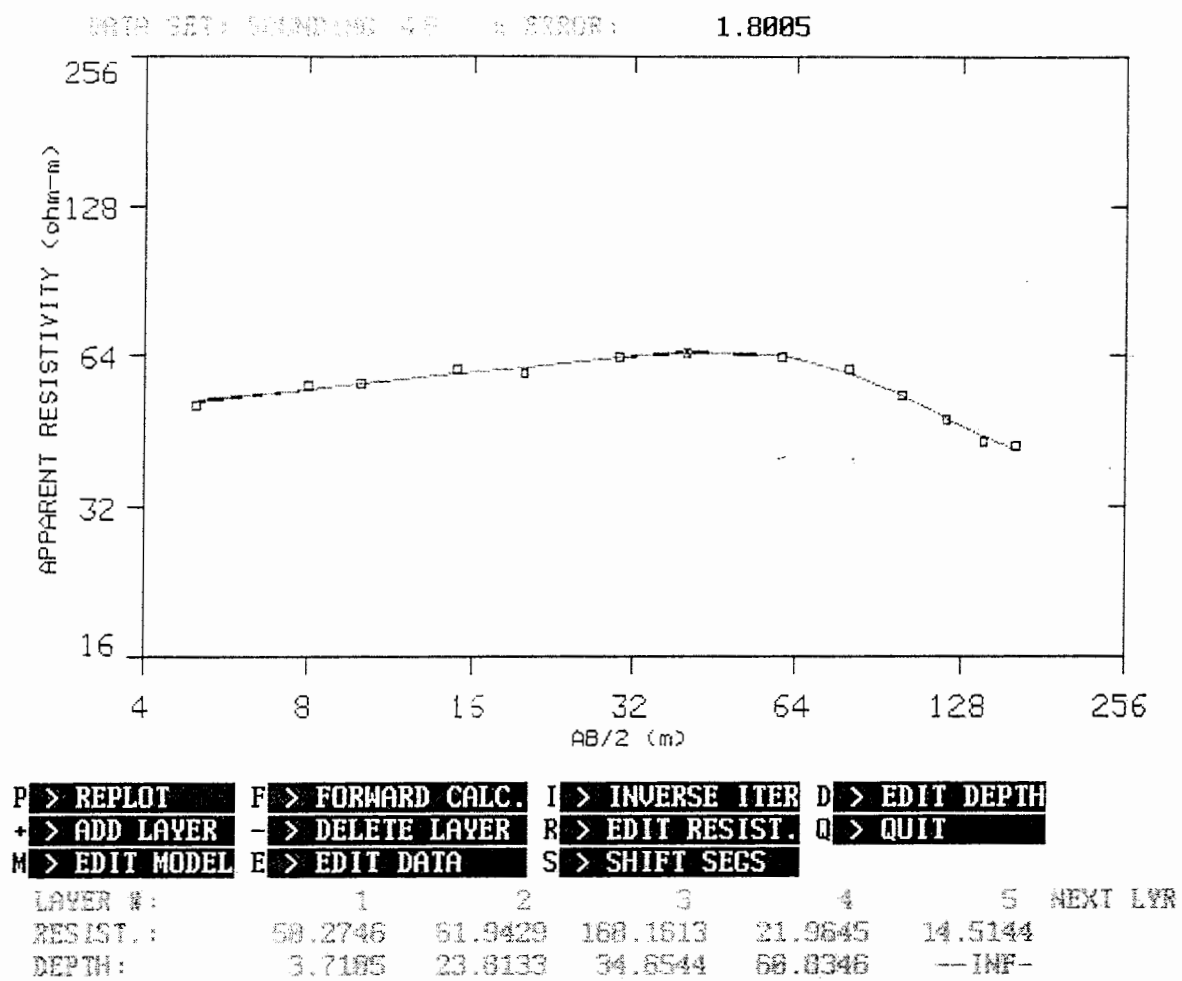
شکل ج-۴۲- مدلسازی یک بعدی سوندazer S₄₃ با نرم افزار RESIX .



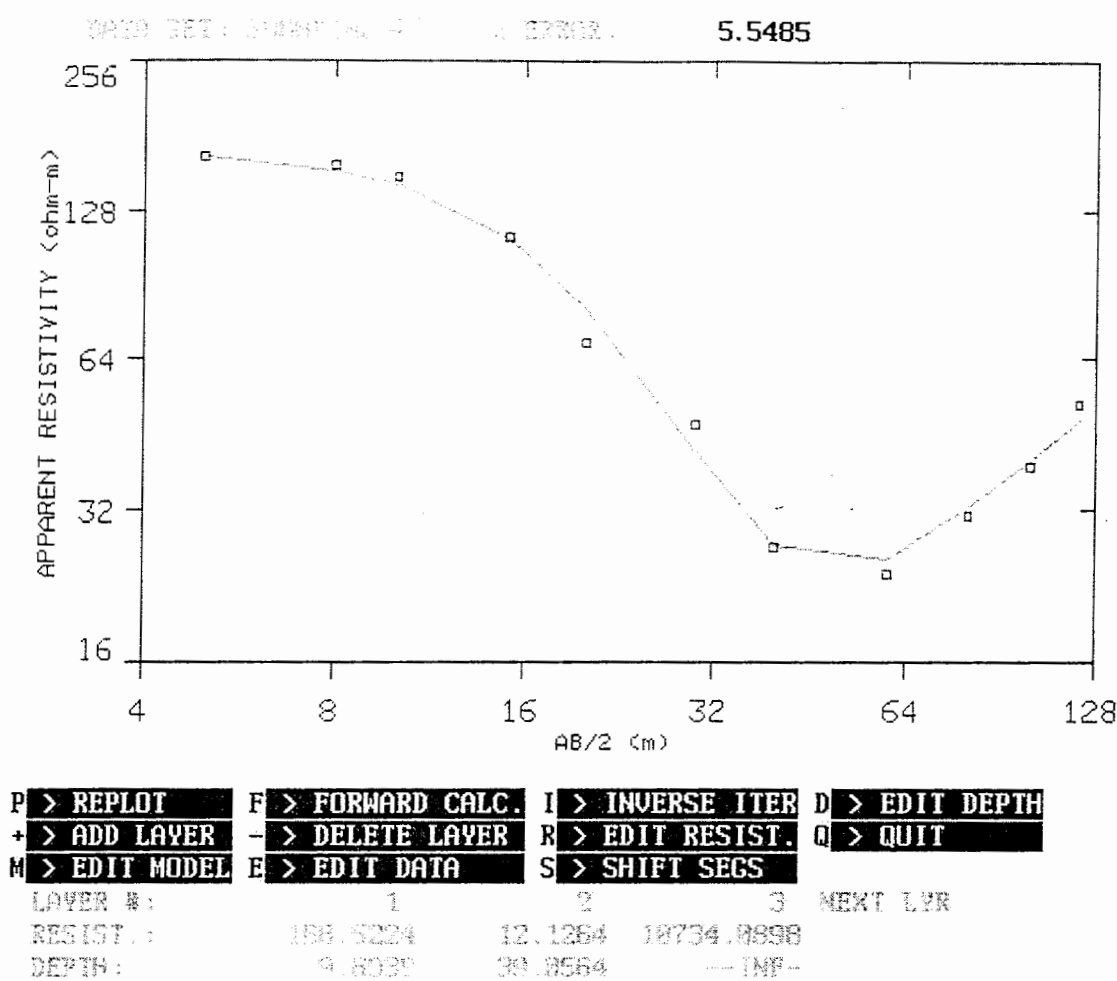
شکل ج-۴۳- مدلسازی یک بعدی سوندazer S₄₄ با نرم افزار RESIX .



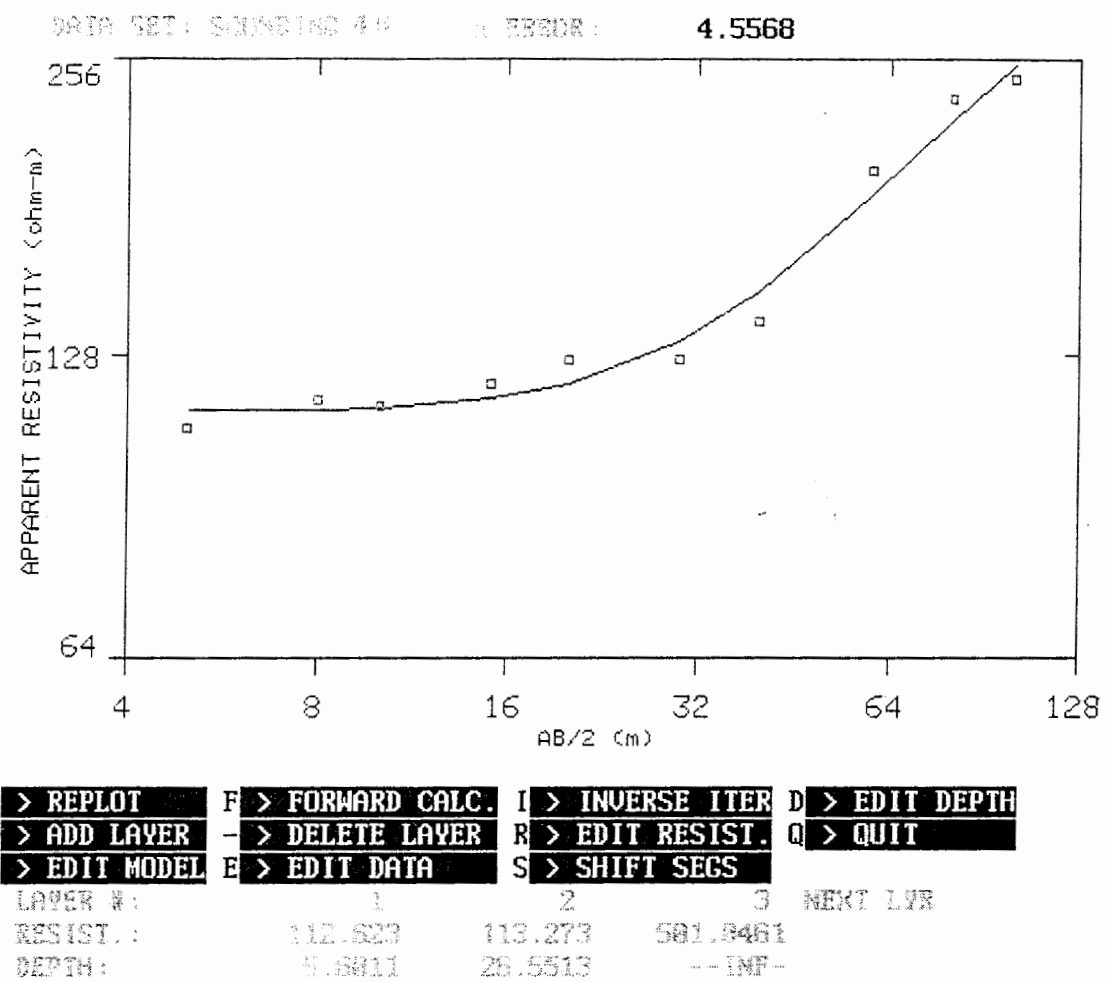
شکل ج-۴۴- مدلسازی یک بعدی سوندazer S₄₅ با نرم افزار RESIX .



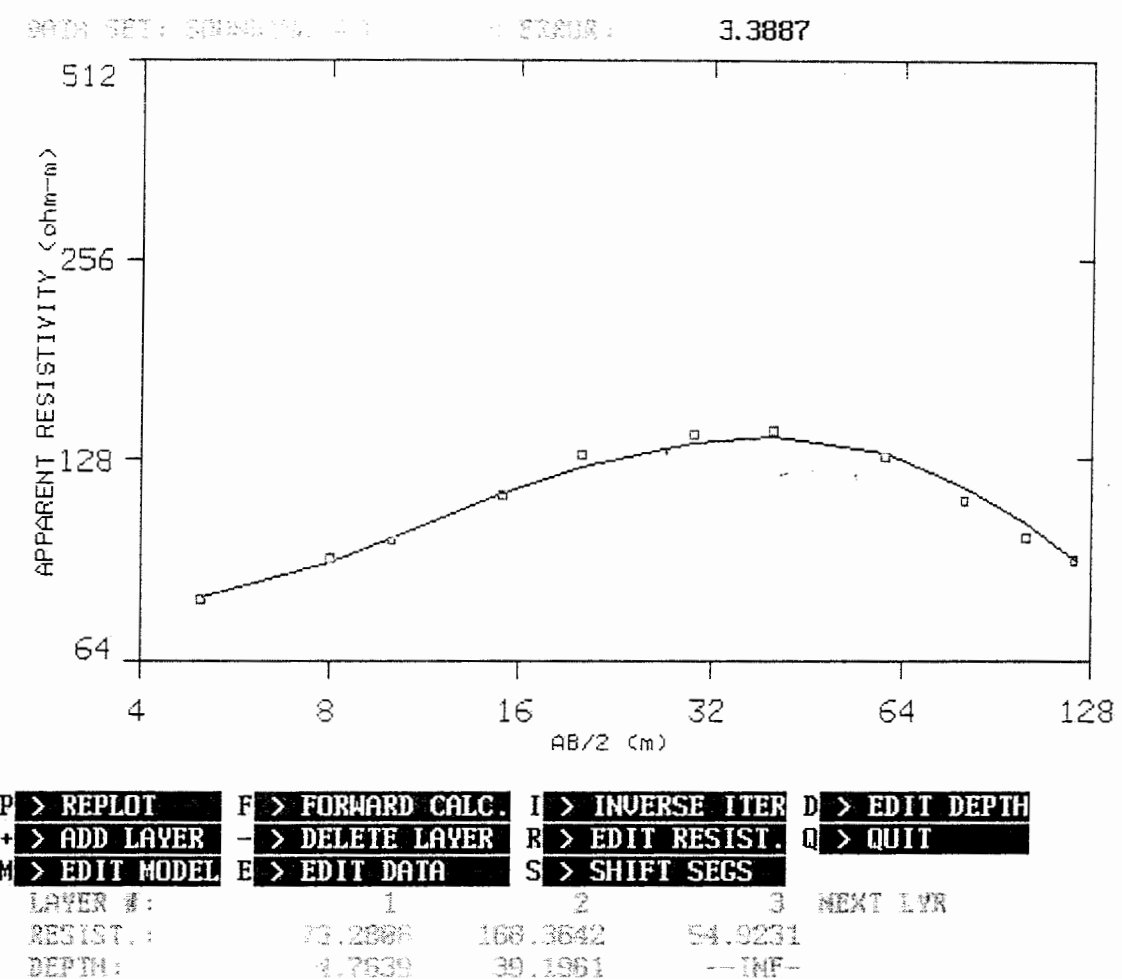
شکل ج-۴۵- مدلسازی یک بعدی سوندazer S₄₆ با نرم افزار RESIX



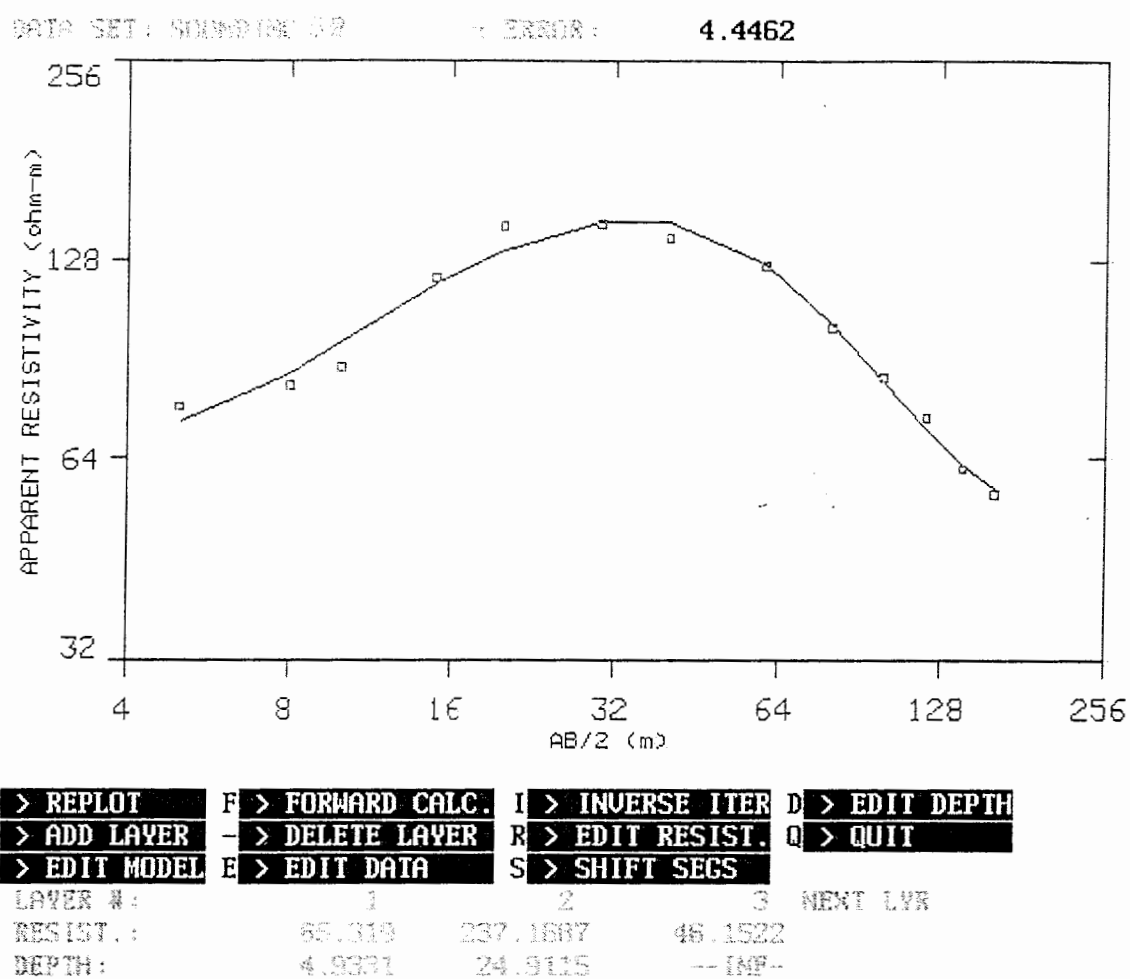
شکل ج-۴۶- مدلسازی یک بعدی سوندazer S₄₇ با نرم افزار RESIX .



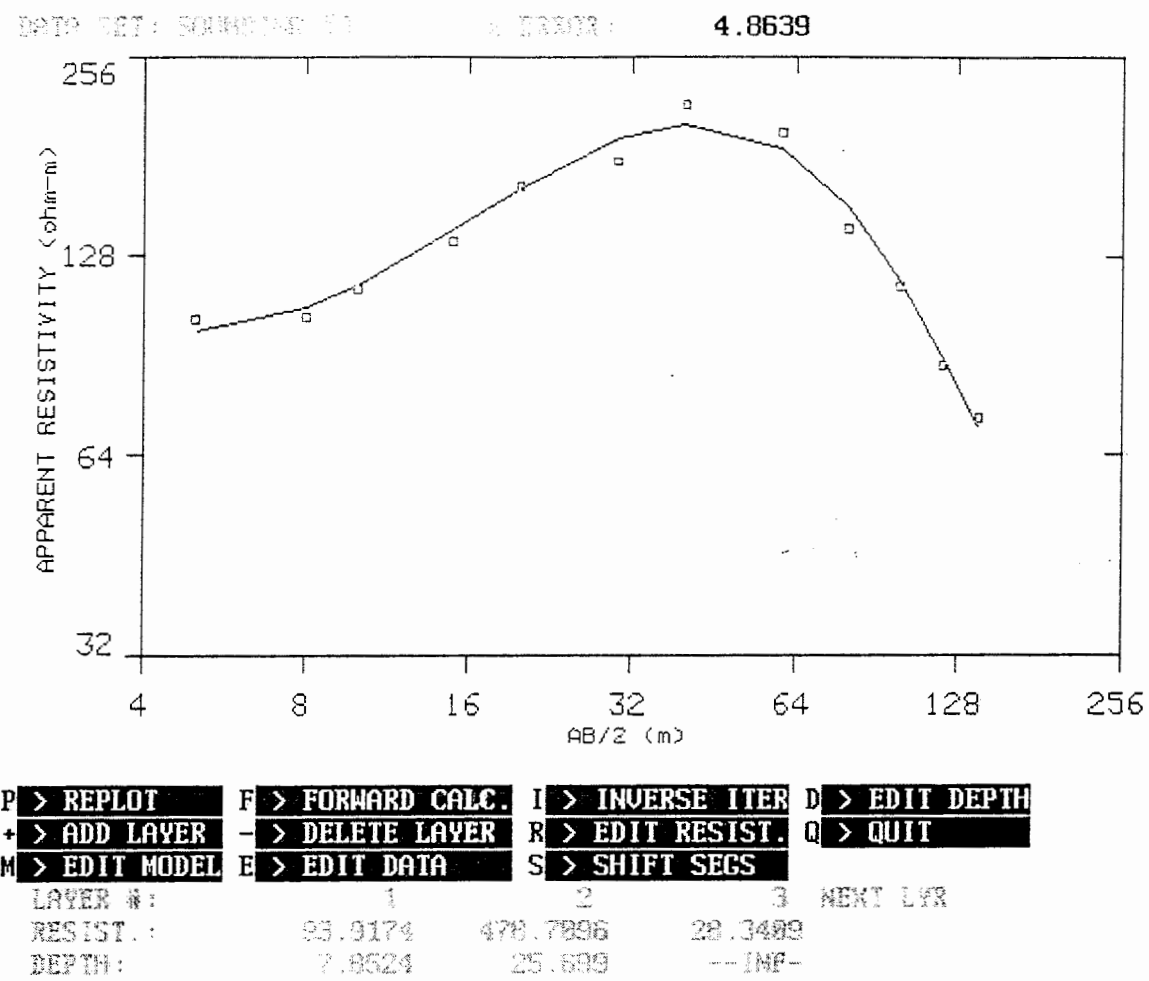
شکل ج-۴۷- مدلسازی یک بعدی سوندazer S₄₈ با نرم افزار RESIX



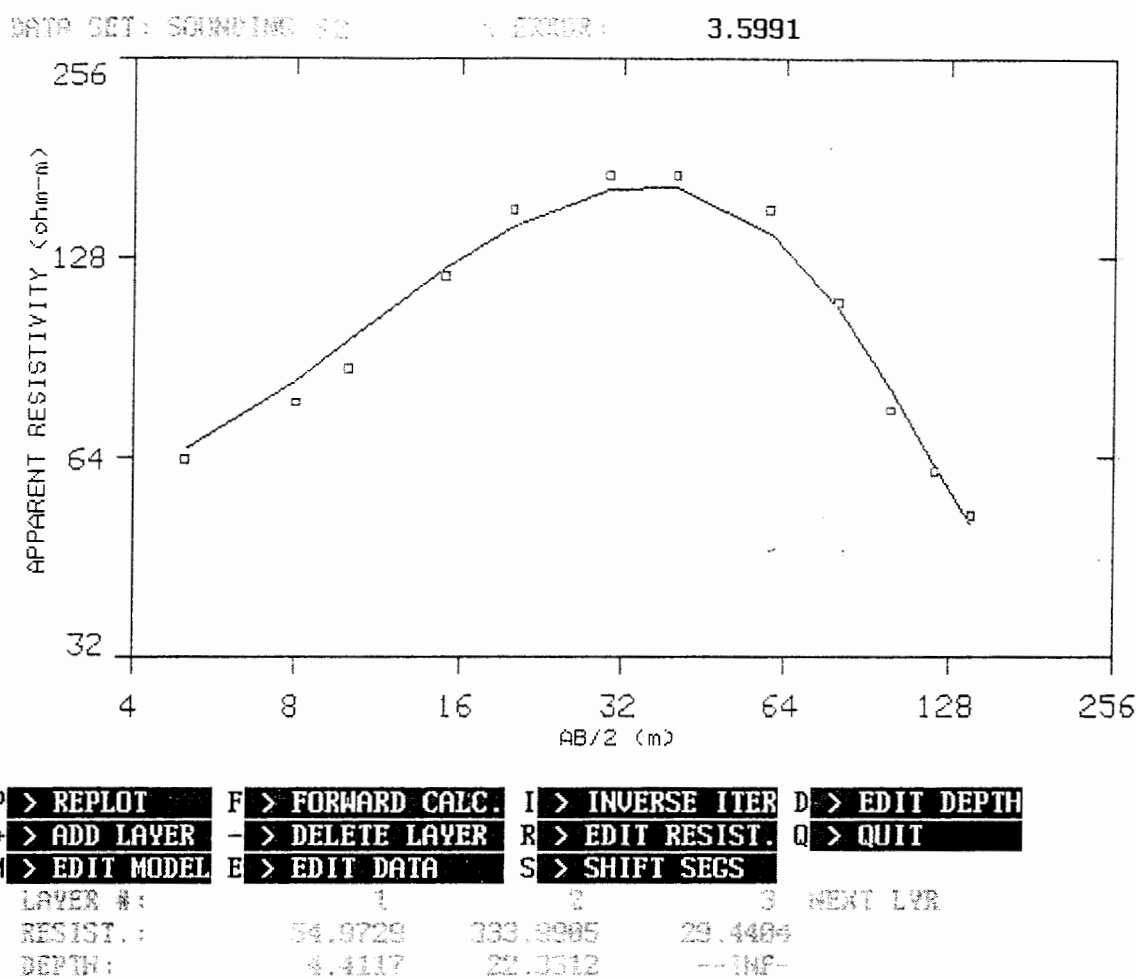
شکل ج-۴۸- مدلسازی یک بعدی سوندazer S₄₉ با نرم افزار RESIX



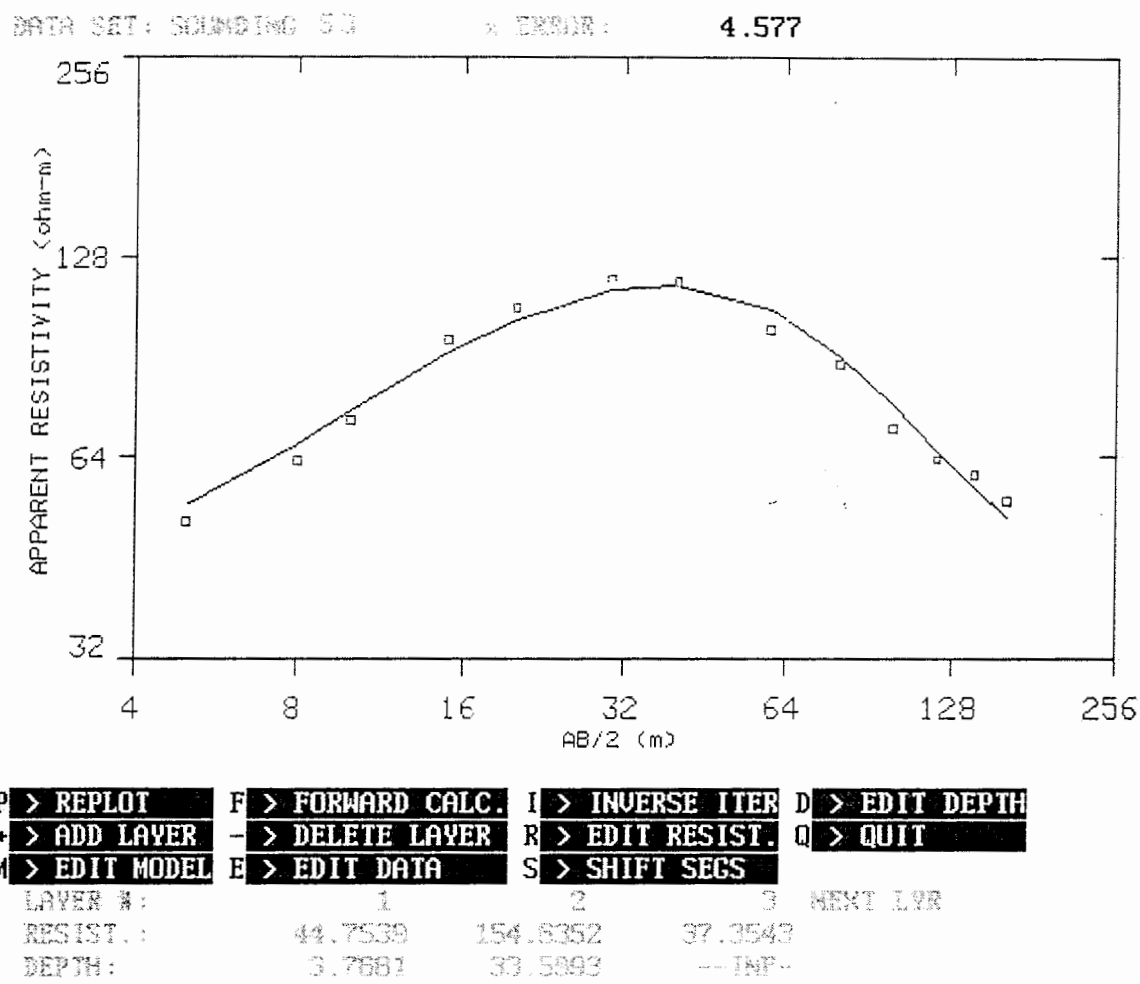
شکل ج-۴۹- مدلسازی یک بعدی سوندazer S₅₀ با نرم افزار RESIX .



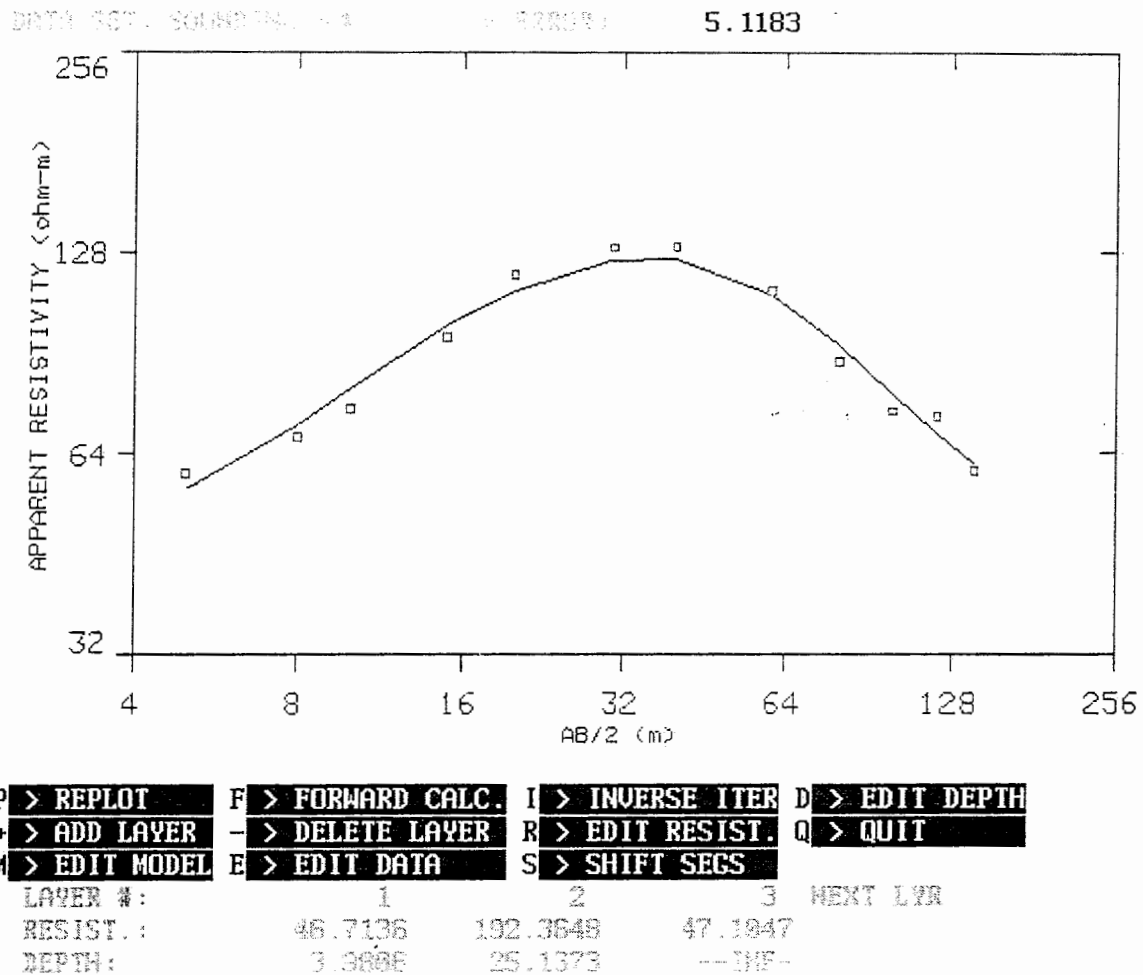
شکل ج-۵۰- مدلسازی یک بعدی سوندazer S51 با نرم افزار RESIX .



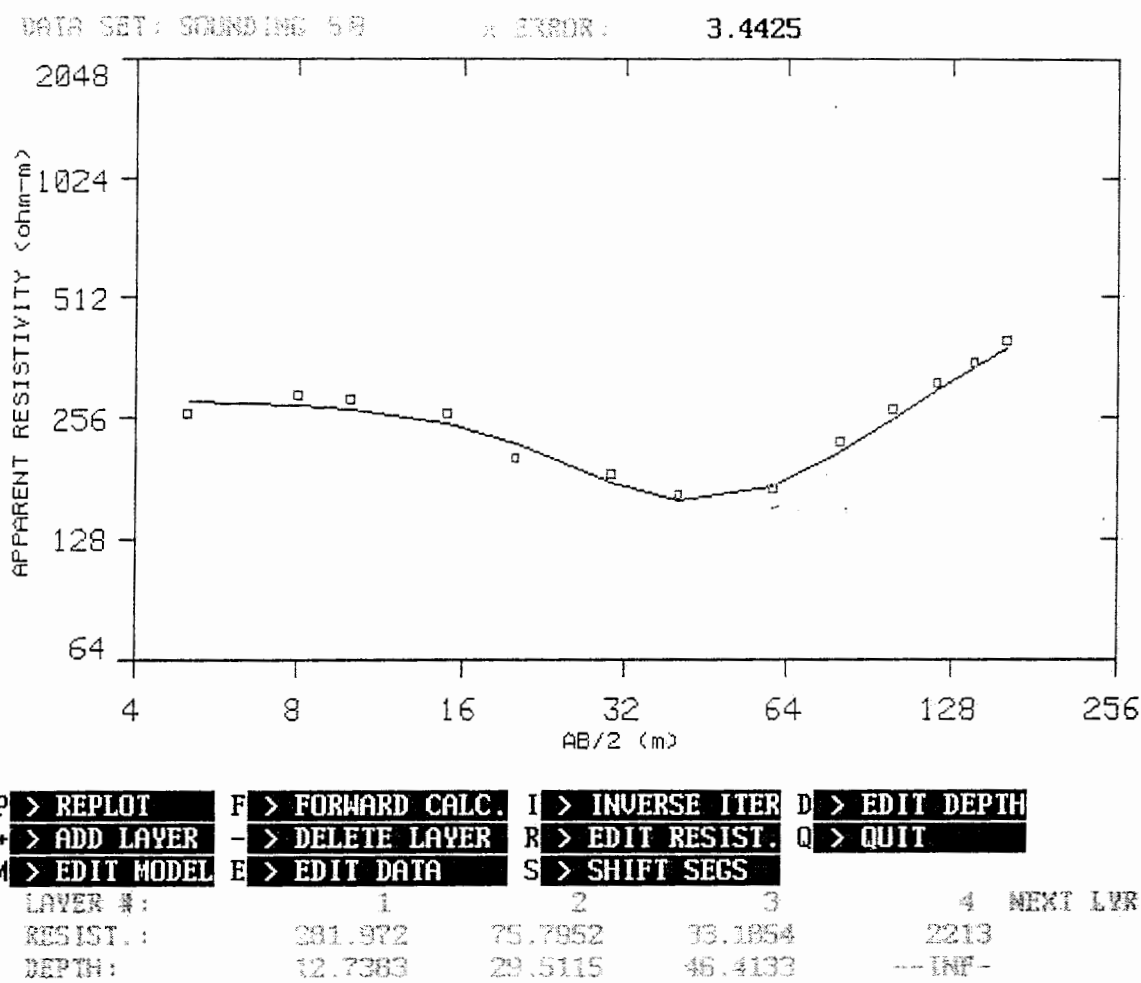
شکل ج-۵۱- مدلسازی یک بعدی سوندazer S₅₂ با نرم افزار RESIX .



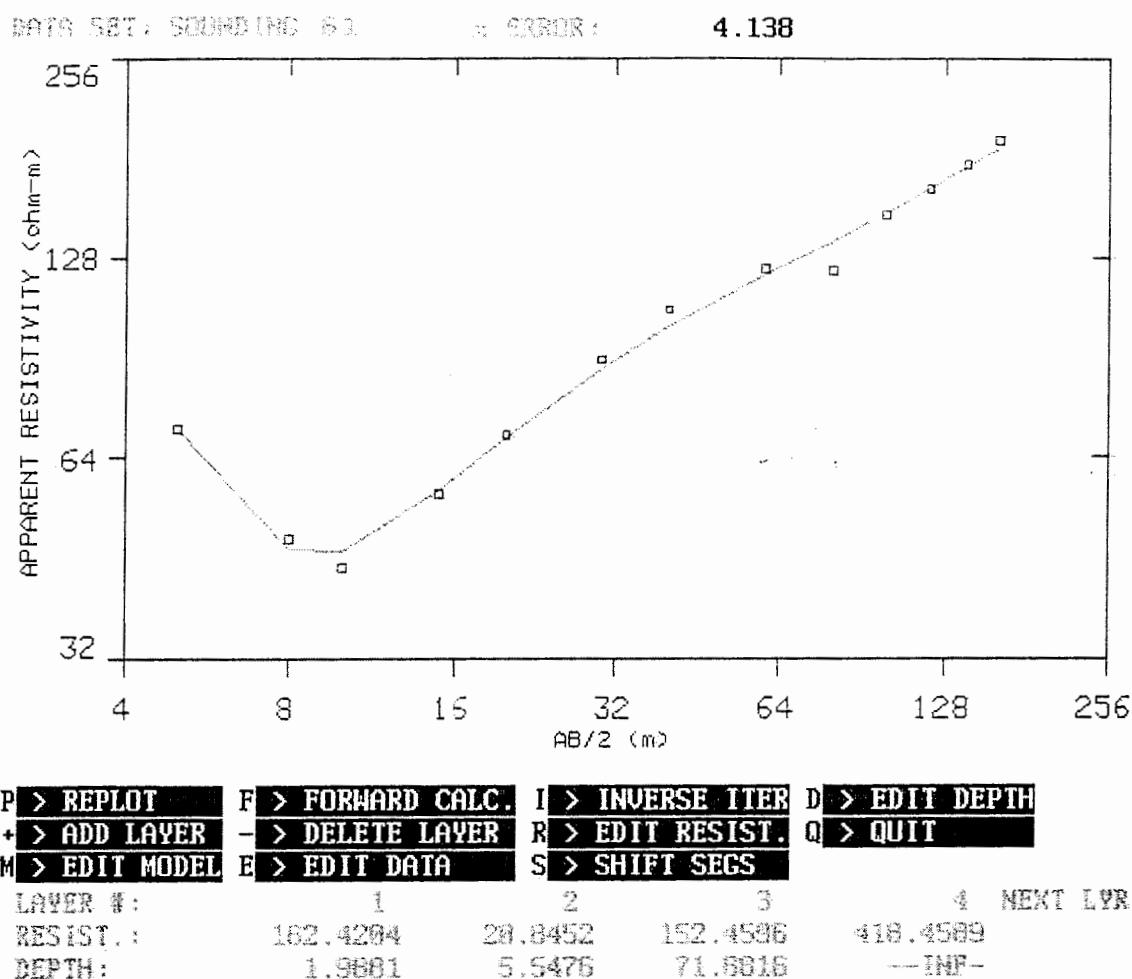
شکل ج-۵۲- مدلسازی یک بعدی سوندazer S₅₅ با نرم افزار RESIX



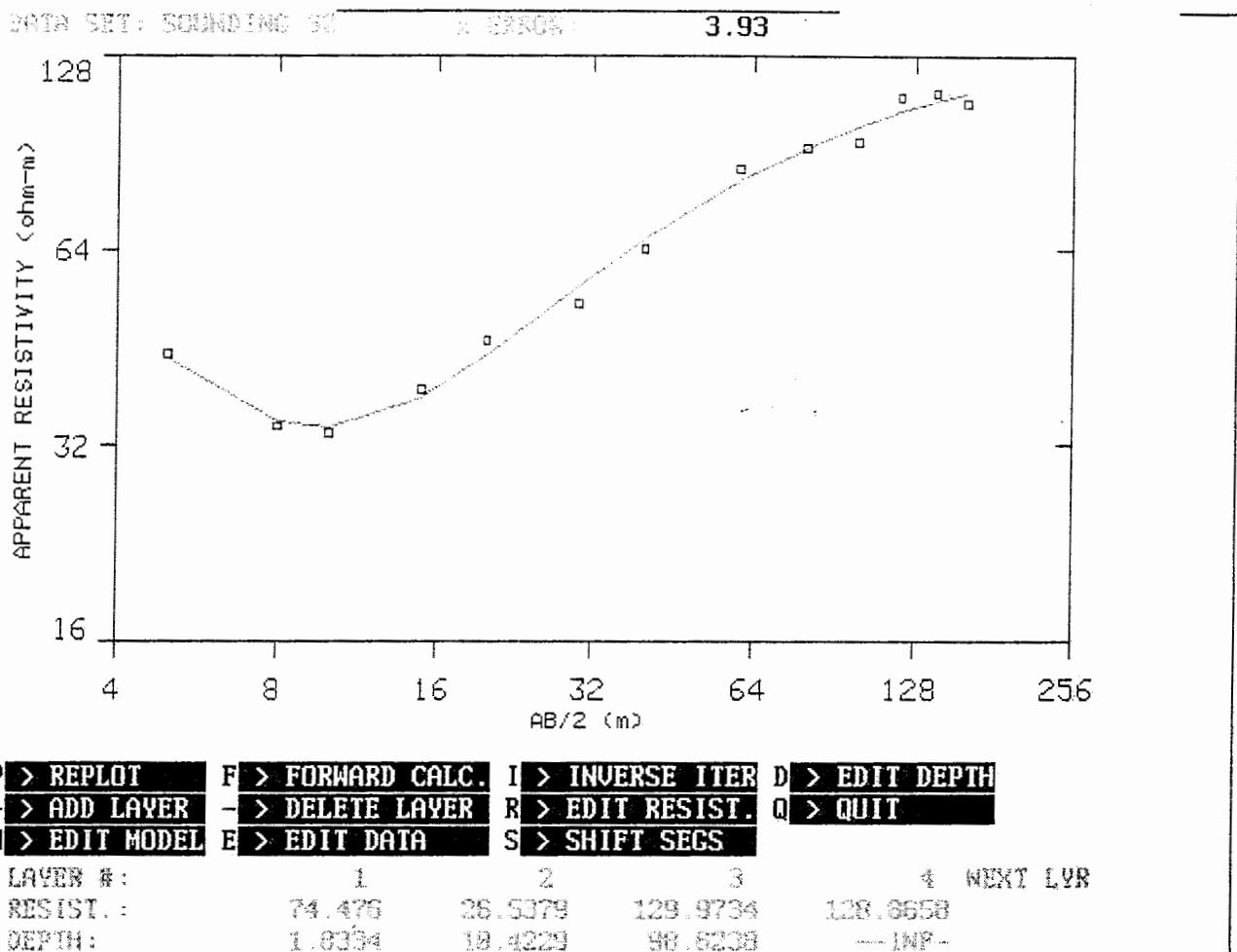
شكل ج-۵۳- مدلسازی یک بعدی سوندazer S₅₄ با نرم افزار RESIX .



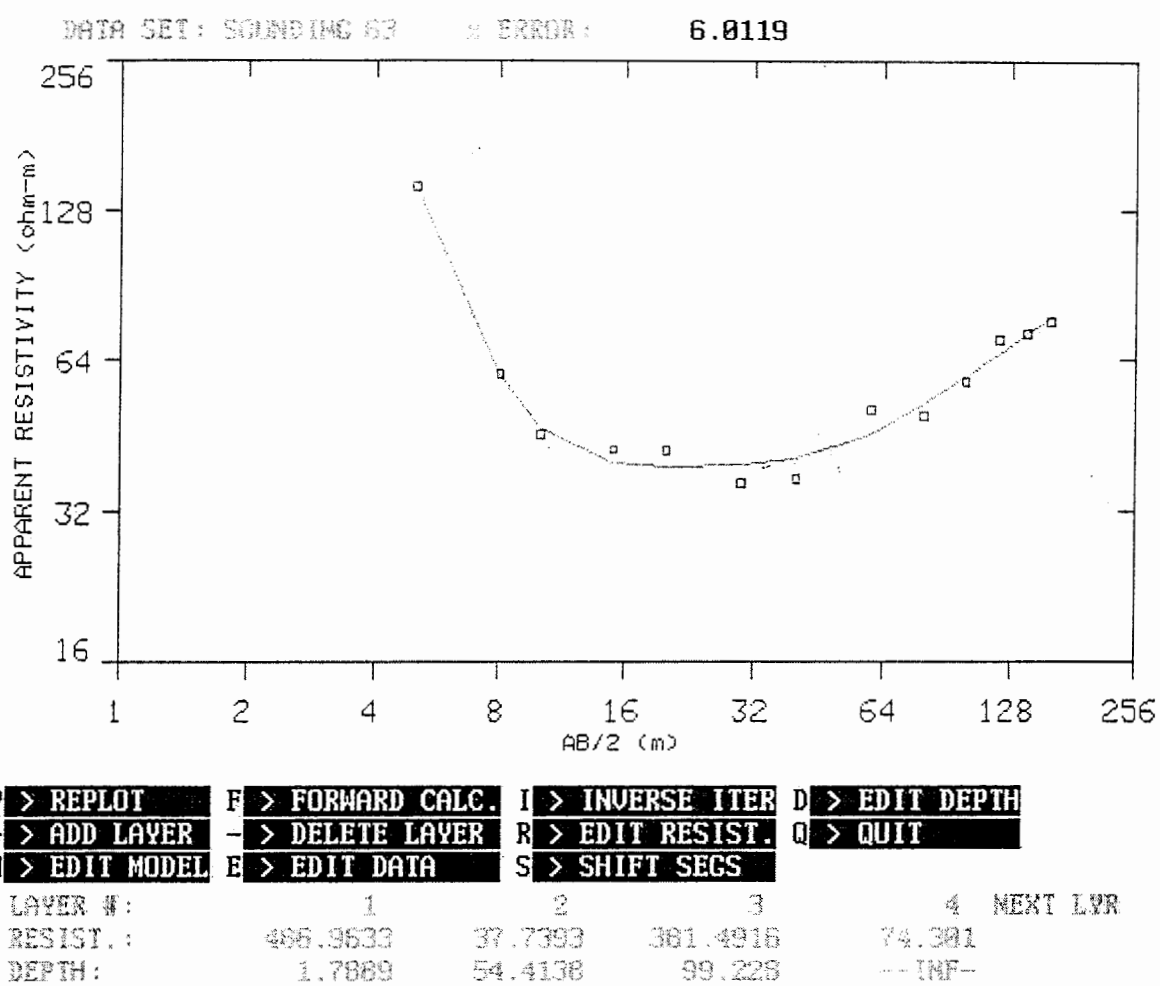
شکل ج-۵۹- مدلسازی یک بعدی سوندazer S₆₀ با نرم افزار RESIX



شکل ج-۶۰- مدلسازی یک بعدی سوندراز S6 با نرم افزار RESIX



شکل ج-۶۱- مدلسازی یک بعدی سوندراز S_{62} با نرم افزار RESIX .



شکل ج-۶۲- مدلسازی یک بعدی سوندazer S₆₃ با نرم افزار RESIX .

پیوست د- مختصری در مورد مدلسازی و نرم افزارهای بکارگرفته شده

مدلسازی

داده های اندازه گیری شده در طی عملیات صحرایی در واقع یک سری اعداد خام می باشند که با قاعدة مشخص و تحت شرایط خاصی بدست آمده اند و توجیه دقیق رفتار لایه های زمین از روی این داده ها (بطور مستقیم) غیر ممکن می باشد. بدین منظور تعیین رابطه بین داده های تجربی بدست آمده و توزیع خواص فیزیکی زمین مورد مطالعه و عبارت دیگر مدلسازی داده های برداشتی، جهت توجیه رفتار لایه های زیرسطحی، ضروری می باشد. افرادی چون جانسون^۱، پس از سالها تحقیق بر روی مسائل معکوس سازی، روشهای مختلفی جهت حل اینگونه مسائل ارائه نمودند. مدلسازی ژئوفیزیکی عمدتاً به دو دسته مدلسازی فیزیکی و مدلسازی عددی تقسیم می شود.

در روش مدلسازی فیزیکی، که گاهی مدلسازی آزمایشگاهی نیز نامیده می شود، ساختارهای زمینی را در مقیاس آزمایشگاهی شبیه سازی می کنند و سپس با استفاده از آرایشهای مختلف ژئوالکتریکی و به روشهای بروفیل زنی و سوندرازنی الکتریکی، داده های مقاومت ویژه قرائت و در نهایت با جوابهای صحرایی مطابقت داده می شوند. مدلسازی فیزیکی معمولاً با مشکلاتی همراه است. یکی از این مشکلات این است که، جوابهای مدلهای فیزیکی با جوابهای صحرایی به این دلیل که شرایط زمین، طبیعی و کاملاً متفاوت از شرایط کنترل شده آزمایشگاهی است، تفاوت دارد؛ بهر حال این روش بطور کلی مفید است، اما همیشه جوابگو نیست. مشکل دیگر، وقت گیر و پر هزینه بودن آن است و از طرفی، با پیشرفت و توسعه علوم کامپیوتر، امروزه اغلب از مدلسازی عددی استفاده می شود.

مدلسازی عددی داده های ژئوفیزیکی را به دو نوع مدلسازی مستقیم یا پیشرو و مدلسازی معکوس^۲ تقسیم بندهی می کنند. داده های خام بدست آمده از زمین، هیچگونه اطلاعات کمی در رابطه

¹-Johnson

²- Forwards & Inverse modeling

با توزیع خواص فیزیکی زمین و یا عمق آنومالیها ارائه نمی کنند؛ پس مدلسازی داده ها در ژئوفیزیک امری اجتناب ناپذیر است. هم مدلسازی مستقیم و هم مدلسازی معکوس، رابطه بین توزیع خواص فیزیکی زمین مورد مطالعه و پاسخ ژئوفیزیکی (اندازه گیری صحرایی) را بیان می کند. اگر از توزیع خواص فیزیکی به پاسخ ژئوفیزیکی بررسیم، مدلسازی مستقیم می نامند، ولی استباط خواص فیزیکی زمین مورد مطالعه از داده های مشاهده ای را، مدلسازی معکوس می گویند. ورودی مدلسازی معکوس، داده های صحرایی می باشد که به کمک محاسبات مربوط به تئوری معکوس سازی بر روی آنها، پارامترهای مدل، بعنوان خروجی ارائه می شوند[۷].

روش مدلسازی مستقیم دقیق بالایی دارد اما بسیار کند و وقت گیرمی باشد. از طرفی مدلسازی معکوس، روابط ریاضی پیچیده تری دارد. برای تعیین سریع خصوصیات مورد نظر، از مدلسازی معکوس استفاده می شود.

مدلسازی مستقیم یا پیشرو

در این نوع مدلسازی، با وارد نمودن پارامترهای یک مدل فرضی، که با داده های تجربی همخوانی دارد، یکسری داده های تئوری منطبق بر پارامترهای مدل پیشنهادی بدست می آید که در صورت بالا بودن جذر میانگین مربعات^۱ خطای بین این داده ها و داده های تجربی (خطای جذر میانگین مربعات)، فرآیند مدلسازی مجدد تکرار خواهد شد. مدلسازی مستقیم شامل مراحل زیر است:

- ۱- فرض کردن یک مدل زمینی آزمایشی اولیه.
- ۲- محاسبه پاسخ مدل فرضی با استفاده از تئوری مدلسازی مستقیم یا پیشرو.
- ۳- مقایسه پاسخ مدل فرضی با داده های صحرایی و محاسبه مقدار خطای نسبی بین آنها.
- ۴- بررسی نتیجه و تعدیل و تصحیح مدل آزمایشی مرحله اول تا وقتی که تطابق بین پاسخ مدل فرضی و اندازه گیری شده بهبود یابد تا جاییکه بهترین تطابق ممکن بدست آید[۷].

مدلسازی معکوس

در مدلسازی معکوس در هر مرحله از تکرار، با اعمال یکسری عملیات ریاضی پیچیده رویداده های تجربی، پارامترهای فیزیکی مدل را بدست می آوریم. مسائل معکوس سازی بر عکس

^۱-Root mean Least Square

مستقیم که اغلب مستقیم، یک مرحله‌ای و خوش حالت^۱ هستند، بعلت وجود نویزهای زمین شناسی و نیز ناقص بودن اطلاعات و خطای اندازه گیریها، اغلب غیر مستقیم، تکراری و بدحالت^۲ می باشند. حل اینگونه مسائل، مشکل و در برخی موارد غیر ممکن می باشد [10].

در معکوس سازی از روش حداقل مربعات، روش مارکوارت- لونبرگ و... استفاده می شود. می توان گفت که معکوس سازی داده های مقاومت ویژه، تعیین مقاومت ویژه واقعی و ضخامت لایه ها با توجه به مقادیر مقاومت ویژه ظاهری اندازه گیری شده است.

در روش معکوس سازی ژئوفیزیکی، هدف یافتن مدلی^۳ از زمین است که نتایج آن با داده های اندازه گیری شده صحرایی مطابقت داشته باشد. مدل دارای مجموعه ایی از پارامترها است که کمیات فیزیکی اند و از داده های مشاهده ایی تخمین زده می شوند. پاسخ مدل^۴، داده های تولید شده ایی هستند که از روابط ریاضی تعریف شده مدل برای مجموعه ای مشخص از پارامترهای مدل محاسبه می شوند.

در روش بلوکی که برای برنامه Res2DInv استفاده شده است، پارامترهای مدل، مقادیر مقاومت ویژه بلوکهای مدل هستند، در حالیکه داده ها بصورت مقادیر مقاومت ویژه ظاهری اندازه گیری شده اند. ارتباط ریاضیاتی میان پارامترهای مدل و پاسخ آن برای مدلهای مقاومت ویژه دو بعدی و سه بعدی به روشهای اختلاف محدود^۵ و اجزاء محدود^۶ تهییه می شوند [13]. در کلیه روشهای بهینه سازی، مدل اولیه با روش تکرار، تغییر می شود که در طی آن اختلاف میان پاسخ مدل و مقادیر داده های مشاهده شده کاهش می یابد.

¹- Well posed

²- Ill posed

³ - Model

⁴ - Model response

⁵ - Finite-Difference

⁶ - Finite-Element

نرم افزارهای مورد استفاده برای مدلسازی معکوس

در این پژوهه، جهت مدلسازی معکوس یک بعدی از نرم افزار Resix و برای مدلسازی معکوس دو بعدی از نرم افزار Res2Dinv استفاده شده است که در ادامه، به اختصار معرفی می شوند.

نرم افزار Resix

نرم افزار RESIX یک نرم افزار گرافیکی است که از طریق مدلسازی معکوس و پیشرو برای تفسیر داده های مقاومت ویژه حاصل از اندازه گیری بروی زمینی که از لایه های افقی تشکیل شده باشد، به کار می رود. این نرم افزار تحت سیستم عامل Dos کار می کند. مشخصات کلی این نرم افزار عبارتند از:

الف - آرایشهاي شلومبرگر، ونر، دوقطبی - دو قطبی و قطبی - دو قطبی را قبول می کند.

ب - هر دو مدلسازی معکوس و پیشرو را انجام می دهد.

ج-بالغ بر ۶۰ داده را دریافت می کند.

د-می تواند محاسبات مدلسازی هموار را انجام دهد.

مدلسازی پیشرو این امکان را می دهد که منحنی های سونداز مقاومت ویژه برای یک زمین با حداقل ۱۰ لایه مدلسازی شود. منحنیهای سونداز مقاومت ویژه توسط یک فیلتر خطی با استفاده از روش ابداعی داویس (۱۹۸۰) محاسبه می شوند[۱۱].

بوسیله مدلسازی معکوس می توان بهترین مدل تطبیق یافته روی داده ها را با استفاده از روش کمترین مربعات بدست آورد. این عمل با استفاده از رگرسیون ریج به این صورت که پارامترهای مدل اولیه شناخته شده توسط کاربر، مکرراً تعدیل می شود، صورت می گیرد. می توان بعضی از پارامترهای مدل اولیه را، مقید کرد که عمل معکوس سازی نتواند آنرا تعدیل کند.

نرم افزار قادر است بالغ بر ۱۰ لایه را تشخیص دهد. مدلهای پیشرو نیز می توانند بیش از ۱۰ لایه را تشخیص دهند. یک پارامتر می تواند متغیر باشد و یا ثابت نگه داشته شود. و یا محدودیتی بر آن پارامتر اعمال شود. پارامترها می توانند مقاومت ویژه به اضافه ضخامت لایه باشند و یا مقاومت ویژه به اضافه عمق انتهایی لایه باشند[۱۱].

مدلسازی هموار کاربر را قادر می سازد تا بصورت اتوماتیک بتواند داده های سونداز مقاومت

ویژه را در ترم مدل هموار، تا ۱۰ لایه تفسیر کند. عمقها در مدل، بصورت بازه های لگاریتمی نشان داده می شوند که این عمقها از مقدار ماکزیمم تا مینیمم را شامل می شوند. اعماق ماکزیمم و مینیمم می تواند توسط کاربر تعیین شده باشد، و یا بصورت اتوماتیک تولید شده باشد. در مدل مقاومت ویژه سعی می شود ابتدا بهترین حالت تطبیق را با نیم بازه های همگن مقاومت ویژه داشته باشد. نتایج مدلسازی می توانند بصورت نقشه درآیند، چاپ شوند، لیست شوند، و یا نوشته شوند که این نتایج در فایل *ASCII* برای استفاده کاربر نمایش داده می شوند.[۱۱].

نرم افزار Res2Dinv

نرم افزار Res2Dinv برای مدلسازی دو بعدی داده های مقاومت ویژه و قطبش القایی توسط لوک^۱ نوشته شده است. این نرم افزار کاملاً اتوماتیک بوده و تحت سیستم عامل ویندوز^۲ کار می کند و برخلاف سایر نرم افزارهای مدلسازی، نیازی به دریافت یک مدل اولیه جهت شروع عملیات مدلسازی ندارد و قابلیت مدلسازی تعداد زیادی از داده های ژئالکتریکی را دارد. این نرم افزار بطور خودکار، بهترین مقادیر پارامترهای مورد نیاز را انتخاب نموده و شروع به مدلسازی می کند، هر چند که انتخاب این پارامترها توسط اپراتور نیز امکانپذیر است [۱۴].

نرم افزار Res2Dinv، روش حداقل مربعات غیر خطی را بکار برد و محاسبات عددی را با روش‌های تفاضل محدود و اجزاء محدود انجام می دهد.

روش معکوس سازی توسط این برنامه، از سه روش مختلف برای حداقل سازی مربعات استفاده می کند که عبارتند از:

۱- برنامه، اجرای روش حداقل مربعات بر پایه تکنیک بهینه سازی شبیه- نیوتن را پشتیبانی می کند. این تکنیک بطور قابل توجهی سریعتر از روش حداقل مربعات معمولی (روش گوس- نیوتن) برای مجموعه داده های بزرگ است و به حافظه کمتری احتیاج دارد.

۲- می توان از روش گوس- نیوتن نیز استفاده کرد، چون در نواحی با اختلاف مقاومت ویژه بیشتر از ۱۰ برابر، نتایج بهتری بدست می دهد. این روش دارای دقت بالا ولی سرعت پائین می باشد.

¹ - M. H. Loke

² - Windows

-۳- انتخاب سوم در این برنامه، استفاده ترکیبی از گوس-نیوتون برای ۲ یا ۳ تکرار اول و شبه-نیوتون برای تکرارهای بعدی است، این روش ترکیبی، روشی نسبتاً دقیق و سریع است و در بعضی موارد، بهترین تطابق را بدست می دهد.

مدل دو بعدی استفاده شده در این برنامه، زیر سطح را به تعدادی بلوکهای مستطیلی تقسیم می کند. هدف این برنامه، تعیین مقاومت ویژه بلوکهای مستطیلی است که شبه مقطع مقاومت ویژه ظاهری، که مطابق با اندازه گیریهای واقعی است، تولید خواهد کرد. برای آرایشهای ونر و شلومبرگر، ضخامت لایه اول بلوکها، نصف فاصله الکتروودی است. ضخامت لایه های عمیق تر بعدی بطور نرمال با ۱۰٪ یا ۲۵٪ افزایش می یابد. همچنین اعمق لایه ها را می توان بطور دستی افزایش داد.

روش بهینه سازی، بطور اساسی برای کاهش اختلاف میان مقادیر مقاومت ویژه محاسبه شده و اندازه گیری شده بوسیله تعديل مقاومت ویژه بلوکهای مدل، بکار می رود. برنامه در هر بار تکرار، خطای RMS را محاسبه می کند و سعی در کاهش آن دارد. بهر حال، مدل با کمترین خطای RMS ممکن، می تواند بعضی اوقات تغییرات بزرگ و غیر واقعی در مقادیر مقاومت ویژه مدل نشان دهد و ممکن است همیشه بهترین مدل از یک مدل زمین شناسی را نشان ندهد.

بطور کلی، برای انتخاب مدل نهایی، بایستی خطای RMS تکرار مدل تغییر چندانی نسبت به تکرار قبلی نداشته باشد و معمولاً بین تکرارهای سوم تا پنجم رخ می دهد [14].